

MASTER

Cellulaire logica

Steltenpool, H.J.

Award date:
1972

[Link to publication](#)

Disclaimer

This document contains a student thesis (bachelor's or master's), as authored by a student at Eindhoven University of Technology. Student theses are made available in the TU/e repository upon obtaining the required degree. The grade received is not published on the document as presented in the repository. The required complexity or quality of research of student theses may vary by program, and the required minimum study period may vary in duration.

General rights

Copyright and moral rights for the publications made accessible in the public portal are retained by the authors and/or other copyright owners and it is a condition of accessing publications that users recognise and abide by the legal requirements associated with these rights.

- Users may download and print one copy of any publication from the public portal for the purpose of private study or research.
- You may not further distribute the material or use it for any profit-making activity or commercial gain

Dit verslag vormt de afsluiting van een afstudeeropdracht welke door Prof. ir. A Heetman werd verleend. De opdracht werd, onderleiding van ir. C.P.J. Schnabel, uitgevoerd in de groep Telecommunicatie - B van de Technische Hogeschool te Eindhoven gedurende de periode: augustus 1971 - mei 1972.

Eindhoven, 25 mei 1972.

H.J. Steltenpool.

Inhoudsopgave.

	pag.
0 Samenvatting.	3
1 Introductie cellulaire logica.	4
2 Eindimensionale netwerken.	8
Samenvatting.	8
2.1 Enkelvoudige railcascade.	9
2.2 Multi-rail cascades.	17
2.3 Uni- en bilaterale iteratieve netwerken.	22
3 Twee dimensionale cellulaire netwerken.	27
Samenvatting.	27
Introductie.	27
3.1 Twee dim. netwerken met vaste celfunkties.	28
3.2 Twee dim. netwerken met variabele celfunkties.	38
3.3 Programmeerbare cell. netwerken.	55
3.4 Algemene nabeschuwing.	57
4 Routen in cell. netwerken.	61
Samenvatting.	61
Introductie.	61
4.1 Fout detektie en reparatie.	61
5 Rekenkundige elementen.	66
Samenvatting.	66
5.1 Optellen en aftrekken.	66
5.2 Vermenigvuldigen.	67
5.3 Kwadrateren.	71
5.4 Delen.	72
5.5 Vierkantwortel.	76
5.6 Logarithme.	77
5.7 Toepassing drempелеlementen.	78
Konklusie.	78
6 Special purpose cellulaire netwerken en macro cellulaire logica.	80
7 Redundantie m.b.v. voternetwerken.	82
Samenvatting.	82
Redundantie van het randgevoed-bus type. 7.1	82
Voternetwerken toegepast op kollektor- of hoofd-netwerk van het randgevoed-bus type. 7.2	85
Konklusie.	86
8 Single error correcting code en cell. netwerken.	87

	pag.
Samenvatting.	87
8.1 De single error correcting, code, dekodeer en kodeer schakeling.	87
8.2 Berekening opbrengst verbetering.	93
Konklusie.	93
9 Double error correcting codes en cell. netwerken.	95
Samenvatting.	95
9.1 Double error correcting BCH codes.	95
9.2 Ontwerp parallel dekodeerschakeling m.b.v. cell. logica.	99
9.3 Berekening Pred.	106
Konklusie.	108
10 Appendices.	109
10.1 Opbouw voternetwer m.b.v. cell. logica.	109
10.2 Worst-case berekening Pred van een redundant cell. netwerk van het randgevoed-bus type.	III
10.3 Berekening Pred van een redundant hoofd- of kollektor-netwerk.	II2
10.4 Berekening P red single error correcting codes.	II3
10.5 2-de graadsvergelijking.	II4
10.6 Verschuivingsnetwerk.	II5
10.7 Aftrek en verschuivingsnetwerk.	II7
10.8 Vermenigvuldigingsnetwerk.	II9
10.9 Hardware oplossing van $G(z) = z^2 + \sigma_1 z + \sigma_2 = 0$.	122

0. Samenvatting.

De eerste opdracht is een literatuur studie over het onderwerp micro cellulaire logica. De eerste 6 hoofdstukken geven een overzicht van deze literatuur studie. De hoofdstukken 2 tot en met 4 behandelen cellulaire netwerken die een willekeurige boolese functie kunnen realiseren. Hoofdstuk 5 geeft een overzicht van cell. netwerken, die rekenkundige operaties kunnen uitvoeren. (Delen, vermenigvuldigen, kwadrateren, worteltrekken enz.) Hoofdstuk 6 behandelt in het kort "special purpose" netwerken, zoals sequentiële machines, codeernetwerken enz. Ook wordt in hoofdstuk 6 een kort overzicht gegeven van het onderwerp macro-cellulaire logica.

Omdat de opbrengst van het fabricage proces van cell. netwerken gering is, luidde de tweede opdracht: maak het cell. netwerk redundant, zodanig dat er een opbrengst verbetering optreedt. In hoofdstuk 7 worden voternetwerken toegepast om het cell. redundant te maken. Er treedt dan alleen een opbrengst verbetering op voor cell. netwerken met een zeer gering aantal outputs. In hoofdstuk 8 en 9 worden lineaire codes toegepast. Hiermee kan slechts één enkel type cell. netwerk redundant gemaakt worden. De toepassing van single error correcting codes geeft ook hier een opbrengst verbetering voor cell. netwerken met een gering aantal outputs. Bij double error correcting codes is de dekodeerschakeling, uitgevoerd met cellulaire netwerken, veel complexer dan het cell. netwerk, dat redundant gemaakt moet worden.

Hoofdstuk I

INTRODUKTIE CELLULAIRE LOGICA.

Cellulaire logica is een tak van de schakeltechniek, die de analyse en synthese van cellulaire netwerken behandelt.

De cellulaire netwerken bestaan uit gelijkvormige of identieke cellen, die met een regelmatig verbindingspatroon met elkaar doorverbonden zijn. Bij deze cellulaire netwerken wordt een groot aantal gelijke cellen toegepast, zodat deze methode geschikt is voor large scale integration (LSI). Een voorbeeld van de fabricage van een cellulair netwerk laat fig. 1a zien. *INPUTS/OUTPUTS*

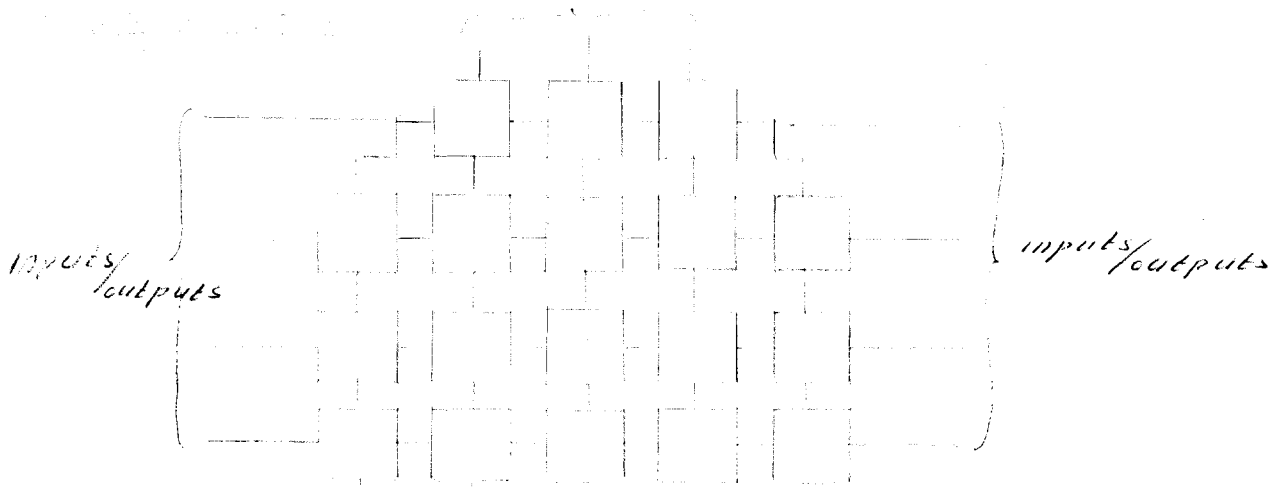


Fig. 1a

De cellen en hun onderlinge verbindingen worden door middel van monolitische techniek op een plak van b.v. 3 cm diameter in een bewerkingsproces tegelijk aangebracht. Het geheel wordt netwerk genoemd. Het netwerk wordt in een omhulsel geplaatst met in en uitgangspennen.

In fig. Ib wordt hetzelfde netwerk gemaakt m.b.v. geïntegreerde circuits (IC's). Eerst worden op een plak vele cellen aangebracht. Daarna wordt de plak gebroken en iedere cel wordt in een omhulsel geplaatst (IC). Met de nu verkregen IC's wordt hetzelfde netwerk van fig. Ia opgebouwd. De IC's worden dan m.b.v. uitwendige verbindingen met elkaar doorverbonden.

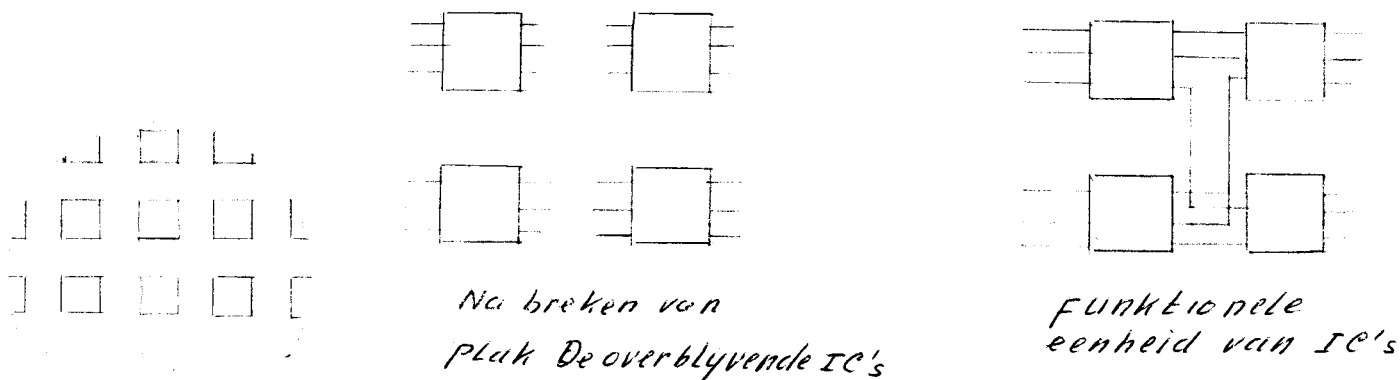


Fig. Ib

Uit bovenstaande voorbeelden is gemakkelijk in te zien welke voordelen cellulaire logica heeft t.o.v. de samenvoeging van IC's tot een functioneel geheel.

De voordelen van cellulaire logica zijn:

- a/ plak hoeft niet gebroken te worden.
- b/ snellere schakeling (verbindingen compacter).
- c/ De miniaturisering is groter.

Bij cellulaire logica worden echter veel meer cellen gebruikt dan bij de andere methode, maar daar iedere cel vele malen kleiner is dan een IC met omhulsel+pennen+bedrading, is cellulaire logica qua ruimte en gewicht voordeliger.

- d/ door de geringe uitwendige bedrading is de betrouwbaarheid groter.
- e/ Cellulaire logica netwerken kunnen goedkoper zijn dan netwerken opgebouwd uit IC's, omdat de bedrading, het aantal pennen en omhulsels geringer is. (arbeids-besparend)

De nadelen zijn:

Door het gebruik van grotere complexe monolitische geïntegreerde circuits, wordt de kans op defekte cellen (componenten) in het circuit vergroot, zodat de opbrengst van het fabricage proces gering blijft. De systeem ontwerper dient de aanwezigheid van defekte componenten te accepteren. Er wordt daarom gestreefd naar logische ontwerp algorithmes, die deze fouten in rekening brengen. (zie hfd. 4,7,8 en9) De systeem ontwerper moet fout-tolerante circuits trachten te ontwerpen.

Men ander probleem is het onderhoud. Het opsporen van defekte cellen geeft grote problemen. Het aantal beschikbare testpunten (in- en outputs) is erg klein in verhouding tot systemen opgebouwd uit afzonderlijke elementen. Hoe complexer de cellen worden, hoe meer testen men moet toepassen aan het relatief kleiner wordende aantal testpunten.

Standaardisatie probleem.

De technologie stelt ons in staat zeer complexe cellen te produceren, waarbij het aantal logische functies van een cel zeer snel toeneemt bij toenemende in- en outputs. Men weet echter niet hoe men deze cellen efficiënt in logische ontwerpen moet gebruiken. Hierbij komt de volgende vraag naar voren: welke cel types moet men gebruiken zodat deze algemeen toegepast kunnen worden in digitale schakelingen ?

Een oplossing oplossing is iedere cel als een universele logische module (ULM) uit te voeren. Nadeel hiervan is de zeer snelle groei van het aantal inputs. Behandeling van de ULM zie lit 3.

LSI is nog in ontwikkeling en zal in de volgende computer-generatie zijn invloed doen gelden op het systeem ontwerp, zoals decentralisatie van geheugens, microgeprogrammeerde R.O.S., en toepassing van parallel logica. Cellulaire logica zal een belangrijke rol spelen in de uitvoering van bovengenoemde onderwerpen.

Om de flexibiliteit van de cellen te verhogen worden celparameters en/of verbindingsparameters ingebouwd. Doormiddel van de verbindingsparameters kan men de onderlinge verbinding tussen de cellen wijzigen. Doormiddel van celparameters kan men, veelal tijdens het laatste gedeelte van het produktie proces, de functies van de cellen instellen. Door bovengenoemde methode toe te passen kan men met cellulaire netwerken van dezelfde structuur verschillende functies creëren overeenkomstig de wensen van de klant.

Ook worden netwerken toegepast waarbij de celparameters elektrisch ingesteld kunnen worden, zodat door middel van regelsignalen de functie van het netwerk veranderd kan worden. Deze netwerken worden programmeerbare netwerken genoemd.

Cellulaire logica wordt vaak in twee hoofd groepen onderverdeeld :

- a/ microcellulaire logica. Wordt omvat door hfd. 2 ^{4/12 5}
- b/ macrocellulaire logica. Wordt omvat door hfd. 6

Bij microcellulaire logica zijn de gebruikte cellen eenvoudig van structuur. Iedere cel bestaat uit een gering aantal poorten.

Bij macrocellulaire logica worden zeer complexe cellen gebruikt. Iedere cel bestaat uit een zeer groot aantal poorten.

Literatuur overzicht;

- 1 Hambata k. introduction large scale integration.
- 2 Minnick R.C. A survey of microcellular Research
J.A.C.M. vol. 14 No.2, April pp. 203-241
- 3 H. v.d. Weg Aantekeningen voorjaarscollege.
Beschikbaar bij afdelingbibl. van prof. Heetman

Hoofdstuk 2

tendimensionale netwerken.

Samenvatting.

In sectie 2.1 wordt de theorie van een algemene enkelvoudige rail cascade behandeld. Dit is de eenvoudigste vorm van een cell. netwerk. Deze cascades worden toegepast om boolse functies te realiseren. Zij zijn echter niet in staat iedere willekeurige boolse functie te realiseren.

Sectie 2.2 behandelt de multi-rail cascade. Om een uitgebreide behandeling van dit onderwerp te voorkomen worden alleen de resultaten van diverse theorieën opgesomd. Vooral wordt gekeken naar twee rail cascades. De behandeling van deze enkel en multi-rail cascades kan het inzicht van twee dimensionale cellulaire netwerken vergemakkelijken.

Sectie 2.3 behandelt uni- en bilaterale iteratieve netwerken.

2.1. Enkelvoudige rail cascade.

2.1.1 Introductie.

De cel welke in deze cascades gebruikt wordt is de maitra cel. Deze cel heeft twee inputs en een output. De celfunctie kan alle 16 functies van twee variabelen zijn.

Er zijn twee soorten enkelvoudige rail cascades ;

- a/ Niet redundante cascade. Deze cascade bestaat uit m cellen zie fig 2.2. Er zijn $m+1$ inputs. Op ieder cel input wordt een andere variabele aangesloten. Er moeten dus $m+1$ verschillende variabelen aanwezig zijn.

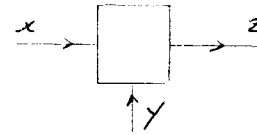


Fig. 2.1

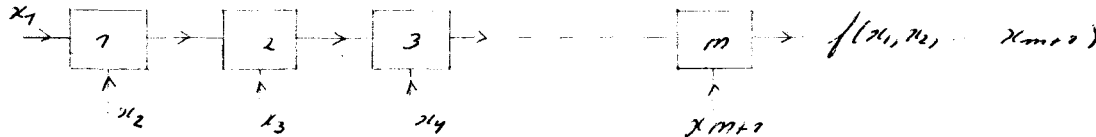


Fig. 2.2

- b/ Redundante cascade. In deze cascade kunnen twee verschillende cellen dezelfde inputs hebben, zie fig. 2.3

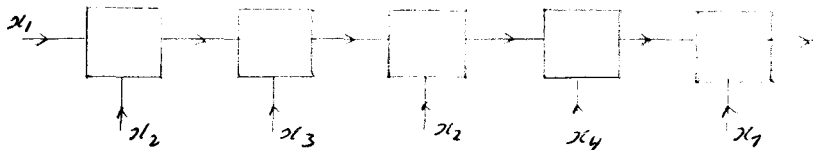


Fig. 2.3

Maitra 1962 (lit. 13) ontwikkelde een algoritme, dat aangaf welke functies gerealiseerd kunnen worden in een niet redundante cascade. Hierbij werd de maitra cel gebruikt. De synthese van een realiseerbare functie in cascade wordt daar ook in behandeld.

In het college voortgezette schakeltechniek (zie lit 19) wordt een samenvatting gegeven van het door maitra ontwikkelde algoritme.

Sklansky 1963 (lit. 16) toonde aan dat een functie gerealiseerd door een cascade van maitra cellen, ook gerealiseerd kan worden door een cascade van dezelfde lengte, waarbij 3functie-cellen worden gebruikt. Deze functies zijn de AND, OR en EXCLUSIVE OR. Met deze drie functies kan men alle I6 functies van twee variabelen realiseren door het al of niet inverteren van de ingangsvariabelen. Ashenhurst 1959(lit.I) toonde aan dat m. b. v. deze 3 functies alle bestaande ontledingen van functies in combinaties van 2 argument-functies te realiseren zijn. Tenslotte wordt nog een tabel gegeven van het aantal realiseerbare functies door middel van de maitra methode en m.b.v. Stone H.S. en Korenjak A. 1965 (lit18)

<i>n</i>	aantal moge- lyke functies	realiseerbare functies m.b.v. Maitra Theorie	aantal realiseerbare functies m.b.v. Methode Stone en Korenjak alle redundante case.	redundante case.
1	4	4	4	4
2	16	16	16	16
3	256	80	152	242
4	65.536	520	2368	27.216

Tabel I

Het grote nadeel van enkelvoudige rail cascades is, dat niet alle logische functies gerealiseerd kunnen worden (zie tabel). Voordeel is echter dat men een keuze heeft uit een beperkt aantal functies.

2.1.2 Canonische vorm van een redundante cascade

In deze sectie wordt een algoritme ontwikkeld dat test of de functie realiseerbaar is m.b.v. een redundante cascade en geeft tevens de synthese van deze cascade. De onderstaande theorie is in grote lijnen afkomstig van Stone en Korenjak (lit. 18). Maitra 1962 (lit.13), Sklansky 1963 (lit.16), Levy 1964 (lit.12) Minnick 1964 (lit.14), en Weiss 1969 (lit 20) hebben ook hun bijdrage geleverd aan de synthese en de voorwaarde voor realiseerbaarheid van functies in cascade vorm. De methode van aanpak is voor iedere schrijver enigszins verschillend. Echter zij gebruikten allen stelling één in onderstaande tekst. Fantauzzi 1968 (lit. 5 en 6) presenteerde de theorie van redundante cascades anders dan men tot dan toe gewend was, echter zijn resultaten komen overeen met die van Stone en Korenjak.

Stone en korenjak (lit.18) bewijzen dat de meest algemene vorm van een redundante cascade is die schakeling, die in fig. 2.4 wordt aangegeven. De gebruikte celfuncties zijn AND, OR en EXCLUSIVE OR.

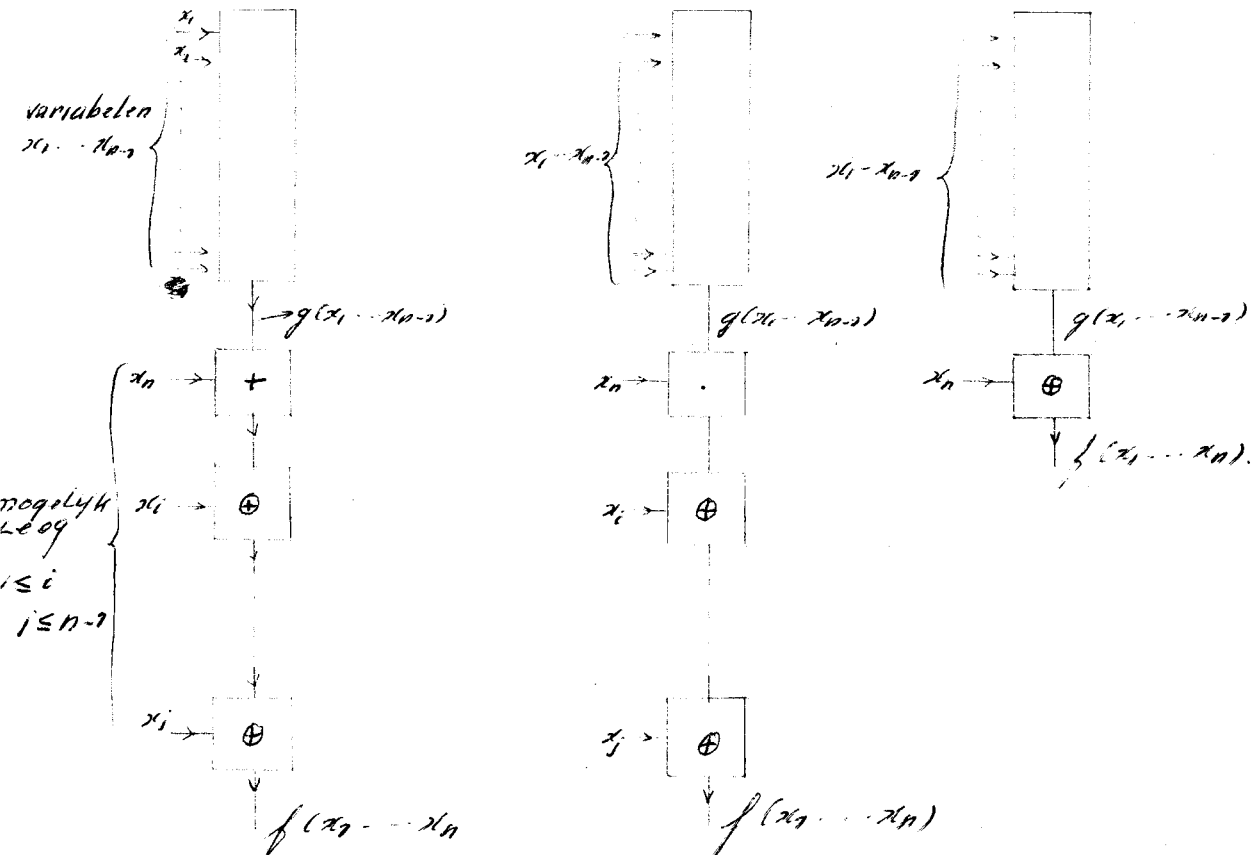


fig. 2.4

Deze cascade bestaat uit een subcascade (redundant of niet redundant), die de functie $g(x_1, x_2, \dots, x_{n-1})$ produceert, gevolgd door een cel, waarvan de input is aangesloten op x_n . Is deze laatst genoemde cel een AND of OR dan kunnen de daarop eventueel nog volgende cellen alleen maar exclusive-or's zijn, die als input de variabele x_n of x_{n-1} kunnen hebben en geen van deze cellen mag dezelfde input variabele hebben. Is echter de cel waarop x_n wordt aangesloten een EXCLUSIVE-OR, dan zijn er geen volgende cellen meer aanwezig.

2.1.3 De ontwikkeling van een algoritme voor het testen van cascade realiseerbaarheid en synthese van een boolse functie.

Bij deze methode wordt eerst de onderste cel of cellen van de cascade bepaald. Zijn deze cellen bepaald, dan houdt men een restfunctie over, die aangesloten is op de input van de zojuist bepaalde laatste cel. Is de restfunctie niet in cascade realiseerbaar dan is de gehele functie niet realiseerbaar. Tegelijkertijd wordt met deze methode ook de synthese van de functie bepaald.

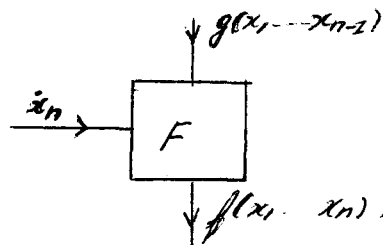
Definitie; Het gewicht van de functie is het aantal combinaties van zijn argumenten, waarvoor de functie de waarde één aanneemt. Dit is het aantal enen in de functie-tabel. De functie heeft een neutraal gewicht als het aantal enen gelijk is aan het aantal nullen in de functie-tabel. Dit komt dus overeen met 2^{n-1} enen. n is het aantal variabelen (argumenten).

Stelling I Laat $f(x_1, x_2, \dots, x_n)$ en $g(x_1, \dots, x_{n-1})$ niet triviale boolse functies zijn. Dan

- 1) $f = x_n g$ als $\bar{x}_n f = 0$ en $g = f(x_1, x_2, \dots, x_{n-1}, 1)$
 $f = \bar{x}_n g$ als $x_n f = 0$ en $g = f(x_1, x_2, \dots, x_{n-1}, 0)$
- 2) $f = x_n + g$ als $x_n \bar{f} = 0$ en $g = f(x_1, x_2, \dots, x_{n-1}, 0)$
 $f = \bar{x}_n + g$ als $\bar{x}_n \bar{f} = 0$ en $g = f(x_1, x_2, \dots, x_{n-1}, 1)$
- 3) $f = x_n \odot g$ als $g = f(x_1, x_2, \dots, x_{n-1}, 0) = \bar{f}(x_1, x_2, \dots, x_{n-1}, 1)$

~~Als~~ In geval 1 ^{moet} het gewicht van de functie $f(x_1, \dots, x_n)$ minder dan neutraal zijn, in geval 2 meer dan neutraal en in geval 3 gelijk aan neutraal.

Geval 1 en 2 ontleedt de functie op onderstaande manier (zie fig. 2.5).



x_n is of x_n of \bar{x}_n
 F is of and of 0 or 1.

Fig. 2.5

Geval 3 ontleedt de funktie op de manier zoals die in fig.2.6 is weergegeven.

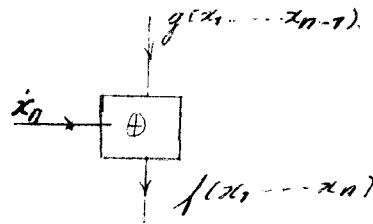


Fig. 2.6

Stelling 2 Laat $f(x_1, x_2, \dots, x_n)$ een n variabele funktie zijn, zodat of $f(x_1, \dots, x_{n-1}, 0)$ of $f(x_1, \dots, x_{n-1}, 1)$ een deelfunktie is van een of meer variabelen. Als p deze deelfunktie is, dan heeft f een ontleding van de vorm $f = p \oplus \bar{x}_n h = \bar{p} \oplus (\bar{x}_n + \bar{h})$ waarbij $h = f(x_1, \dots, x_{n-1}, 0) \oplus f(x_1, \dots, x_{n-1}, 1)$. \rightarrow h is een funktie van n-1 variabelen.

$$\begin{aligned} \text{als } p &= f(x_1, \dots, x_{n-1}, 0) & \text{dan } \bar{x}_n &= x_n \\ \text{" } p &= f(x_1, \dots, x_{n-1}, 1) & \text{" } \bar{x}_n &= \bar{x}_n \end{aligned}$$

Bewijs; ontleedt de funktie in

$$\begin{aligned} f &= \bar{x}_n g_0 + x_n g_1 & \text{stel } p &= g_0 \text{ wordt als deelfunktie gekozen.} \\ f &= \bar{x}_n p + x_n g_1 = \bar{x}_n p \oplus x_n g_1 & p \oplus x_n (p \oplus g_1) &= \bar{x}_n p \oplus x_n g_1 \\ f &= p \oplus x_n (p \oplus g_1) = p \oplus (x_n \cdot h) & \text{waarbij } h &= p \oplus g_1 \\ & & h &= f(x_1, \dots, x_{n-1}, 0) \oplus f(x_1, \dots, 1) \\ f &= \bar{p} \oplus (\bar{x}_n + \bar{h}). \end{aligned}$$

Voldoet de funktie niet aan een van de gevallen, die in stelling I zijn genoemd, dan kan stelling 2 worden toegepast. Wil men de funktie in cascade realiseren vlg. stelling 2 dan moet p echter te ontleden zijn in een cascade van cellen, waarbij de celfuncties alleen maar exclusive-or's mogen zijn. (zie fig. 2.7) \blacksquare
de funktie h dient cascade-realiseerbaar te zijn.

Is de funktie p niet teschrijven als $p = x_i \oplus \dots \oplus x_j$ dan moet men een andere deelfunktie zoeken waarbij dit wel lukt. Is deze echter niet te vinden, dan is de funktie niet in cascade realiseerbaar.

$i \geq 1$
 $j \leq n-1$

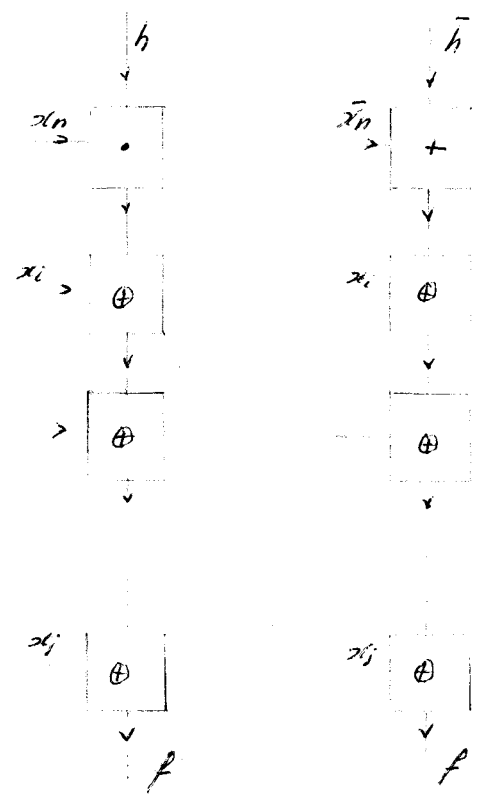


fig 2.7

Stone en korenjak (lit.18) hebben bewezen dat de cascade realiseerbaarheid niet gevoelig is voor de volgorde waarin de variabelen van de funktie afgesplitst kunnen worden. Dit resultaat is belangrijk voor de hierna ontwikkelde algorithmen.

Allereerst specificeren we enkele tests.

"AND"cel test; Als $x_i \cdot f = 0$, splits dan x_i af van de funktie doormiddel van de AND-cel. De rest funktie is $f(x_i=1)$. De Andcel heeft als inputs x_i en $f(x_i=1)$. (toepassing stelling I)

Als $x_i \cdot f = 0$ dan splits \bar{x}_i af m.b.v. een AND-cel, die als inputs heeft \bar{x}_i en de rest-funktie $f(x_i=0)$.

"OR"cel test; Als $x_i \cdot f = 0$ dan splits x_i af m.b.v. een

OR-cel, die als inputs heeft x_i en de restfunctie $f(x_i=0)$.
Als $\bar{x}_i \neq 0$, dan splits \bar{x}_i af m.b.v. een OR-cel, die als inputs heeft \bar{x}_i en de restfunctie $f(x_i=1)$.

EXCLUSIVE-OR cel test; Als $f(x_i=0) \neq \bar{f}(x_i=1)$, dan splits de ~~xx~~ variabele x_i van de functie af doormiddel van een EXCL.OR-cel met als input x_i en de restfunctie $f(x_i=0)$.

Hoofd algoritme.

Stap 1 De functie wordt opgegeven met zijn argumenten.

Stap 2 Het gewicht van de functie wordt berekend. Is het gewicht minder dan neutraal, dan wordt de "AND" cel test toegepast voor ieder argument x_i . Is het gewicht groter dan neutraal, dan wordt de "OR" cel test toegepast voor iedere variabele x_i . Is het gewicht neutraal dan wordt de "EXCL.OR" cel test toegepast voor iedere variabele x_i . (stelling 1)

Stap 3 Als de "AND" resp. "OR" cel test lukt, dan wordt de input variabele x_i van de lijst geschrapt. Stap 2 wordt herhaald voor de restfunctie. De restfunctie bevat een variabele minder. De onderste cel is dan ~~xx~~ tevens bepaald. Als ~~een van~~ de testen in stap 2 faalt, dan gaat men verder met stap 5.

Stap 4 Als bij de "EXCL.OR" cel test de restfunctie een konstante waarde 0 of 1 heeft, dan is de ontleding volledig. Is de restfunctie een konstante 1, dan wordt de laatste "EXCL.OR" cel geschrapt en zijn input variabele x_i wordt geïnverteerd en aangesloten op de input van de dan overblijvende ~~xx~~ bovenste cel. Is de restfunctie een konstante nul dan wordt de laatste cel geschrapt en vervangen door zijn input variabele x_i .

Stap 5 Bereken voor elk argument van de functie de restfuncties $f(x_i=0)$ en $f(x_i=1)$. Als een van deze restfuncties een neutraal gewicht heeft, dan moet de "EXCL.OR" cel test worden toegepast. Deze test moet dan iteratief worden toegepast totdat de functie geheel ontleed is. Is de restfunctie te ontleden door steeds de "EXCL.OR" cel ~~stest~~ toe te passen, dan wordt deze restfunctie deelfunctie genoemd. (i.v.m. stelling 2) Nu wordt verwezen naar stap 6. Bestaat er geen restfunctie, die bovengenoemde eigenschap van een deelfunctie heeft dan is de oorspronkelijke functie niet in cascade realiseerbaar.

Stap 6 Splits, x_i en de redundante EXCL.OR-cellen waaruit p (is bovengenoemde deelfunctie) bestaat, van de functie af , m.b.v. de relatie $f = p \oplus x_i \cdot g$.
 Ter ondersteuning laat fig. 2.8 zien hoe dit laatste geschiedt.

$g = f(x_i=0) \oplus f(x_i=1)$
 en $x_i = x_i$ als $f(x_i=0)$ is de deelfunctie p
 $x_i = \bar{x}_i$ " $f(x_i=1)$ " " "
 $p = x_{i1} \oplus \dots \oplus x_{ij}$ " " "
 $1 \leq j \leq n-1$

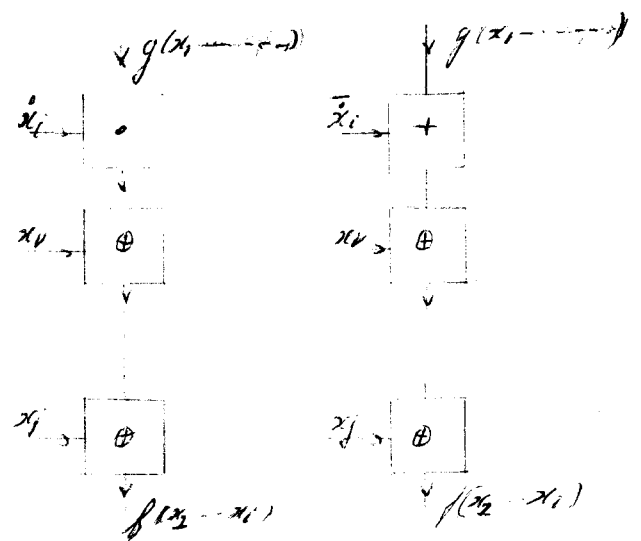


Fig 2.8

Voor de realisatie van g of \bar{g} wordt verwezen naar stap 3.

2.1.4 Bepaling van de bovengrens van het aantal benodigde cellen.

Het maximaal aantal cellen waaruit een cascade kan bestaan wordt $C(n)$ genoemd. n is het aantal variabelen. De toename van $C(n)$ voor zeer grote n wordt vaak **growth rate** genoemd

De meest algemene vorm van een redundante cascade (zie fig. 2.4.) bestaat uit 2 subcascades. De bovenste cascade kan uit maximaal $C(n-1)$ cellen bestaan. De onderste bestaat uit maximaal n cellen. Dus $C(n) \leq C(n-1) + n$ waarbij $C(2)=1$.
 Daaruit volgt; $C(n) = 1 + \sum_{i=3}^n i = (n^2 + n - 4) / 2$
 Growth rate is $(n^2 + n) / 2$.

2.1.5 Het aantal realiseerbare functies.

Het aantal realiseerbare functie is volgens stone en Korenjak (lit. I8) gelijk aan $T(n)$, waarbij

$$T(n) < 3n! 2^n 2^{(n+4)(n-7)/2}$$

Het totaal aantal funkties van n variabelen is 2^{2^n} .

De verhouding $T(n)/2^{2^n}$ wordt zeer klein bij toenemende n.

In tabel 2 is het werkelijke aantal realiseerbare funkties van 2, 3, 4 variabelen getabelleerd

Tabel 2

	met redundante cascade	redundante cascade	totaal aantal funkties
n=2	16	16	16
n=3	152	242	256
n=4	2368	27.216	65.536

2.2 Multi-rail cascades.

Een uitbreiding van enkel-rail cascades is een verhoging van de externe inputs en slagaderlijke verbindingen. (fig. 2.10)

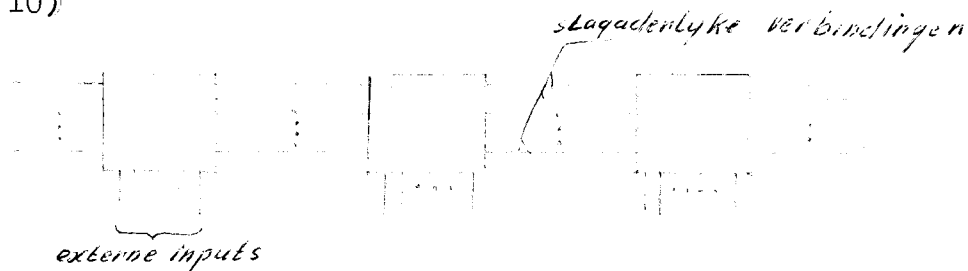


Fig. 2.10

Stel iedere cel heeft p slagaderlijke verbindingen en q externe inputs. Dus $p+q=m$ is het totaal aantal inputs en p het totaal aantal outputs van iedere cel. Het aantal mogelijke celfuncties is $2^p 2^m$. Voor $p=2$ en $q=1$ (twee rail-cascade) is het aantal mogelijke functies $2^2 \cdot 2^3 = 2^5 = 65.536$. Men begrijpt nu dat de volgende problemen een rol gaan spelen bij de sythese van multi-rail cascades.

- a/ Het aantal benodigde type celfuncties voor realisering van een universele cascade.
- b/ Lengte van de cascade. (Growth rate)
- c/ De complexiteit van de cel.

Lendaris en Stanley 1963 (lit.I0) hebben cascades onderzocht die één enkele slagaderlijke verbinding hebben, maar waarbij het aantal externe inputs tot meer dan één worden uitgebreid. (zie fig. 2.II)

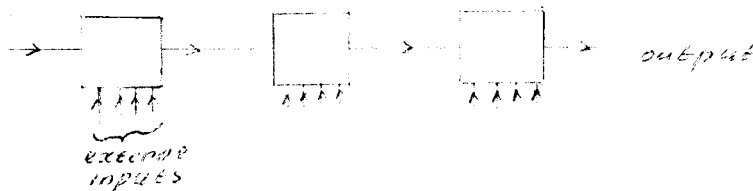


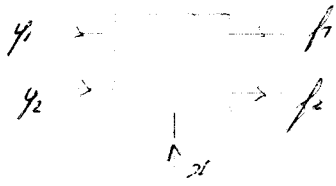
Fig. 2.II

Deze methode heeft hetzelfde nadeel als een enkele rail-cascade nl.; de cascade is logisch niet compleet d.w.z. niet alle mogelijke functies van n variabelen zijn met deze cascade realiseerbaar.

Een andere uitbreiding van de enkel rail-cascade is: Het laten toenemen van het aantal slagaderlijke verbindingen tussen de cellen onderling. Short 1965 (lit.I7) heeft de twee rail-cascade onderzocht. Deze cascade is logisch compleet. Alle willekeurige functie van n variabelen zijn te realiseren.

Onderstaande ^{ks} tekst geeft het bewijs, dat de twee rail-cascade logisch compleet is.

De cel en celfuncties, die worden toegepast, zijn weergegeven in fig. 2.I2.



$f_1 = x y_2$ of $\bar{x} y_1$ of 1
 $f_2 = x y_1 + y_2$ of $\bar{x} y_1 + y_2$ of y_2
 (ea worden door of verschuivende cel types toegepast)

Fig 2.12.

Een voorbeeld van een universele cascade zie fig. 2.13

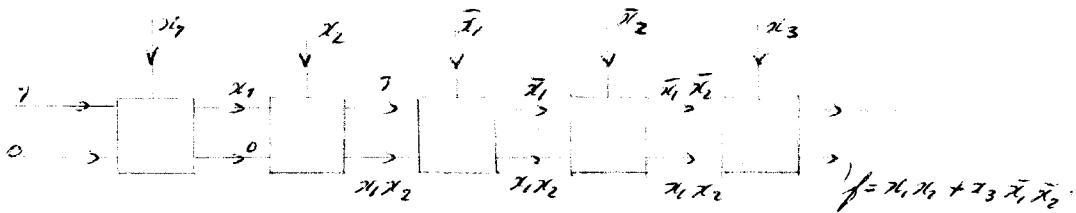


Fig 2.13

Iedere willekeurige produkt term (of priemprodukt) kan op de bovenste rail gevormd worden. Tegelijkertijd kan deze produkt term worden toegevoegd aan de som van produkt termen op de onderste rail. De maximale lengte van deze cascade is $n 2^n$. (voor iedere minterm n cellen nodig en er zijn 2^n mintermen)
 Is echter een komplementaire output aanwezig dan is de maximale lengte $n 2^{n-1}$.

Short (lit.17) behandelde een cascade met een growth rate van $1/8 n 2^n$. Deze cascade is logisch compleet. Het aantal toegepaste cel types is veel groter dan in het vorige geval. De toegepaste cel types zijn:

- a) $f_1 = x$ $f_2 = y_2 \oplus x y_1$
- b) $f_1 = y_1$ $f_2 = x y_2$
- c) $f_1 = x y_1$ $f_2 = y_2$

$$d) f_1 = h(y_1) \quad f_2 = y_2$$

$$e) f_1 = h_1(x_1, y_1) \quad f_2 = y_2 \oplus h_2(x_1, y_1)$$

a, b en c zijn eenvoudig van structuur.
 d en e vertegenwoordigen meerdere celtypes
 d bestaat uit 16 types.
 e bestaat uit 256 types.

a, c, en d kan men beschouwen als vereenvoudigde versies van celtipe e. Er zijn dan uiteindelijk twee soorten basistypes nl. b en e.

Bij de synthese van deze cascade werd gebruik gemaakt van de Reed ontwikkeling (exclusive-or ontwikkeling). Zie lit. 17.

Yoeli 1965 (lit.21) heeft, m.b.v. de groep theorie, graph theorie en de theorie van homomorfisme of direct graphs, de multi rail-cascade behandeld.



fig. 2.14 multi rail-cascade

De resultaten van zijn theorie konden op de twee rail-cascade worden toegepast. De boolse funkties die daarmee gerealiseerd kunnen worden, moesten echter aan bepaalde beperkende voorwaarden voldoen. ^{lit.22}

In 1966 behandelde Yoeli en Turner een krachtigere theorie voor twee rail cascades die;

- a/ voldeed aan alle willekeurige funkties. En alle resultaten van voorgaande theorieën omvatte.
- b/ En aantoonde dat de twee rail-cascade funktioneel compleet is. D.w.z. Dat met deze cascade ieder willekeurig paar van boolse funkties van willekeurig aantal variabelen te realiseren is. (Bij Short werd slechts een van de twee outputs van de cascade benut)
- c/ Een bovengrens van het aantal cellen aangaf nl.

$$YT(n) = 3 \cdot 2^{n-1} - n - 8$$

Dus een growth rate van $3 \cdot 2^{n-1}$!!!!

YT(n) is onafhankelijk van het aantal slagaderlijke ver-
bindingen, Hier is een netwerk gecreëerd met een growth
rate anders dan $c \cdot 2^n$.

Daar de cascade functioneel compleet is, kan men door het
toevoegen van een cel meer aan de cascade een willekeurige
functie van n+1 variabelen creëren. Zie fig. 2.15.



Fig. 2.15

Yoeli-Turner maakt bij de ontleding van de functie in een
twee rail cascade gebruik van algemene functiecellen en per-
mutatie cellen.

De algemene functiecellen zijn nodig voor een "Ashenurst
ontleding" 1959 (lit. I) van de twee rail functie. Deze
cellen moeten in staat zijn een willekeurig paar van 3 x
variabele functies te produceren. (Keuzen uit 65.536
mogelijkheden). De lage growth rate gaat hier ten koste
van de cel complexiteit.

De permutatie cellen komen qua complexiteit overeen met
de cellen van Short (lit. I7) De permutatie cellen be-
staan uit 8 individuele celtypes.

Echter is het ook mogelijk universele cascades te
produceren, waarbij alleen permutatiecellen worden toe-
gepast. (lit. 22en) De rail inputs van de eerste cel
moeten als vaste parameters van de cascade worden gezien.
Deze cascade is ook functioneel compleet.

De bovengrens van het aantal cellen in deze cascade is;

$$P(n) = 3 \cdot 2^{n-1} - 2$$

Growth rate $3 \cdot 2^{n-1}$

Deze cascade heeft dezelfde growth rate als de vorige
cascade. Hier wordt echter een veel minder complexe cel
gebruikt. (Keuze uit 8 types)

Een beknopte beschrijving van het bovengenoemde werk van
Yoeli-Turner wordt gegeven in lit. I5 blz 315-367.

Vergelijking van het maximale aantal cellen van de cascades van Short en Yoeli-Turner.

aantal van n	3	4	5	6	7	8	9	10	
Short cascade $S(n)$	7	2	10	30	48	190	508 ¹⁶	1210 ¹⁶	$YT(n) + n + 6 = P(n)$
$YT(n-7)+7$	7	2	13	36	83	178	369	752	
$P(n-7)+7$	5	77	23	47	95	197	383	767	

Bij $n \leq 7$ Bevat de cascade van Short minder cellen. Bij $n \geq 8$ bevatten de cascades van Yoeli-Turner minder cellen.

2.3 Uni- en bilaterale iteratieve netwerken.

2.3.1 Introductie.

Een netwerk wordt iteratief genoemd als alle cellen uit dezelfde circuits bestaan en als ze op dezelfde wijze worden door verbonden.

Een voorbeeld van een unilateraal netwerk laat fig. 2.16 zien.

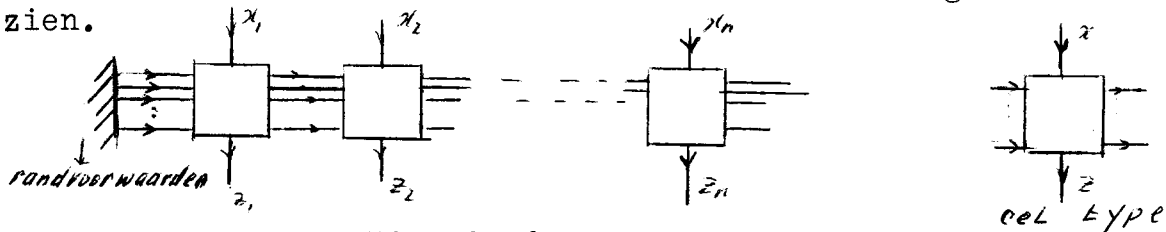


Fig. 2.16

Iedere cel heeft; a/ een primaire in- en output nl. x en z

b/ een set van rechterlaterale inputs.

Dit zijn de rechter inputs waarmee de cellen onderling zijn doorverbonden.

De laterale inputs van de meest linkse cel worden ~~rechter~~ ^{linkse} randvoorwaarden genoemd. De data doorloopt de cel in een richting.

Fig. 2.17 laat een voorbeeld van een bilateraal netwerk zien.

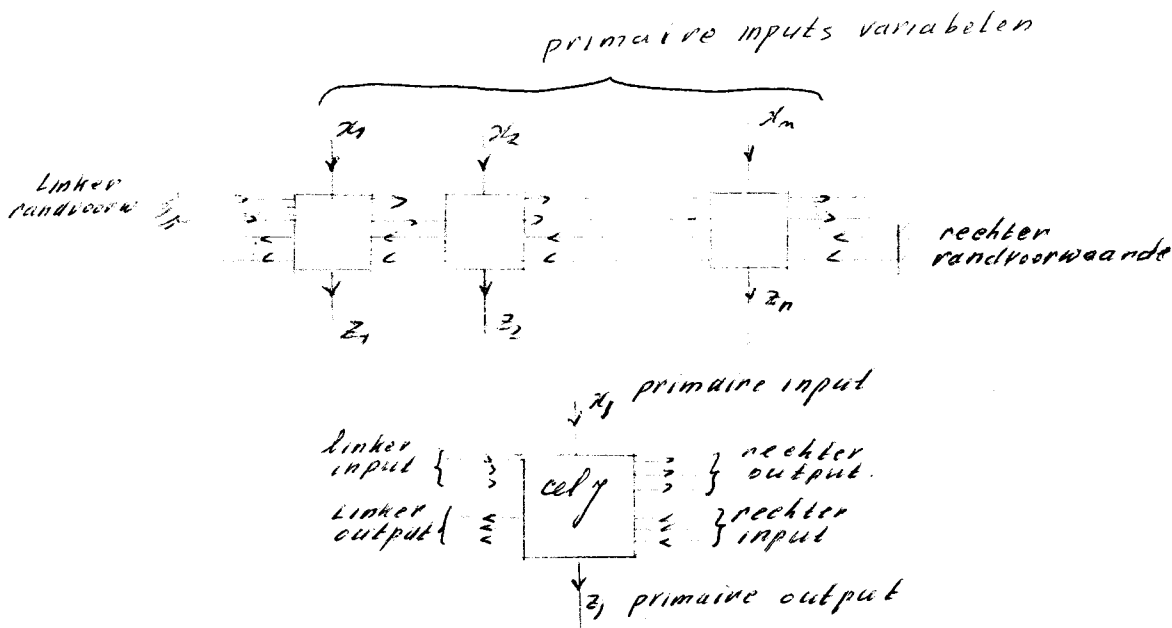


Fig. 2.17

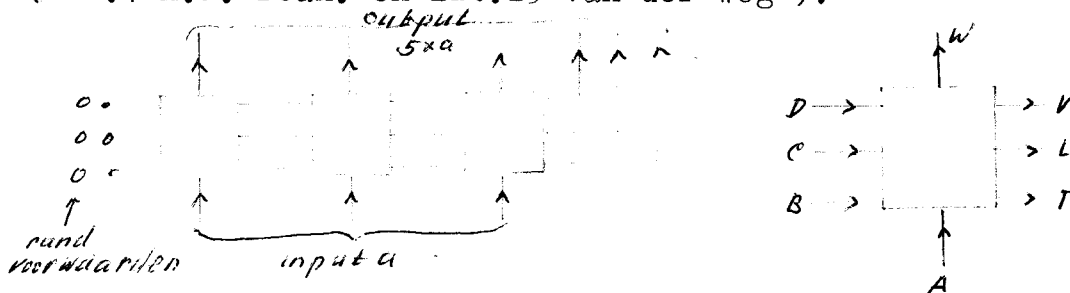
Deze cellen werken in heen en terugwaartse richting. De cellen kunnen ~~zijn~~ combinatorische circuits of sequentiële circuits bevatten.

Hennie 1959 (lit.7) behandelt netwerken waarvan de cellen uit combinatorische circuits bestaan. Deze cellen bezitten dan geen geheugen. Dit betekent voor unilaterale netwerken dat bij iedere combinatie van de input variabelen een evenwichtstoestand te bereiken is, waarbij een bepaalde combinatie van output variabelen hoort.

Een elementaire behandeling van unilaterale iteratieve netwerken wordt gegeven door Caldwell (lit.2) blz.419. Hij brengt deze netwerken alleen in verband met de kontakt theorie. Mc. Cluskey 1958 geeft een meer algemene behandeling van iteratieve netwerken. Verder zal in verband hiermee nog genoemd worden; Keister (lit.9).

Deze unilaterale netwerken kunnen een set van boolese functies realiseren.

Een voorbeeld van een unilateraal netwerk, zie fig.2.18 (Lit.4 K.J. Dean. en lit.19 van der Weg).



parallel vermenig-
vuldiger
input u wordt met
5 vermenigvuldigd.

$$\begin{aligned}
 T &= ACD + AB \\
 U &= AB\bar{C} + A\bar{B}\bar{D} + \bar{A}B\bar{C} \\
 V &= C\bar{D} + \bar{A}C + A\bar{C}D \\
 W &= A\bar{D} + \bar{A}D
 \end{aligned}$$

Fig. 2.18.

Ook een parallel deler wordt door K.J. Dean (lit. 4) m.b.v. een unilateraal netwerk behandeld. In sectie 2.3.2 wordt een korte beschrijving gegeven van bilaterale netwerken. In het boek van Hennie (lit. 8 1968) worden één-dimensionale sequentiële iteratieve netwerken beschreven. De cellen bestaan uit sequentiële circuits, die worden gesynchroniseerd door dezelfde klok. Deze netwerken zijn in staat om sequentiële transformaties uit te voeren. De belangrijkste toepassing van deze netwerken in grotere systemen, is het uitvoeren van tekenkundige operaties. (twee dimensionaal) Ook kunnen boolese functies daarmee gerealiseerd worden.

2.3.2 Bilateraal iteratief netwerk.

Als aangenomen wordt dat het bilateraal netwerk precies één evenwichtstoestand heeft bij iedere combinatie van de input variabelen, dan kan dit netwerk volgens Hennie (lit. 7 en 8) vervangen worden door twee unilaterale netwerken die in tegengestelde richting werken. Zie fig. 2.19. Beide unilaterale netwerken hebben bij iedere input combinatie een evenwichtstoestand. Het subnetwerk, dat de output z produceert, bezit geen geheugen. Daardoor heeft het bilateraal netwerk van fig. 2.19 bij iedere combinatie van input variabelen een evenwichtstoestand die binnen eindige tijd bereikt wordt.

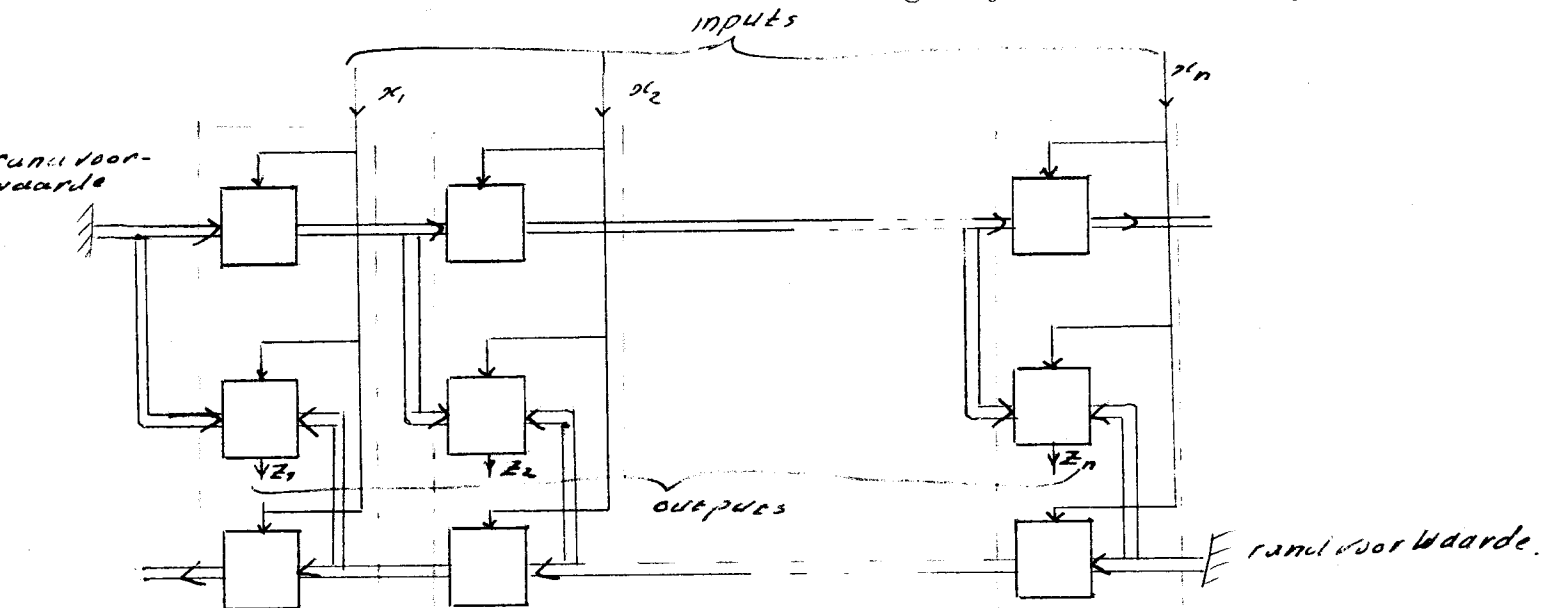


Fig. 2.19

Literatuur opgave.

- I Aschenhurst R. (1959). The decomposition of switching funktions. Am. Comput. Lab. Havard. Univ., 29 No 30 Havard. Univ. Press. Cambridge, Massachusetts.
- 2 Caldwell S.H. Switching circuits and logical design. (1960) Wiley, New York.
- 3 MC. Cluskey E.J. Iterative Combinational Switching Networks-General Design Considerations. IRE Trans. Elec. Comput. EC-7 285-291 (Dec 1958)
- 4 Dean K.J. Logical circuits for use in iterative array. Electronic Letters 4 maart 1968.
- 5 Fantauzzi 1968 A semigroup theory fot the Maitra cascade. In Proceedings IFIP Congress. I Supplement Book I, pp. 54-61.
- 6 Fantauzzi Application Karnaugh maps to maitra cascades In AFIPS Conf. Proc. 32 SJCC, Thomson, 291-296.
- 7 Hennie F.C. Analysis of bilateral iterative networks. IRE Trans. on circuit theory 1959 blz 35 maart.
- 8 Hennie F.C. 1968 Finite State Models for logical Machines Wiley New York.
- 9 Keister W.S.A. Ritchie and S. Washburn. The design of Switching Circuits,(1959)D. van Nostrand, New York.
- 10 Lendaris G.G., and Stanley G.L. (1963) On the struc- ture - Dependent properties of adaptive logic networks. GM Defense Res. Labs.,
- II Lendaris G.G. Mathematics and Evaluation studies Dept., Santa Barbara, California, TR 63-219, July
- 12 Levy S.Y. Winder R.O. and Mott T.H.J.R. A note on tributary switching networks. IEEE Trans. Elec. Comput. EC-13 148-151

- I3 Maitra K.K. 1962 Cascaded switching networks of two inputs flexible cells. IRE Trans. Elec. Comput. EC-II 136-143.
- I4 Minnick R.C. 1964 Cutpoint cellular logic. IEEE Trans. Elec. Comput. EC-13 685-698.
- I5 Mukhopadhyay A. Recent Developments in switching theory. Academic Press. INC., New York.
- I6 Sklansky J. 1963 General synthesis of tributary switching networks. IEEE Trans. El. Comput EC-12 464-
- I7 Short R.A. 1965 Two rail cellular arrays. In AFIPS Conf. Proc. 27, Pt. I, Wasington D.C. Spartan 355-69
- I8 Stone H.S. and Korenjak A. 1965 Canonical form and synthesis of cellular cascades. IEEE Trans. Electr. Comput EC-14 852-862.
- I9 Weg v.d. H. Voortgezette schakeltechniek. Aantekeningen voorjaars college x THE.
- 20 Weiss 1969 The characterization and properties of cascade realizable switching functions. IEE+E Trans. Comput C-18 624-633.
- 2I Yoeli M. 1965 A group theoretic approach to two rail cascades. IEEE Trans. Electron. Comput, EC-14 815-822.
- 22 Yoeli M. and Turner J.B. 1966 Decompositions of group functions with applications to two rail cascades Sci. Rep 2, Contract AF 19(628)-5828, SRI Project 5876, AFCL 66-472. Stanford Res. Inst., Menlo Park, California.

Hoofdstuk 3

Twee dimensionale cellulaire netwerken.

Samenvatting.

Sektie 3.1 behandelt cellulaire netwerken, waarvan de functies van de cellen vastliggen. De celfuncties kunnen zijn: NOR's, NAND's en drempel elementen. In sectie 3.2 en 3.3 zijn de celfuncties en hun onderlinge verbindingen variabel. Voorbeelden zijn: Cutpoint netwerken, Cobweb netwerken, q-functie netwerken en geprogrammeerde netwerken.

Introductie.

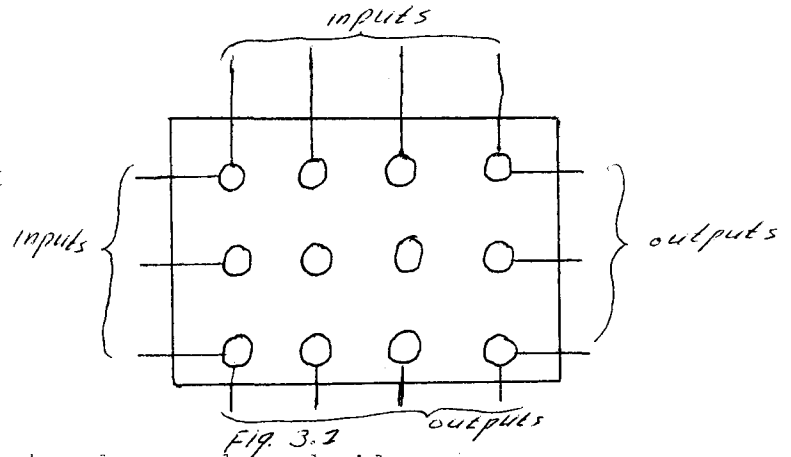
Fig. 3.1 laat een twee dimensionaal cellulair netwerk zien. Elke cel en zijn verbindingen met de buren zijn gelijk.

De celfunctie en de verbindingstructuur tussen de cellen onderling kunnen met behulp van celparameters ingesteld worden.

Men kan 3 soorten cellulaire netwerken onderscheiden:

- a/ Netwerken met vaste celfuncties en variabele verbindingstructuur. Sektie 3.1.
- b/ Netwerken met vaste verbindingstructuur en variabele celfuncties. Sektie 3.2.
- c/ netwerken met variabele verbindingstructuur en variabele celfuncties. Sektie 3.2 (Cobweb netwerken, Diamond 2 netwerken, 2 way en 4 way netwerken en toepassing van de permutatie cel).

Door toepassing van de celparameters heeft men één type cel nodig om het netwerk te realiseren. (Geschikt voor LSI). De cel wordt echter complexer.



De celparameters kunnen tijdens het laatste gedeelte van het fabricage proces ingesteld worden. Dit gebeurt met behulp van "cutpoints". Deze "cutpoints" bestaan uit kleine fotocellen of schakelaars of punten, waarbij de geleiders mechanisch verbroken kunnen worden.

De celparameters kunnen ook elektrisch ingesteld worden. De celparameters zijn dan als flipfloppen uitgevoerd. Deze parameters kunnen elektrisch, van uit de randen van het netwerk, ingesteld worden.

De voordelen van deze programmeerbare netwerken zijn;

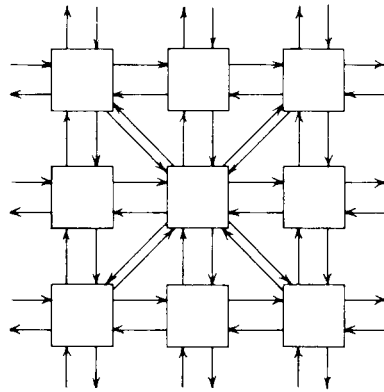
- a/ Netwerk is flexibeler. Hierdoor wordt het aantal netwerken in een systeem gereduceerd.
- b/ Betere fout correctie. Defekte cellen in het netwerk kunnen opgeheven of omzeild worden, doordat het netwerk op meer dan een manier geprogrammeerd kan worden voor het realiseren van dezelfde functie. Een gehele rij of kolom waarin de defekte cel zit kan uitgeschakeld worden.
- c/ De mogelijkheid om vele kleinere subnetwerken met elkaar door te verbinden tot een groter netwerk. Producteren de subnetwerken functies van n variabelen, dan is men in staat om functies van meer dan n variabelen te realiseren, door meerdere subnetwerken toe te passen.
- d/ Grotere logische prestatie per chip. Het netwerk kan in een systeem zeer veel verschillende functies uitvoeren.

3.1 Twee dimensionale netwerken met vaste celfuncties.

Bij deze netwerken zijn de cellen eenvoudig van structuur. de celparameters zorgen voor het verbreken of intact blijven van de verschillende verbindingen, tussen de cellen onderling. De celfunctie ligt vast.

3.1. A NAND's en NOR's

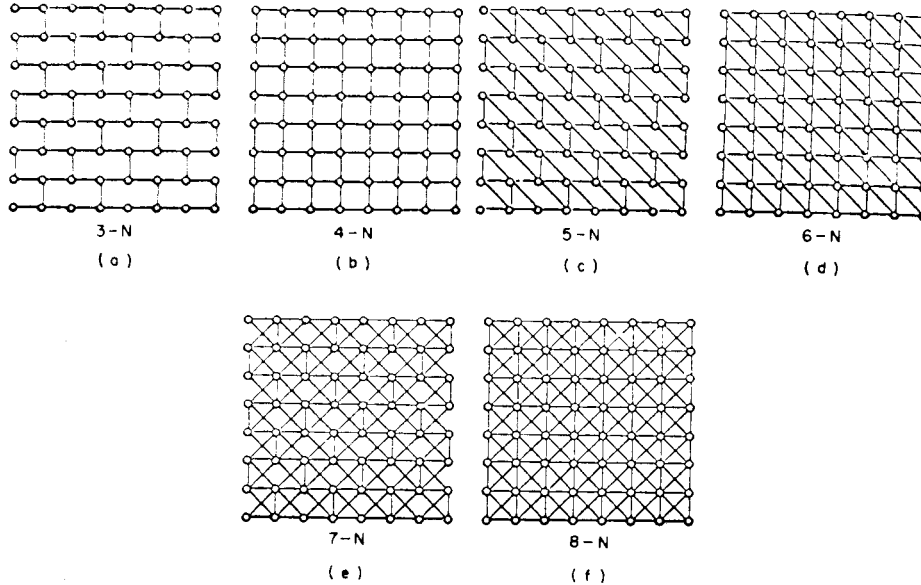
Brooking heeft netwerken bestudeerd, opgebouwd uit cellen, die de NOR als celfunctie hebben. (lit 2) In fig. 3.2 wordt weergegeven hoe de cel met zijn 8 burens wordt doorverbonden.



The 8-neighbor NOR array.

Fig. 3.2

Iedere subset van 8 inputs kan worden geselecteerd door een set van 8 parameters. Door een juiste keuze van deze parameters zijn zeer veel verbindingstructuren mogelijk. (zie fig. 3.3)



Several possible eight-neighbor interconnection graphs (From [9], with permission)

Fig. 3.3

De lijnen (in fig 3.3) tussen de cellen onderling stellen ~~een~~ twee richtingsinformatie lijnen voor.

Brooking heeft vele types van deze subgraphs bestudeerd, en vond dat deze subgraphs hetzelfde gedrag konden vertonen als die van een sequentiële machine (binaire teller enz.). King (lit8) toonde aan dat iedere willekeurige

autonome sequentiële machine kan worden opgebouwd uit deze cellen. Echter op een onefficiënte manier. Hij representeerde de toestand van alle cellen door een toestandsvektor S_t . De onderlinge verbindingen tussen de cellen door de matrix $[A]$. De overgang van iedere vorige toestandsvektor S_t in de volgende toestandsvektor S_{t+1} wordt voorgesteld door $S_{t+1} = [A] S_t$. Hieruit ontstaat een toestandsdiagram van een autonome sequentiële machine. De noodzakelijke en voldoende voorwaarden voor de matrix A, om iedere klasse toestandsdiagrammen te genereren, zijn door King bepaald.

Spandorfer en Murphy (lit I7 1963) ontwikkelden logische ontwerp methodes voor de realisatie van kombinatorische functies, waarbij de NAND celfunctie wordt toegepast. Het cellulaire netwerk bestaat uit vertikale en horizontale op en neer gaande bussen. Deze bussen dienen om de input variabelen zowel in vertikale als in horizontale richting te verplaatsen. (zie fig 3.4)

De cellen hebben maximaal 2 inputs en 2 outputs. De functie van het netwerk wordt bepaald door het al of niet plaatsen van bogen (synthesizing arcs), zoals in fig. 3.4 wordt weergegeven.

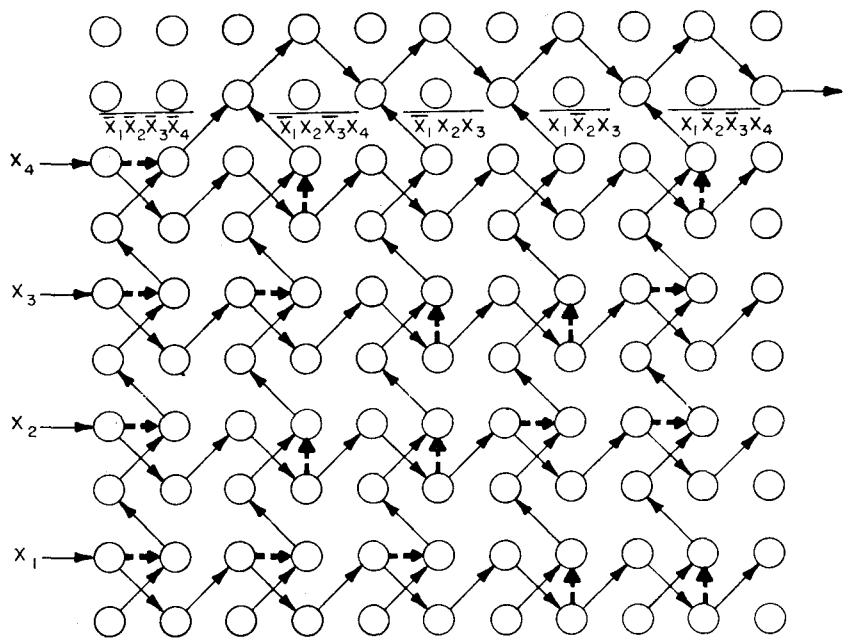
De functie van n variabelen wordt eerst omgevormd in een som van logische produkten. Het aantal logische produkten wordt geminimaliseerd volgens de conventionele methodes.

~~Eerst wordt het aantal termen geminimaliseerd~~

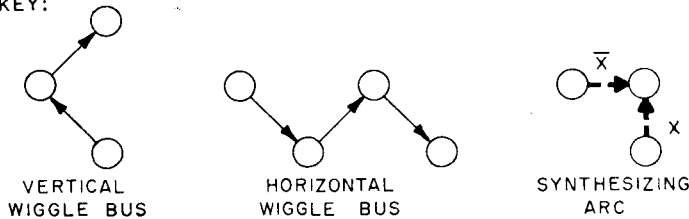
Daarna wordt het aantal literals geminimaliseerd.

Neemt men een worst case functie (d.i. een functie met een maximum aantal priemprodukten b.v. een wisselende symetrische functie), dus een functie met 2^{n-1} termen, dan heeft men $2(n+1)(2^{n+1})$ cellen nodig. Voor een toenemend aantal variabelen n, nadert het aantal cellen tot $n \cdot 2^{n+1}$. (Growth rate).

Minnick 1968 (lit II) ontwikkelde eenzelfde ontwerp-methode met de NOR als celfunctie.



KEY:



$$f(x_1, x_2, x_3, x_4) = \overline{x_1} \overline{x_2} \overline{x_3} \overline{x_4} + \overline{x_1} x_2 \overline{x_3} x_4 + \overline{x_1} x_2 x_3 + x_1 \overline{x_2} x_3 + x_1 \overline{x_2} \overline{x_3} x_4$$

$$= \overline{(\overline{x_1} \overline{x_2} \overline{x_3} \overline{x_4}) (\overline{x_1} x_2 \overline{x_3} x_4) (\overline{x_1} x_2 x_3) (x_1 \overline{x_2} x_3) (x_1 \overline{x_2} \overline{x_3} x_4)}$$

Spandorfer's eight-neighbor-array synthesis method (From [105], with permission)

Fig. 3.4

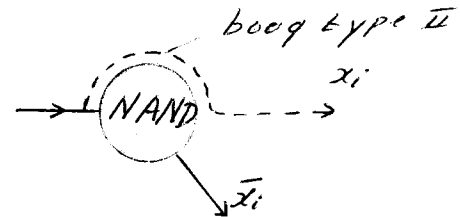
Een ander type netwerk, ook ontwikkeld door Spandorfer en Murphy, gebruikt cellen met maximaal 3 inputs en 2 outputs. De celfunctie is weer een NAND. Door middel van celparameters kan iedere subset van inputs en outputs gerealiseerd worden. Dit netwerk wordt Diamond I netwerk genoemd. Geïnteresseerde lezers worden verwezen naar het artikel van Minnick 1967 (lit 10) blz 216, waar dit netwerk wordt behandeld.

De growth rate van het Diamond 1 netwerk is $n2^n$. Dit is gunstiger dan het netwerk met verticale en horizontale bussen. Het Diamond 2 netwerk (ook ontwikkeld door Spandorfer en Murphy) gebruikt een cel met maximaal 3 inputs en 3 outputs. De celfunctie is ook hier weer een NAND. Er is een extra parameter aan de cel toegevoegd, die de celfunctie enigszins verandert. (zie fig. 3.5).



Diamond II

ieder subset van in- en out-puts kan m.b.v. cel-parameters uitgeselcteed worden.



Door extra parameter boog type II mogelijk

Fig. 3.5

De cel is complexer geworden. De growth rate is $3/4 \cdot 2^n$. Voor gedetailleerde informatie over dit netwerk zie lit. 10.

3.1.B Drempel-elementen

Er bestaan cell. netwerken die opgebouwd zijn uit drempel elementen. Deze netwerken hebben een vaste celfunctie en een "semi"-vaste verbindingstructuur. In onderstaande tekst wordt een methode behandeld, om een willekeurige functie te realiseren m.b.v. drempel-elementen (majority gates) van 3 variabelen.

De logische functie van een drempel element ziet er als volgt uit: $f(a,b,c) = a \cdot b + b \cdot c + c \cdot a = a \# b \# c$

Als $b \cdot c = 0$ dan $a \# b \# c = a \cdot (b + c)$
 Als $b + c = 1$ dan $a \# b \# c = a + b \cdot c$

Beschouw nu de volgende twee gevallen:

A/ Als $F = D \cdot E$ en F, D en E zijn functie van n variabelen.

$$\text{Dan } E(x_1, \dots, x_n) = x_i \cdot E(x_1, \dots, 1, \dots, x_n) + \bar{x}_i \cdot E(x_1, \dots, 0, \dots, x_n).$$

$$\text{Stel } G = x_i \cdot E(x_1, \dots, 1, \dots, x_n) \text{ en } H = \bar{x}_i \cdot E(x_1, \dots, 0, \dots, x_n).$$

$$\text{Dan } E = G + H \text{ en } G \cdot H = 0.$$

$$\text{Daaruit volgt } F = D \cdot (G + H) = D \# G \# H.$$

B/ Als $F = K + L$ en F, K en L zijn funkties van n variabelen.

$$\text{Dan } L(x_1, \dots, x_n) = \{x_i + L(x_1, \dots, 0, \dots, x_n)\} \cdot \{\bar{x}_i + L(x_1, \dots, 1, \dots, \bar{x}_n)\} .$$

$$\text{Stel } M = x_i + L(x_1, \dots, 0, \dots, x_n) \quad \text{en } N = \bar{x}_i + L(x_1, \dots, 1, \dots, \bar{x}_n)$$

$$\text{Dan } F = K + M \cdot N \quad \text{en } M + N = 1 \qquad F = K \# M \# N.$$

De ontleding van een funktie in drempel elementen geschiedt als volgt:

$$F(x, y, \dots) = x \cdot F_1 + \bar{x} \cdot F_0 \qquad \begin{array}{l} F_1 = F(1, y, z, \dots) \\ F_0 = F(0, y, z, \dots) \end{array}$$

Pas geval B toe

$$\left. \begin{array}{l} \text{stel } \bar{x} \cdot F_0 = \bar{x} \cdot F_0 \cdot 1 \\ 1 + \bar{x} \cdot F_0 = 1 \end{array} \right\} \Rightarrow F = 1 \# x \cdot F_1 \# \bar{x} \cdot F_0$$

$$x \cdot F_1 = x \cdot (y \cdot F_{11} + \bar{y} \cdot F_{10}) \quad \text{pas hierop geval A toe en}$$

$$x \cdot F_1 = x \# y \cdot F_{11} \# \bar{y} \cdot F_{10}$$

$$\bar{x} \cdot F_0 = x \cdot (y \cdot F_{01} + \bar{y} \cdot F_{00}) \quad \text{pas ook hierop geval A toe en}$$

$$\bar{x} \cdot F_0 = x \# y \cdot F_{01} \# \bar{y} \cdot F_{00}$$

Door geval A herhaald toe te passen krijgt men de volgende ontleding van $F(x, y, z)$

$$F = 1 \# x \cdot F_1 \# \bar{x} \cdot F_0$$

$$x \cdot F_1 = x \# y \cdot F_{11} \# \bar{y} \cdot F_{10}$$

$$y \cdot F_{11} = y \# z \cdot F_{111} \# \bar{z} \cdot F_{110}$$

-
-
-
enz.

$$\bar{x} \cdot F_0 = x \# y \cdot F_{01} \# \bar{y} \cdot F_{00}$$

$$y \cdot F_{01} = y \# z \cdot F_{011} \# \bar{z} \cdot F_{010}$$

-
-
-
enz.

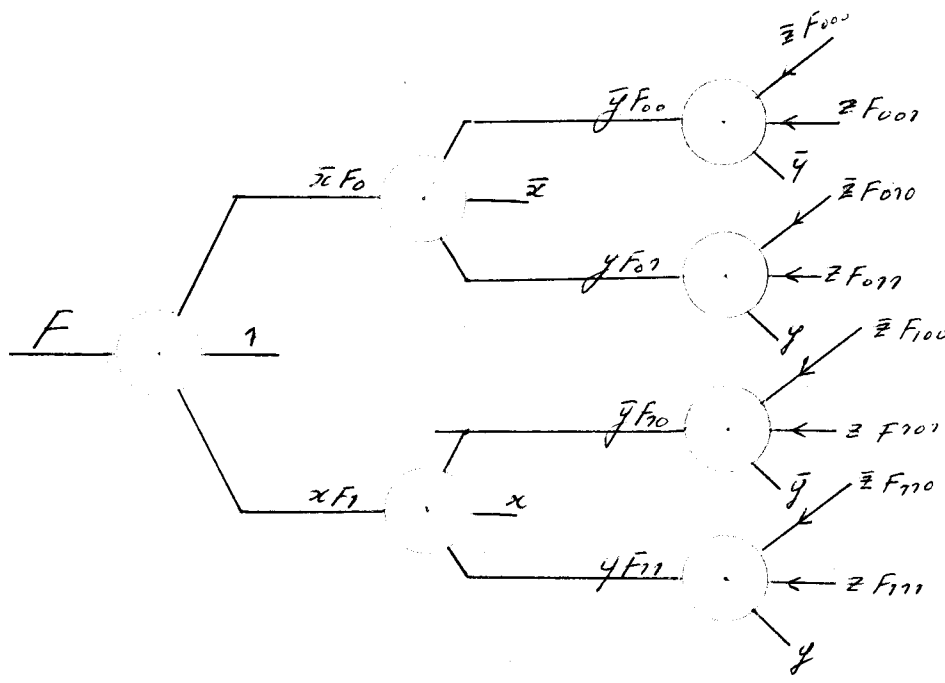


Fig. 3.6

Fig. 3.6. laat de realisatie zien van de functie F m.b.v. drempel elementen.

Fig. 3.7 geeft dezelfde functie weer. De boom is hier ingebed in een rechthoekig netwerk bestaande uit identieke cellen. De inputs van de cellen worden óf aan een van de variabelen x, y en z gelegd óf aan een konstante waarde nul of één gelegd. Het aantal cellen is $3n \cdot 2^n + 7 - 3 \cdot 2^{n-1} - 2n$, growth rate is $3n2^n$. De variabelen worden hier niet via de randen van het netwerk toegevoerd. Ze zijn enigszins willekeurig over het netwerk verdeeld. De celparameters zijn verdwenen. Daar voor in de plaats komt nu het aan de waarde nul of een leggen van de diverse inputs.

F. Miyata (lit. 12 a) gaat dieper in op de ontleding van willekeurige functies in drempel elementen.

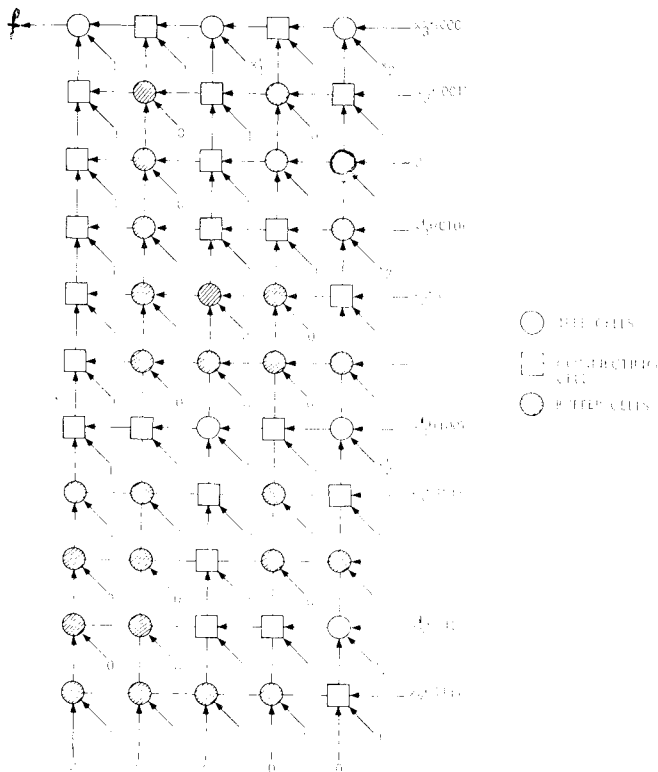


Fig. 19. Tree-based majority-gate cellular array: rectangular form (From [84]).

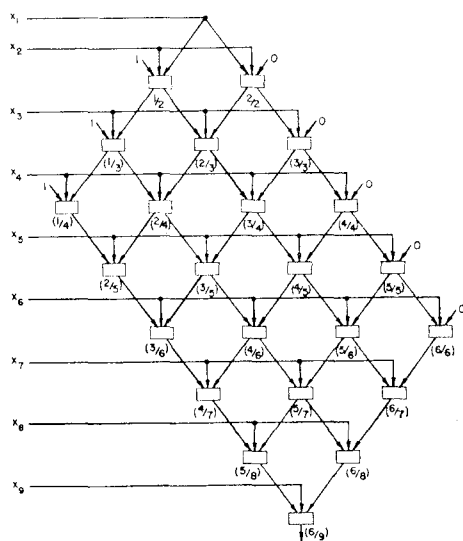
Fig. 3.7

Canaday ontwikkelde in 1964 verschillende methodes voor de synthese van willekeurige kombinatorische functies, waarbij de 3 inputx drempel elementen gebruikt worden. (lit. 2a) Canaday's eerste synthese algoritme behandelde de konstruktie van een intersektie matrix. Doormiddel van deze intersektie matrix kan men onmiddellijk een majority-gate netwerk afleiden voor de sythese van de vereiste functie. Canaday heeft ook verschillende methodes ontwikkeld zowel rekenkundige als heuristische, voor de reductie van de afmeting van de intersektie matrix. Hierdoor namen de afmetingen van het netwerk ook af.

Amarel 1964 (lit.1) en zijn kollega's hebben ook de synthese van cellulaire netwerken, bestaande uit 3 input drempel elementen, bestudeerd. Deze netwerken worden echter gebruikt voor de realisatie van k uit n functies ($k \leq n$).

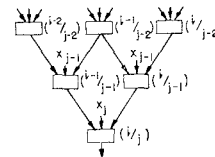
Een k uit n functie heeft n variabelen. De functie heeft de waarde één als k of meer variabelen de waarde één hebben. In het vervolg wordt de functie aangeduid door (k/n) .

Fig. 3.8 toont een cell. netwerk, dat een $(6/9)$ functie realiseert. De cellen bestaan uit 3 input drempel elementen. Amarel bewijst dat een netwerk, opgebouwd overeenkomstig het schema van fig. 3.8 a en b, iedere (a/b) functie realiseert.



(6/9) function realized by 3-input majority gates according to the network scheme $N_3(2)$.

a



b

Fig. 3.8

Het netwerk van fig. 3.8 kan alleen (k/n) functies realiseren. Het aantal cellen dat daarbij nodig is, is gelijk aan $k(m-k+1)-1$. Nadeel van dit netwerk is: bij iedere (k/n) functie behoort een bepaalde topologische structuur. Het netwerk is daardoor niet universeel (kan niet met cel parameters in gesteld worden).

De theorie van de synthese van (m/n) funkties kan met sukses worden toegepast op de synthese van symmetrische funkties. Een symmetrische funktie kan als volgt gedefinieerd worden: Stel $S_{A,B,C,\dots}(x_1, x_2, \dots, x_n)$ is een symmetrische funktie

A, B, C, \dots zijn gehele getallen. $S_{A,B,C,\dots}(x_1, \dots, x_n)$ neemt de waarde één aan dan en slechts dan, als het aantal variabelen, die de waarde één hebben, gelijk is aan A, B, C, \dots enz... Ook komt men de volgende schrijfwijze tegen,

$$S_{a \leq t \leq a'}(x_1, x_2, \dots, x_n)$$

t is het aantal variabelen met de waarde één. Als t voldoet aan een van de ongelijkheden dan heeft S de waarde één.

Als $a < a' < \dots < \dots$ enz. dan wordt

$$S_{a \leq t \leq a' < \dots < \dots}(x_1, \dots, x_n) = \overline{(a/n)} \overline{(a'/n)} + \dots + (l/n)(l'/n)$$

In fig 3.9 wordt de realisatie van de funktie $S_{1,3,5,7}$ weergegeven.

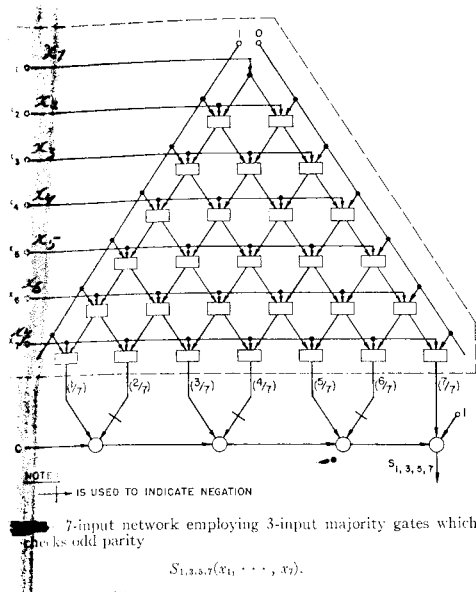


Fig. 3.9

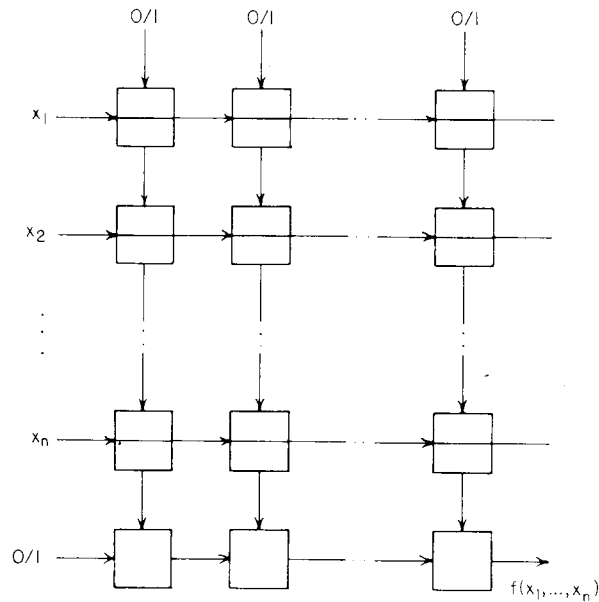
Zschirnt (lit 21) 1966 heeft ook cellulaire netwerken bestaande uit drempel elementen bestudeerd. Hij bewees dat een boom van drempel elementen ingebed kan worden in een cellulair netwerk van NOR poorten.

3.2 Twee dimensionale netwerken met variabele celfunkties.

De celparameters, die de celfunctie veranderen, kunnen als "cutpoints" worden uitgevoerd. De celparameters worden dan tijdens het laatste gedeelte van het fabrikage proces ingesteld. Door b.v. fotocellen en de mogelijkheid om op bepaalde plaatsen verbindingen te verbreken. De celparameters kunnen ook als flipfloppe worden uitgevoerd, zodat deze parameters elektrisch ingesteld kunnen worden.

3.2.1 Randgevoed horizontaal bus type.

Een voorbeeld van een rand gevoed bus type laat fig 3.10 zien.



Edge-fed horizontal bus type array with 2-input, 1-output cells.

Fig. 3.10

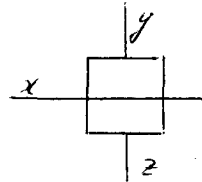
De cellen bestaan uit 2 inputs en een output. Het bovenste gedeelte van het netwerk wordt hoofdnetwerk of minterm netwerk genoemd. Het onderste gedeelte wordt kollektor netwerk genoemd. De bovenste inputs van het hoofdnetwerk worden

voorzien van konstante nullen of enen. Het hoofdnetwerk produceert een aantal funkties, die in het kollektornetwerk worden samengevoegd tot een output funktie. (Ook meerdere outputs zijn mogelijk zie fig. 3.13b blz 41)

Een eenvoudige ontwerp methode is, door de kolommen van het hoofdnetwerk de mintermen van de funktie te laten produceren. Het kollektornetwerk sommeert dan deze mintermen. De celfunkties kunnen dan b.v. zijn;

$$z = x \cdot y \qquad z = x + y$$

$$z = \bar{x} \cdot y \qquad z = \overline{x + y}$$



Deze funkties kunnen m.b.v. celparameters ingesteld worden. Growth rate is $(n + 1)2^{n-1}$.

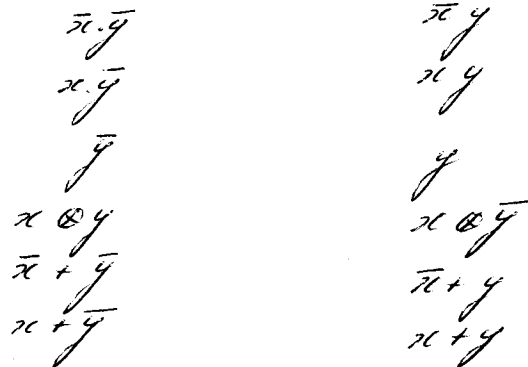
3.2.1.A Cutpoint netwerken.

De cutpoint netwerken zijn gebaseerd op de maitra cascades.

(zie hfd. 2) Elke kolom van het hoofdnetwerk is in staat om elke niet redundante cascade realiseerbare funkties te produceren.

In het vervolg worden deze niet redundante cascade realiseerbare funkties maitra funkties genoemd.

Minnick 1964 bewijst dat een van de twee onderstaande series van 6 celfunkties voldoende is om een maitra funktie te realiseren door een niet redundante cascade. Minnick 1964 (lit.9)



De zes celfunkties worden met 3 bits ingesteld. Hierdoor zijn 8 celfunkties mogelijk.

Minnick gebruikte de celfunkties van fig. 3.12.

INDEX	a	b	c	d	z
0	0	0	0	0	1
1	0	0	0	1	y'
2	0	0	1	0	x'+y'
3	0	0	1	1	x'y'
4	0	1	0	0	x+y
5	0	1	0	1	xy'
6	0	1	1	0	xey
7	0	1	1	1	0
F	1	1	0	1	x=S, y=R

Fig. 3.12

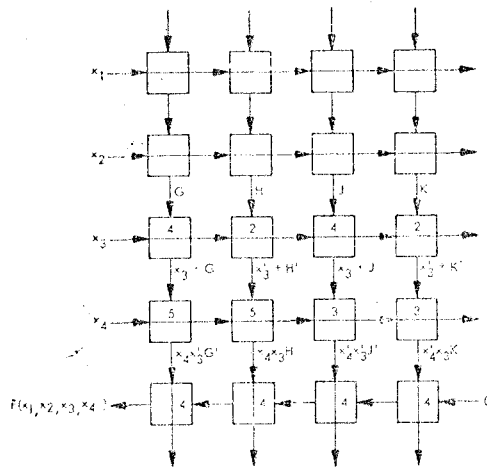
Fig. 3.12

De funktie $f=0$ en $F=I$ zijn er bij gekomen, omdat deze funkties reeds in de cel aanwezig zijn, zonder toevoeging van extra logica. Minnick voert tevens nog een extra vierde bit in om de cel als flipflop te laten werken. Er hoeft in het laatste geval maar zeer weinig logica aan de cel worden toegevoegd om de flipflop werking te realiseren. Iedere willekeurige funktie van twee variabelen kan, door het in cascade schakelen van twee van deze cellen, gerealiseerd worden.

Een funktie van 4 variabelen kan op de volgende manier worden ontleed,

$$F(x_4, x_3, x_2, x_1) = x_4 \bar{x}_3 \bar{f}(x_2, x_1) + x_4 x_3 H(x_2, x_1) + \bar{x}_4 \bar{x}_3 \bar{f}(x_2, x_1) + \bar{x}_4 x_3 K(x_2, x_1)$$

Realisatie van deze funktie zie fig 3.13a



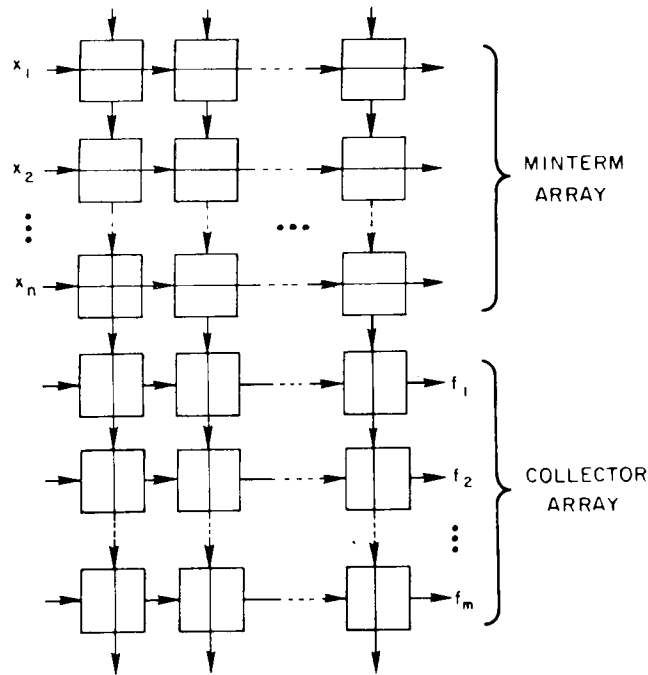
-Cutpoint array for an arbitrary function of four variables.

Fig. 3.13a

Het aantal produkttermen bij een funktie van n variabelen, wanneer deze volgens bovenstaande methode wordt ontleed, is $(n+1)2^{n-2}$. Growth rate $n2^{n-2}$.

De laatst genoemde ontwerp methode garandeert geen minimum aantal cellen in de cutpoint netwerken. Minnick past in zijn artikel wel enige reductie technieken toe, maar die zijn sterk afhankelijk van de vindbaarheid van de systeemontwerper. (Geen methodische reductie techniek)
 Er bestaan minimalisatie algoritmes, die de synthese van bepaalde vormen van cutpoint netwerken aanzienlijk verbeteren. (Mukhopadhyay en Weiss zie sectie 3.2.1.C)

Fig. 3.13b ^{1000/12} een uitgebreider type cutpoint netwerk.



Augmentation of the row-bussed array for the simultaneous realization of many functions.

Fig. 3.13b

Het kollektor netwerk is tot meerdere rijen uitgebreid. Het netwerk heeft nu meerdere outputs.
 De celfunctie van het hoofdnetwerk kan een van de funkties van de cutpoint cel van Minnick zijn. De funktie wordt aangeduid door Z_0 . Zie fig 3.13c.

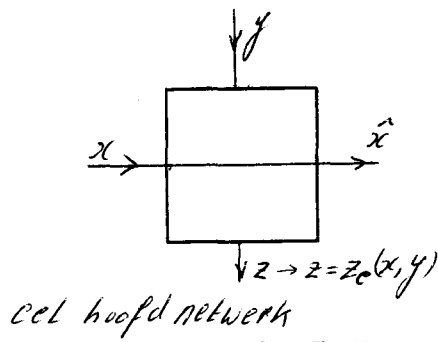
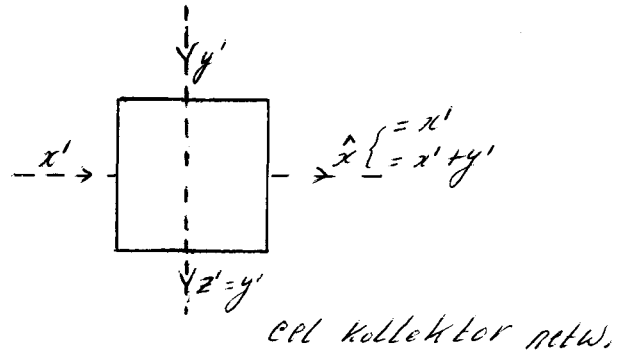


Fig 3.13c



Ter onderscheiding van de cel van het hoofdnetwerk, zijn de verbindingen van de cel van het kollektor netwerk gestreept weergegeven.
 Beide type cellen kan men in een cel onderbrengen. Hiertoe worden de outputs van het hoofdnetwerk via een bus in verticale richting omhoog geleid, waarbij de cel in fig. 3.13d wordt toegepast.

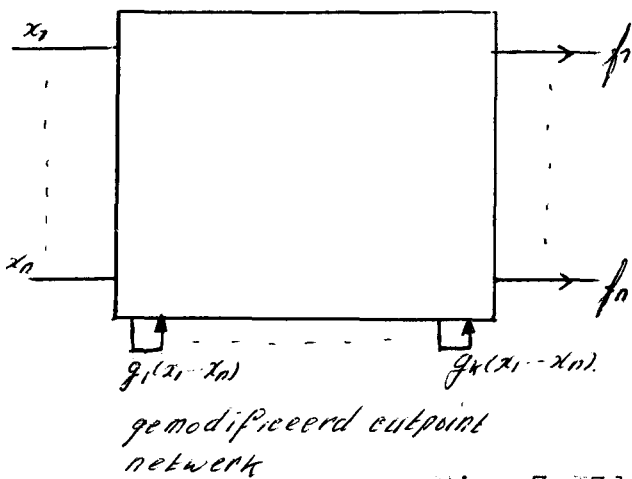
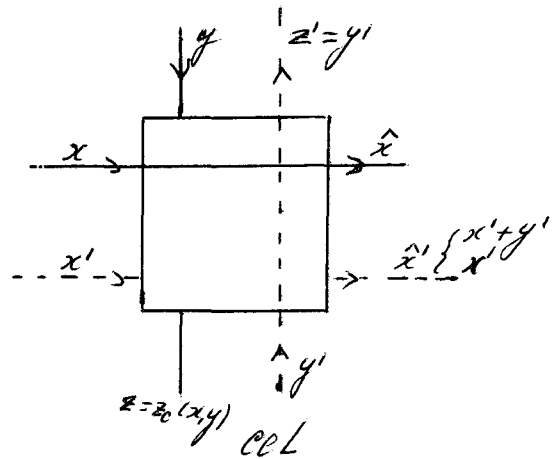


Fig. 3.13d



Deze cel bezit meer celparameters dan de cutpoint cel van Minnick. Door verschillende funkties van $Z_c(x, y)$ weg te laten of te laten samenvallen met een van de twee funkties van $\hat{x}'(x', y')$, kan men het aantal parameters reduceren. Hierdoor zijn diverse types netwerken mogelijk.

Minnick beschrijft ook de synthese van enige komputer elementen zoals schuifregister, vermenigvuldiger, code omzetter enz... m.b.v. cutpoint netwerken. Toepassing van de cutpoint cel op bovengenoemde elementen, blijkt inefficiënt te zijn. Minnick heeft daarom in 1965 (lit 9a) een ander type cel ontwikkeld, dat efficiënter toegepast kan worden op netwerken, die parallele rekenoperaties realiseren.

3.2.1.B Cobweb netwerken.

Een efficiënter cellulair netwerk dan het cutpoint netwerk is het cobweb netwerk. De gebruikte cel heeft ongeveer dezelfde logica als die van het cutpoint netwerk. De informatie stroom stroomt hier niet alleen van links naar rechts en van boven naar beneden, maar ook van rechts naar links en van boven naar beneden in diagonale richting. Daaruit volgt dat een cascade realiseerbare functie niet gerealiseerd hoeft te worden door een verticale cascade, maar ook gerealiseerd kan worden door een zig-zag pad in het netwerk.

De cobweb netwerken zijn meer bedoeld voor het ontwerpen van rekenkundige operaties dan het realiseren van boolse functies. Er zijn reeds speciale cellen ontwikkeld voor vermenigvuldigers, deulers enz.., die sneller en veel efficiënter werken dan deze cobweb cellen. Om deze reden wordt het principe van de cel in het kort behandeld. Fig 3.14 geeft de cobweb cel weer.

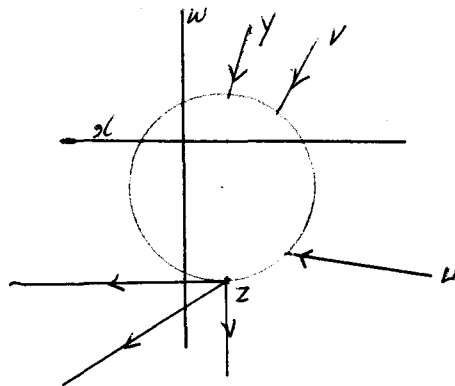
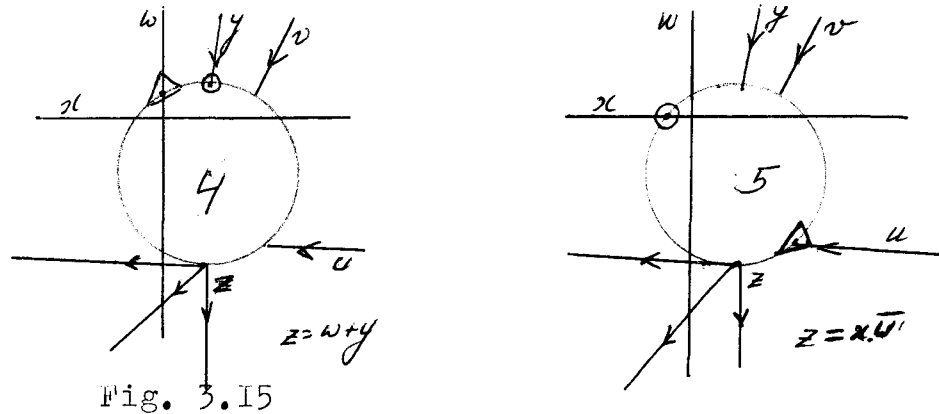


Fig 3.14

De celfunctie van deze cel is gelijk aan die van de cutpoint cel. Het nummer van de cel functie wordt in de cel geschreven. Dit nummer komt overeen met het nummer in de tabel van fig. 3.12. Normaal zijn de inputs van de cel niet doorverbonden met het inwendige van de cel. Wordt een van de inputs door verbonden met het inwendige van de cel, dan wordt dit aangegeven met een cirkeltje of driehoek om de input. Zie fig. 3.15.



Voor het realiseren van de boolese functies met de nummers 0,1,2,3,4,5,6,7 worden 2 van de 5 inputs met het inwendige van de cel doorverbonden. De input die omcirkeld is, komt overeen met de x input van de tabel van fig. 3.12. De input van de cobweb cel, die aangeduid wordt met een driehoek, komt overeen met de y input van de tabel van fig. 3.12. De cobweb cel is ook instaat om de informatie stroom te wijzigen. De cel met deze eigenschap wordt springcel genoemd. Deze cel is instaat twee of meerdere in en outputs met elkaar door te verbinden. De inwendige celfunctie wordt hierbij uit geschakeld. De sprongcel wordt aangeduid met een J in de cirkel. De in- en outputs, die met een cirkel of driehoek zijn voorzien, zijn met elkaar doorverbonden. Wil men nog een extra doorverbinding maken van in- en outputs, die geïsoleerd is t.o.v. de eerste doorverbinding, dan wordt dit aangeduid met driehoekjes om de betreffende in- en outputs. Zie fig.3.16.

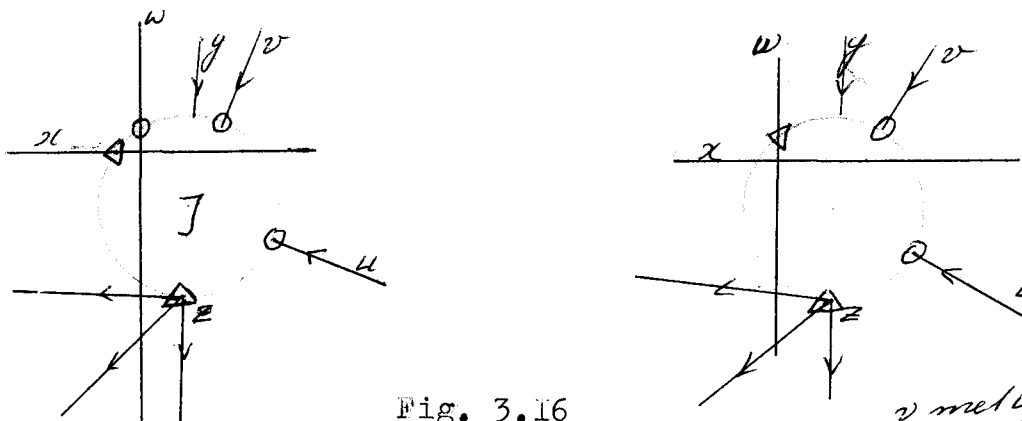


Fig. 3.16

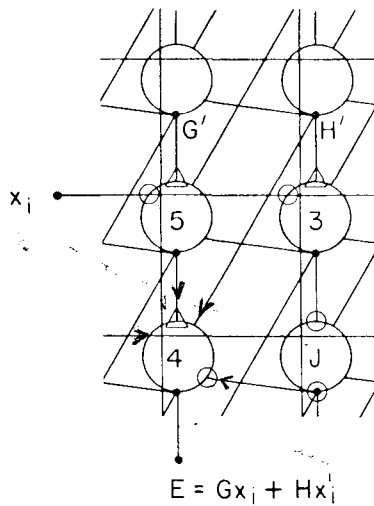
v, w en u zijn met elkaar doorverbonden
x en z " " " " " "

v met u verbonden en
w met z verbonden

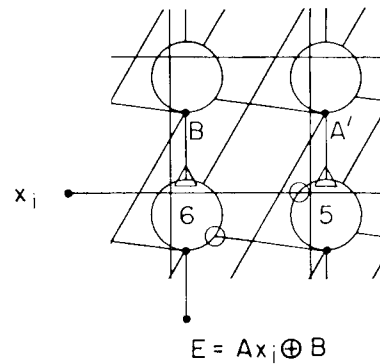
Fig. 3.17 a en b laten twee ontledingen van een functie $E(x_1, x_2, \dots, x_n)$ zien.

Fig. 3.17a $E = Gx_1 + H\bar{x}_1$ Shannon ontleding.
 Fig. 3.17b $E = Ax_1 \oplus B$ Reed ontleding

G, H, A en B zijn functies van $n-1$ variabelen. De variabele x_1 komt daarin niet meer voor. Aangenomen wordt dat $\bar{G}, \bar{H}, \bar{A}$ en \bar{B} cascade realiseerbaar zijn.



(a) SHANNON



(b) REED

Fig. 3.17

Konklusie

Het essentiële verschil tussen het cutpoint en cobweb netwerk is de gekompliceerdere en flexibelere onderling verbindingstructuur van het laatst genoemde netwerk. Deze flexibiliteit geeft de ontwerper meer vrijheid op topologisch gebied. Voor cobweb netwerken bestaan echter geen algorithmes of systematische methodes voor het ontwerpen van boolese functies.

3.2.1.C Minimalisatie algorithmes.

Uit het voorgaande blijkt, dat er behoefte bestaat aan algorithmes of systematische methodes om de cellen in een cellulair netwerk zo efficiënt mogelijk te gebruiken. Onder "zo efficiënt mogelijk" wordt verstaan, het optimaliseren van diverse functies en parameters waaruit het cellulaire netwerk bestaat. Zoals het aantal cutpoints per cel, de complexiteit van de cel, de onderlinge verbindingstructuur, de vertraging en het totaal aantal cellen enz.... Vele van deze parameters zijn onderling afhankelijk van elkaar. Elspas 1964 (lit. 3) heeft de afhankelijkheid van enige topologische parameters bestudeerd, zoals het totaal aantal verbindingen die in een cel plaats vinden, de maximale en gemiddelde cel afstand, de afmetingen en de onderlinge verbindingstructuur van de netwerken.

De cutpoint en cobweb netwerken produceren een boolse functie door de outputs van meerdere maitra cascades te verzamelen in een kollektornetwerk. Daardoor bestaat er een behoefte om een functie uit te drukken in een minimaal aantal maitrafuncties. Er is nog geen algoritme bekend, die een willekeurige functie kan ontleden in een minimaal aantal maitra functies. De variabelen van de maitra cascades moeten zodanig geordend zijn, dat deze gerealiseerd kunnen worden m.b.v. een randgevoed bus type cell. netwerk.

Er bestaan wel enige minimalisatie algorithmes, die toegepast kunnen worden op enkele speciale vormen van cutpoint netwerken.

Mukhopadhyay 1969 (lit. 13) ontwikkelde een minimalisatie algoritme voor een unate cellulair netwerk. Een unate cellulair netwerk is van het randgevoed bus type, waarvan de unate cel op slechts één uitzondering na geheel gelijk is aan de cutpoint cel van Minnick. De unate cel is namelijk niet in staat om de exclusive-or of equivalentie functie te genereren, een cascade, opgebouwd uit deze unate cel, wordt unate cascade genoemd. De unate cascade is niet redundant. Het kollektornetwerk bestaat ook uit een unate cascade, in zijn artikel bewijst Mukhopadhyay dat:

- a/ De output van een unate cascade een unate functie* is.
- b/ Iedere unate functie is m.b.v. een unate cascade realiseerbaar.
- c/ De prime implicants van een unate functie zijn essentiële prime-implicants.

* Def. unate functie:

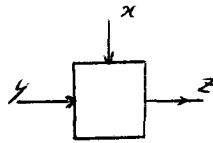
Iedere functie, waarvan de variabelen steeds in dezelfde polariteit in zijn gereduceerde vorm (som van prime-implicants) voorkomen, worden unate functies genoemd.

het minimalisatie probleem waar Mukhopadhyay (lit. 13) zich mee bezig hield, was als volgt gedefinieerd:

a/ Vind een set van unate functies u_1, u_2, \dots zodanig dat $f = \sum_{i=1}^k u_i$ of $f = \prod_{i=1}^k u_i$.

b/ Elke unate functie is unate cascade realiseerbaar, met dezelfde ordening van input variabelen. (randgevoed-bus type)
 c/ K is minimaal.

C.D. Weiss (lit. 19 en 20) ontwikkelde in 1969 een algemener minimalisatie algoritme. Hij ontleedde de functie in een minimaal aantal cascades (redundant of niet redundant). De cel, die daarbij werd toegepast, is weergegeven in fig. 3.18.



$$z = x + y$$

$$z = \bar{x} + y$$

$$z = \bar{x} \cdot y$$

$$z = x \cdot y$$

$$z = \bar{x} \oplus y$$

Fig. 3.18

De input variabelen van iedere cascade hebben niet dezelfde ordening. Het kollektornetwerk kan alleen bestaan uit AND en OR cellen. Door laatst genoemde beperking, geeft dit algoritme niet de garantie de functie in een minimum aantal cascade realiseerbare functies te ontleden. (Exclusive-or is niet in het kollektornetwerk aanwezig).

In juli 1969 (lit. 19) introduceerde Weiss een speciaal type boolse functie (standaard cascade vorm) met de eigenschap dat alle maitra functies in deze vorm geschreven kunnen worden. De introductie van deze standaard cascade vorm leidt tot een sterke konditie voor niet redundante cascade realiseerbare functies nl.: De prime-implicants van deze functies zijn essentiële prime-

implicants. Dit leidt tot een nieuwe test procedure om een willekeurige funktie te testen voor niet redundante cascade realiseerbaarheid.

In september 1969 (lit. 20) wordt de standaard cascade vorm uitgebreid voor redundante cascades. Tevens wordt aangetoond dat alleen cascade realiseerbare funkties in deze standaard cascade vorm geschreven kunnen worden.

Van een gegeven funktie worden alle prime cascade realiseerbare funkties, die de gegeven funktie bedekken, bepaald. Daarna wordt een minimale set van prime cascade realiseerbare funkties gevormd, die de gegeven funktie geheel bedekken.

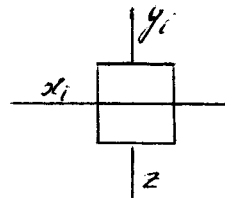
Weiss geeft verder aan, hoe het algoritme kan worden veranderd om optimale netwerken te vinden voor een set van funktie die dan't care kondities bezitten.

3.2.1.D q-funktie of adder netwerken.

Dit netwerk wordt in het artikel van Minnick (lit. 12) door Kautz en Myhill geïntroduceerd. Dit artikel is niet op korte termijn verkrijgbaar. In onderstaande tekst zal een korte samenvatting gegeven worden van dit netwerk. (Gegevens zijn afkomstig van lit. 15).

Dit netwerk is van het randgevoed bus type (zie fig. 3.19). De cel van het hoofdnetwerk bezit één specificatie bit (celparameter b).

$$z = x_i \cdot y_i + b \cdot y_i + b \cdot x_i$$



Is $b = 0$ dan celfunktie is een AND.
 Is $b = 1$ " " " " " OR.

Het kollektor_netwerk bestaat uit exclusive-or cellen. De output van de cascade van het hoofd_netwerk wordt q-funktie genoemd. De cel parameters (b_n, \dots, b_2, b_1) bepalen welke q-funktie de cascade realiseert. Er bestaan, bij n variabelen, 2^n verschillende q-funkties.

In fig. 3.19a wordt de specificatie bit b als input aande cel toegevoerd. De cascade kan als de carry keten van een full-adder beschouwd worden, waarbij de binaire getallen (b_n, \dots, b_2, b_1) en (x_n, \dots, x_2, x_1) bij elkaar worden opgeteld.

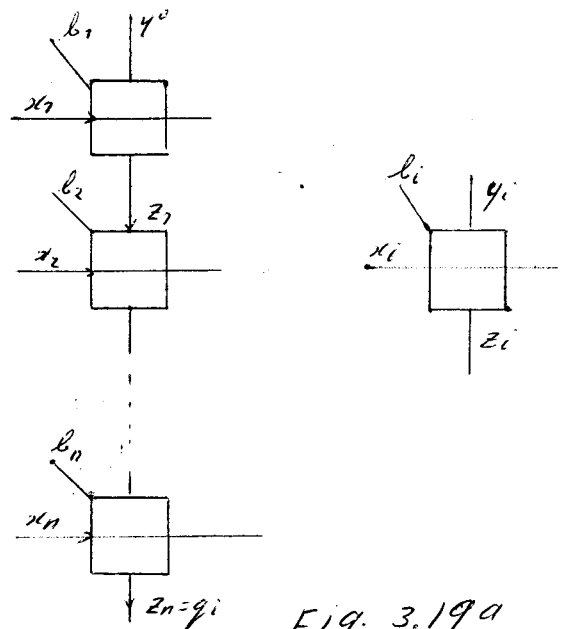


Fig. 3.19a

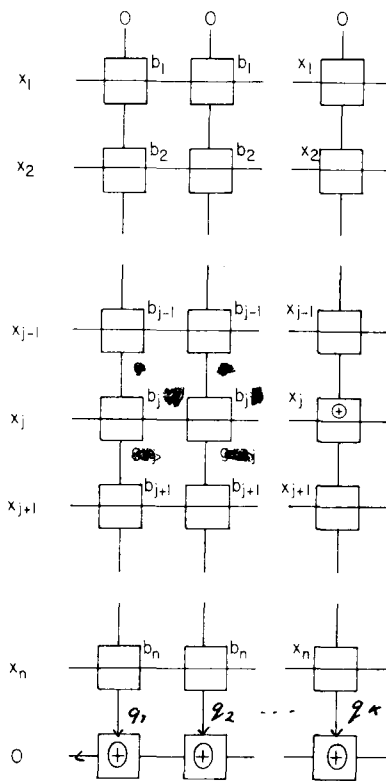


FIG. 3.19. Simplification of q -function arrays.

Fig. 3.19

De output z_i fungeert als carry out en y_i als carry in. Er treedt een overflow op als $X+B \geq N$
 X is het binaire getal x_n, \dots, x_2, x_1 .

B is het binaire getal b_n, \dots, b_2, b_1 .

$$N = 2^n.$$

Stel dat $B = (00101)$, dan $N-B = (11011)$, er treedt dan een overflow op bij $X \geq 11011$. De funktie tabel voor z_n is dan:

minitermen

C_i	x_5	x_4	x_3	x_2	x_1	$z_n = q_i$
C_0	0	0	0	0	0	0
C_1	0	0	0	0	1	0
⋮						⋮
⋮						⋮
⋮						⋮
⋮						⋮
⋮						⋮
⋮						⋮
C_{27}	1	1	0	1	1	1
C_{28}	1	1	1	0	0	1
C_{29}	1	1	1	0	1	1
C_{30}	1	1	1	1	0	1
C_{31}	1	1	1	1	1	1

Beschouwt men een 2^n dimensionale vektorruimte, met C_0 t/m C_{2^n-1} als basis vektoren, dan kan iedere functie door een karakteristieke vektor worden voorgesteld. De karakteristieke vektor van $z_n=q_i$ in laatste voorbeeld is: $q_i=z_n=(\text{IIIIIOOO} \dots \text{OOO})$

Het getal i stelt het aantal enen voor in de kar. vektor. In dit geval is $i=5$.

Het is nu gemakkelijk in te zien dat de combinatie (b_n, \dots, b_2, b_1) een binaire representatie is van het decimale getal i .

Tabel 3 in fig. 3.20 laat alle q -functies zien voor $n=2$.

TABLE III
q-Functions For $n=2$

b_2b_1	Characteristic vector				q-Function
	$c_3c_2c_1c_0$				
00	0	0	0	0	$q_0=0$
01	1	0	0	0	$q_1=x_1x_2$
10	1	1	0	0	$q_2=x_2$
11	1	1	1	0	$q_3=x_1+x_2$

fig. 3.20

De volgende stelling is belangrijk voor q -functie netwerken.

Stelling 1

De minterm $C_i = q_{2^n-i} \otimes q_{2^n-i-1}$.

waarbij wordt aangenomen dat $q_{2^n}=1$.

Bewijs: Volgens het bovenstaande is $q_{2^n-i} = \sum_{j=2^n-i}^{2^n-1} C_j$

$$q_{2^n-i} \otimes q_{2^n-i-1} = \sum_{j=i}^{2^n-1} C_j \otimes \sum_{m=i+1}^{2^n-1} C_m =$$

$$= \left(\sum_{j=i+1}^{2^n-1} C_j + C_i \right) \otimes \sum_{m=i+1}^{2^n-1} C_m =$$

$$= \left(\sum_{j=i+1}^{2^n-1} C_j + C_i \right) \cdot \sum_{m=i+1}^{2^n-1} C_m + \sum_{m=i+1}^{2^n-1} C_m \cdot \sum_{j=i+1}^{2^n-1} C_j \cdot C_i$$

$$= C_i \cdot \sum_{m=i+1}^{2^n-1} C_m = C_i$$

Een willekeurige functie kan als volgt geschreven worden

$$f = c_i + c_j + \dots + c_k$$

$$f = c_i \oplus c_j \oplus \dots \oplus c_k$$

$$f = q_{2^n-i} \oplus q_{2^n-i-1} \oplus q_{2^n-i} \oplus q_{2^n-i-2} \oplus \dots \oplus q_{2^n-k} \oplus q_{2^n-k-1}$$

Een willekeurige functie kan dus worden opgebouwd m.b.v. een kollektor netwerk, die alleen maar uit exclusive-or cellen bestaat, met de q-functie als input. Er geldt

$$\begin{aligned} c_i + c_{i+1} &= q_{2^n-i} \oplus q_{2^n-i-1} \oplus q_{2^n-i-1} \oplus q_{2^n-i-2} \\ &= q_{2^n-i} \oplus q_{2^n-i-2} \end{aligned}$$

In het algemeen is $c_i + c_{i+1} + c_{i+2} + \dots + c_{i+k} = q_{2^n-i} \oplus q_{2^n-(i+k)-2}$

mits c_i, \dots, c_{i+k} een aaneengesloten serie mintermen is. Dit komt in de karakteristieke vektor van een functie f overeen met een aaneengesloten rij enen.

Als het aantal rijen enen en nullen tesamen gelijk is aan r, dan zijn er maximaal r-1 kolommen (cascades) nodig voor de realisatie van de functie.

Voorbeeld.

$$f(x_1, x_2, x_3) = (10011110) = c_7 + c_4 + c_3 + c_2 + c_1$$

$$c_7 = q_7 \quad c_4 + c_3 + c_2 + c_1 = q_7 \oplus q_3$$

$$f(x_1, x_2, x_3) = q_1 \oplus q_3 \oplus q_7$$

De specificatie bits voor q_1, q_3 en q_7 zijn resp.

$$(b_3=0, b_2=0, b_1=0) \quad (b_3=0, b_2=1, b_1=1) \quad \text{en} \quad (b_3=1, b_2=1, b_1=1)$$

De growth rate van het q-functie netwerk is afhankelijk van het maximaal aantal rijen enen en nullen in de karakteristieke vektor van de betreffende functie. Dit aantal rijen nullen en enen is afhankelijk van de ordening en polariteit van de input variabelen. Er bestaat nog geen algoritme, die m.b.v. permutatie en komplementatie van de input variabelen het aantal rijen nullen en enen minimaliseert.

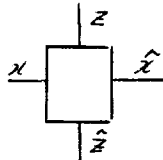
Elspas en Short (1964 lit.3) hebben de bovengrens van dith aantal rijen onderzocht, waarbij permutatie en komplementatie van de variabelen is toegestaan. Zij kwamen op een maximum aantal rijen nullen en enen van ;

$$(2^{n+1} + 2) / 3 \quad \text{voor even } n$$

$$(2^{n+1} + 2) / 3 \quad \text{voor oneven } n$$

De growth rate is in dit geval $\frac{2}{3} n 2^n$

Men kan de cellen van het hoofdnetwerk en van het kollektor-netwerk in een cel onderbrengen.
De cel ziet er dan als volgt uit;



$$\begin{array}{lll} \hat{z} = z, x & \hat{z} = z & \hat{z} = z + x \\ \hat{x} = x & \hat{x} = x \oplus z & \hat{x} = x \end{array}$$

Deze celfuncties kunnen met 2 bits ingesteld worden. Hierdoor is nog een vierde funktie mogelijk. Hiervoor wordt gekozen $\hat{z} = z$
 $\hat{x} = x$

De kolommen kunnen nu iedere willekeurige pos. unate funktie produceren.
Ervan te worden opgemerkt, dat de q-funktie ook een unate funktie is.

Elspas et. al. 1967 (lit4) introduceerde een cel met de volgende celfunkties

$$\begin{array}{llll} \hat{z} = z & \hat{z} = z, x & \hat{z} = z & \hat{z} = x \\ \hat{x} = x & \hat{x} = x & \hat{x} = x \oplus z & \hat{x} = z \\ & & & \uparrow \\ & & & \text{permutatie} \end{array}$$

Doormiddel van de permutatie cel bezit dit netwerk veel meer mogelijkheden dan de voorafgaande netwerken. Alleen het cobweb netwerk bezit ook deze eigenschap.
Het is moeilijk om hier een systematische methode te vinden, voor de synthese van logische funkties. Lit 15 geeft blz384 geeft een kort overzicht van dit type netwerk.

3.2.1.E Exclusive or of equivalentie minimalisatie algorithm.

Het is reeds lang de ervaring van logische ontwerpers dat de realisatie van een schakelfunktie, als een modulo 2 of komplementaire modulo 2 som van produkten, economischer is dan de konventionele normaal vorm realisaties. Hieruit is het volgende minimalisatie probleem ontstaan;
vind een systematische procedure om een willekeurige

gegeven funktie uit te drukken in een minimale exclusive-or som van cascade realiseerbare funkties. Dit probleem schijnt zeer moeilijk oplosbaar te zijn. De oplossing is tot nu toe niet bekend. Zelfs niet in het simpelste geval, wanneer men een funktie ontleedt in een minimale exclusive-or som van willekeurige produkten van variabelen.

D.E. Muller (lit. 15a) en S. Even, I. Kohavi en A. Paz (lit. 4a) hebben bovenstaand probleem onderzocht. Er zijn daaruit geen bevredigende resultaten gekomen.

Mukhopadhyay 1970 (lit. 14) heeft een algoritme ontwikkeld voor toekenning van de polariteiten aan de input variabelen, zodanig dat een maximaal aantal konstanten van de REED-MULLER ontleding nul worden.

Een willekeurige funktie van n variabelen kan in de volgende vorm geschreven worden:

$$f(x_1, \dots, x_n) = a_0 \oplus a_1 x_1 \oplus a_2 x_2 \dots \oplus a_{n+1} x_1 x_2 \dots \oplus a_{2^{n+1}} x_1 x_2 x_3 \dots x_n \quad (I)$$

De konstante a_i heeft de waarde nul of een.

Deze ontleding wordt REED-MULLER ontleding of "komplement ring sum" ontleding genoemd.

Bewijs:

$$f = p_i + p_j \dots + p_k \quad \text{som van mintermen}$$

$$\text{er geldt } p_i \cdot p_j = 0 \text{ dan } f = p_i \oplus p_j \oplus \dots \oplus p_k \quad (2)$$

We splitsen de literals behorende bij de minterm p_i in twee groepen. De niet gekomplementeerde en de gekomplementeerde literals.

Dus bijvoorbeeld:

$$p_i = x_1 \dots x_s \bar{x}_{s+1} \dots \bar{x}_n$$

$$p_i = x_1 \dots x_s (1 \oplus \bar{x}_{s+1}) \oplus \dots \oplus (1 \oplus \bar{x}_n)$$

$$p_i = (x_1 x_2 \dots x_s) \oplus (x_1 x_2 \dots x_s \bar{x}_{s+1}) \oplus \dots \oplus (1 \oplus \bar{x}_n)$$

Door de factoren $(1 \oplus \bar{x}_i)$ te elimineren en dan p_i in formule 2 te substitueren verkrijgt men formule 1.

Er dient te worden opgemerkt dat het algoritme van Mukhopadhyay geen minimale exclusive-or ontleding garandeert voor een willekeurige funktie.

3.2.2 2ⁿ cel netwerken

Deze netwerken bezitten 2ⁿ cellen. Voor iedere willekeurige functie zijn alle 2ⁿ cellen nodig. Daarom zijn deze netwerken geschikt voor het realiseren van functies, die m.b.v. andere bekende standaard methoden moeilijk te realiseren zijn. Kautz (lit 12 1966) behandelt twee types van deze netwerken.

- a/ Minterm netwerken
- b/ Symmetrische functie netwerken.

3.2.2.A Minterm netwerken.

blz 293

Lit. 15^y geeft een korte samenvatting van deze netwerken. De cel bestaat uit 3 lagen en is zeer complex.

3.2.2.B Symmetrische functie netwerken.

Ook van dit netwerk geeft lit 15 blz 293 een korte samenvatting. Caldwell realiseert een symmetrische functie m.b.v. een kontakten-netwerk. (lit 2b) Volgens dat principe zijn de symmetrische functie netwerken opgebouwd.

Hierbij wordt ook gebruik gemaakt van de volgende ontleding: Iedere willekeurige functie $f(x_1, x_2, \dots, x_n)$ kan geschreven worden als een symmetrische functie van 2ⁿ-1 variabelen

$$f(x_1, x_2, \dots, x_n) = \sum_{a_1, \dots, a_n} a_{a_1, \dots, a_n} (x_1, x_2, x_3, \dots, x_n)$$

waarbij $x_i, 2^{i-1}$ keer in de functie voorkomt. De index a_j komt overeen met het nummer van de minterm waaruit de functie bestaat. Zie lit 7a.

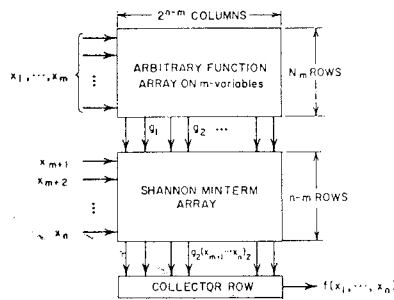
3.2.3. Twee dimensionale netwerken m.b.v. twee rail cascades.

Short 1965 heeft een twee rail cascade behandeld (zie hfd 2 sectie 2.2), die hij toepast op een twee dimensionaal netwerk. Hij ontleedt een willekeurige functie in een Shannon ontleding.

$$f(x_1, \dots, x_n) = \sum_i g_i(x_1, \dots, x_m) \cdot (x_{m+1}, \dots, x_n)_i$$

$f(x_1, \dots, x_n)$ wordt uitgedrukt in een som van mintermen, bestaande uit de variabelen x_1, \dots, x_m, x_n . Elke minterm bezit een coëfficiënt $g_i(x_1, \dots, x_m)$, die een willekeurige functie van de variabelen (x_1, x_2, \dots, x_m) is.

De functies $g_i(x_1, \dots, x_m)$ worden door een twee rail cascade (Short type) gerealiseerd. De mintermen worden door een minterm netwerk gerealiseerd. Zie fig. 2.23



Construction of rectangular array.

Fig. 2.23

De kollektor rij sommeert de outputs van het "Shannon minterm" netwerk, zodat

$$f(x_1, \dots, x_n) = \sum_i g_i(x_1, \dots, x_n) \cdot (x_{m+1} \dots x_n)_i$$

Deze kollektor-cellen bezitten parameters om de gewenste g_i 's uit te selekteren.

Het aantal cellen van het twee rail cascade netwerk bestaat uit minder dan $(m+1)2^{n-m}$ cellen

Het aantal cellen van "Shannon minterm" netwerk is, $(n-m)2^{n-m}$

Het aantal cellen van de kollektor rij is 2^{n-m}

Het totaal aantal cellen is $\leq m2^n + (n-m)2^{n-m}$

Men kan $m=F(n)$ zodanig kiezen dat het aantal cellen minimaal is.

Als bijvoorbeeld $m=\log n$ dan is de growth rate $(\log n)2^n$. Dit is een verbetering t.o.v. het rand gevoed horizontaal bus type.

Verdere toepassing van twee rail cascades (Yoëli-Turner zie hfd. 2 sectie 2.2.) in twee dimensionale netwerken ben ik nog niet tegen gekomen.

3.3 Programmeerbare cellulaire netwerken.

Bij deze netwerken kunnen de cel parameters uitwendig door elektische signalen ingesteld worden. De funktie van het netwerk kan dus elektisch ingesteld worden. Het netwerk is universeler dan al zijn voorgangers.

De voordelen die programmeerbare netwerken bieden, zijn in de introduktie van dit hoofdstuk genoemd.

3.4 Algemene nabeschuwing.

Twee dimensionale netwerken met vaste celfuncties en variabele verbindingstructuur hebben zeer eenvoudige cellen met weinig logica. De growth rate is $c_0 n 2^n$. De coëfficiënt c_0 is onafhankelijk van het aantal input variabelen n .

In dit hoofdstuk zijn ook voorbeelden gegeven van netwerken, die bestaan uit drempel elementen. Deze netwerken kunnen op efficiënte wijze de (m/n) functies en alle andere symmetrische functies produceren.

In twee dimensionale netwerken met variabele celfunctie wordt vaak de eendim. maitra-cascade of een vereenvoudiging daarvan toegepast.

Voorbeelden: Outpoint en q-functie netwerken.

Van deze type netwerken bestaan diverse minimalisatie algorithmen. Echter een algoritme, die een minimale oplossing in het algemene geval garandeert, is nog niet bekend.

De meest flexibele netwerken zijn programmeerbare netwerken. Hieronder vallen alle reeds bekende netwerken, waarbij de celparameter elektrisch ingesteld kan worden. Huang J.C. publiceerde een nieuw type netwerk, die geheel afwijkt van het bekende patroon. Hij maakt gebruik van de theorie der sequentiële machines.

Literatuur opgave

- 1 Amarel S. et al. Majority gate networks. IEEE trans. elec. comp. febr. 1964 p.5-13 .
- 2 Brooking M.E., King W.F. 3 , and Giusti A. 1965 . A survey of in-house work on cellular logic. Unpublished memorandum, AFCL
- 2a Canaday R.H. Two-dimensional iterative logic . Proceedings Fall Joint Computer Conferance 1965.
- 2b Caldwell S.H. Switching circuits and logical design. 1960 Wiley, New York.
- 3 Elspas B. et al.(1964) Investigation of propagation limited computer networks. Stanford Res. Inst. Project 4523.
- 4 Elspas B. (1967), Goldberg J., Jackson, Kautz W.H., and Stone H.S. Properties of cellular arrays for logic and storage. Sci. Rep. 3, Project 5876, AFCL Report 67-0463, pp. 103-107. Stanford Res. Inst., menlo Park, California.
- 4a Even S., Kohavi I., and Paz A. . On minimal modulo 2 sums of products for switching functions. IEEE Trans. Elec. Comp. vol. EC-16 pp. 671-674 October 1967.
- 4b Haring D.R. Sequential-circuit synthesis; State assignment aspects. Cambridge, Mass.: M.I.T. Press 1966.
- 5 Hill-Peterson Introduction to switching and logical design 1968. John Wiley and Sons Inc. New York.
- 6 Huang J.C. Synthesis of combinational cellular arrays. SWIEECCO Rekord 1970.
- 7 Huang J.C. A universal cellular array. IEEE Trans. on Comp. march 1971.
- 7a Kautz W.H. 1961 The realization of symmetric switching functions with linear input logical element. IRE Trans. on Elec. Comp. EC-10 p.371-378 September 1961.

- 8 King W.F. 3 , 1965 State logic relations in an iterative structure for autonomous sequential machines. AFCLRL Rep. 65-439.
- 9 Minnick R.C. Outpoint cellular logic. IEEE Trans. Elec. Comp. December 1964.
- 9a Minnick R.C. Cobwebs cellular arrays. 1965 Proceedings Fall Joint Computer Conferance.
- 10 Minnick R. C. A survey of microcellular research. Journal of the association for computing machinery. Vol. 14 no 2 April 1967 pp. 203-241.
- 11 Minnick 1968 Cellular networks. Academic Press. New York.
- 12 Minnick R.C. , Short R.A., Goldger J. et al. 1966 Cellular arrays for logic and storage. Stanford Res. Inst., Project 5087, Contract AF 19(628)-42333; AFCLRL.
- 12a Miyata F. Realization of arbitrary logical functions using majority element IEEE Trans. Elec. Comp. EC-12 June 1963, 183-191.
- 13 Mukhopadhyay A. Unate cellular logic. IEEE Trans. on Comput. 1969 Blz. 114 .
- 14 Mukhopadhyay A. 1970 Minimization of exclusive or and logical equivalence switching circuits. IEEE Trans. on Comput. vol. C-19 No. 2 february 1970.
- 15 Mukhopadhyay A. 1971 Recent developments in switching theory. Academic press. INC. 111 fifth Avenue, New York.
- 15a Muller D.E. Application of boolean algebra to switching circuit design and to error detection. IRE Trans. Elec. Comput. vol. EC-3 pp. 6-12, September 1954
- 16 Short R.A. 1965 Two rail cellular arrays. AFIPS Conf. Proc. 27 pti , Wasington D.C. spartan 355-69.

- 17 Spandorfer and Murphy 1963 Synthesis of logical functions on an array of integrated circuits. Sci. Rep. No 1 and 2. Univac Project 4645, AFORL Contracts 63-528, Contract AF 19(628)2907, Sperry Rand. Corp. Bluebell, Pennsylvania.
- 18 Wahlstrom S.E. 1967 Programmable arrays and networks. Electron. 40, 91-95, 1967.
- 19 Weiss C.D. 1969 The characterization and properties of cascade realizable switching functions. IEEE C-18 July 1969 p. 624-633.
- 20 Weiss C.D. 1969 Optimal synthesis of arbitrary switching functions with regular arrays of 2 input 1 output switching elements. IEEE Trans. on Comp. C-18, September 1969 p. 839-856.
- 21 Zschirnt H.H. 1966 Miscellaneous notes on cellular logic structure and their synthesis in eight-neighbour nets. unpublished memorandum.

Hoofdstuk 4

Fouten in cellulaire netwerken.

Samenvatting.

In dit hoofdstuk wordt een techniek behandeld, die fouten in een cutpoint netwerk detecteert en deze fouten herstelt. Tevens worden enige samenvattingen gegeven van de literatuur op dit gebied.

Introductie.

Het opsporen van defekte cellen en het herstellen van deze fouten kan bij niet geprogrammeerde netwerken alleen plaats vinden tijdens het laatste gedeelte van het productieproces. Men is dan nog in staat om diverse parameters van de verschillende cellen in te stellen.

Bij geprogrammeerde cellen kan men de detectie en reparatie van de defekte cellen na het productie proces uitvoeren. Er bestaan enige technieken om de plaats van de defekte cellen te kunnen bepalen. Deze technieken kunnen worden toegepast op cell. netwerken van het randgevoed-bus type.

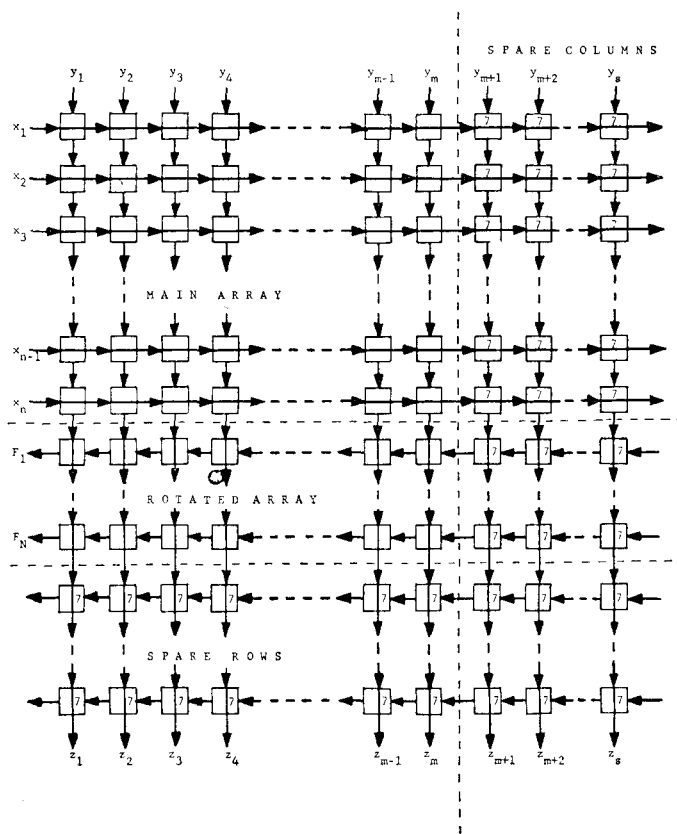
4.1 Fout detectie en reparatie.

Fig. 4.1 laat een cutpoint netwerk zien plus een tabel van celfuncties die toegepast kunnen worden. De reserve kolommen dienen om een defekte kolom in het hoofdnetwerk te vervangen. De reserve rijen dienen om een defekte rij van het kollektornetwerk (rotated array) te vervangen. Celfunctie 7 wordt alleen in de reserve-rijen en kolommen toegepast.

Fig. 4.2 laat zien op welke wijze een defekte rij of kolom hersteld wordt. De tweede kolom van het hoofdnetwerk is daar defekt en wordt vervangen door een reserve kolom. De verbinding tussen de output van de tweede kolom van het hoofdnetwerk en het kollektornetwerk wordt verbroken. (Zie kruisje).

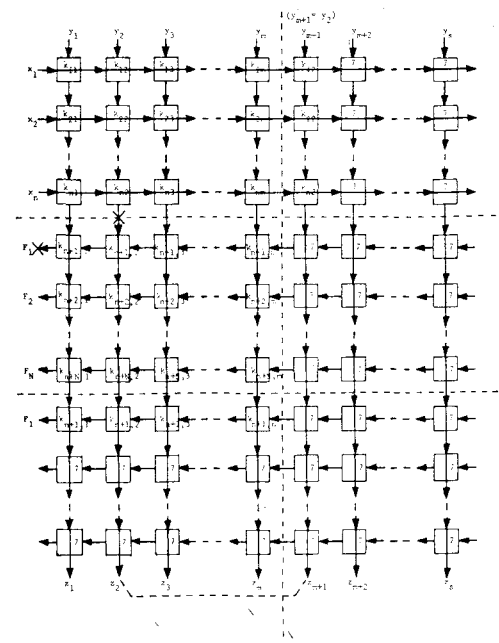
TABLE I

Index k	Cell Output $f(x, y)$
1	y
2	$\bar{x} + y$
3	$\bar{x}y$
4	$x + y$
5	xy
6	$x \oplus y$
7	0



A cutpoint cellular array with spare columns and spare rows.

Fig. 4.1



Connections for replacing the second column in the main array by the first spare column and the first row in the rotated array by the first spare row.

Fig. 4.2

Y_{m+1} wordt Y_2 en de celfuncties van kolom $m+1$ worden gelijk gemaakt aan die van kolom 2. De Z_{m+1} uitgang wordt met Z_2 door verbonden. (zie fig.4.2)

In fig.4.2 wordt ook aangegeven hoe een defekte rij (F_1 met kruisje) vervangen wordt door een reserve rij.

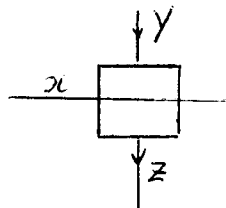
Om defekte cellen in cutpoint netwerken op te sporen, is het voldoende om de cascade waarin deze cel zich bevindt te detekteren.

Er wordt hier een procedure behandeld, die de defekte cascade in een hoofd netwerk opspoort. Deze procedure kan men ook toepassen op het kollektor netwerk, omdat dit netwerk identiek is met een 90° gedraaid hoofd netwerk.

Er wordt aangenomen dat de volgende fouten op kunnen treden: SA-1 (stuck at 1) fouten en SA-0 (stuck at 0) fouten. Deze fouten worden veroorzaakt doordat één of beide inputs en/of de output van de cel op de waarde nul of één blijven staan.

Het principe van de procedure (afkomstig van S.S.YAU lit.6) zal hier aan de hand van een voorbeeld worden behandeld. De cel kan ingesteld worden in 7 verschillende celfuncties, die in tabel 1 van fig. 4.1 worden weergegeven.

Zijn de celfuncties $\bar{x}y$, $x+y$, $x \odot y$. (overeenkomend met index 3, 4 en 6) en heeft de x input een konstante waarde 0, dan is in alle 3 gevallen de output Z gelijk aan $Z=y$



Zijn de celfunctie echter $\bar{x}+y$, $x \odot y$ (index 2 en 5) en heeft de x input de waarde 1 dan is $Z=y$

Bij de cel met index 1 is de output Z onafhankelijk van de x input en ook hier is $Z=y$

Stel dat een cascade van het hoofd netwerk er als volgt uitziet:

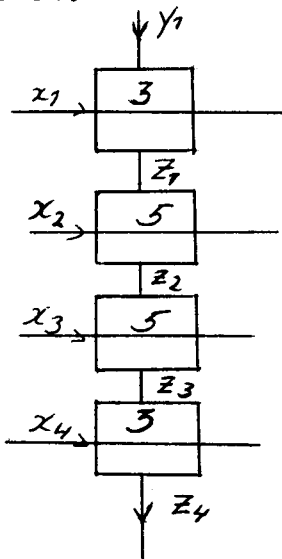


Fig. 4.3

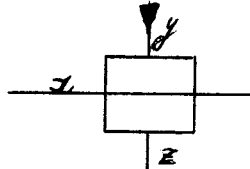
Verondersteld wordt dat de output Z voor meting toegankelijk is.

Geeft men de inputs van de cascade de volgende binaire waarden $(x_1, x_2, x_3, x_4) = (0, 1, 1, 0)$ dan is $Z_4 = y_1$. Zijn er geen defekten aanwezig bij de y inputs en Z outputs van de cellen, dan moet Z_4 van waarde veranderen als men y_1 van waarde laat veranderen.

Verandert Z_4 hierbij echter niet van waarde dan is de cascade defekt.

Om de x inputs van de cellen te controleren gaat men als volgt te werk;

als de celfunctie index 2 of 4 heeft en $y=0$ dan $Z_4 = x$ of \bar{x}



als de celfunctie index 3, 5 of 6 heeft en $y=1$ dan $Z = x$ of \bar{x}

De inputs van de cascade hebben ook hier de binaire waarden $(x_1, x_2, x_3, x_4) = (0, 1, 1, -)$. Hierdoor is $Z_1 = Z_2 = Z_3 = y_1$. Wordt x_4 als variabele beschouwd en $Z_3 = y_1 = 1$ dan $Z_4 = x_4$ of \bar{x}_4 .

Door x_4 van waarde te laten veranderen kan men controleren of er een SA-1 of SA-0 fout bij de x_4 input is opgetreden. (Geen fout als Z_4 ook van waarde verandert)

Door de inputs van de cascade de binaire waarden $(x_1, x_2, x_3, x_4) = (0, 1, -, 0)$ te geven en $y_1 = Z_2 = 1$, is $Z_4 = x_3$. Laat men de waarde van x_3 variëren dan kan men controleren of er een fout bij de x_3 input is opgetreden door de binaire waarden van Z_4 te meten.

Dezelfde procedure kan men herhalen voor de x_1 en x_2 inputs.

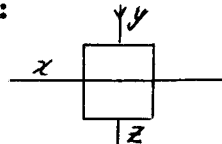
Whurber K.J. 1969 (lit.4) geeft een methode aan om de plaats van een defekte cel in een cascade te bepalen. De cascade bestaat hier uit cellen, waarvan de celfuncties alle functies van twee variabelen kunnen zijn, met uitzondering van de volgende 4 celfuncties:

$Z=0$

$Z=1$

$Z=x$ en $Z=\bar{x}$

Zijn methode dekteert slechts één enkele cel in een cascade.



Kautz W.H. 1970 (lit.2) geeft een methode aan om defekte cellen in een cascade uit te schakelen. Treedt er in een cascade een defekte cel op, dan wordt deze cel van de cascade afgeschakeld en via een speciaal reserve netwerk wordt de informatie stroom langs de cel om geschakeld. De cascade mag bestaan uit unilaterale of bilaterale netwerken, full adder enz..

Urbano R.H. (lit. 7,8 en 9) geeft een methode aan hoe men de betrouwbaarheid van systemen willekeurig kan opvoeren m.b.v. speciale iteratieve netwerken.

Verdere literatuur op dit gebied:

Minnick R.C. Lit. 3
Kautz W.H. Lit. 1

Literatuur opgave.

- 1 Kautz W.H. Testing for faults in combinational cellular logic array. In Proc. 8 th annual symp. on Switching and Automata theory. pp. 161-174 oktober 1967.
- 2 Kautz W.H. Bypass switching for cellular cascades. IEEE Trans. on Comp. 1970.
- 3 Minnick R.C. Outpoint cellular logic. IEEE Trans. Elect. Comp. December 1964.
- 4 Thurber R.J. Fault location in cellular arrays. Fall Joint Computer Conference 1969. blz 81.
- 5 Weg v.d. H. Voortgezette schakeltechniek. Diktaat ligt ter inzage bij afdelingsbibliotheek ECB.
- 6 Yau S.S. Fault diagnosis and repair of cutpoint cellular array. IEEE Trans. on Comp. March 1970.
- 7 Urbano R.H. Matrix criteria for arbitrary reliability in iterated neural nets. IEEE Trans. on Elect. Comp. August 1965 pp. 627.
- 8 Urbano R.H. On the convergence and ultimate reliability of iterated neural nets. IEEE Trans. Elect. Comp. June 1964 pp. 204.
- 9 Urbano R.H. Some new results on the convergence, oscillation, and reliability of polyfunctional nets. IEEE Trans. on Elect. Comp. December 1965 pp. 769.

hoofdstuk 5

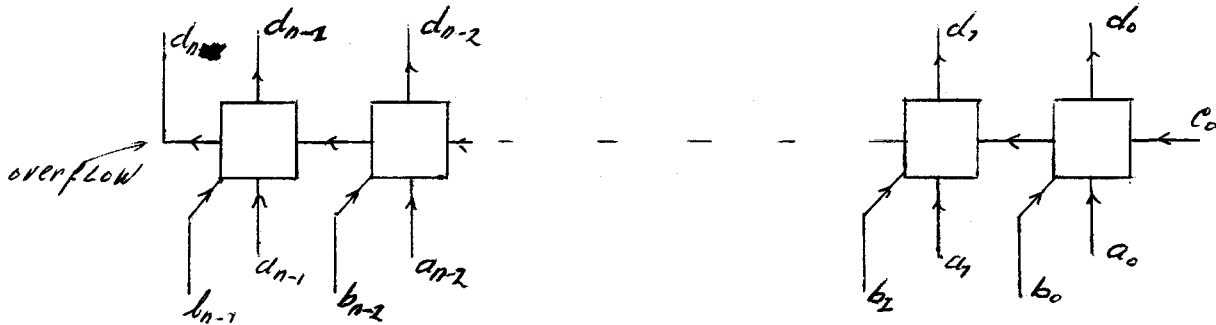
Rekenkundige elementen.

Samenvatting.

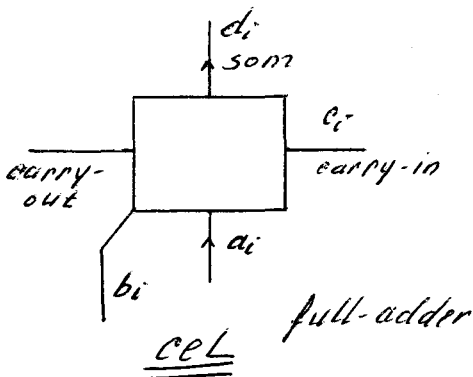
In dit hoofdstuk worden cellulaire netwerken behandeld, die in staat zijn om rekenkundige operaties uit te voeren. Na 1967 hebben deze netwerken een stormachtige ontwikkeling doorgemaakt. In sectie 5.1 wordt de opteller en aftrekker behandeld. Sectie 5.2 en 5.3 gaan respectievelijk over het vermenigvuldigen en het kwadrateren. Sectie 5.4 behandelt de deling en sectie 5.5 behandelt het worteltrekken (vierkantwortel). In sectie 5.6 worden netwerken behandeld, die de logaritme en de antilogaritme van een bepaald getal kunnen berekenen. In sectie 5.7 wordt de toepassing van drempel-elementen in dit type cell. netwerken besproken.

5.1 Optellen en aftrekken.

Optellen: Een netwerk, dat een optelling realiseert, wordt in onderstaande figuur weergegeven.



Opteller



volgens boodse schrijfwijze

$$\begin{cases} d_i = a_i \oplus b_i \oplus c_i \\ p_i = a_i b_i + c_i b_i + a_i c_i \end{cases}$$

$$a = a_{n-1} 2^{n-1} \dots a_0 2^0$$

$$b = b_{n-1} 2^{n-1} \dots b_0 2^0$$

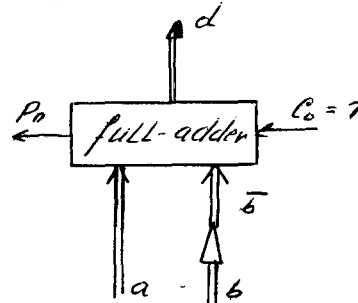
$$d = a + b = d_{n-1} 2^{n-1} \dots d_0 2^0$$

Aftrekken;

Stel $d = a - b$
 Voor de zojuist behandelde opteller geldt $a + 2^n = a$

$$d = a + (2^n - b) = a + (2^n - 1 - b) + 1$$

$2^n - 1 - b$ wordt verkregen door alle b_i 's te invertieren. De aftrekker wordt dus verkregen door alle b ingangen van de opteller te invertieren en de carry-in op de waarde één te zetten. (zie onderstaande fig.)



$a < b$ dan $P_n = 0$ (leenbit)
 $a > b$ dan $P_n = 1$ (geen leenbit)

Literatuur:

Hennie (lit. 6a)
 White G. 1969 (lit 13) Ontwerp van een parallel B.C.D. opteller/aftrekker.

5.2 Vermenigvuldigen.

Stel $a = a_n 2^n \dots a_0 2^0$ en $b = b_n 2^n \dots b_0 2^0$

$$c = a \times b = a_n b_n 2^{2n} + \dots + (\sum_{L+K=i} a_L b_K) 2^i + a_0 b_0 2^0$$

Het netwerk van fig. 5.1 is een hard-ware uitvoering van een vermenigvuldiging. Zie Hoffmann J.G. (lit 7) 1968.

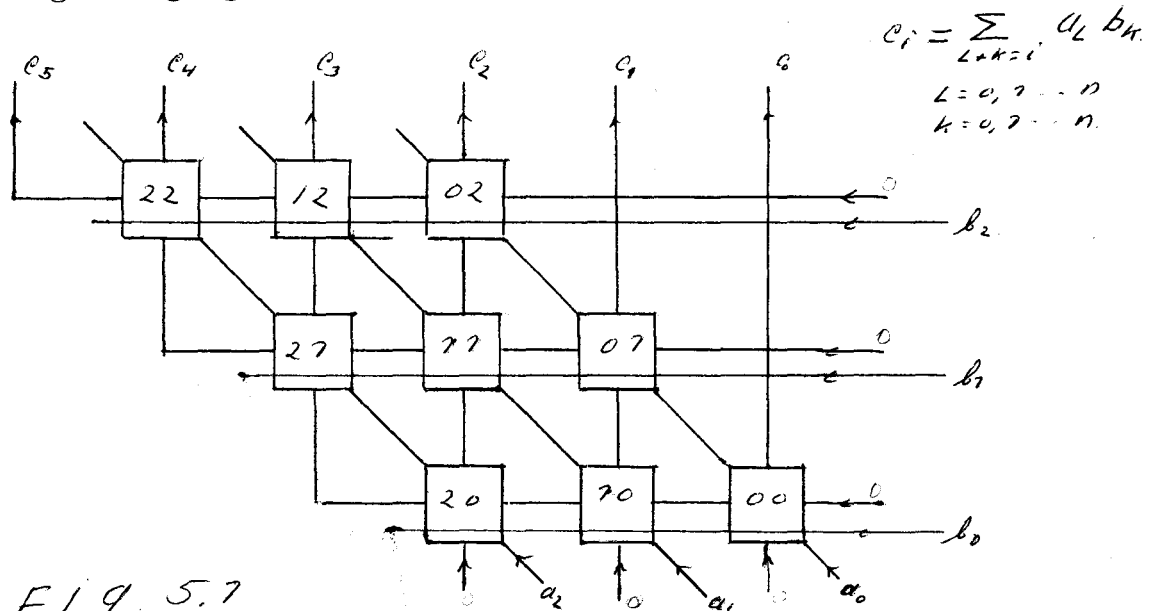
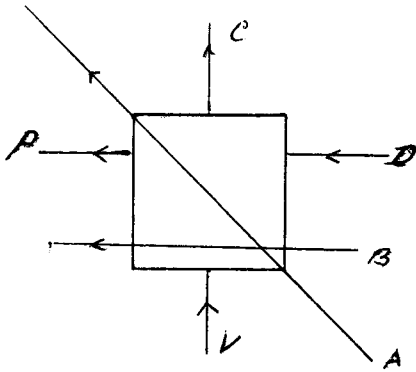
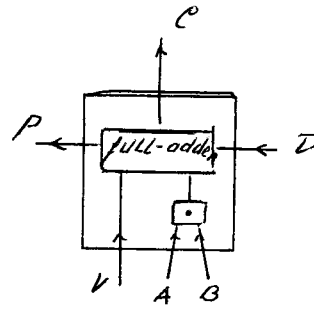


Fig. 5.7



a



b

vlg. boolse schrijfwijze

$$\left\{ \begin{array}{l} C = A \cdot B \oplus V \oplus D \\ P = A \cdot B \cdot V + A \cdot B \cdot D + V \cdot D \end{array} \right.$$

Fig 5.2.

Fig. 5.2a geeft de cel met de betreffende cel-functies weer. Fig. 5.2.b geeft dezelfde cel in enigszins gewijzigde vorm weer.

Bij de "soft-ware" uitvoering van een vermenigvuldiging, wordt de inhoud van de accumulator steeds een plaats opgeschoven en wordt er al of niet het vermenigvuldigtal (getal a) bij de inhoud opgeteld. Deze optelling is afhankelijk van de waarde van de betreffende bit van de vermenigvuldiger. Dit "schuif optel principe", dat bij de soft-ware uitvoering wordt gebruikt, is in fig. 5.1 geheel in hard-ware uitgevoerd.

Het totaal aantal benodigde cellen is $n \times m$

a bestaat uit n bits

b bestaat uit m bits

De growth rate is n^2 voor $m=n$.

De max. vertraging is $(3n-2)\tau$ sec. voor $m=n$.

τ is de max. vertraging per cel.

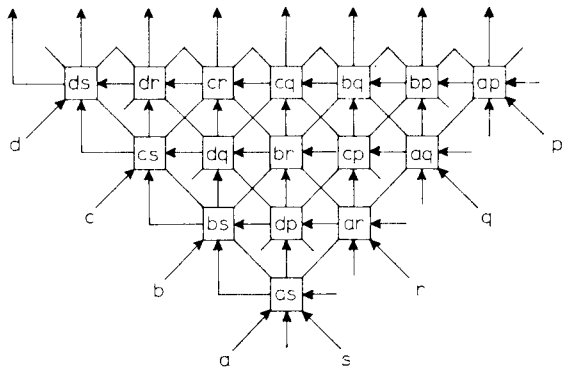
Guild H.M.1969 (lit. 6) geeft een ander ontwerp van een "full iterative multiplier" voor binaire vermenigvuldiging. "Full multiplier" betekent, dat de vermenigvuldiger ook als opteller gebruikt kan worden.

stel $M = d2^3 + c2^2 + b2^1 + a2^0$

$$N = s2^3 + r2^2 + q2^1 + p2^0$$

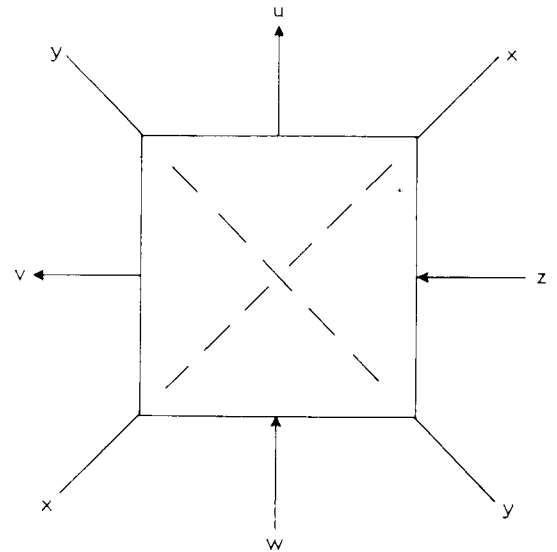
Het produkt $M \times N = d.s 2^6 + (dr + cs) 2^5 + (dq + cr + bs) 2^4 + (dp + cq + br + as) 2^3 + (cp + bq + ar) 2^2 + (bp + aq) 2^1 + ap 2^0$

Fig. 5.5 toont het cellulaire netwerk plus de cel, die daarin wordt toegepast.



4-bit fully iterative multiplying array

The partial product determined in each cell is shown



Basic cell for use in array

Fig. 5.5

In de cellen zijn de deelprodukten neergeschreven, die door de cel geproduceerd worden.

De celfuncties zijn volgens boolese schrijfwijze

$$\begin{cases} u = xy \oplus w \oplus z \\ v = xyw + xyz + wz \end{cases} \begin{array}{l} z \text{ is carry-in} \\ v \text{ is carry-out} \end{array}$$

Deze cel heeft dezelfde structuur als de cel in fig. 5.2b

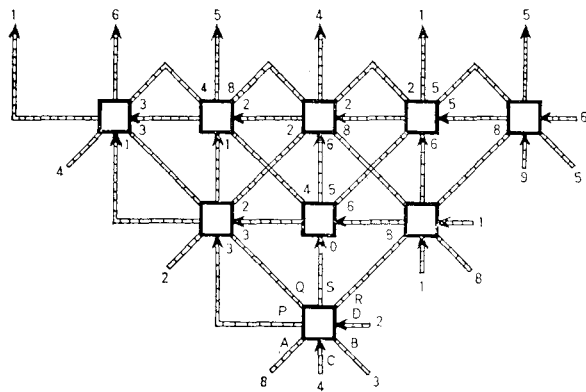
Deze vermenigvuldiger is sneller dan, die in fig. 5.1

~~is~~. De max. vertraging is $(2n-1)\tau$ sec.

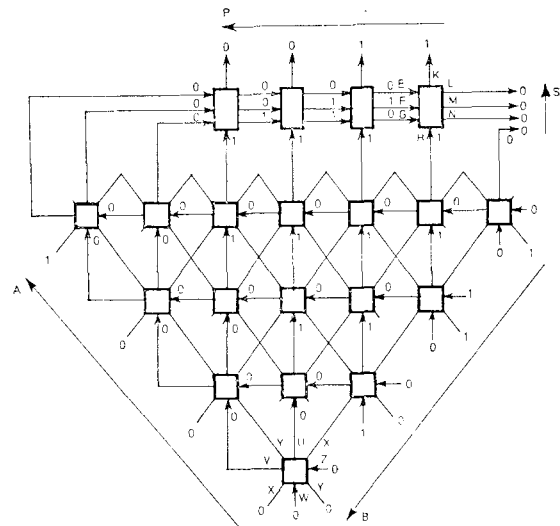
τ is de max. vertraging van een cel.

De Mori R. (lit. 10) heeft een vermenigvuldiger ontworpen, die dezelfde vertraging heeft als de vermenigvuldiger van H.H. Guild (fig.5.5). Zijn netwerk is niet volledig iteratief. Dit netwerk is een gewijzigde versie van de vermenigvuldiger van J.C. Hoffmann (zie fig. 5.1).

White G. 1970 (lit. 14) behandelt een B.C.D. vermenigvuldiger. Dit netwerk bestaat uit macro-cellen. (macro cell. logica) Fig. 5.6 laat deze vermenigvuldiger zien plus een detail van de inwendige macro-cel structuur. De macro-cel bestaat uit een vermenigvuldiger, die identiek is aan die in fig. 5.5.



Cellular array for b.c.d. multiplication.



Cellular structure of macro-cell.

Fig. 5.6

p is de carry-out van de cel. Het produkt $A \times B$ wordt in de macro-cel door 10 gedeeld m.b.v. het unilaterale netwerk (zie hfst.2). Hieruit wordt de carry out afgeleid. De rest van deze deling verschijnt op de output S.

Frécon L. 1970 (lit. 6b) behandelt de "floating - point multiplier". Hierin worden alle reeds bekende technieken over vermenigvuldigen en optellen toegepast. De schakeling levert geen nieuwe gezichts-punten op.

Dean K.J. 1971 (lit. 4) beschrijft een methode om een parallel vermenigvuldiger onder te verdelen in kleinere subnetwerken. Tevens ontwikkelde hij een algoritme, dat de propagatie tijd van zo'n netwerk, dat uit meerdere subnetwerken bestaat, berekent.

uit de resultaten bleek dat de propagatie tijd zeer klein gehouden kon worden en in wezen niet veel verschilt van de hiervoor reeds behandelde netwerken.

5.3 Kwadrateren.

Speciaal voor kwadrateren kunnen nog eenvoudigere schakelingen ontworpen worden. Stel $u = a_3 2^3 + a_2 2^2 + a_1 2 + a_0 2^0$

$$u^2 = a_3^2 2^6 + 2 a_3 a_2 2^5 + (2 a_3 a_1 + a_2^2) 2^4 + (2 a_3 a_0 + 2 a_2 a_1) 2^3 + (2 a_2 a_0 + a_1^2) 2^2 + 2 a_1 a_0 2^1 + a_0^2 2^0$$

Na herschrijving van het kwadraat:

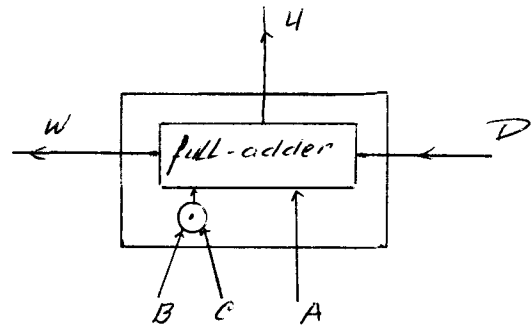
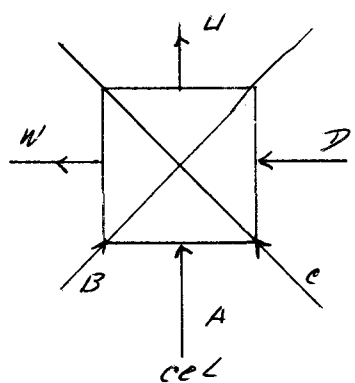
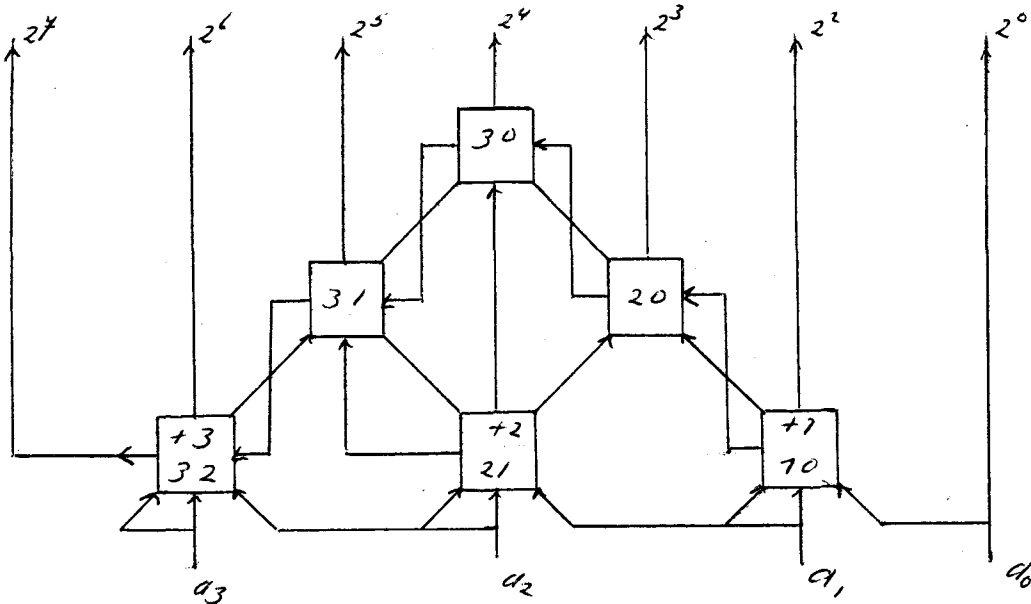
$$u^2 = (a_3^2 + a_3 a_2) 2^6 + a_3 a_1 2^5 + (a_3 a_0 + a_2 a_1 + a_2^2) 2^4 + a_2 a_0 2^3 + (a_1^2 + a_1 a_0) 2^2 + a_0^2 2^0$$

algemeen geldt dat de coëfficiënt voor 2^k gelijk is aan

a/ $\frac{1}{2} (\sum_{i+j=k-1} a_i a_j + 2 a_{k/2})$ voor k is even en $k \geq 2$.

b/ $\frac{1}{2} \sum_{i+j=k-1} a_i a_j$ voor k is oneven en $k \geq 2$ en $i \neq j$.

Door deze rangschikking krijgt men het volgende cell. netwerk.



Volgens boolese-schrijfwijze $u = A \oplus BC \oplus D$
 $w = AB + BC + AD$

D is carry-in
 W is carry-out

Fig. 5.7

enigszins gewijzigde cel structuur
 Celfuncties zijn hetzelfde gebleven.

quotient

	1,0000	
	- 1,01	
0,	1,110	→ rest neg
	+ 1,01	
1	0,110	→ rest pos
	- 1,01	
1	0,0010	→ rest pos
	- 1,01	
0	1,11010	→ rest neg.
	+ 1,01	
0	1,11110	→ rest neg.
	+ 1,01	
1	0,000011	

resultaat

quotient 0,11001
rest 0,000011

Bij niet hetstellende deling wordt altijd in de eerste deelcyclus afgetrokken. In bovenstaande voorbeeld wordt de deeler van het deeltal afgetrokken. Is de rest positief, dan quotiënt bit wordt één. Is de rest negatief dan quotiënt bit wordt nul.

Als de rest pos. is, dan wordt bij de volgende cyclus weer afgetrokken.

Als de rest daarentegen negatief is, dan wordt bij de volgende deelcyclus een optelling uitgevoerd (zie bovenstaand voorbeeld). Dit principe is op de volgende eigenschap gebaseerd:

Stel $A/B = a_4 2^4 + a_3 2^3 + a_2 2^2 + a_1 2 + a_0$

a_i is nul of één

dus $A = a_4 B 2^4 + a_3 B 2^3 + \dots + a_0 B$

A is deeltal
B is deeler.

Bij de eerste deelcyclus wordt de rest $A - B 2^4$ (Aftrekking uitgevoerd)

a/ als $A - B 2^4 > 0$ dan $a_4 = 1$

Bij de volgende cyclus wordt de rest $(A - B 2^4)$ afgetrokken.

$B 2^3$ van

b/ Als $A - B 2^4 < 0$ dan $a_4 = 0$

Bij de volgende cyclus wordt $B 2^3$ bij de rest $(A - B 2^4)$ opgeteld. Dus $A - B 2^4 + B 2^3 = A - B 2^3$

Men ziet dat door deze optelling de vorige aftrekking $A - B 2^4$ geëlimineerd wordt.

Voor uitgebreidere informatie over de deling wordt verwezen naar het boek van Flores 1. (lit. 5)
 Fig. 5.9 laat een cell. netwerk zien plus een detail van de cel, die een niet herstellende deling uitvoert.
 (Afkomstig van Majithia 1970 Lit.9).

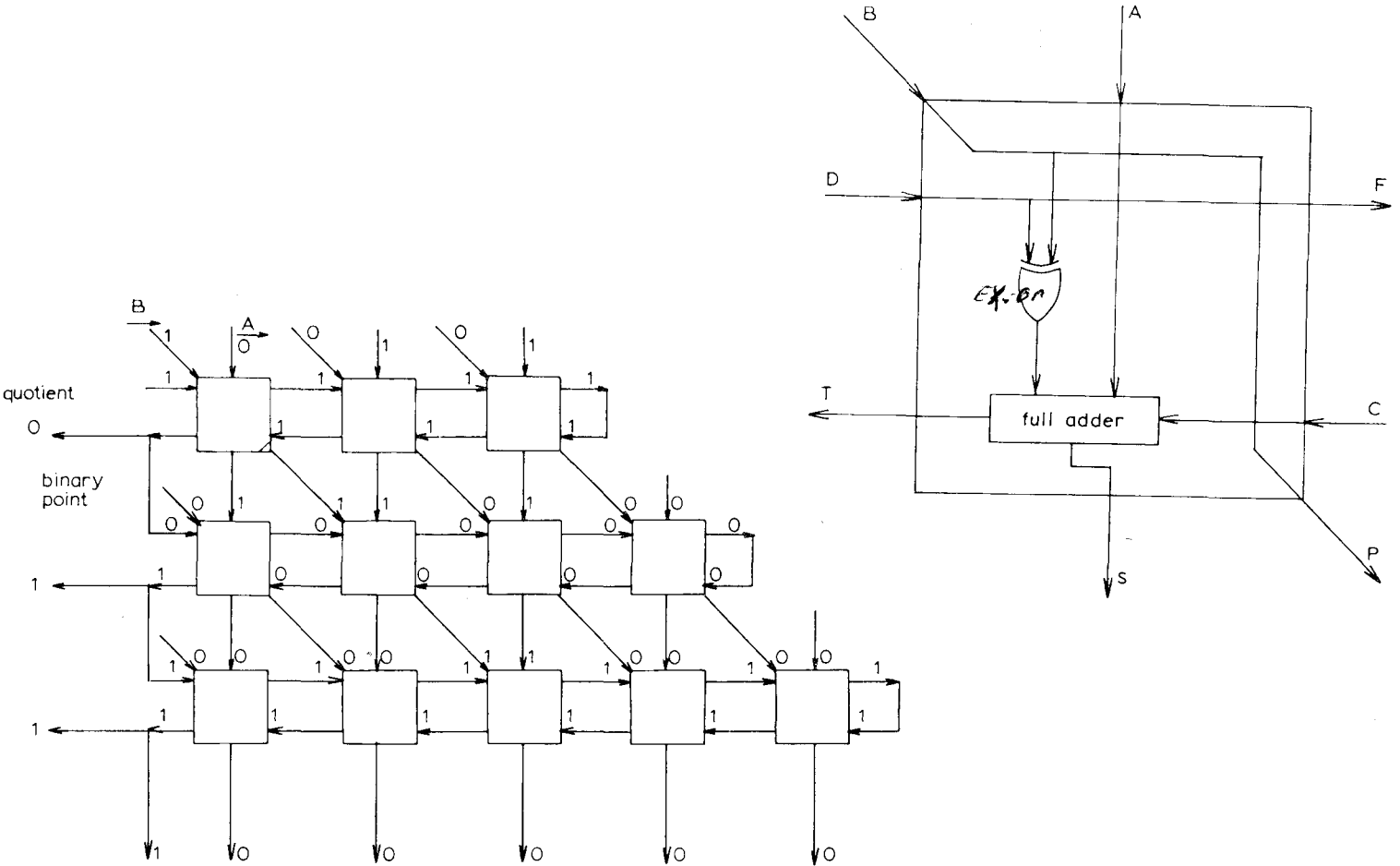


Fig. 5.9

Als de D input van de cel de waarde nul heeft, dan werkt de cel als opteller.

Als de D input van de cel de waarde één heeft, dan werkt hij als aftrekker, Deze aftrekker werkt volgens het principe behandeld in sectie 5.1.

Het netwerk en de cel zijn eenvoudig van structuur.

*Za zie is de vertaling van de full-adder
 2y " " " " " exclusive or*

De totale vertraging van dit netwerk is $\frac{p(p+2n-2)}{2}z_a + p^2z_g$ sec.
 p= aantal bits van het quotiënt , n= aantal bits van de deler.

P.A.W. Walker 1970 (lit.II) behandelt een asynchrone deler.
 De gemiddelde vertraging van deze deler is zeer klein.
~~XXXXXXXXXX~~ Deze deler wordt gerealiseerd door een cell.
 netwerk, dat niet volledig iteratief is.

5.5 Vierkantswortel

Het bepalen van de vierkantswortel van een getal, is een iteratief proces. Dit proces bestaat uit al of niet herhaald ~~optellen of aftrekken.~~

Flores 1. (lit.5) geeft een uitgebreide ~~verhandeling~~ over een herstellende en niet herstellende algoritme van een vierkantswortel trekking.

H.H. Guild 1970 (lit 6c) behandelt dat algoritme zeer kort en maakt het geschikt voor toepassing in cell. netwerken. De cel, die H.H.Guild toepast in zijn cell. netwerk, is in fig. 5.10 afgebeeld.

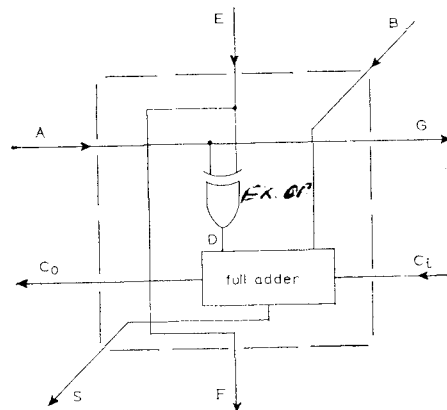


Fig. 10 Basic cell
 Possible implementation of the required cell function is shown

Fig. 5.10

De cel heeft dezelfde structuur als die van de deling.
 Het cell. netwerk, bestaande uit deze cel is verreweg het
 eenvoudigste ~~van~~ ^{netwerk} wat tot nu toe bekend is. Het cell. netwerk
 is echter niet volledig iteratief.

De andere twee types cell. netwerken, die de vierkantswortel realiseren, zijn afkomstig van:

J.K. Dean 1968 (lit. 3a) Dit netwerk is niet volledig iteratief.

Devries R.C. en Chao M.H. (lit. 4a) 1970. Dit netwerk is volledig iteratief. De cel is complex.

in fig. 5.II is een cel getekend, die kan worden toegepast in cell. netwerken, die de volgende rekenkundige operaties kunnen realiseren: Optellen en aftrekken
vermenigvuldigen
delen
kwadrateren
worteltrekken

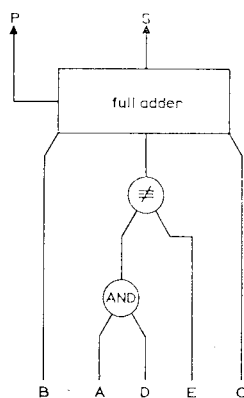


Fig. 5.II

Als vermenigvuldig- en kwadrateer-cel moet $E=0$ zijn. (zie sekteie 5.2 en 5.3)
 Als deelcel dan moet $A=D$ zijn. (zie sekteie 5.4)
 als vierkantswortelcel dan moet $A=D$ zijn. (zie sekteie 5.5)

5.6 Logarithme

De toepassing van logaritmische berekeningen is bij uitstek geschikt voor het berekenen van exponentiële functies.

K.J. Dean 1969 (lit. 3) behandelt een algorithm, die antilog. en de logarithme van een getal berekent.

Daarin wordt $\log x$ berekent door een iteratief proces, dat bestaat uit herhaald kwadrateren.

Om de antilogarithme 2^x te berekenen wordt ook een iteratief proces uitgevoerd, waarin herhaaldelijk de bewerking worteltrekken voorkomt.

5.7 Toepassing drempелеlementen.

S.L.Hurst beschrijft in zijn artikel enige toepassingen van drempелеlementen in cell. netwerken. Hij beschrijft een ontwerp van een vermenigvuldig-en deel-cel, bestaande uit drempелеlementen.

Daaruit bleek, dat de propagatie tijd van zo'n cel teruggebracht kan worden tot $\approx 50\%$ van de waarde, die optreedt bij cellen, die de nand of nor als bouwsteen hebben.

Konklusie.

De tot nu toe bekende cellulaire netwerken voor rekenkundige operaties zijn afgeleid van algorithmes, die via een iteratief proces (meestal optellen of aftrekken) deze rekenkundige bewerking realiseren.

Voor de berekening van de logaritmie en antilogaritmie bestaat dit proces uit resp. kwadrateren en worteltrekken. De growth rate van deze netwerken is laag t.o.v. de cell. netwerken behandeld in hfd.3.

De cellen bestaan meestal uit een full/adder en/of exclusive-or en/of and-poort.

Literatuur opgave.

- 1 Dean K.J. Binary division using a data dependent iterative array. Electronics letters July 1968 vol.4 No 14 pp. 283-284.
- 2 Dean K. J. Design for a multiplier. Proc. IEE 1968, 115 pp. 1592 - 1594 .
- 3 Dean K.J. A fresh approach to logarithmic computation. Electronic Engineering April 1969 pp. 489.
- 3a Dean K. J. Cellular logical array for extracting square roots. 1968 Electronics letters July pp. 314-315.
- 4 Dean K.J. Cellular multiplier subarrays: A critical path approach to propagation times. Electronics letters February 1971 vol.7 No.3.
- 4a Devries R.C. and Chao M.H. Fully iterative array for extracting square roots.
- 5 Flores I. The logi of computer arithmetic. Prentice - Hall, INC. 1963.
- 6 Frécon L. Multiplicateur cellulaire parallèle de nombres en virgule flottante. Electronics letters April 1970 vol.6 pp.227.

- 6a Hennie F.C. Finite-State models for logical machines. New York: Wiley, 1968.
- 6b Guild H.H. Fully iterative fast array for binary multiplication and addition. Electronics letters June 1969 No.12.
- 6c Guild H.H. Cellular logical array for nonrestoring square-root extraction. Electronics letters Febr. 1970 pp.66-67.
- 7 Hoffmann J.C., Lacaze B. and Osillag P. Multiplieur parallèle à circuits logiques itératifs: Electronics letters 1968 p.178.
- 8 Hurst S.L. Realisation of cellular arithmetic cells by threshold logic assemblies. Electronics letters August 1970 pp.501-503.
- 9 Majithia J.C. Nonrestoring binary division using a cellular array. Electronic letters 1970 May pp.303
- 10 Mori de R. Suggestion for an i.c. fast parallel multiplier. Electronics letters 1969 ,5, pp.50-51.
- 11 Walker P.A.W. A synchronous binary dividing array. Electronics letters August 1970 vol.6 pp.515-517.
- 12 Weg v/d n. Voortgezette Schakeltechniek. College diktaat - ter inzage bij afdelingsbibl. (Prof. Heetman)
- 13 White G. Design of a parallel b.c.d. adder/subtractor. Electronic Engineering 41, pp.229-230. February 1969.
- 14 White G. A cellular 8.4.2.1. b.c.d. multiplier. The radio and electronic engineer vol. 40,no.6 December 1970.

hoofdstuk 6

"special purpose" cellulaire netwerken en macro-cellulaire logica.

Special purpose cellulaire netwerken.

Sequentiële machines, codeernetwerken, schuifregister, geheugens, en "interconnection arrays, die m.b.v. cell. netwerken gerealiseerd worden, heb ik samengebracht onder de naam "special purpose" cell. netwerken.

De sequentiële machines kunnen met de reeds behandelde netwerken in hfd 3 gerealiseerd worden. Het aantal cellen waaruit de sequentiële machine bestaat is niet alleen afhankelijk van het aantal toestanden, in- en outputs van de machine, maar ook van de toestand toewijzing.

Literatuur over dit onderwerp:

K

Ferrari D. and Grasselli A. 1969 A cellular structure for sequential networks. IEEE Trans. Comput C-18, 947-956

Arnold T.F. Tan C.J. and Newborn M.N. 1970 Iteratively realized sequential circuits IEEE Trans. Comput C-19, 54-66

A. Mukhopadhyay geeft in zijn boek een korte samenvatting van verschillende types "special purpose" cellulaire netwerken. Titel boek: Recent developments in switching theory
Uitgever : Academic press New York.

Macro cellulaire logica.

Ik beperkte mij tijdens de literatuur studie alleen ~~toe~~ het onderwerp micro-cellulaire logica, maar ben daarbij herhaaldelijk gestuit op onderwerpen die betrekking hebben op macro-cellulaire logica.

In onderstaande wil ik een kleine literatuur opgave geven over dit onderwerp.

Het zojuist genoemde boek van Mukhopadhyay^v geeft een korte samenvatting van de werken van S.H. Unger (lit. 4,5 en 6) en J.H. Holland (lit. 1). Beide schrijvers houden zich bezig met de opbouw van een computer bestaande uit macro cellen.

J. von Neumann (lit. 3) introduceerde een macro cell, die in 29 toestanden gebracht kan worden. Met een groot aantal van deze cellen wordt een turing machin~~en~~ opgebouwd.

R.C. Minnick pp. 206 (lit 2) geeft een uitgebreide literatuurlijst over dit onderwerp.

Literatuur opgave:

- I Holland J.H. 1959 A universal computer capable of executing an arbitrary number of subprograms simultaneously. In proceedings Eastern Joint Computer Conference. pp.113-118.
- 2 Minnick R.C. A survey of microcellular research. J.A.C.M. vol. 14 No.2 April 1967 pp.203-241.
- 3 Von Neumann J. 1966 "Theory of self-reproducing Automata" (Edited and completed by A.W. Burks) Univ. of illinois Press., Urbana Illinois.
- 4 Unger~~s~~ S.H. 1958. A computer oriented towards spatial problems. Proc. IRE 46, 1744 - 1750
- 5 Unger~~s~~ S.H. 1959 Pattern detection and recognition. Proc. IRE 47, 1737 - 1752.
- 6 Unger S.H. 1962 Pattern recognition using two dimensional bilateral iterative combinational switching circuits. In Proceedings symposium on mathematical theory of automata. Polytechnic institute of Brooklyn, New York.

REDUNDANTIE m.b.v. VOTERNETWERKEN.

Samenvatting.

De opbrengst van het fabricage proces van cellulaire netwerken is klein (b.v. 5%, dit betekent dat 5 van de 100 geproduceerde netwerken goed zijn). Om die reden wordt in hoofdstuk 7, 8 en 9 geprobeerd cellulaire netwerken van het randgevoed-bus type (sektie 3.1) redundant te maken, zodanig dat de opbrengst van het fabricage proces groter wordt.

hierbij is gedacht aan actieve redundantie d.w.z. er worden meer cellen in het netwerk aangebracht dan strikt noodzakelijk is voor de juiste werking van het netwerk.

Deze extra cellen zijn tegelijk met de niet redundante cellen in bedrijf (actief) en worden zodanig aangebracht, dat bij het optreden van een beperkt aantal defekte cellen hun invloed "automatisch" opgeheven wordt en dat deze extra cellen de taak van de defekte cellen overnemen.

De meest bekende vorm van actieve redundantie is de toepassing van voternetwerken (ook wel majority gates genoemd). Sektie 7.1 en 7.2 behandelen de toepassing van voternetwerken in cellulaire circuits.

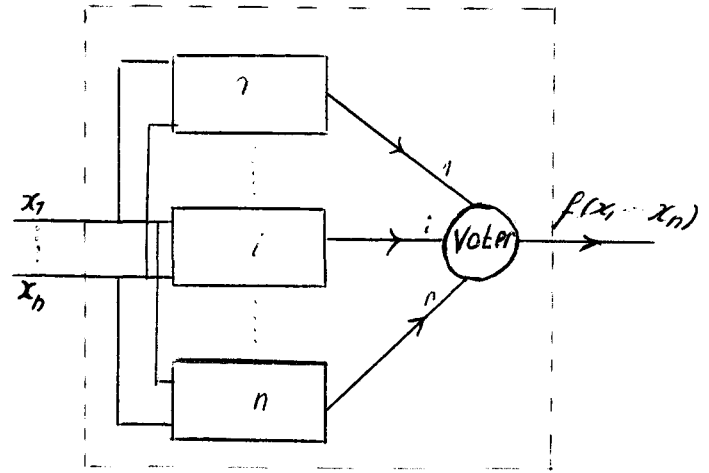
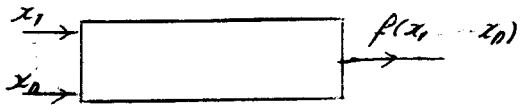
In sectie 7.1 is getracht het randgevoed-bus type redundant te maken m.b.v. voternetwerken.

In sectie 7.2 wordt het hoofd- of kollektor netwerk van het randgevoed-bus type m.b.v. voternetwerken redundant gemaakt.

7.1 Redundantie van het randgevoed-bus type.

De voternetwerken zijn identiek aan de drempel elementen behandeld in sectie 3.1.B. De output van een voternetwerk is één resp. nul als de meerderheid van de inputs één resp. nul is.

Fig. 7.1 laat zien hoe een netwerk met één output redundant gemaakt kan worden. Het netwerk wordt n maal herhaald en aangesloten op een voternetwerk met n inputs.



niet redundant
netwerk

redundant netwerk

fig. 7.1

Definities:

- P_c is de kans dat het niet redundante netwerk goed werkt na het produktie proces.
- P_{red} is de kans dat het redundante netwerk goed werkt na het produktie proces.
- P_{voter} is de kans dat het voternetwerk goed werkt na het produktie proces.
- P_{red} is de kans dat het redundante netwerk goed werkt na het produktie proces als het voternetwerk ideaal verondersteld wordt. ($P_{voter}=1$)

Wat betreft fig. 7.1 is

$$P_{red} = \sum_{i=0}^{n-1} \binom{n}{i} (1 - P_c)^i \cdot P_c^{n-i} \quad n \text{ is oneven}$$

In nevenstaande grafiek wordt P_{red} als functie van P_c weergegeven. men ziet dat er een opbrengst verbetering ($P_{red} > P_c$) kan optreden als $P_c > 0.5$. (Voternetwerk ideaal verondersteld)

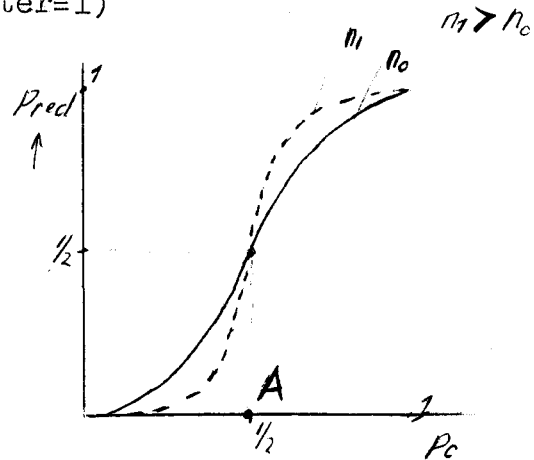


Fig. 7.2

Worden cellulaire netwerken met meerdere outputs m.b.v. de voternetwerken redundant gemaakt, dan verkrijgt men de schakeling in fig. 7.3

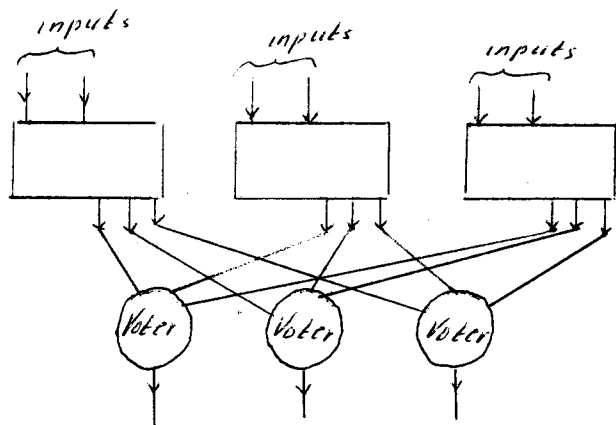


FIG. 4.3

Het cellulair netwerk wordt hier drie maal herhaald. Als eis wordt gesteld dat het voternetwerk uit dezelfde cellen bestaat als het cellulair netwerk.

In appendix 10.1 wordt weer gegeven hoe deze voternetwerken opgebouwd worden uit cellen van het randgevoed-bus type.

Fig. 10.3 geeft in detail het gehele cellulair redundante netwerk weer.

In appendix 10.2 wordt Fred berekend van deze schakeling.

Er worden nog enige definities gegeven die straks gebruikt worden:

p is de kans dat elke cel goed werkt na het productie proces.

n is het aantal inputs van het cell. netwerk.

m is het aantal cascades van het hoofdnetwerk.

N is het aantal outputs van het cell. netwerk.

Met behulp van een komputer programma wordt, door de grootheden m , n en N te variëren, nagegaan of er een opbrengstverbetering mogelijk is. Zie bijlage 1 en 2.

Voor p zijn twee verschillende waarden gekozen;

$p = p_1$ waarbij $p_1^{300} = 5\%$ (overeenkomend met een cell. netwerk bestaande uit 300 cellen en een opbrengst van 5%).

$p = p_2$ waarbij $p_2^{600} = 5\%$ (overeenkomend met een cell. netwerk van 600 cellen en een opbrengst van 5%).

uit de resultaten van het komputer programma blijkt dat voor

$1 < n \leq 10$ en $m \leq 30$ geen opbrengst verbetering kan optreden.

Omdat bij toenemende n en m de verhouding $\frac{P_{red}}{P_c}$ volgens het komputer programma zeer snel afneemt en omdat

$$\lim_{m \rightarrow \infty} \frac{P_{red}}{P_c} = 0$$

voor ieder n en n

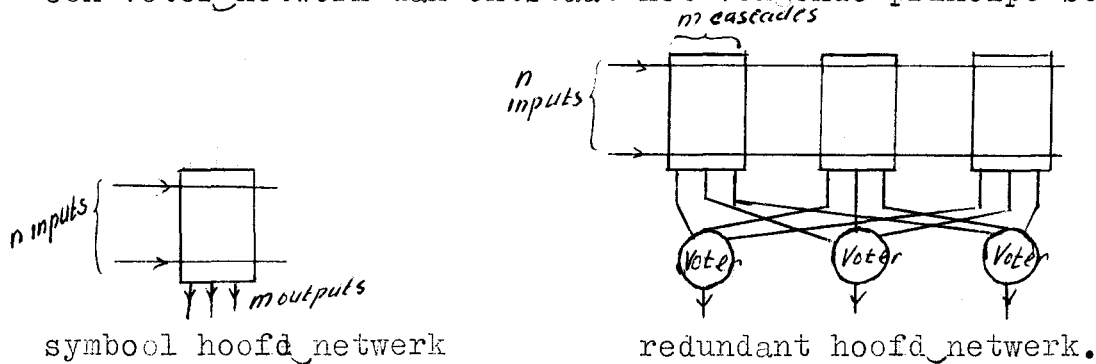
$$\lim_{n \rightarrow \infty} \frac{P_{red}}{P_c} = 0$$

voor iedere m en n

mag men verwachten dat voor $n > 10$ en voor $m > 30$ ook geen opbrengst verbetering zal optreden.

7.2 Voternetwerken toegepast op kollektor- of hoofd-netwerk van het randgevoed-bus type.

Wordt het kollektor- of hoofd-netwerk redundant gemaakt m.b.v. een voter netwerk dan ontstaat het volgende principe schema.



symbool hoofd_netwerk

Fig. 7.4

redundant hoofd_netwerk.

Nu is volgens appendix 10.3

$$P_{red} = p^{2nm} (3 - 2p^{nm})^m \cdot p^{8m^2}$$

$$P_c = p^{nm}$$

met behulp van een komputer programma is ook hier, door de grootheden m en n te variëren, nagegaan of er een opbrengst verbetering mogelijk is bij twee verschillende waarden van p nl. p_1 en p_2 . (zie vorige bladzijde).

Bijlage 3 bevat het komputer programma met de reken resultaten. het programma laat m variëren van 1 tot 10 en n wordt zo ver opgehoogd totdat punt A in fig. 7.2 is bereikt.

voor $m < 3$ is er een opbrengst verbetering mogelijk. voor $3 \leq m \leq 10$ is ook hier geen opbrengst verbetering mogelijk.

Omdat de komputer berekeningen aantonen dat $\frac{P_{red}}{P_c}$ zeer snel daalt bij toenemende m , en omdat

$$\lim_{m \rightarrow \infty} \frac{P_{red}}{P_c} = 0$$

voor iedere positieve n

$$\lim_{n \rightarrow \infty} \frac{P_{red}}{P_c} = 0$$

voor iedere positieve m

mag men ook hier verwachten dat voor $m > 10$ de verhouding $\frac{P_{red}}{P_c}$ blijft dalen en dus ook geen opbrengst verbetering mogelijk is.

Bijlage 4 geeft P_{red} en P_c weer als functie van n bij $m=4$ en $m=1$ als $p = p_1$.

Konklusie.

tengevolge van de eis, dat het voternetwerk uitgevoerd moet worden m.b.v. dezelfde cellen en dezelfde verbindingstructuur als het niet redundante cellulaire netwerk, wordt het voter-netwerk op onefficiënte wijze opgebouwd uit deze cellen. Worst-case berekeningen tonen aan dat bij het redundant maken van het gehele cellulaire netwerk m.b.v. voter netwerken geen opbrengst verbetering op treedt voor netwerken met meer dan één output

Exakte berekeningen tonen aan dat het redundant maken van alleen het kollektor- of hoofd-netwerk m.b.v. voternetwerk geen opbrengst verbetering geeft voor netwerken met meer dan twee outputs.

Literatuur opgave

- 1 Shooman M.I. Probabilistic Reliability: An engineering approach. Mc. Graw-Hill, New York. 1968.
- 2 Wood P.E. Switching Theory. Lincoln Laboratory Publications. 1968.
- 3 Winograd S. Cowan J.D. Reliable Computation in the presence of noise. The M.I.T. Press, Massachusetts Institute of Technology Cambridge, Massachusetts. 1963.
- 4 Wilcox and Mann Redundancy Techniques for computing systems 1962

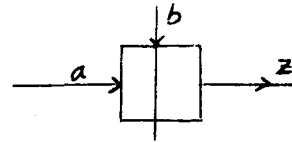
Single error correcting code en cell. netwerken.

Samenvatting.

Om cellulaire netwerken redundant te maken kan men lineaire kodes toepassen. Sektie 8.1 behandelt de single error correcting code met de daarbij behorende kodeer en dekodeer schakeling uitgevoerd in cellulaire logica.

Om het koderen mogelijk te maken kunnen alleen de kollektor netwerken van het q-functie netwerk redundant gemaakt worden. Er is gestreefd naar een kodeer en dekodeer schakeling, die dezelfde cellen en dezelfde structuur heeft als het niet redundante netwerk.

Om de dekodeer schakeling te kunnen realiseren moesten cellen met $z = a \cdot b$ en $z = a \cdot \bar{b}$ als cel-functie toegelaten worden. De regelmatige verbinding-structuur bleef gehandhaafd.



8.1 De single error correcting code, kodeer en dekodeer schakeling.

Het koderen wordt veel toegepast in de telekommunikatie. De zender zendt gekodeerde berichten uit van $m+k$ bits. Deze gekodeerde berichten worden kodewoorden genoemd. Een dergelijk kodewoord bestaat uit m informatie bits en k check bits. Deze check bits voegen een dusdanige hoeveelheid redundante informatie aan het bericht toe, dat bij het optreden van storingen, tijdens de transmissie weg tussen zender en ontvanger, het juiste bericht bij de ontvanger uit het ontvangen woord gedekodeerd kan worden.

De berichten, die hier worden beschouwd, bestaan uit een rij nullen en enen. De lengte van ieder bericht is $m+k$. Er kunnen 2^{m+k} verschillende woorden ontvangen worden. Daarvan zijn 2^m woorden kodewoorden. Deze woorden worden ook wel vektoren genoemd.

Bij lineaire kode is de som van twee kode-vektoren weer een kode vektor. (Onder "som" wordt verstaan de modulo 2 som)

Voorbeeld	110011	kodewoord 1
	\oplus 010101	kodewoord 2
	100110	kodewoord 3

De hamming afstand tussen twee kodewoorden is het aantal posities waarin de twee kodewoorden verschillen.

De kodevektoren bevinden zich in een $m+k$ dimensionale vektorruimte. Slaat men om iedere kodevektor een bol, waarvan de schil bestaat uit vektoren die een hamming afstand één verschillen met de kodevektor, dan mogen deze bollen elkaar niet overlappen bij een single error correcting code. Daarom moet de minimum hamming afstand tussen twee vektoren, die in twee verschillende bolschillen liggen, één zijn. Daaruit volgt dat de minimum hamming afstand tussen twee kodevektoren 3 moet zijn. Er zijn 2^m kodevektoren en dus ook 2^m bollen. Iedere bol bevat $m+k$ vektoren, die hamming afstand één verschillen met de kodevektor, plus de kodevektor zelf. Het totaal aantal vektoren nodig voor deze bolstapelning is $(m+k+1) \times 2^m$. Het aantal beschikbare vektoren is 2^{m+k} .

$$\text{Hieruit volgt } (m+k+1) \times 2^m \leq 2^{m+k}$$

$$\text{dus } m \leq 2^k - k - 1.$$

Bij hamming code is $m = 2^k - k - 1$. Het aantal redundante bits in een kodewoord is dan minimaal.

Lineaire kodes zijn met behulp van een parity matrix te beschrijven. De theoretische achtergronden en de konstruktie van de parity matrix voor diverse soorten lineaire kodes zal hier niet behandeld worden, daarvoor wordt verwezen naar lit. 1 en 2. Aan de hand van een voorbeeld zal de konstruktie van een parity matrix van een single error correcting code beschreven worden.

Voorbeeld:

Stel het kodewoord bestaat uit 6 bits. Drie informatie bits en drie check bits.

De kodevektor ziet er dan als volgt uit $(\underbrace{M_1, M_2, M_3}_{\text{inf. bits}}, \underbrace{M_4, M_5, M_6}_{\text{check bits}})$

We voegen de drie check bits zodanig toe dat

$$M_4 = M_1 \oplus M_2 \quad (1)$$

$$M_5 = M_1 \oplus M_3 \quad (2)$$

$$M_6 = M_2 \oplus M_3 \quad (3)$$

Deze 3 vergelijkingen kan men ook schrijven als

$$\begin{array}{rcl}
 M_1 \oplus M_2 & & = 0 \quad (1) \\
 M_1 \oplus M_3 & & = 0 \quad (2) \\
 M_2 \oplus M_3 & \oplus M_4 \oplus M_5 & = 0 \quad (3) \\
 & \oplus M_6 &
 \end{array}$$

of in matrix notatie

$$\begin{pmatrix} 1 & 1 & 0 & 1 & 0 & 0 \\ 1 & 0 & 1 & 0 & 1 & 0 \\ 0 & 1 & 1 & 0 & 0 & 1 \end{pmatrix} \underline{M}^t = \begin{pmatrix} 0 \\ 0 \\ 0 \end{pmatrix}$$

De vektor \underline{M} stelt het kodewoord voor $\underline{M} = (M_1, M_2, M_3, M_4, M_5, M_6)$.

$$\underline{M}^t = \begin{pmatrix} M_1 \\ M_2 \\ M_3 \\ M_4 \\ M_5 \\ M_6 \end{pmatrix}$$

De matrix wordt parity matrix H genoemd.

Een korte schrijfwijze van deze vergelijkingen is: $\underline{H}\underline{M}^t = \underline{0}$

Treedt er nu tijdens de transmissie één enkele fout op (b.v. 3-de bit van \underline{M} wisselt van waarde), dan is het ontvangen woord

$$\underline{R} = \underline{M} \oplus \underline{E} \quad \text{de foutvektor } \underline{E} \text{ ziet er als volgt uit: } \underline{E}^t = \begin{pmatrix} 0 \\ 0 \\ 1 \\ 0 \\ 0 \\ 0 \end{pmatrix}$$

$$\text{Nu is } \underline{H}\underline{R}^t = \underline{H}(\underline{M}^t \oplus \underline{E}^t) = \underline{H}\underline{M}^t \oplus \underline{H}\underline{E}^t = \underline{0} \oplus \underline{H}\underline{E}^t = \underline{H}\underline{E}^t = \underline{S}^t = \begin{pmatrix} 0 \\ 1 \\ 1 \end{pmatrix}$$

$\underline{S} = (S_1, S_2, S_3)$ en wordt syndroom genoemd.

\underline{S} is gelijk aan de derde kolom vektor van de matrix H. Het syndroom geeft dus de plaats van de fout in het ontvangen woord aan. Is eenmaal de plaats van de fout bekend, dan kan men de opgetreden fout herstellen.

Het bovenstaande voorbeeld geeft een parity matrix van een single error correcting code met woord lengte 6.

Nu geldt voor iedere parity matrix van deze kode dat:

$$\underline{H}\underline{R}^t = \underline{H}\underline{E}^t = \underline{S}^t \quad \begin{array}{l} \underline{R} = \underline{M} \oplus \underline{E} \\ \underline{R} \text{ is het ontvangen woord.} \\ \underline{E} \text{ is de fout vektor.} \end{array}$$

Als $\underline{R} = \underline{M}$ dan is het syndroom nul. Er heeft dan geen fout plaats gevonden.

Als $\underline{R} \neq \underline{M}$ dan is er een fout opgetreden op b.v. de i-de plaats van het kodewoord. Het syndroom is nu gelijk aan de i-de kolom van de parity matrix.

Bij het optreden van twee of meerdere fouten is geen juiste dekodering mogelijk.

het aantal rijen van de parity matrix is gelijk aan het aantal controle bits k .
 Het aantal kolommen van deze matrix is gelijk aan het aantal bits van het codewoord ($m + k$ kolommen),
 De kolommen van de parity matrix moeten verschillend zijn en niet gelijk aan de nul vektor, wil men één fout kunnen corrigeren.
 Het schoon vegen van de kolommen van de parity matrix is toegestaan.*

het coderen van de check bits geschiedt als volgt:

Gegeven de parity matrix H

Door vegen kan men de matrix H in de volgende vorm krijgen

$$\left[\begin{array}{ccccccc}
 a_{11} & a_{12} & \dots & a_{1m} & 1 & & \\
 \vdots & & & & 1 & & \\
 a_{i1} & & & a_{im} & & 1 & \\
 \vdots & & & & & 1 & \\
 a_{m1} & & & a_{mm} & & & 1
 \end{array} \right] = H$$

Codewoord
 $(M_1, M_2, \dots, M_m, \dots, M_{m+k})$
 inf. bits check bits

uit $HM^t = 0$ blijkt dat $M_{m+i} = \sum_{j=1}^m \oplus a_{ij} M_j = a_{i1} M_1 \oplus \dots \oplus a_{im} M_m$.

De hamming kode is niet toepasbaar op het gehele randgevoed bus type, omdat daar de kans op twee of meer fouten groter is dan de kans op een fout, voor hoofd- resp. kollektor-netwerken geldt het omgekeerde, daar is de kans op één fout groter dan op meerdere fouten.

Omdat de check bit een exclusive or som is van de informatie bits is het niet mogelijk deze check bit met één enkele cascade te realiseren wanneer het hoofd- of kollektor-netwerk cellen bevat, die een andere functie hebben dan de exclusive or of doorverbinding functie. Ieder check bit moet dan m.b.v. een hoofd én kollektor netwerk bestaande uit meerdere cascades gerealiseerd worden, wat de regelmatige structuur niet ten goede komt en tevens is de kans op meerdere fouten weer groter dan de kans op een fout.

we beperken ons daarom alleen tot een netwerk, dat samengesteld is uit cascades waarvan de cellen de exclusive or of een doorverbinding als celfunctie hebben. Het kollektor netwerk van het q-functie netwerk voldoet er aan. (zie sectie 3.2.1).

* De rijvectoren van de parity matrix vormen een deelruimte van dim. k , die loodrecht staat op de deelruimte van kodevectoren van dim. m .

volgens laatste voorbeeld is

$$\begin{aligned} M_4 &= M_1 \oplus M_2 \\ M_5 &= M_1 \oplus M_3 \\ M_6 &= M_2 \oplus M_3 \end{aligned}$$

het kodeer schema ziet er als volgt uit :
 (Verondersteld wordt dat $M_1 = x_1 \oplus x_2$
 $M_2 = x_2 \oplus x_4$
 $M_3 = x_1 \oplus x_3$)

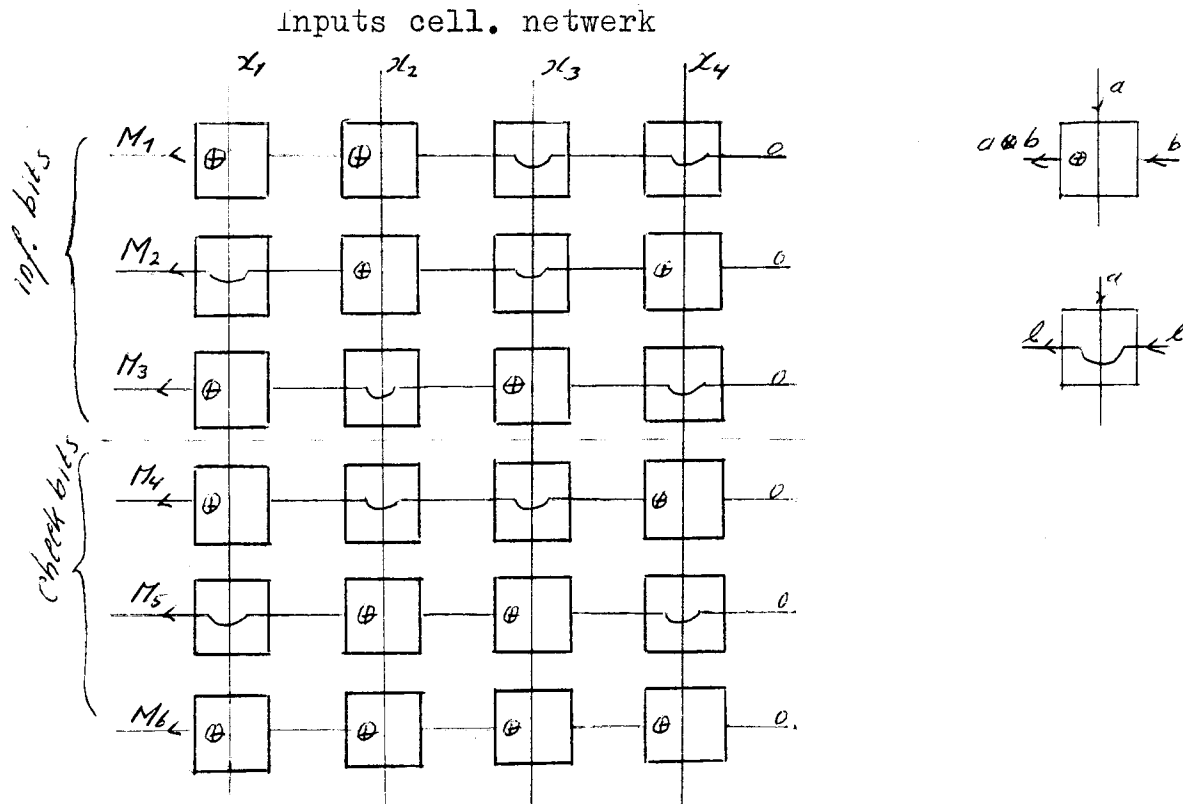


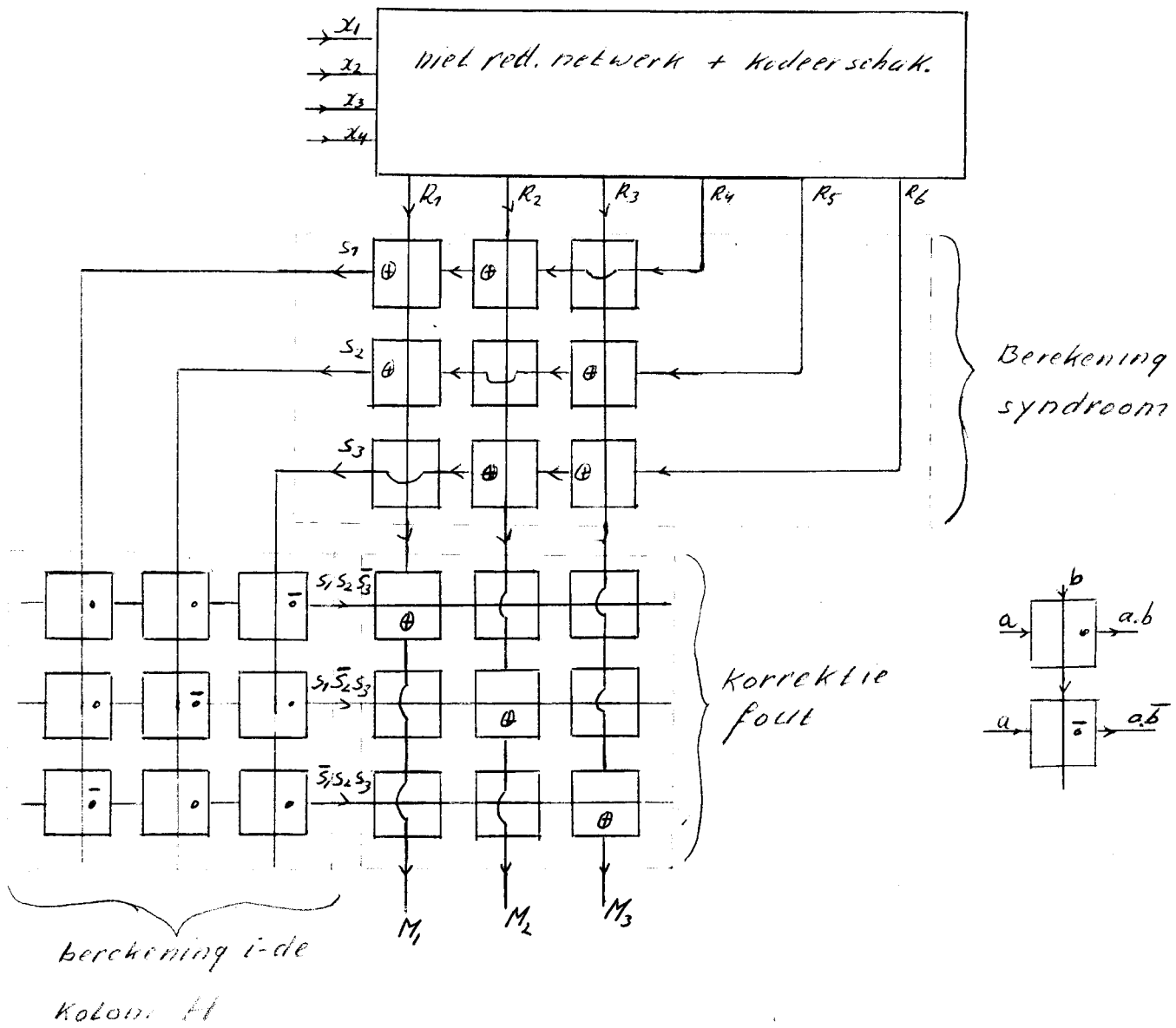
Fig. 8.1

Na het fabrikage proces kan één van de outputs defekt zijn. Door een juiste dekodering kan één fout in de 6 outputs gecorrigeerd worden.

Dekodeer schakeling.

het syndroom S wordt in de dekodeer schakeling berekend en daaruit kan men het juiste bericht dekodieren.

Als voorbeeld is de parity check matrix van blz 89 genomen. in fig. 8.2 wordt het gehele redundante netwerk weergegeven.



Redundant netwerk. (toepassing hamming kode)

Fig. 8.2

8.2 Berekening opbrengst verbetering.

Verondersteld wordt dat alle cellen toegepast in fig. 8.2 een zelfde fout kans bezitten, die gelijk is aan $(1 - p)$. Uit appendix 10.4 volgt dat voor een redundant netwerk met m informatie bits en k check bits geldt:

$$P_i = p^n$$

$$P_{red} = ((m + k)(1 - P_i)P_i^{m+k-1} + P_i^{m+k}) P_{dek} .$$

$$P_{dek} = p^{2mk+m^2} .$$

$$P_c = p^{nm} .$$

P_{red} is de kans dat het redundante netwerk van fig. 8.2 goed werkt.

P_{dek} is de kans dat de dekodeerschakeling goed werkt.

P_c is de kans dat het niet redundante netwerk goed werkt.

P_i is de kans dat de i -de output van het gekodeerde kollektor netwerk goed werkt.

n is het aantal inputs van het niet redundante netwerk.

met behulp van een komputer programma wordt nagegaan of er een opbrengst verbetering mogelijk is, door m , n en k te variëren. (Bijlage 5). Er wordt steeds voldaan aan de vergelijking $m \leq 2^k - k - 1$. Voor p worden twee waarden genomen nl:

$$p = p_1 \text{ EN voor } p_1 \text{ geldt } p_1^{300} = 5\%$$

zie blz

$$p = p_2 \text{ en voor } p_2 \text{ geldt } p_2^{600} = 5\%$$

Bijlage 6 geeft P_{red} en P_c in een grafiek weer, waarbij $m=3$ en 4 genomen wordt.

Het blijkt dat voor $m \leq 4$ een opbrengst verbetering aanwezig is. Bij voternetwerken moest m kleiner of gelijk aan 2 zijn om een opbrengst verbetering mogelijk te maken.

Konklusie.

Door toepassing van single error correcting codes is een opbrengst verbetering aanwezig voor cell. netwerken met minder dan 5 outputs.

Voor $m=2$ en $p=p_1$ geeft de toepassing van voternetwerken een grotere opbrengst verbetering.

Voor $m=1$ en p is resp. p_1 en p_2 geeft de toepassing van single error correcting codes een grotere opbrengst verbetering. De schakeling is in het laatste geval onregelmatiger dan bij voternetwerken.

Literatuur opgave.

- 1 Peterson W.W. Error correcting codes. Cambridge, Mass., M.I.T. press. 1961.
- 2 Berlekamp E.R. Algebraic coding theory. Mc. Graw-Hill, Inc. New York. 1968.
- 3 Boddeke R.J.J. Foutendetektie en foutenkorrektie met behulp van cyclische kodes. Afstudeer verslag ECB. 1966.

DOUBLE ERROR CORRECTING BCH CODES EN
CELLULAIRE NETWERKEN.

Samenvatting.

De BCH codes zijn lineaire codes, die een generalisatie zijn van de hamming code. De woord lengte van deze BCH codes is gelijk aan $2^k - 1$. k is een geheel getal. Deze code kan t fouten corrigeren. Er zijn dan $k \cdot t$ check bits in ieder kodewoord vereist. De BCH code is evenals de hamming code m.b.v. een parity matrix te beschrijven. In sectie 9.1 wordt de konstruktie van het dekodeer algoritme voor BCH code aan de hand van een voorbeeld behandeld. De behandeling van de theoretische achtergrond zou te ver voeren en daarvoor wordt verwezen naar lit. 1 en 2. Het ontwerp van de detail schakelingen voor de dekodering geschiedt in sectie 9.2.

9.1 Double error correcting BCH codes.

Het koderen gebeurt op dezelfde wijze als bij de hamming code. Het dekoderen van deze BCH codes is echter ingewikkelder.

Alvorens met de behandeling van double error correcting codes te beginnen wordt een andere schrijfwijze van de parity matrix van de hamming code behandeld.

De kolommen van de parity matrix kunnen worden beschouwd als de niet nul elementen van een galois lichaam $GF(2^k)$, omdat de betreffende kolommen van de matrix een k dimensionale vektorruimte vormen, bestaande uit $2^k - 1$ vektoren ongelijk nul, die modulo 2 opgeteld kunnen worden. (k = aantal check bits bij hamming code).

Bijlage 7 geeft de representatie van de multiplicatieve groep vzn een $GF(2^4)$ als machten van α weer en tevens ook de additieve groep, die wordt voorgesteld door polynomen en vektoren over de 4 dim. vektorruimte over $GF(2)$.

Als voorbeeld wordt een hamming code genomen met woord lengte 15. De parity matrix ziet er dan als volgt uit:

$$H = \begin{pmatrix} 0 & 0 & 0 & 1 & 0 & 0 & 1 & 1 & 0 & 1 & 0 & 1 & 1 & 1 & 1 \\ 0 & 0 & 1 & 0 & 0 & 1 & 1 & 0 & 1 & 0 & 1 & 1 & 1 & 1 & 0 \\ 0 & 1 & 0 & 0 & 1 & 1 & 0 & 1 & 0 & 1 & 1 & 1 & 1 & 0 & 0 \\ 1 & 0 & 0 & 0 & 1 & 0 & 0 & 1 & 1 & 0 & 1 & 0 & 1 & 1 & 1 \end{pmatrix}$$

$$\text{en } \underline{R} \underline{H}^t = \underline{S}^t \quad \underline{S} = (s_1, s_2, s_3, s_4) \quad \underline{R} \text{ is het ontvangen woord.}$$

De voorstelling van de kolommen van deze matrix H als elementen van $GF(2^4)$ ziet er als volgt uit:

$$H = \left[1 \mid \alpha \mid \alpha^2 \mid \alpha^3 \mid \alpha^4 \mid \alpha^5 \mid \alpha^6 \mid \alpha^7 \mid \alpha^8 \mid \alpha^9 \mid \alpha^{10} \mid \alpha^{11} \mid \alpha^{12} \mid \alpha^{13} \mid \alpha^{14} \right]$$

$$\underline{HR}^t = \sum_{i=0}^{14} R_i \alpha^i = S(\alpha)$$

α is een primitief element in $GF(2^4)$.
Daardoor is α een wortel van het
* primitieve polynoom $x^4 + x + 1$

$$\begin{aligned} \text{Dus } \sum_{i=0}^{14} R_i \alpha^i &= g(\alpha) (\alpha^4 + \alpha + 1) + S(\alpha) \\ &= g(\alpha) \cdot 0 + S(\alpha) = S(\alpha) \end{aligned}$$

$g(\alpha)$ is een willekeurige polynoom.
Graad van $S(\alpha)$ is kleiner of gelijk 3.

$$S(\alpha) \equiv \sum_{i=0}^3 R_i \alpha^i \pmod{\alpha^4 + \alpha + 1}$$

\underline{S} is de vektor notatie van polynoom $S(\alpha)$

Voorbeeld:

Stel $\underline{R} = (000000000100000)$

In vektor notatie is $\underline{HR}^t = \underline{S}^t = \begin{pmatrix} 1 \\ 0 \\ 1 \\ 0 \end{pmatrix} \implies$ 10-de plaats is fout.

in $GF(2^4)$ voorstelling is

$$\underline{HR}^t = \sum_{i=0}^{14} R_i \alpha^i = \alpha^9 = \alpha^3 + \alpha = S(\alpha) = (1010) \implies \text{10-de plaats fout.}$$

Bij double error correcting codes moet het aantal check bits worden uitgebreid. Bij woord lengte $2^k - 1$ is het aantal check bits $2k$. Dit betekent dat bij woord lengte 15 het aantal check bits 8 en het aantal informatie bits 7 is.

De matrix H' ziet er dan als volgt uit:

$$H' = \begin{pmatrix} H'_1 \\ H'_3 \end{pmatrix} = \left[\begin{array}{c|c|c|c|c|c|c|c|c|c|c|c|c|c|c} 7 & \alpha & \alpha^2 & \alpha^3 & \alpha^4 & \dots & \alpha^{13} & \alpha^{14} \\ \hline f(\alpha^7) & f(\alpha) & f(\alpha^2) & f(\alpha^3) & f(\alpha^4) & \dots & f(\alpha^{13}) & f(\alpha^{14}) \end{array} \right]$$

H'_1 is de parity matrix van de hamming code.

H'_3 bestaat uit k rijen, die extra aan de matrix H' zijn toegevoegd.

Voor $f(\alpha^i)$ wordt genomen $f(\alpha^i) = (\alpha^i)^3$

*

In dit hoofdstuk betekent een + teken een modulo 2 optelling, tenzij het uitdrukkelijk anders wordt vermeld.

De matrix H' wordt dan

$$H' = \begin{pmatrix} H'_1 \\ H'_3 \end{pmatrix} = \begin{bmatrix} 1 & \alpha & \alpha^2 & \alpha^3 & \alpha^4 & \alpha^5 & \alpha^6 & \alpha^7 & \alpha^8 & \alpha^9 & \alpha^{10} & \alpha^{11} & \alpha^{12} & \alpha^{13} & \alpha^{14} \\ 2 & \alpha^3 & \alpha^6 & \alpha^9 & \alpha^{12} & 1 & \alpha^3 & \alpha^6 & \alpha^9 & \alpha^{12} & 1 & \alpha^3 & \alpha^6 & \alpha^9 & \alpha^{12} \end{bmatrix}$$

of

$$H' = \begin{pmatrix} H'_1 \\ H'_3 \end{pmatrix} = \begin{pmatrix} 0 & 0 & 0 & 1 & 0 & 0 & 1 & 1 & 0 & 1 & 0 & 1 & 1 & 1 & 1 \\ 0 & 0 & 1 & 0 & 0 & 1 & 1 & 0 & 1 & 0 & 1 & 1 & 1 & 1 & 0 \\ 0 & 1 & 0 & 0 & 1 & 1 & 0 & 1 & 0 & 1 & 1 & 1 & 1 & 0 & 0 \\ 1 & 0 & 0 & 0 & 1 & 0 & 0 & 1 & 1 & 0 & 1 & 0 & 1 & 1 & 1 \\ 0 & 1 & 1 & 1 & 1 & 0 & 1 & 1 & 1 & 1 & 0 & 1 & 1 & 1 & 1 \\ 0 & 0 & 1 & 0 & 1 & 0 & 0 & 1 & 0 & 1 & 0 & 0 & 1 & 0 & 1 \\ 0 & 0 & 0 & 1 & 1 & 0 & 0 & 0 & 1 & 1 & 0 & 0 & 0 & 1 & 1 \\ 1 & 0 & 0 & 0 & 1 & 1 & 0 & 0 & 0 & 1 & 1 & 0 & 0 & 0 & 1 \end{pmatrix}$$

Waarde van de

Stel het ontvangen woord \underline{n} bevat twee fouten. De bits op de v -de en j -de plaats zijn verwisseld.* $\underline{n} = \underline{m} + \underline{e}$. De fout vektor \underline{e} heeft overal nullen behalve op de v -de en j -de plaats.

Dan geldt $\underline{n}' \underline{R}^t = H'(\underline{M}^t + \underline{E}^t) = H' \underline{E}^t = \underline{S}^t = \begin{pmatrix} \underline{S}_1^t \\ \underline{S}_3^t \end{pmatrix}$

$$\underline{S}_1^t = H'_1 \underline{E}^t$$

$$\underline{S}_3^t = H'_3 \underline{E}^t$$

$$\underline{S}_1 = (S_{11}, S_{12}, S_{13}, S_{14})$$

$$\underline{S}_3 = (S_{31}, S_{32}, S_{33}, S_{34})$$

Volgens galois lichaam voorstelling

$$S_1(\alpha) = H'_1 \underline{E}^t = \sum_{i=0}^{14} E_i \alpha^i = \alpha^v + \alpha^j$$

Waarbij \underline{S}_1 de vektor voorstelling is van $S_1(\alpha)$.

$$S_3(\alpha) = H'_3 \underline{E}^t = \sum_{i=0}^{14} E_i \alpha^i = (\alpha^v)^3 + (\alpha^j)^3$$

Waarbij \underline{S}_3 de vektor voorstelling is van $S_3(\alpha)$.

De dekodeerschakeling kan het syndroom \underline{S} berekenen. (zelfde type schakeling als bij hamming code) Hierdoor is de vektor notatie van de polynomen $S_1(\alpha)$ en $S_3(\alpha)$ bekend. Er rest ons nog de volgende vergelijkingen op te lossen:

* $\underline{E} = (E_0, E_1, \dots, E_{14})$

$$S_1(\alpha) = \alpha^i + \alpha^j \quad (1)$$

$$S_3(\alpha) = (\alpha^i)^3 + (\alpha^j)^3 \quad (2)$$

met α^i en α^j als onbekenden (α^i en α^j geven de plaatsen van de fouten aan).

in appendix 10.5 zijn de vergelijkingen (1) en (2) omgezet in een 2-de graadsvergelijking

$$\sigma(z) = z^2 + \sigma_1 z + \sigma_2 = 0 \quad \sigma_1 = S_1(\alpha)$$

$$\sigma_2 = S_1^3(\alpha) + \frac{S_3(\alpha)}{S_1(\alpha)}$$

α^i en α^j zijn de wortels van deze 2-de graadsvergelijking

het dekodeer algoritme is nu :

- 1) Bereken het syndroom $\underline{s}^t = \underline{H}\underline{r}^t$
 - Bij nul fouten is $S_1(\alpha) = S_3(\alpha) = 0$
 - bij één fout is $S_3(\alpha) = \{S_1(\alpha)\}^3 \quad S_1(\alpha) \neq 0$
 - bij twee fouten is $S_1(\alpha) \neq 0 \quad S_3(\alpha) \neq 0$
- 2) Bereken σ_2 Deze term levert bij het logische ontwerp de meeste moeilijkheden op. (zie sectie 9.2)
- 3) Los $\sigma(z)$ op. het oplossen van $\sigma(z)$ wordt gerealiseerd door voor z alle elementen van $GF(2^4)$ te substitueren. te beginnen bij $z = 1$, daarna $z = \alpha$, $z = \alpha^2$, ... enz.
De waarden van z, waarvoor $\sigma(z)$ is nul, geven de plaats van de fouten aan.

In bovenstaande is de dekodering van een primitieve BCH code behandeld (Primitieve BCH code is een BCH code met woord lengte $2^k - 1$, k is een geheel getal).

Voor nonprimitieve BCH codes bestaat het dekodeeringsalgoritme ook uit het oplossen van een 2-de graadsvergelijking. De problemen van het logische ontwerp zijn van dezelfde aard als bij de primitieve kode, nl. het delen van twee polynomen modulo $p(\alpha)$. $p(\alpha)$ is het primitieve polynoom van een galois lichaam.

9.2 Ontwerp parallel dekodeerschakeling m.b.v. cellulaire logica.

Een regelmatige verbindingstructuur en de toepassing van steeds dezelfde cellen vormen de karakteristieke eigenschappen van cellulaire logica. Er wordt getracht om het ontwerp van de dekodeerschakeling zoveel mogelijk aan deze twee eigenschappen te laten voldoen. De dekodeerschakeling wordt aan de hand van een voorbeeld (double error correcting BCH code met woord lengte 15) behandeld. Deze schakeling is gemakkelijk uit te breiden tot kodes met grotere woord lengte.

Het logisch ontwerp voor de berekening van het syndroom is gelijk aan die van de hamming codes. De toegepaste celfunctie is een exclusive-or of een doorverbinding.

9.2 a Berekening $C_2(\alpha) = C_2'(\alpha) + S_1^2(\alpha)$

$$C_2(\alpha) = \frac{S_3(\alpha)}{S_1(\alpha)} + S_1^2(\alpha)$$

$C_2(\alpha), S_2(\alpha), S_1(\alpha)$ zijn elementen van een $GF(2^4)$.

Daardoor kan $C_2(\alpha)$ ook als volgt geschreven worden

$$C_2'(\alpha) = \frac{S_3(\alpha) \text{ mod } p(\alpha)}{S_1(\alpha) \text{ mod } p(\alpha)} \quad p(\alpha) \text{ is primitieve polynoom van } GF(2^4).$$

Stel $h_{-1}(\alpha)$ is de inverse van $S_1(\alpha)$

dan $C_2'(\alpha) = h_{-1}(\alpha) \cdot S_3(\alpha) \text{ mod } p(\alpha)$.

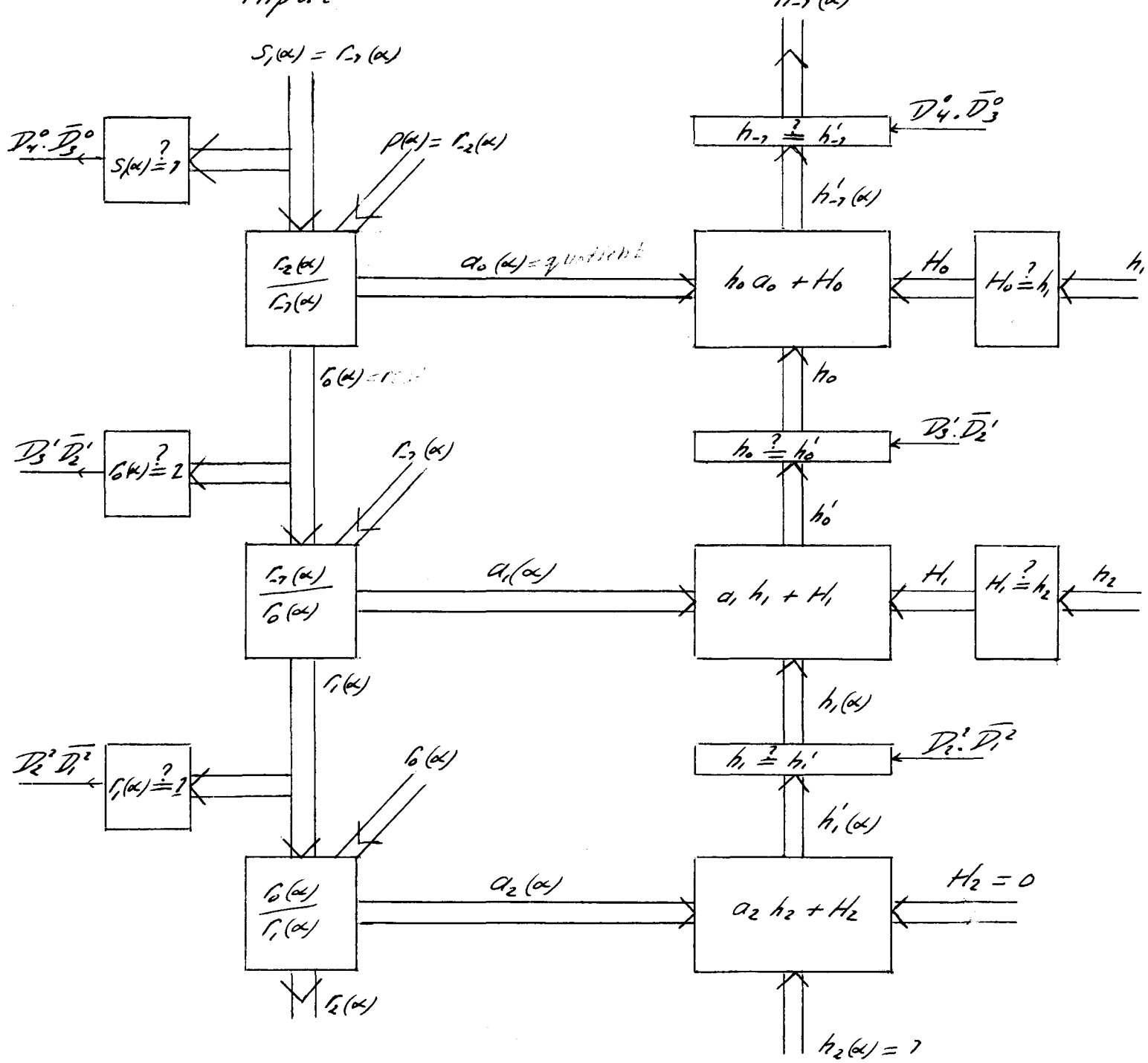
De deling is omgezet in een vermenigvuldiging. Deze vermenigvuldiging is gemakkelijk te realiseren.

Berekening inverse $h_{-1}(\alpha)$ van $S_1(\alpha)$.

Voor de berekening van de inverse van $S_1(\alpha)$ wordt gebruik gemaakt van de algoritme van Euclid. De procedure voor de berekening van deze inverse wordt behandeld in lit. 2 blz. 23 en 36. Het blokschema voor de berekening van de inverse van $S_1(\alpha)$ wordt in fig. 9.2 weergegeven.

Stel $p(\alpha) = L_2(\alpha)$ en $S_1(\alpha) = L_1(\alpha)$.

Het quotiënt van de eerste deling $\frac{L_2(\alpha)}{L_1(\alpha)}$ is gelijk aan $a_0(\alpha)$ de rest is $b_0(\alpha)$ (graad $b_0(\alpha) < \text{graad } L_1(\alpha) \leq 3$).



Blok schema van berekening inverse van $S_1(s)$

Fig 9.2.

als $r_0(\alpha) = 2$ dan $h_0 = 2$ en $H_0 = 0$
 De volgende delingen hebben dan geen invloed meer
 op de output $h_{-2}(\alpha)$.

als $r_0(\alpha) \neq 2$ dan wordt $h_0 = h_0'$ en $H_0 = h_1$
 De volgende deling wordt uitgevoerd.

Het quotiënt van $\frac{r_{-2}(\alpha)}{r_0(\alpha)}$ wordt $a_1(\alpha)$ genoemd en de rest is $r_1(\alpha)$
 graad $r_1(\alpha) <$ graad $r_0(\alpha) \leq 2$

als $r_1(\alpha) = 2$ dan wordt $h_1 = 2$ en $H_1 = 0$
 De volgende delingen hebben geen invloed meer
 op de output $h_{-2}(\alpha)$.

als $r_1(\alpha) \neq 2$ dan wordt $h_1 = h_1'$ en $H_1 = h_2$

De laatste deling $\frac{r_0(\alpha)}{r_1(\alpha)}$ wordt op dezelfde wijze als de vorige
 delingen uitgevoerd.

De output $h_{-2}(\alpha)$ is uit de a_i 's te berekenen met behulp
 van netwerken, die het produkt en de som van twee polynomen
 kunnen berekenen.

Voorbeeld:

stel $S_1(\alpha) = r_1(\alpha) = \alpha^2 + 7$ en $p(\alpha) = r_{-2}(\alpha) = \alpha^4 + \alpha + 2$.

1-ste deling $\alpha^2 + 7 \overline{) \alpha^4 + \alpha + 7} \quad \alpha^2 + 7$

$$\begin{array}{r} \alpha^4 + \alpha^2 \\ \underline{\alpha^4 + \alpha^2} \\ \alpha^2 + \alpha + 7 \\ \underline{\alpha^2 + 7} \\ \alpha \end{array} \quad \begin{array}{l} a_0 = \alpha^2 + 7 \\ r_0 = \alpha \end{array}$$

2-de deling $\alpha \overline{) \alpha^2 + 7} \quad \alpha$

$$\begin{array}{r} \alpha^2 \\ \underline{\alpha^2} \\ 7 \end{array} \quad \begin{array}{l} a_1(\alpha) = \alpha \\ r_1(\alpha) = 7 \Rightarrow h_1 = 7 \quad H_2 = 0 \end{array}$$

dan is $h_0 = a_1 h_1 + H_1 = \alpha, \alpha = \alpha$
 en $h_{-2} = h_0 a_0 + H_0 = \alpha(\alpha^2 + 7) + 7 = \alpha^3 + \alpha + 2$.

het blokschema van fig. 9.2 is gemakkelijk uit te breiden voor
 polynomen behorende tot $GF(2^k)$ ($k > 3$). Er zijn dan $k-1$ netwerken
 nodig die een deling uitvoeren en $k-1$ netwerken die een ver-
 menigvuldiging uitvoeren.

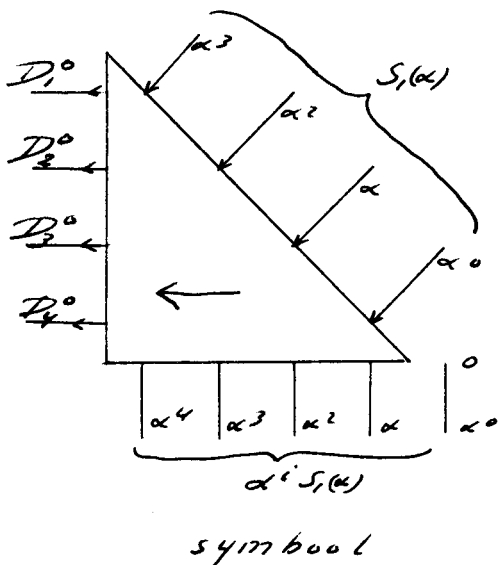
Logisch ontwerp deler.

Uit laatste voorbeeld blijkt dat delen bestaat uit herhaald schuiven en aftrekken.

De graad van $S_2(\alpha)$ is onbekend. Daarom wordt $S_2(\alpha)$ zodanig met α^i vermenigvuldigd, dat $\alpha^i S_2(\alpha)$ een vierde graads-polynoom is.

$\alpha^i S_2(\alpha)$ kan worden gerealiseerd door de coëfficiënten van de polynoom $S_2(\alpha)$ i plaatsen naar links te verschuiven. Fig. 9.3 geeft het symbool weer van dit verschuivingsnetwerk.

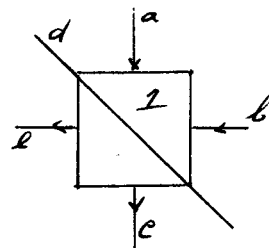
Appendix 10.6 behandelt de detail schakeling van dit netwerk.



verschuivings netwerk

Fig. 9.3

toegepaste cel



$c = d(a+b)$
 $e = \bar{d}(a+b)$

boolse schrijfwijze.

cel 1

De D_i^0 lijnen bevatten informatie over de graad van $S_2(\alpha)$.

$\alpha^i S_2(\alpha)$ wordt tijdens de deling enige malen van $p(\alpha)$ afgetrokken, waarbij $\alpha^i S_2(\alpha)$ steeds een plaats naar rechts verschoven wordt. Het symbool van het netwerk dat deze aftrekking uitvoert wordt in fig. 9.4 weergegeven. Appendix 10.7 behandelt de details van deze schakeling.

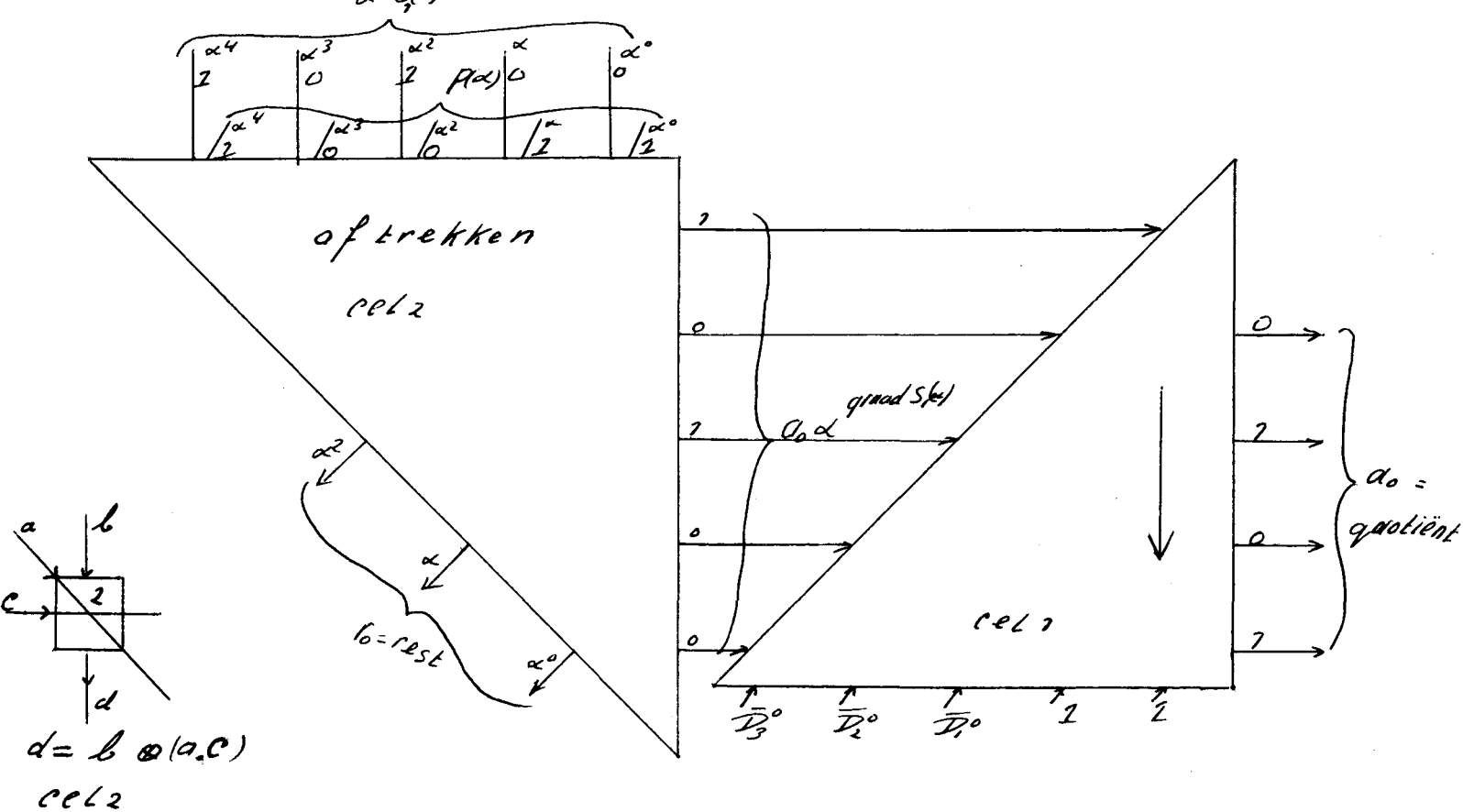


fig 9.4.

met eigenlijke aftrekken en schuiven vindt plaats in het linker netwerk. Het rechter netwerk dient om het quotiënt in de juiste graad aan de outputs te laten verschijnen.

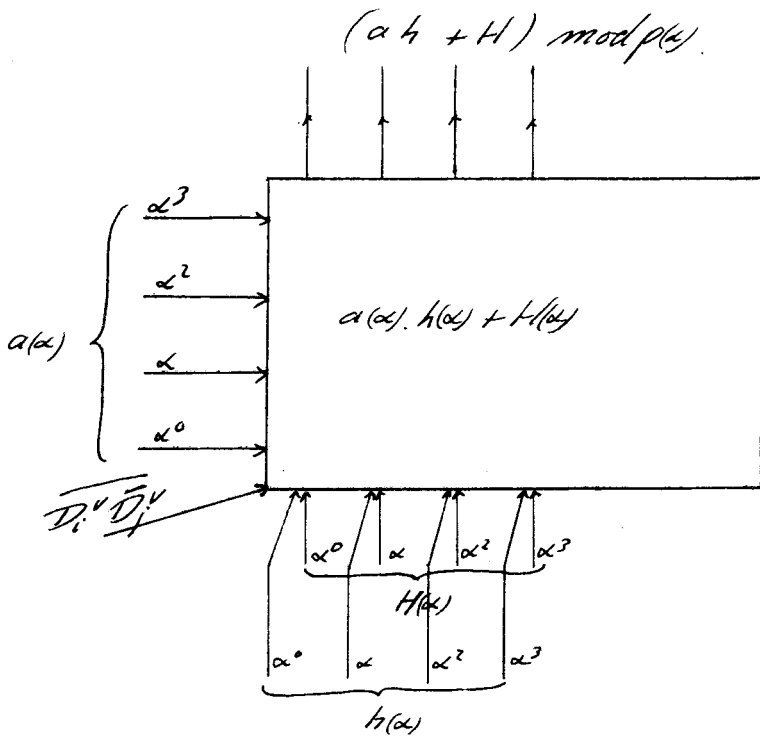
Ontwerp vermenigvuldigings-netwerk.

Het symbool van het netwerk, dat een vermenigvuldiging uitvoert, wordt in fig. 9.5 weergegeven.

Detail schakeling zie appendix 10.8. Het gehele netwerk bestaat uit cellen van het type cel 3. Deze cel 3 bestaat uit twee deelcellen, die ieder identiek zijn aan cel 2.

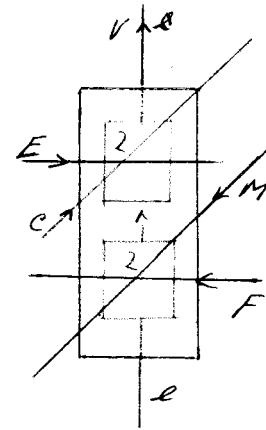
De input $\bar{D}_i \cdot \bar{D}_j$ dient om de polynoom $H(\alpha)$ te beïnvloeden. Als $\bar{D}_i \cdot \bar{D}_j = 1$ dan wordt $H(\alpha)$ op nul gezet. Als $\bar{D}_i \cdot \bar{D}_j = 0$ dan wordt $H(\alpha)$ onveranderd aan het vermenigvuldigingsnetwerk toegevoerd.

Fig. 9.6 geeft de gehele logische schakeling weer, die de inverse van de polynoom $S_1(\alpha)$ berekent. $S_1(\alpha)$ is een element van $GF(2^4)$.



vermenigvuldigingsnetwerk.

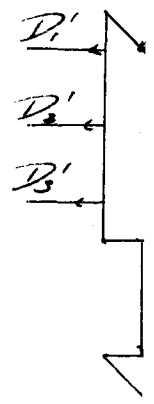
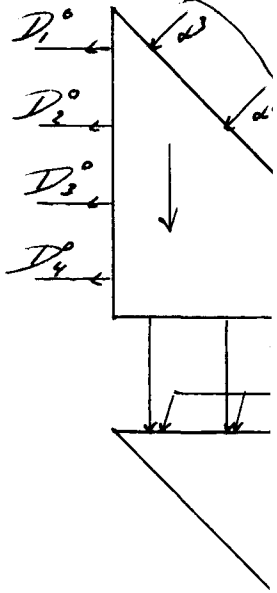
fig. 9.5



$$V = l \otimes (E, C) \otimes (M, F)$$

cell 3

σ_2 is nu gemakkelijk te realiseren. (nl. $\sigma_2 = h_{-2}(\alpha) \cdot S_2(\alpha) \bmod p(\alpha) + S_1^2(\alpha) \bmod p(\alpha)$)
 σ_2 kan met de reeds behandelde vermenigvuldiger in fig. 9.5 gerealiseerd worden.



1
2

9.2 B Het oplossen van $\sigma(z) = z^2 + \sigma_1 z + \sigma_2 = 0$

Fig. 9.7 geeft een blokschema voor het oplossen van $\sigma(z) = 0$

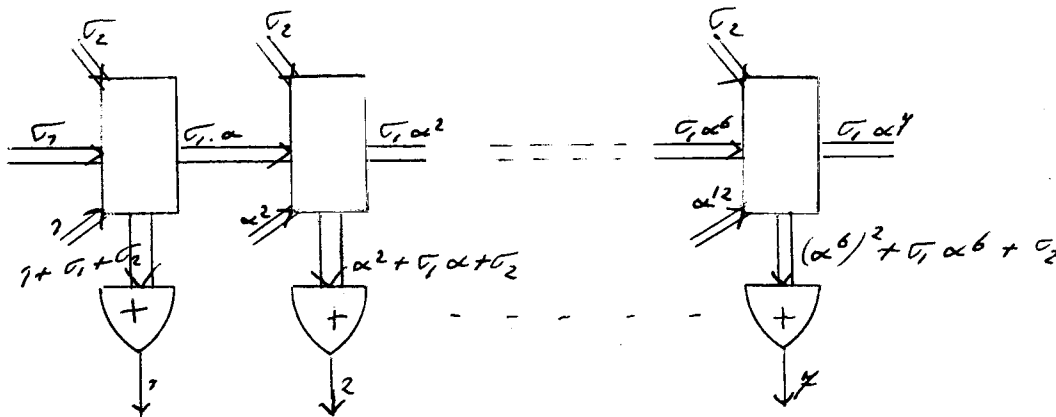


Fig. 9.7

Als de i -de output van het bovenstaande netwerk de waarde nul heeft, dan is er op de i -de plaats in het ontvangen kodewoord een fout opgetreden. Omdat het kodewoord 7 informatie bits bevat, is het voldoende alleen deze 7 bits te korrigeren. Deze informatie bits staan op de eerste 7 plaatsen van het ontvangen woord. Appendix 10.9 geeft een gedetailleerd schema van fig. 9.7.

Als de plaatsen van de fouten bekend zijn dan wordt de correctie op dezelfde wijze uitgevoerd als bij de hamming code. Dit foutcorrectie netwerk bestaat uit cellen die een exclusive-or of een doorverbinding als celfunctie hebben.

Fig. 9.8 geeft de gehele dekodeer schakeling weer.

9.3 Berekening Pred.

De foutkans van de cel is evenredig met de oppervlakte. In de dekodeerschakeling worden 4 celtypes toegepast, die qua complexiteit afwijken van de exclusive-or cel waarvan de foutkans $q = 1 - p$ is.

Om P_{dek} te berekenen, worden de foutkansen van de 4 celtypes afgeleid van de foutkansen van deze exclusive-or cel.

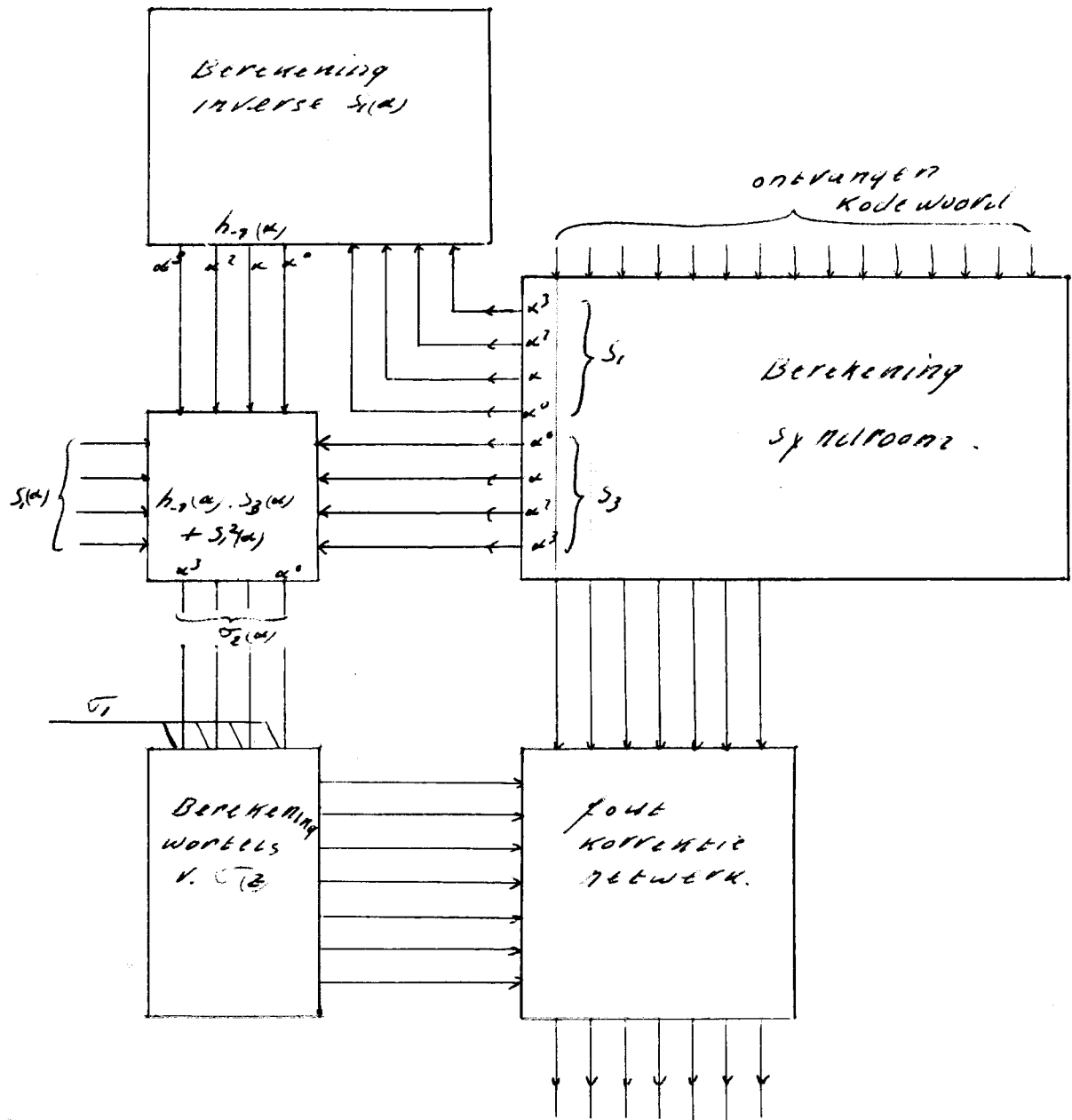


fig 9.8
 complete decoder schakeling

informatie bits

In onderstaande tabel worden de diverse foutkansen weergegeven.

<u>cel type</u>	<u>aantal poorten</u>	<u>aantal oppervl. eenheden</u>	<u>foutkans</u>
exclusive-or	2 and 1 or 2 invertors	5	$q=1-p$
cel type 1	1 or 2 and 1 invertor	4	$(4/5)q$
cel type 2	1 and 1 exclusive-or en een extra diagonaal verbinding	$6+I$	$(7/5)q$
cel type 3	2 maal cel type 2	$I4$	$(I4/5)q$
cel type 4	2 exclusive-or 1 or en een extra diagonaal verbinding	$II+I$	$(I2/5)q$

Het aantal cellen in de dekodeerschakeling is:

<u>Onderdeel</u>	<u>aantal cellen bij woord lengte 2^k-1</u>	
Syndroom	$s = 2k(2^k - 2k - 1)$	exclusive-or's
Inverse berekening		
$S_I(\alpha)$:		
a/ Delers;	$iaI = \sum_{i=2}^k (i^2 + 2i + 1)$	cel type 1
	$ibI = \sum_{i=2}^k (\frac{1}{2}i^2 + (5/2)i + 2)$	cel type 2
b/ Vermenig.:	$i2 = \left(\sum_{a=2}^k a^2 \right) + (k-2-j)k^2$	cel type 3
	$a=2, 2^2, 2^3, \dots, 2^j$ waarbij $2^j \leq k < 2^{j+1}$	
Berekening van S_2		
$S_2(\alpha) = S_3(\alpha) + S_1(\alpha)$:	$b = 2k^2$	cel type 3
Oplossen van $Z^2 + G_1 Z + G_2 = 0$:		
	$O_I = (2^k - 2k - 1)k$	cel type 4
	$O_2 = 2^k - 2k - 1$	excl. or
fout correctie netwerk:	$f = (2^k - 2k - 1)^2$	excl. or

nu wordt:

$$P_{dek} = p^s \times (I-(4/5)q)^{ial} \times (I-(7/5)q)^{ibI} \times (I-(14/5)q)^{i2} \times \\ (I-(14/5)q)^b \times (I-(12/5)q)^{0I} \times p^{02} \times p^f.$$

Als $pi=p^n$ dan wordt:

$$Pred = (pi^{2k-1} + (2^k - 1)(I-pi)pi^{2k-2} + \frac{1}{2}(2k-2)(2k-1)(I-pi)^2 pi^{2k-3}) P_{dek}.$$

Als $N=2^k - I - 2k$ dan is: $P_c = p^n \times N$.

Voor $4 \leq k < 8$ en p is resp. p_1 en p_2 wordt door een komputer programma nagegaan of er een opbrengst verbetering mogelijk is. (Bijlage 8) Uit de reken resultaten blijkt dat voor $2 \leq n < 150$ geen opbrengst verbetering aanwezig is en dat de verhouding $Pred/P_c$ zeer snel daalt bij toenemende k (Voor $k=5$ is dit 10^{-5}).

Konklusie.

De dekodeerschakeling bestaat uit 4 verschillende cel types, die veelal complexer zijn dan de exclusive-or cellen van het q -functie netwerk. De verbindingstruktuur van de dekodeerschakeling is ook complexer, omdat er een extra derde verbindingslaag nodig is.

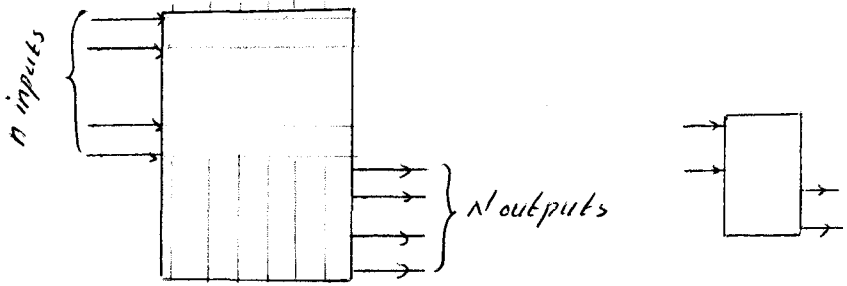
De rekenresultaten tonen aan dat de verhouding $Pred/P_c$ zeer klein is voor toenemende waarden k . Voor $k=4$ is $Pred/P_c = 10^{-1}$. Een opbrengst verbetering is met deze double error correcting codes in het geheel niet mogelijk.

Literatuur opgave.

- 1 Berlekamp E.R. Algebraic coding theory. Mc. Graw-Hill, Inc. New York. 1968.
- 2 Peterson W.W. Error correcting codes. Cambridge, Mass., M.I.T. Press. 1961.

APPENDICES.

10.1 Opbouw voternetwerk m.b.v. cellulaire logica.

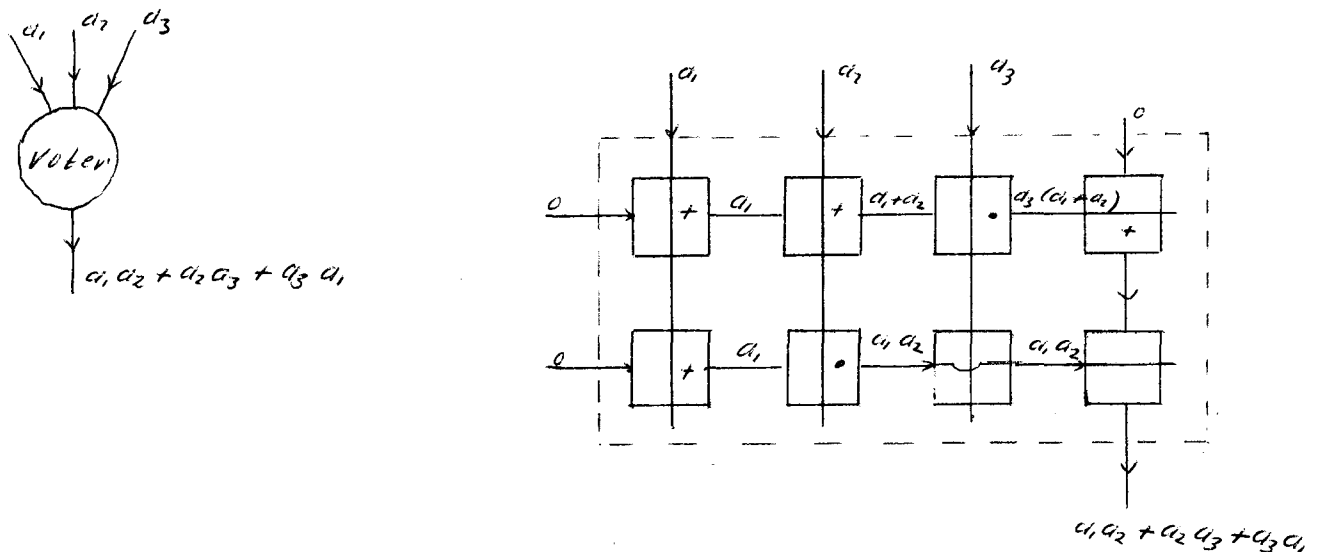


niet redundant cell.
netwerk

Symbool

Fig. 10.1

Infig. 10.1 wordt het symbool van het randgevoed-bus type weergegeven.
De realisatie van een 3 inputs voternetwerk m.b.v. een cell. netwerk van het randgevoed-bus type wordt in fig. 10.2 weergegeven.



voternetwerk van het rand-
gevoed bus type

Fig. 10.2

10.2 Worst-case berekening Pred van een redundant cell. netwerk van het randgevoed-bus type.

In deze sectie wordt Pred berekend van het netwerk in fig. 10.3. Eerst komen enige definities:

- Pvoter is de kans dat het voter netwerk goed werkt.
 p is de kans dat een cel goed werkt na het produktie proces.
 Pc is de kans dat het gehele niet redundante cell. netwerk goed werkt.
 Pred is de kans dat het redundante cell. netwerk goed werkt.
 Pci is de kans dat de i-de output van het niet redundante cell. netwerk goed werkt.
 n is het aantal inputs van het cell. netwerk.
 m is het aantal cascades in het hoofdnetwerk.
 N is het aantal outputs van het cell. netwerk.

Stel eerst dat de drie hoofdnetwerken goed zijn en dat er k kollektor cascades fout zijn. Het gehele netwerk werkt dan toch nog goed mits deze k kollektor cascades een verschillend rangnummer hebben en dat $k \leq N$.

De kans dat er k verschillende cascades fout zijn is:

$$3^k \binom{N}{k} (1-p^{nm})^k p^{(N-k)m}$$

De kans dat het gehele netwerk nog goed werkt als de 3 hoofdnetwerken goed zijn is:

$$\sum_{k=0}^N 3^k \binom{N}{k} (1-p^{nm})^k p^{(N-k)m} p^{3nm}$$

Daar komt nog bij de kans dat een hoofdnetwerk fout is, terwijl het erbij behorende kollektornetwerk er niet toe doet, maar de twee andere kollektornetwerken goed zijn.

Het geheel moet nog met Pvoter vermenigvuldigd worden. $P_{voter} = p^{8N^2}$
 Dan wordt:

$$Pred = \left\{ \sum_{k=0}^N 3^k \binom{N}{k} (1-p^{nm})^k p^{(N-k)m} p^{3nm} + 3(1-p^{nm}) p^{2(nm+Nm)} \right\} P_{voter}$$

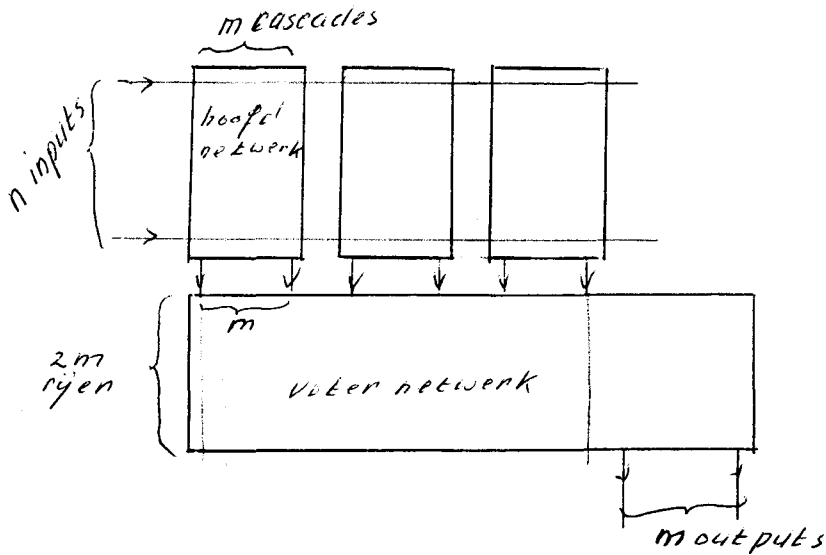
Het niet redundante netwerk bestaat uit $(n + N)m$ cellen en daarom is:

$$P_c = p^{(n + N)m}$$

Opmerking:

Bij $P_{ci} = 0.5$ is punt A in de grafiek van fig. 7.2 bereikt. Hierdoor is bij $P_{ci} < 0.5$ geen opbrengst verbetering mogelijk. Het computer programma van bijlage 1 en 3 laat n oplopen totdat $P_{ci} < p^{nm} < 0.5$, daarna wordt n op nul gezet en een van de getallen m of N wordt met één verhoogd.

10.3 Berekening P_{red} van een redundant hoofd-of kollektor-netwerk.



Redundant hoofd-of kollektor-netwerk.

fig. 10.4

Definitie: P_{cas} is de kans dan een cascade van het niet redundante hoofd-of kollektor-netwerk goed werkt.

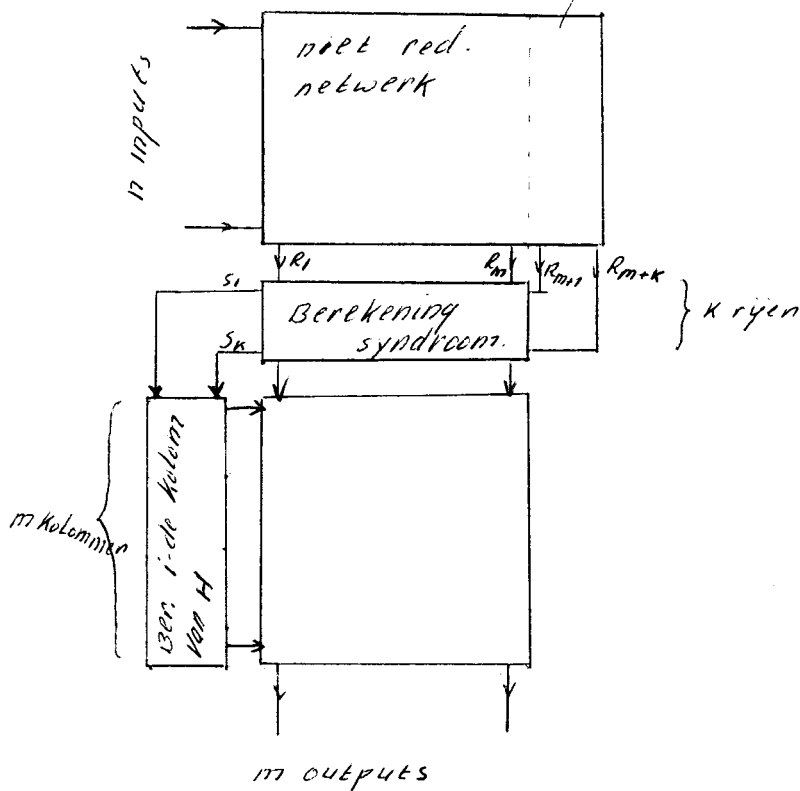
De cascade van het niet redundante hoofd-of kollektor-netwerk bevat n cellen dus

$$P_{cas} = p^n .$$

Het niet redundante hoofdnetwerk bevat nm cellen dus $P_c = p^{nm}$.

$$P_{red} = \{3(P_{cas})^2 - 2(P_{cas})^3\}^m \cdot p^{8m^2} = p^{2nm} p^{8m^2} \{3 - 2p\}^m .$$

10.4 berekening Fred single error correcting codes



redundant netwerk met n inputs en m outputs.

Fig. 10.5

Het aantal cellen in de dekodeerschakeling is $m^2 + 2km$.

$$P_{dek} = p^{m^2 + 2km}$$

$P_i = p^n$ P_i is de kans dat de i-de output van het gekodeerde netwerk goed werkt.

Als één output van het gekodeerde netwerk defekt is, dan is de output van het redundante netwerk nog juist.

$$\text{Dus } P_{red} = ((m + k)(1 - P_i)P_i^{m+k-1} + P_i^{m+k}) P_{dek}$$

↑
aantal mogelijke komb.
van één fout.

10.5 2-de graadsvergelijking.

gegeven $S_1(\alpha) = \alpha^v + \alpha^i$ (1)

$$S_3(\alpha) = (\alpha^v)^3 + (\alpha^i)^3 \quad (2)$$

α^v en α^i zijn de onbekenden.

De algemene vorm van een 2-de graadsvergelijking is

$$\sigma(z) = z^2 + \sigma_1 z + \sigma_2 = 0$$

als α^v en α^i wortels van deze vergelijking zijn dan moet

σ_1 gelijk zijn aan de som van beide wortels

σ_2 gelijk zijn aan het produkt van beide wortels

Dus

$$\sigma_1 = \alpha^v + \alpha^i = S_1(\alpha)$$

$$\sigma_2 = \alpha^v \alpha^i$$

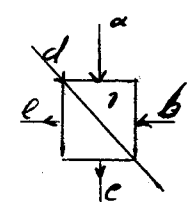
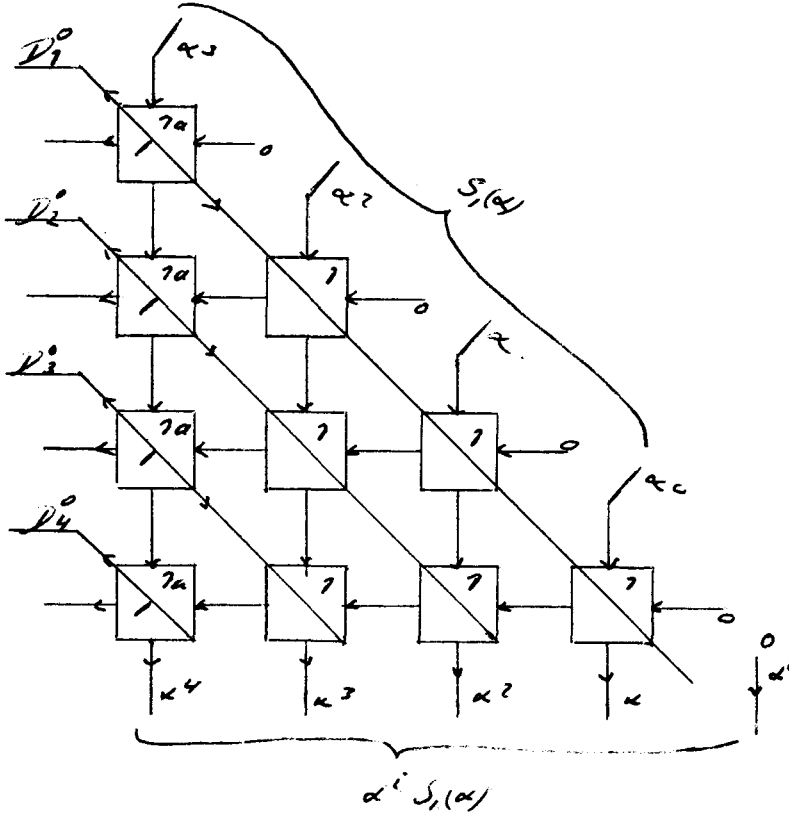
Uit (2) volgt:

$$\begin{aligned} S_3(\alpha) &= (\alpha^v + \alpha^i) \{ (\alpha^v)^2 + \alpha^v \alpha^i + (\alpha^i)^2 \} \quad * \\ &= S_1(\alpha) \{ (\alpha^v)^2 + (\alpha^i)^2 + \alpha^v \alpha^i \} = S_1(\alpha) \{ (S_1(\alpha))^2 + \alpha^v \alpha^i \}. \end{aligned}$$

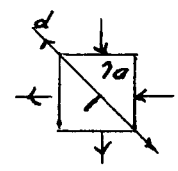
$$\text{Dus } \alpha^v \alpha^i = (S_1(\alpha))^2 + \frac{S_3(\alpha)}{S_1(\alpha)} \Rightarrow \sigma_2 = (S_1(\alpha))^2 + \frac{S_3(\alpha)}{S_1(\alpha)}$$

*

modulo-2 optellen en aftrekken zijn dezelfde bewerkingen.



CEL 1
 $c = (a+b).d$
 $e = (a+b).\bar{d}$



CEL 7a
 $d = u+b$
 $c = (u+b).d = u+b$
 $e = (u+b).\bar{d} = 0$
 ↑
 boolese schrijf wijze

Fig 10.7

Er is een tweede cel bijgekomen, die zeer weinig verschilt van cel 1. Deze cel bezit een extra verbinding meer dan cel 1 (nl. de verbinding tussen lijn \bar{d} en de uitgang van de or-poort $a+b$). De D_i^0 lijnen geven de graad van $S_1(\alpha)$ aan. Voorbeeld:

$D_1^0 = D_2^0 = D_3^0 = D_4^0 = 1 \Rightarrow$ graad $S_1(\alpha)$ is 3
 $D_1^0 = D_2^0 = D_3^0 = 0$ en $D_4^0 = 1 \Rightarrow$ graad $S_1(\alpha)$ is 0

10.7 Aftrek en verschuivingsnetwerk.

$\alpha^i S_1(\alpha)$ is een 4-de graads polynoom en moet herhaalde malen van het deeltal $p(\alpha) = \alpha^4 + \alpha + 2$ afgetrokken worden, waarbij $\alpha^i S_1(\alpha)$ steeds een plaats naar rechts wordt geschoven. Het aftrekken wordt beëindigd als de graad van de rest kleiner is dan de graad van $S_1(\alpha)$.
fig. 10.9 geeft het gehele aftreknetwerk weer.

Als $c_i = \overline{d_i} \cdot e_i = 1$ dan wordt ... afgetrokken.
Als $c_i = \overline{d_i} \cdot e_i = 0$ dan wordt **niet** afgetrokken.

De output a'_0 van het aftrek-netwerk is gelijk aan $a'_0 = a_0 \cdot \alpha^{\text{graad } S_1(\alpha)}$
 a_0 is het quotiënt van de deling.
 a'_0 moet een aantal plaatsen verschoven worden om het quotiënt a_0 te verkrijgen.

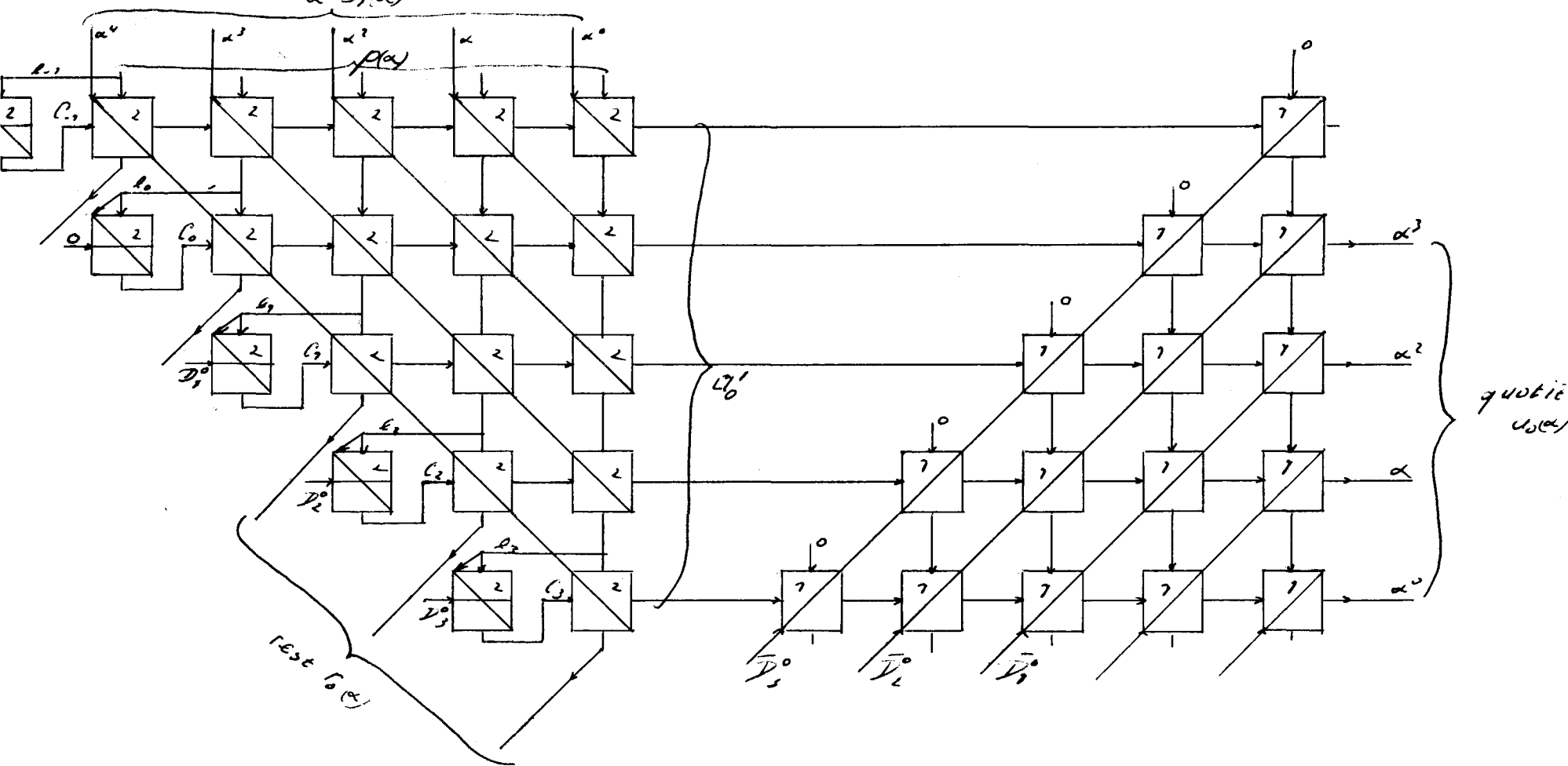


Fig. 10.4 after an verschuivings network

10.8 vermenigvuldigingsnetwerk

Een vermenigvuldigingsnetwerk, dat $a(x) \cdot h(x) \bmod p(x)$ berekent, kan gerealiseerd worden door eerst $a(x) \cdot h(x)$ te berekenen en daarna dit produkt te delen door $p(x)$. De rest is dan gelijk aan $a(x) \cdot h(x) \bmod p(x)$. Het vermenigvuldigingsnetwerk bestaat dus uit een netwerk, dat het produkt van twee polynomen berekent, en een netwerk dat een deling uitvoert. (Zie fig. 10.10) De cel waaruit beide netwerken bestaan is cel 2.

De hoogte van het vermenigvuldigingsnetwerk moet even groot zijn als die van de deler, behandeld in appendix 10.7. Om daaraan te voldoen wordt het delingsnetwerk om de EE lijn gedraaid en op het produkt netwerk gelegd. Het daaruit ontstane vermenigvuldigingsnetwerk wordt in fig. 10.11 weergegeven.

Iedere cel van dit netwerk (cel 3) bestaat uit twee deelcellen van het cel type 2.

De meest rechtse cellen van het delingsnetwerk moeten nu achterwege gelaten worden. (Anders terugkoppeling!)

De $\overline{D_i} \cdot \overline{D_i}'$ lijn dient om $H(x)$ de juiste waarde te geven.

als $\overline{D_i} \cdot \overline{D_i}' = 2$ dan $H(x) = 0$.

als $\overline{D_i} \cdot \overline{D_i}' = 0$ dan $H(x) = H(x)$.

veronderstel dat;

$$a(x) = A_3 x^3 + A_2 x^2 + A_1 x + A_0$$

$$h(x) = h_3 x^3 + h_2 x^2 + h_1 x + h_0$$

$$H(x) = H_3 x^3 + H_2 x^2 + H_1 x + H_0$$

$$p(x) = p_3 x^3 + p_2 x^2 + p_1 x + p_0 + p_4 x^4$$

$$\text{voor GF}(2^4) \text{ is } p_4 = p_1 = p_0 = 1 \\ p_3 = p_2 = 0$$

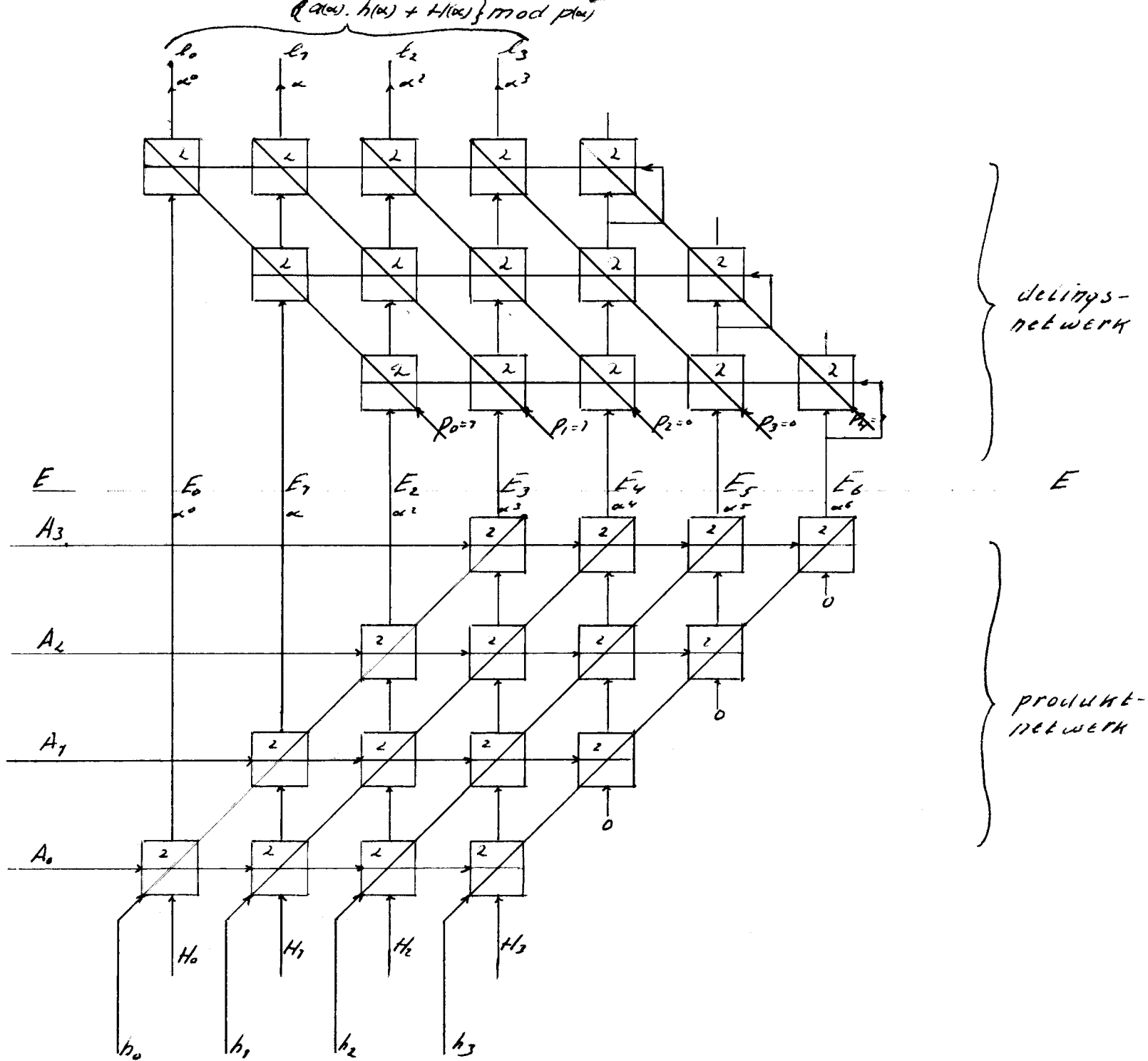
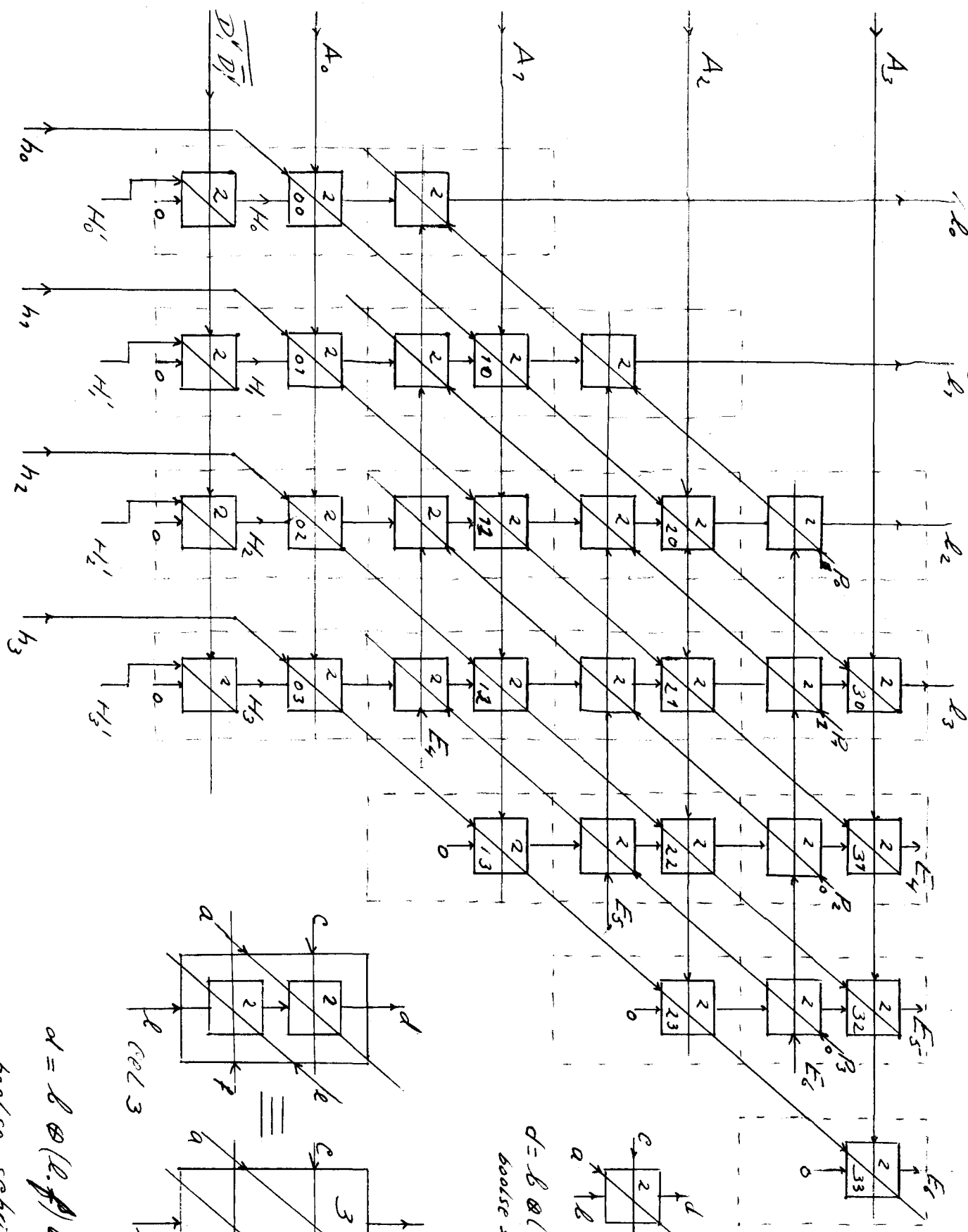
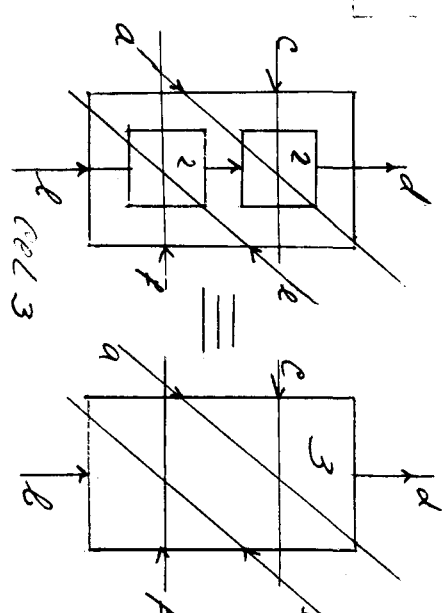


Fig. 12.11. Normalized multiplier network

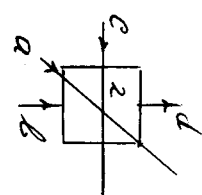
Verminigvaldignings network Fig 7.0.11



$d = b \oplus (b \cdot f) \oplus (a \cdot e)$
 boole schrijffysie



$d = b \oplus (a \cdot e)$
 boole schrijffysie

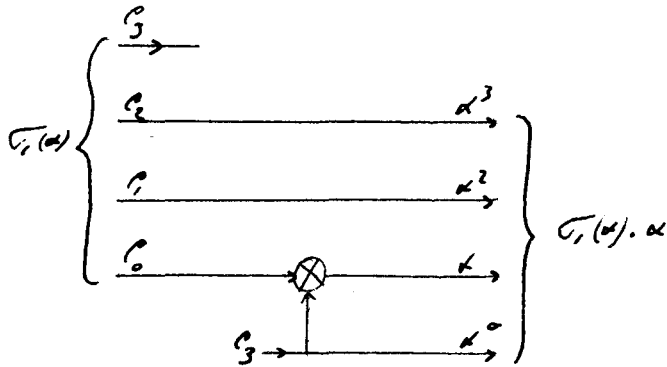


10.9 Hardware oplossing van $\sigma(z) = z^2 + \sigma_1 z + \sigma_2 = 0$

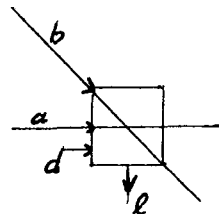
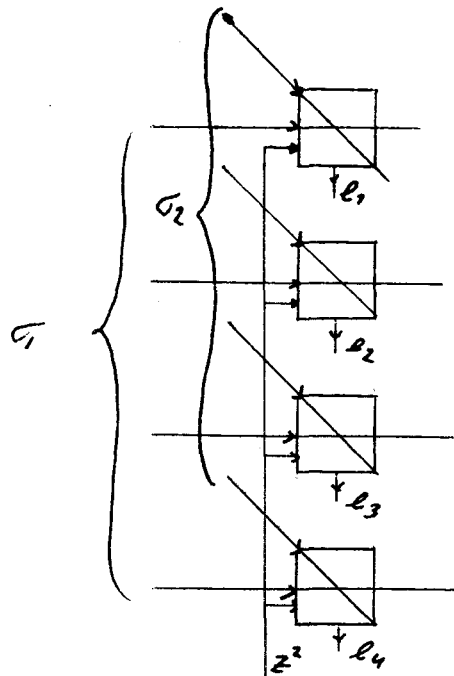
Stel $\sigma_1(\alpha) = c_3 \alpha^3 + c_2 \alpha^2 + c_1 \alpha + c_0$

$$\sigma_1(\alpha) \cdot \alpha = c_2 \alpha^3 + c_1 \alpha^2 + (c_0 + c_3) \alpha + c_3$$

De realisatie van dit produkt ziet er dan als volgt uit:



De realisatie van $z^2 + \sigma_1 z + \sigma_2 = \sigma(z)$ is:

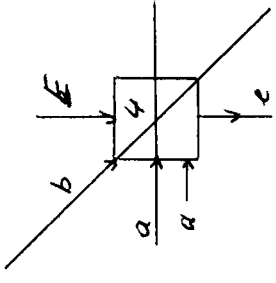


$l = a \odot b \odot d$ boolese schrijfwijze

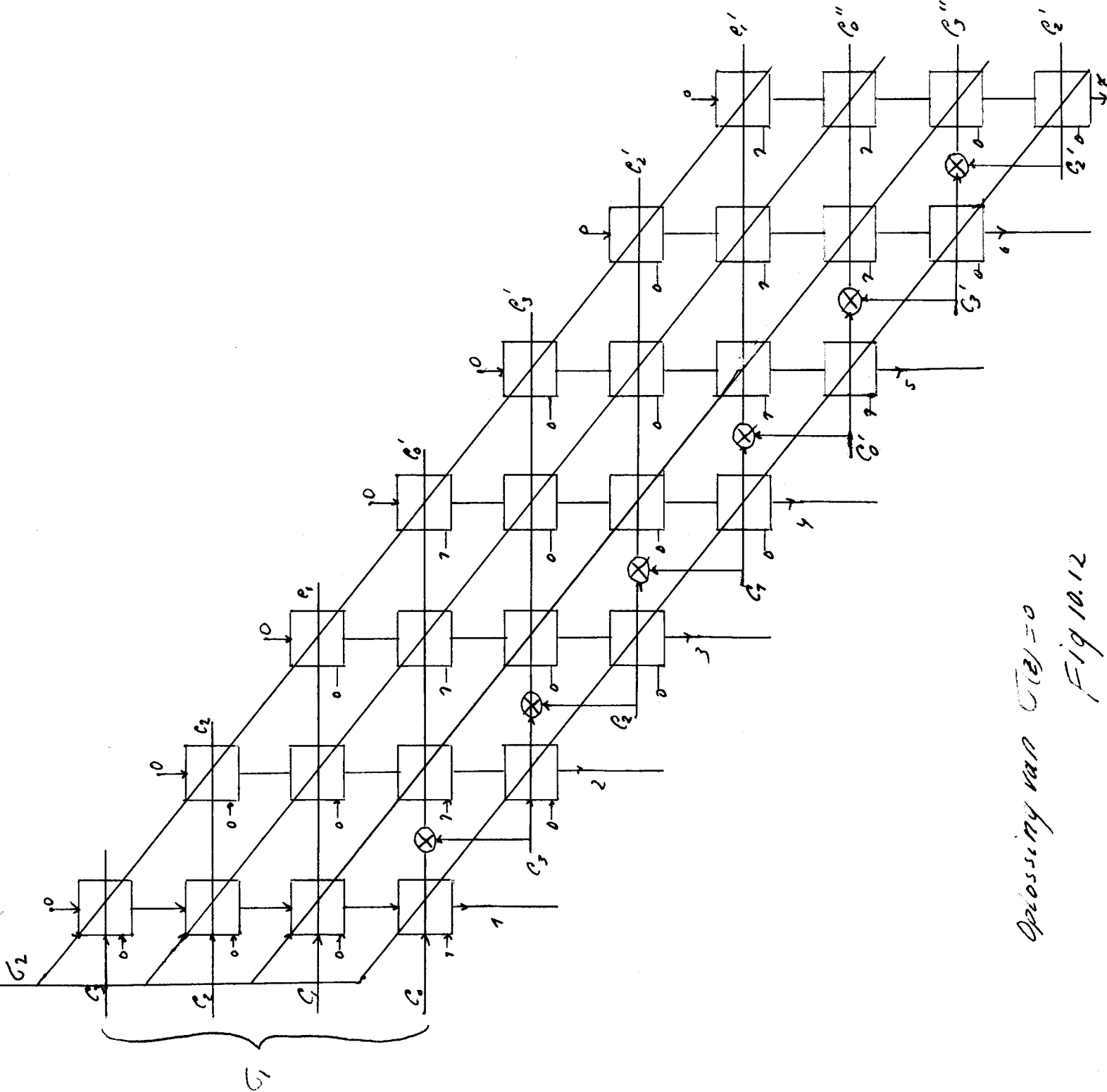
$$\sigma(z) = (a_1, l_1, l_3, l_4)$$

Als $e_1 \vee l_2 \vee l_3 \vee l_4 = 0$ (\vee is hier or-functie) dan $\sigma(z) = 0$ en de output van deze or-poort geeft dan de plaats van de fout aan.

Fig. 10.12 geeft de gehele schakeling weer.



$\epsilon = (u \otimes b \otimes d) + E$
boaise sph
 cell 4



Opposing van $\sigma(B) = 0$
Fig 10.12

begin comment berekening opbrengst-verbetering van cellulaire netwerken, (worst-case berekening).

n = aantal inputs cell. netwerk

N = aantal outputs cell. netwerk

m = aantal cascades hoofdnetwerk

1 - p is fout kans cel;

integer Nmax, mmax, nmax, t, N, m, n, j, v, i, k;

real p, p8N2, pm, pNm, p2Nm, pmn, pred, pc, Nsubf, som, kfak, Novk, p2mn, p3mn, pn;

j := 0;

B: Nmax := read; mmax := read; nmax := read;

t := read;

p := exp(ln(0.05)/t); FLOT(3, 2, p); NLCR; NLCR;

for N := 1 step 1 until Nmax do

begin p8N2 := p^{8 × (N²)};

for m := 1 step 1 until mmax do

begin pm := p^m;

pNm := p^{N × m}; p2Nm := pNm × pNm;

pmn := 1; pn := 1; som := p2Nm × pNm;

for k := 1 step 1 until N do

begin Nsubf := 1; kfak := 1; for v := N-k+1 step 1 until N do Nsubf := Nsubf × v;

for i := 1 step 1 until k do kfak := kfak × i; Novk := (Nsubf/kfak);

som := som + (3^k) × Novk × ((1 - pm)^k) × (pm^{3 × N - k});

end;

for n := 1 step 1 until nmax do

begin pmn := pmn × pm; pn := p × pn;

if (pn × pm) < 0.5 then goto A;

p2mn := pmn × pmn; p3mn := p2mn × pmn;

pred := (som × p3mn + 3 × (1 - pmn) × p2mn × p2Nm) × p8N2;

pc := pmn × pNm;

if pred < pc then goto C;

PRINTTEXT(†verbetering†);

goto E;

C: if m ≠ 4 then goto D;

E: NLCR; SPACE(15); FLOT(3, 2, n); FLOT(3, 2, m);

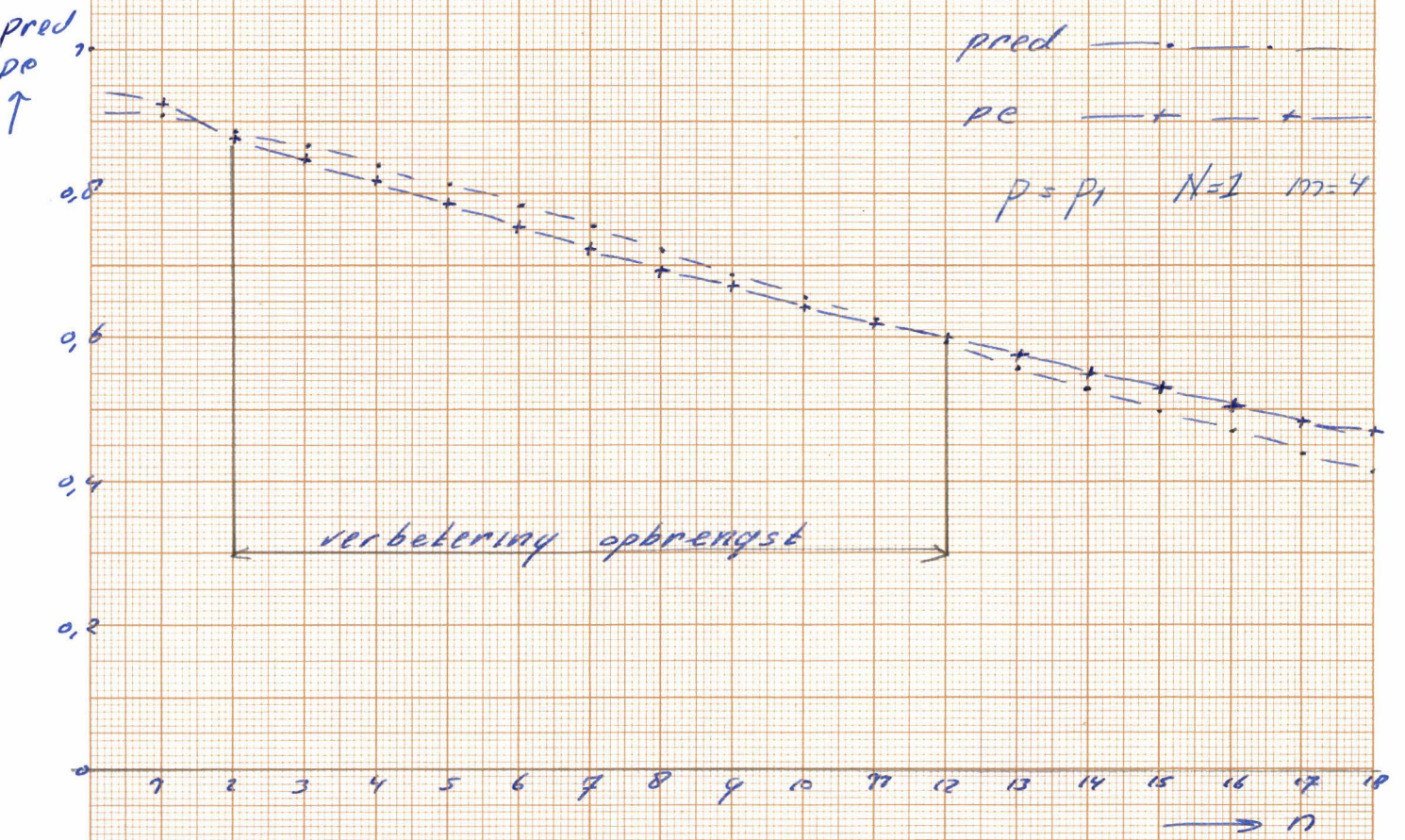
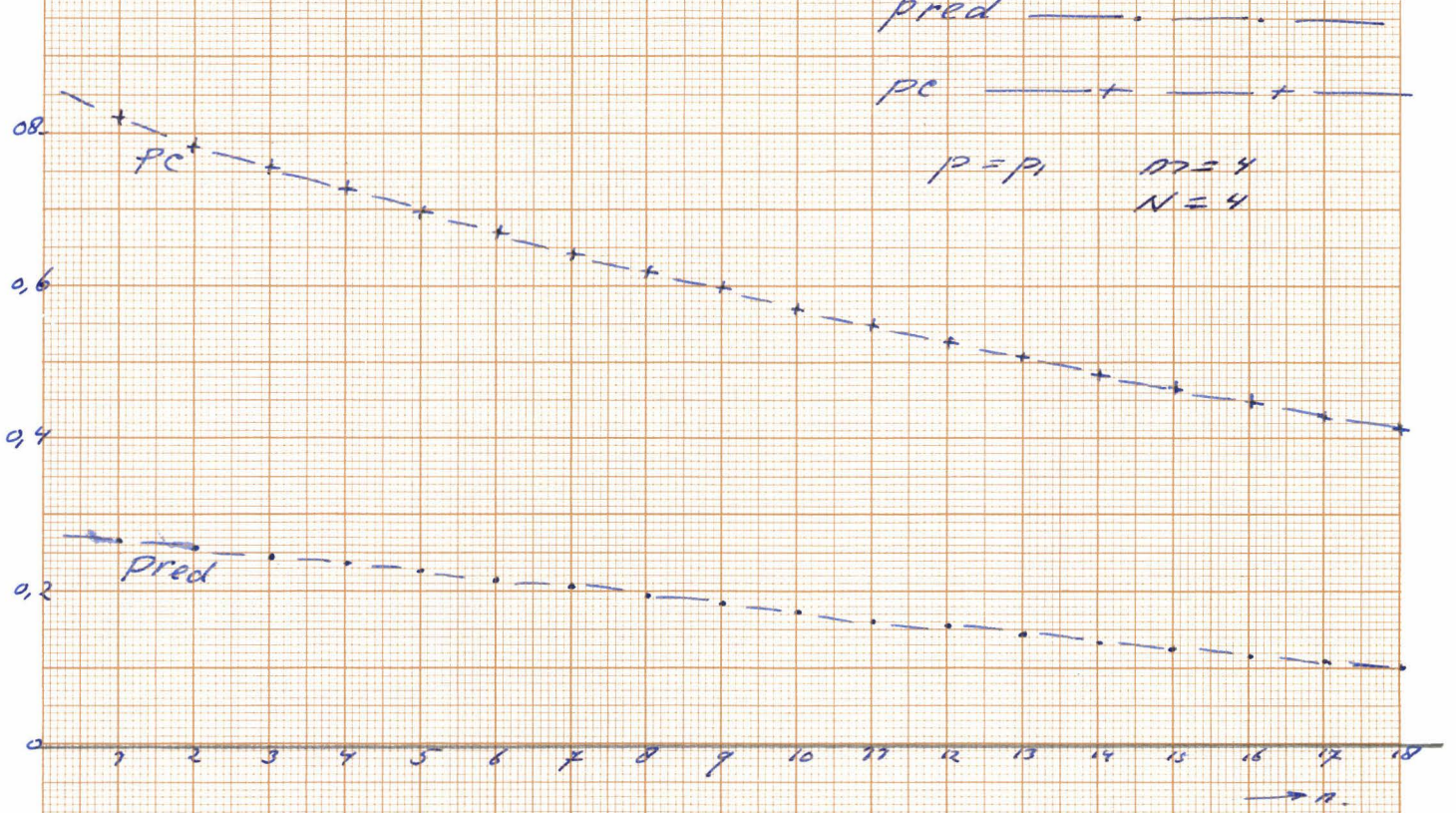
FLOT(3, 2, N); FLOT(3, 2, pred); FLOT(3, 2, pc); FLOT(3, 2, som); FLOT(3, 2, Novk); NLCR;

D: end;

A:

end;

end; j := j + 1; if j = 1 then goto B;



$pred$ en pc als functie van n bij
 konstante m en N

lalgol 06185479 steltenpool

begin comment berekening pred en pc van kollektor netwerk door toepassing van voternetwerk.

n is aantal inputs

m is aantal outputs;

integer m, t, n, j;

real p, p2m, p2m2, pm, p2mn, pn, pc, pred; j := 0;

B: t := read; p := exp(ln(0.05)/t); FLOT(3, 2, p); NLCR; NLCR;

for m := 1 step 1 until 10 do

begin p2m := p \uparrow (2 \times m); p2m2 := p \uparrow (8 \times (m \uparrow 2));

pm := p \uparrow m; p2mn := 1; pn := 1; pc := 1;

for n := 1 step 1 until 600 do

begin pn := pn \times p;

if pn < 0.5 then goto A;

p2mn := p2mn \times p2m; pc := pc \times pm;

pred := p2mn \times ((3 - 2 \times pn) \uparrow m) \times p2m2;

if pred < pc then goto C;

PRINTTEXT(†verbetering†); NLCR; goto E;

C: if m \neq 4 then goto D;

E: SPACE(15); FLOT(3, 2, n); FLOT(3, 2, m);

FLOT(3, 2, pred); FLOT(3, 2, pc); NLCR;

D:

end;

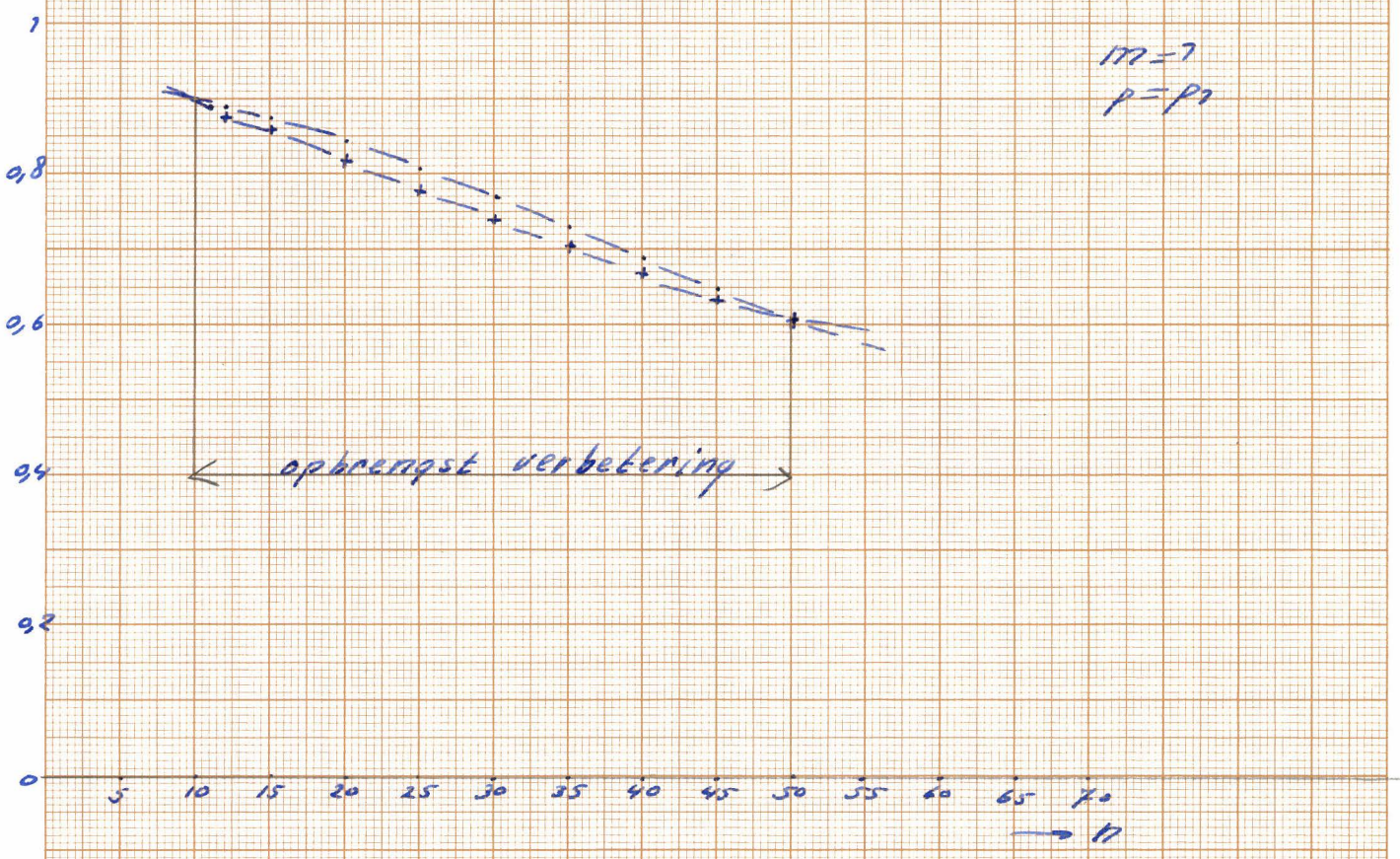
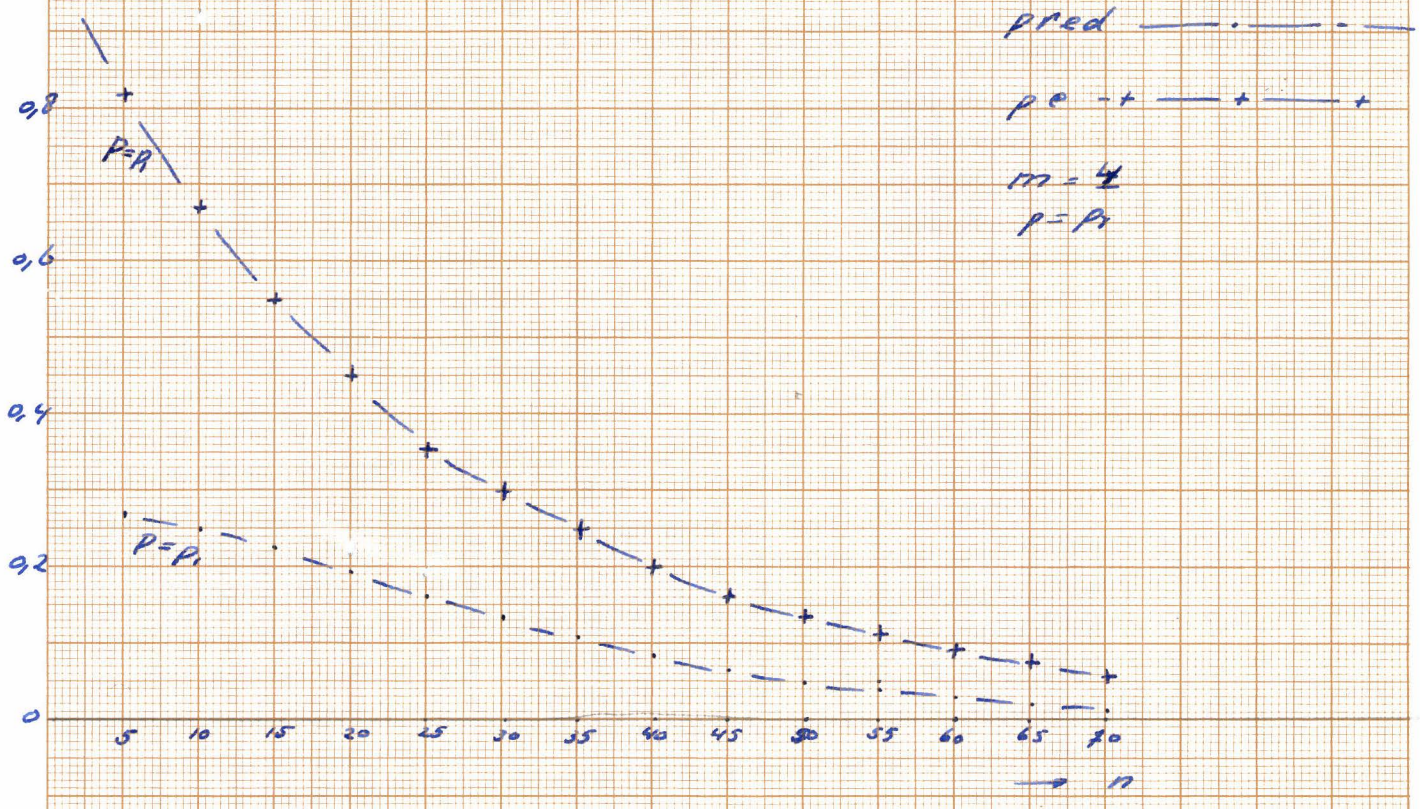
A:

end; j := j + 1; if j = 1 then goto B;

end

progend

300, 600,



Lalgol 06185479 steltenpool

begin comment berekening opbrengst verbetering van kollektor netwerk door toepassing

van hamming code;

real p, pi, pdek, pred, pc;

integer n, m, k, i, t;

i := 0;

B: t := read; p := exp(ln (0.05)/t); NEW PAGE;

PRINTTEXT(~~{p}~~); m := 0; k := 1;

A: n := 1; m := m+1;

if m > (2 \uparrow k - k - 1) then k := k+1; pi := p;

pdek := p \uparrow (2 \times m \times k + (m \uparrow 2));

C: n := n+1; pi := p \times pi; pc := pi \uparrow m;

pred := ((m+k) \times (1-pi) \times (pi \uparrow (m + k - 1)) + pi \uparrow (m+k)) \times pdek;

if (pred > pc) \vee (m = 4) \vee (m = 3) then

begin if pred > pc then

begin PRINTTEXT(~~{verbetering}~~);

NLCR; NLCR;

end;

SPACE(15); FLOT(3, 2, n); FLOT(3, 2, m);

FLOT(3, 2, k); FLOT(3, 2, pred); FLOT(3, 2, pc);

NLCR;

end;

if pi > 0.5 then goto C;

if m < 57 then goto A;

i := i+1; if i = 1 then goto B;

end

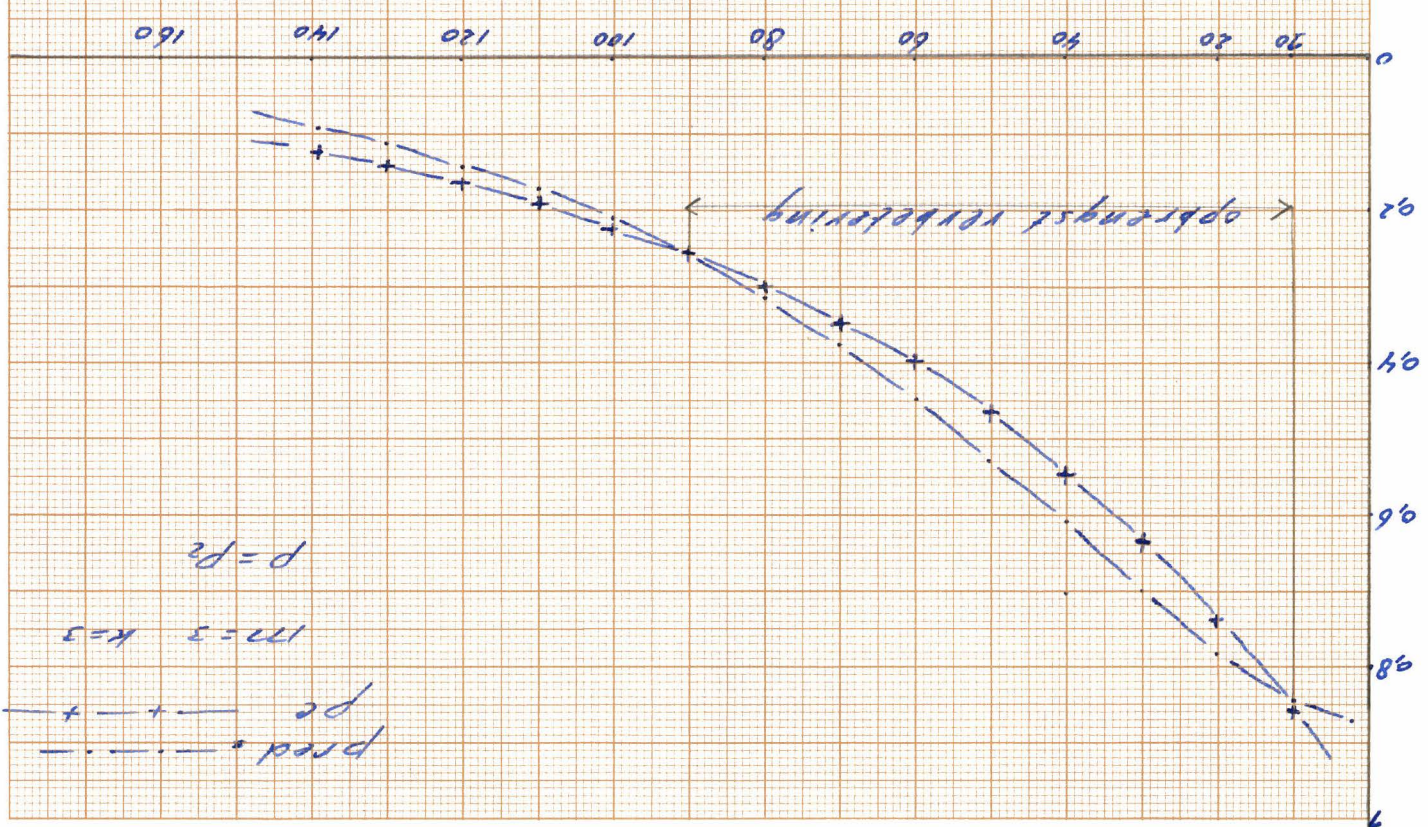
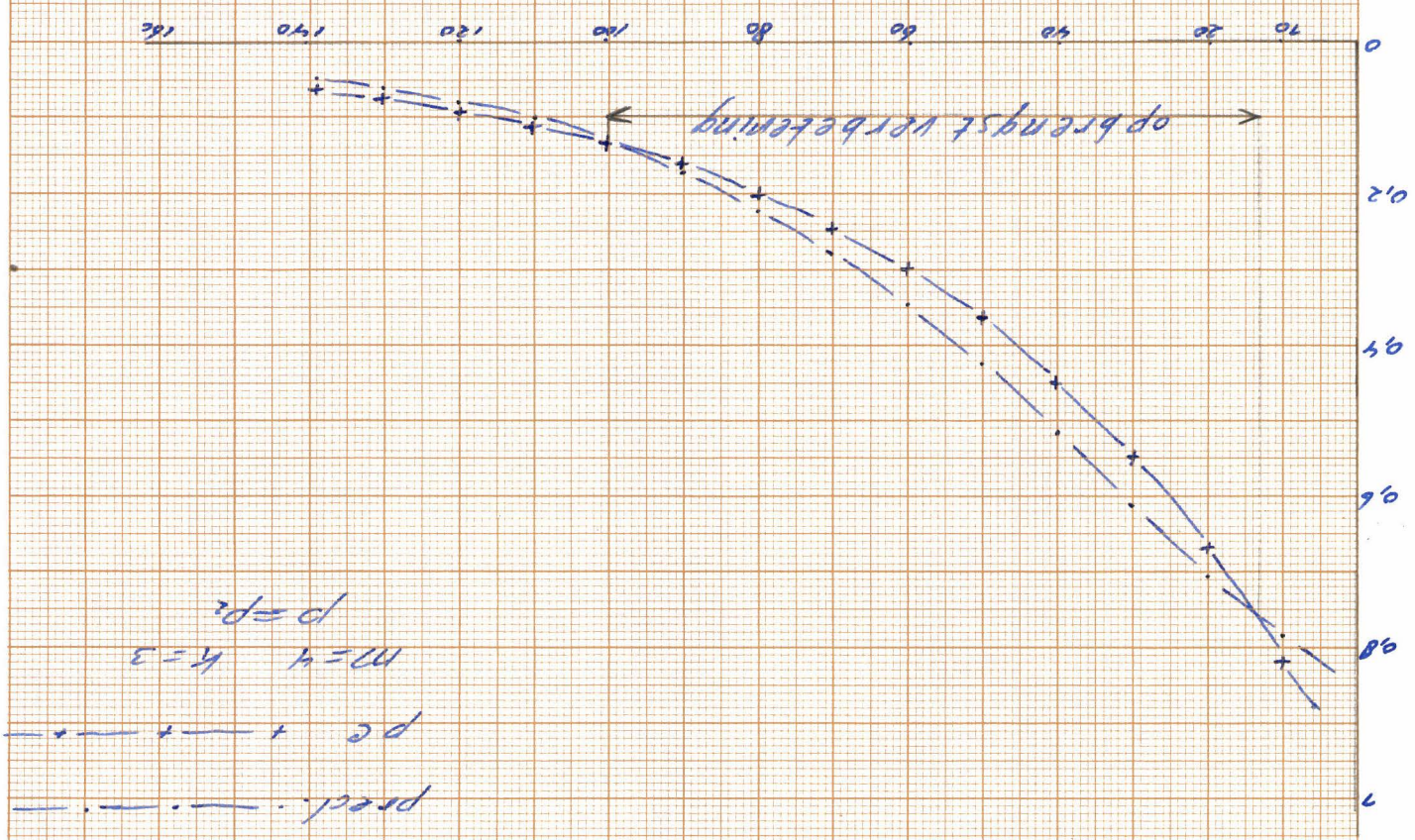
progend

Table 1. Representation of $GF(2^4)$

$a^0 = 1$		$= (1\ 0\ 0\ 0)$
$a^1 = a$		$= (0\ 1\ 0\ 0)$
$a^2 = a^2$		$= (0\ 0\ 1\ 0)$
$a^3 = a^3$		$= (0\ 0\ 0\ 1)$
$a^4 = 1 + a$		$= (1\ 1\ 0\ 0)$
$a^5 = a + a^2$		$= (0\ 1\ 1\ 0)$
$a^6 = a^2 + a^3$		$= (0\ 0\ 1\ 1)$
$a^7 = 1 + a + a^3$		$= (1\ 1\ 0\ 1)$
$a^8 = 1 + a^2$		$= (1\ 0\ 1\ 0)$
$a^9 = a + a^3$		$= (0\ 1\ 0\ 1)$
$a^{10} = 1 + a + a^2$		$= (1\ 1\ 1\ 0)$
$a^{11} = a + a^2 + a^3$		$= (0\ 1\ 1\ 1)$
$a^{12} = 1 + a + a^2 + a^3$		$= (1\ 1\ 1\ 1)$
$a^{13} = 1 + a^2 + a^3$		$= (1\ 0\ 1\ 1)$
$a^{14} = 1 + a + a^3$		$= (1\ 0\ 0\ 1)$
$a^{15} = 1 = a^0$		

primitieve polynoom $p(\alpha) = \alpha^4 + \alpha + 1$.

pred enpe als functie van r by konstante m en p₂.



Lalgol 06185479 steltenpool

begin comment berekening opbrengst verbetering van cell netwerken m.b.v. double error correcting BCH codes

n = aantal inputs cell. netwerk

m = $(2 \uparrow k) - 1$ is aantal outputs cell. netwerk;

integer k, kmax, ia1, ib1, i2, i, j, a, N, s, b, i0een, i0twee, f, i2k, v, nmax, n, t;

real pdek, p, pc, pred, pi, q;

v := 0; kmax := read;

B: t := read; nmax := read; p := $\exp(\ln(0.05)/t)$; q := 1 - p;

NEW PAGE; FLOT(5, 2, p); NLCR; NLCR; NLCR;

for k := 4 step 1 until kmax do

begin ia1 := 0; ib1 := 0; i2 := 0; for i := 2 step 1 until k do

ia1 := $(i \uparrow 2) + 2 \times i + 1 + ia1$; ib1 := $0.5 \times (i \uparrow 2) + (5/2) \times i + 2 + ib1$;

for j := 1 step 1 until k do begin a := $(2 \uparrow j)$;

if a < k then i2 := $(a \uparrow 2) + i2$ else goto A; end;

A: i2 := $i2 + (k - 2 - j) \times (k \uparrow 2)$; i2k := $2 \uparrow k$; N := $i2k - 1 - 2 \times k$;

s := $2 \times k \times N$; b := $2 \times (k \uparrow 2)$; i0een := $k \times N$; i0twee := N;

f := $N \uparrow 2$;

pdek := $p \uparrow s \times (1 - (4/5) \times q) \uparrow ia1 \times (1 - (7/5) \times q) \uparrow ib1 \times (1 - (14/5) \times q) \uparrow i2 \times (1 - (14/5) \times q) \uparrow b$

$\times (1 - (12/5) \times q) \uparrow i0een \times p \uparrow i0twee \times p \uparrow f$;

for n := 1 step 1 until nmax do

begin pi := $p \uparrow n$;

pred := $(pi \uparrow (i2k - 1) + (1 - pi) \times (i2k - 1) \times (pi \uparrow (i2k - 2)))$

$+ 0.5 \times (i2k - 2) \times (i2k - 1) \times ((1 - pi) \uparrow 2) \times (pi \uparrow (i2k - 3))) \times pdek$;

pc := $p \uparrow (n \times N)$; if pred < pc then goto C;

PRINTTEXT(~~verbetering~~); NLCR; goto E;

C: if k $\neq 5 \wedge k \neq 4$ then goto D;⊕

E: SPACE(15); FLOT(3, 2, n); FLOT(3, 2, k); FLOT(5, 2, pred);

FLOT(3, 2, pc); FLOT(5, 2, pdek); FLOT(3, 2, ia1); FLOT(3, 2, i2);NLCR;

D: end;

end; v := v + 1; if v = 1 then goto B;

end

progend

7 300 70 600 150

*

1. För att kunna använda denna metod är det viktigt att man har tillgång till en dator med en god datorprestanda. Detta är särskilt viktigt om man vill använda avancerade funktioner som till exempel att lagra data i molnet eller att använda avancerade verktyg för att analysera data.

2. Det är också viktigt att man har tillgång till en stabil internetanslutning. Detta är särskilt viktigt om man vill använda avancerade funktioner som till exempel att lagra data i molnet eller att använda avancerade verktyg för att analysera data.

3. För att kunna använda denna metod är det viktigt att man har tillgång till en dator med en god datorprestanda. Detta är särskilt viktigt om man vill använda avancerade funktioner som till exempel att lagra data i molnet eller att använda avancerade verktyg för att analysera data.

4. Det är också viktigt att man har tillgång till en stabil internetanslutning. Detta är särskilt viktigt om man vill använda avancerade funktioner som till exempel att lagra data i molnet eller att använda avancerade verktyg för att analysera data.

5. För att kunna använda denna metod är det viktigt att man har tillgång till en dator med en god datorprestanda. Detta är särskilt viktigt om man vill använda avancerade funktioner som till exempel att lagra data i molnet eller att använda avancerade verktyg för att analysera data.

6. Det är också viktigt att man har tillgång till en stabil internetanslutning. Detta är särskilt viktigt om man vill använda avancerade funktioner som till exempel att lagra data i molnet eller att använda avancerade verktyg för att analysera data.

7. För att kunna använda denna metod är det viktigt att man har tillgång till en dator med en god datorprestanda. Detta är särskilt viktigt om man vill använda avancerade funktioner som till exempel att lagra data i molnet eller att använda avancerade verktyg för att analysera data.

8. Det är också viktigt att man har tillgång till en stabil internetanslutning. Detta är särskilt viktigt om man vill använda avancerade funktioner som till exempel att lagra data i molnet eller att använda avancerade verktyg för att analysera data.

9. För att kunna använda denna metod är det viktigt att man har tillgång till en dator med en god datorprestanda. Detta är särskilt viktigt om man vill använda avancerade funktioner som till exempel att lagra data i molnet eller att använda avancerade verktyg för att analysera data.

10. Det är också viktigt att man har tillgång till en stabil internetanslutning. Detta är särskilt viktigt om man vill använda avancerade funktioner som till exempel att lagra data i molnet eller att använda avancerade verktyg för att analysera data.

$$A_1 = +.990_{10} + 0$$

	<i>n</i>	<i>m</i>	<i>pred</i>	<i>pc</i>
VERBETERING	+.120 ₁₀ + 2	+.100 ₁₀ + 1	+.891 ₁₀ + 0	+.887 ₁₀ + 0
VERBETERING	+.130 ₁₀ + 2	+.100 ₁₀ + 1	+.886 ₁₀ + 0	+.878 ₁₀ + 0
VERBETERING	+.140 ₁₀ + 2	+.100 ₁₀ + 1	+.880 ₁₀ + 0	+.870 ₁₀ + 0
VERBETERING	+.150 ₁₀ + 2	+.100 ₁₀ + 1	+.875 ₁₀ + 0	+.861 ₁₀ + 0
VERBETERING	+.160 ₁₀ + 2	+.100 ₁₀ + 1	+.869 ₁₀ + 0	+.852 ₁₀ + 0
VERBETERING	+.170 ₁₀ + 2	+.100 ₁₀ + 1	+.863 ₁₀ + 0	+.844 ₁₀ + 0
VERBETERING	+.180 ₁₀ + 2	+.100 ₁₀ + 1	+.856 ₁₀ + 0	+.835 ₁₀ + 0
VERBETERING	+.190 ₁₀ + 2	+.100 ₁₀ + 1	+.850 ₁₀ + 0	+.827 ₁₀ + 0
VERBETERING	+.200 ₁₀ + 2	+.100 ₁₀ + 1	+.843 ₁₀ + 0	+.819 ₁₀ + 0
VERBETERING	+.210 ₁₀ + 2	+.100 ₁₀ + 1	+.837 ₁₀ + 0	+.811 ₁₀ + 0
VERBETERING	+.220 ₁₀ + 2	+.100 ₁₀ + 1	+.830 ₁₀ + 0	+.803 ₁₀ + 0
VERBETERING	+.230 ₁₀ + 2	+.100 ₁₀ + 1	+.823 ₁₀ + 0	+.795 ₁₀ + 0
VERBETERING	+.240 ₁₀ + 2	+.100 ₁₀ + 1	+.815 ₁₀ + 0	+.787 ₁₀ + 0
VERBETERING	+.250 ₁₀ + 2	+.100 ₁₀ + 1	+.808 ₁₀ + 0	+.779 ₁₀ + 0
VERBETERING	+.260 ₁₀ + 2	+.100 ₁₀ + 1	+.800 ₁₀ + 0	+.771 ₁₀ + 0
VERBETERING	+.270 ₁₀ + 2	+.100 ₁₀ + 1	+.793 ₁₀ + 0	+.764 ₁₀ + 0
VERBETERING	+.280 ₁₀ + 2	+.100 ₁₀ + 1	+.785 ₁₀ + 0	+.756 ₁₀ + 0
VERBETERING	+.290 ₁₀ + 2	+.100 ₁₀ + 1	+.777 ₁₀ + 0	+.749 ₁₀ + 0
VERBETERING	+.300 ₁₀ + 2	+.100 ₁₀ + 1	+.770 ₁₀ + 0	+.741 ₁₀ + 0
VERBETERING	+.310 ₁₀ + 2	+.100 ₁₀ + 1	+.762 ₁₀ + 0	+.734 ₁₀ + 0
VERBETERING	+.320 ₁₀ + 2	+.100 ₁₀ + 1	+.754 ₁₀ + 0	+.726 ₁₀ + 0
VERBETERING	+.330 ₁₀ + 2	+.100 ₁₀ + 1	+.746 ₁₀ + 0	+.719 ₁₀ + 0
VERBETERING	+.340 ₁₀ + 2	+.100 ₁₀ + 1	+.738 ₁₀ + 0	+.712 ₁₀ + 0
VERBETERING	+.350 ₁₀ + 2	+.100 ₁₀ + 1	+.730 ₁₀ + 0	+.705 ₁₀ + 0
VERBETERING	+.360 ₁₀ + 2	+.100 ₁₀ + 1	+.722 ₁₀ + 0	+.698 ₁₀ + 0
VERBETERING	+.370 ₁₀ + 2	+.100 ₁₀ + 1	+.713 ₁₀ + 0	+.691 ₁₀ + 0
VERBETERING	+.380 ₁₀ + 2	+.100 ₁₀ + 1	+.705 ₁₀ + 0	+.684 ₁₀ + 0
VERBETERING	+.390 ₁₀ + 2	+.100 ₁₀ + 1	+.697 ₁₀ + 0	+.677 ₁₀ + 0
VERBETERING	+.400 ₁₀ + 2	+.100 ₁₀ + 1	+.689 ₁₀ + 0	+.671 ₁₀ + 0

n m p r e d p c

VERBETERING	+.410 ₁₀ + 2	+.100 ₁₀ + 1	+.681 ₁₀ + 0	+.664 ₁₀ + 0
VERBETERING	+.420 ₁₀ + 2	+.100 ₁₀ + 1	+.672 ₁₀ + 0	+.657 ₁₀ + 0
VERBETERING	+.430 ₁₀ + 2	+.100 ₁₀ + 1	+.664 ₁₀ + 0	+.651 ₁₀ + 0
VERBETERING	+.440 ₁₀ + 2	+.100 ₁₀ + 1	+.656 ₁₀ + 0	+.644 ₁₀ + 0
VERBETERING	+.450 ₁₀ + 2	+.100 ₁₀ + 1	+.648 ₁₀ + 0	+.638 ₁₀ + 0
VERBETERING	+.460 ₁₀ + 2	+.100 ₁₀ + 1	+.640 ₁₀ + 0	+.632 ₁₀ + 0
VERBETERING	+.470 ₁₀ + 2	+.100 ₁₀ + 1	+.632 ₁₀ + 0	+.625 ₁₀ + 0
VERBETERING	+.480 ₁₀ + 2	+.100 ₁₀ + 1	+.624 ₁₀ + 0	+.619 ₁₀ + 0
VERBETERING	+.490 ₁₀ + 2	+.100 ₁₀ + 1	+.616 ₁₀ + 0	+.613 ₁₀ + 0
VERBETERING	+.500 ₁₀ + 2	+.100 ₁₀ + 1	+.607 ₁₀ + 0	+.607 ₁₀ + 0
	+.100 ₁₀ + 1	+.400 ₁₀ + 1	+.278 ₁₀ + 0	+.961 ₁₀ + 0
	+.200 ₁₀ + 1	+.400 ₁₀ + 1	+.277 ₁₀ + 0	+.923 ₁₀ + 0
	+.300 ₁₀ + 1	+.400 ₁₀ + 1	+.276 ₁₀ + 0	+.887 ₁₀ + 0
	+.400 ₁₀ + 1	+.400 ₁₀ + 1	+.274 ₁₀ + 0	+.852 ₁₀ + 0
	+.500 ₁₀ + 1	+.400 ₁₀ + 1	+.271 ₁₀ + 0	+.819 ₁₀ + 0
	+.600 ₁₀ + 1	+.400 ₁₀ + 1	+.268 ₁₀ + 0	+.787 ₁₀ + 0
	+.700 ₁₀ + 1	+.400 ₁₀ + 1	+.264 ₁₀ + 0	+.756 ₁₀ + 0
	+.800 ₁₀ + 1	+.400 ₁₀ + 1	+.260 ₁₀ + 0	+.726 ₁₀ + 0
	+.900 ₁₀ + 1	+.400 ₁₀ + 1	+.256 ₁₀ + 0	+.698 ₁₀ + 0
	+.100 ₁₀ + 2	+.400 ₁₀ + 1	+.251 ₁₀ + 0	+.671 ₁₀ + 0
	+.110 ₁₀ + 2	+.400 ₁₀ + 1	+.246 ₁₀ + 0	+.644 ₁₀ + 0
	+.120 ₁₀ + 2	+.400 ₁₀ + 1	+.241 ₁₀ + 0	+.619 ₁₀ + 0
	+.130 ₁₀ + 2	+.400 ₁₀ + 1	+.236 ₁₀ + 0	+.595 ₁₀ + 0
	+.140 ₁₀ + 2	+.400 ₁₀ + 1	+.230 ₁₀ + 0	+.572 ₁₀ + 0
	+.150 ₁₀ + 2	+.400 ₁₀ + 1	+.224 ₁₀ + 0	+.549 ₁₀ + 0
	+.160 ₁₀ + 2	+.400 ₁₀ + 1	+.218 ₁₀ + 0	+.528 ₁₀ + 0
	+.170 ₁₀ + 2	+.400 ₁₀ + 1	+.212 ₁₀ + 0	+.507 ₁₀ + 0
	+.180 ₁₀ + 2	+.400 ₁₀ + 1	+.206 ₁₀ + 0	+.487 ₁₀ + 0
	+.190 ₁₀ + 2	+.400 ₁₀ + 1	+.200 ₁₀ + 0	+.468 ₁₀ + 0
	+.200 ₁₀ + 2	+.400 ₁₀ + 1	+.194 ₁₀ + 0	+.450 ₁₀ + 0
	+.210 ₁₀ + 2	+.400 ₁₀ + 1	+.188 ₁₀ + 0	+.432 ₁₀ + 0
	+.220 ₁₀ + 2	+.400 ₁₀ + 1	+.182 ₁₀ + 0	+.415 ₁₀ + 0
	+.230 ₁₀ + 2	+.400 ₁₀ + 1	+.176 ₁₀ + 0	+.399 ₁₀ + 0
	+.240 ₁₀ + 2	+.400 ₁₀ + 1	+.169 ₁₀ + 0	+.383 ₁₀ + 0
	+.250 ₁₀ + 2	+.400 ₁₀ + 1	+.163 ₁₀ + 0	+.368 ₁₀ + 0
	+.260 ₁₀ + 2	+.400 ₁₀ + 1	+.157 ₁₀ + 0	+.354 ₁₀ + 0
	+.270 ₁₀ + 2	+.400 ₁₀ + 1	+.152 ₁₀ + 0	+.340 ₁₀ + 0
	+.280 ₁₀ + 2	+.400 ₁₀ + 1	+.146 ₁₀ + 0	+.327 ₁₀ + 0
	+.290 ₁₀ + 2	+.400 ₁₀ + 1	+.140 ₁₀ + 0	+.314 ₁₀ + 0
	+.300 ₁₀ + 2	+.400 ₁₀ + 1	+.135 ₁₀ + 0	+.302 ₁₀ + 0
	+.310 ₁₀ + 2	+.400 ₁₀ + 1	+.129 ₁₀ + 0	+.290 ₁₀ + 0
	+.320 ₁₀ + 2	+.400 ₁₀ + 1	+.124 ₁₀ + 0	+.279 ₁₀ + 0
	+.330 ₁₀ + 2	+.400 ₁₀ + 1	+.119 ₁₀ + 0	+.268 ₁₀ + 0
	+.340 ₁₀ + 2	+.400 ₁₀ + 1	+.114 ₁₀ + 0	+.257 ₁₀ + 0
	+.350 ₁₀ + 2	+.400 ₁₀ + 1	+.109 ₁₀ + 0	+.247 ₁₀ + 0
	+.360 ₁₀ + 2	+.400 ₁₀ + 1	+.104 ₁₀ + 0	+.237 ₁₀ + 0
	+.370 ₁₀ + 2	+.400 ₁₀ + 1	+.993 ₁₀ - 1	+.228 ₁₀ + 0
	+.380 ₁₀ + 2	+.400 ₁₀ + 1	+.948 ₁₀ - 1	+.219 ₁₀ + 0
	+.390 ₁₀ + 2	+.400 ₁₀ + 1	+.905 ₁₀ - 1	+.211 ₁₀ + 0
	+.400 ₁₀ + 2	+.400 ₁₀ + 1	+.863 ₁₀ - 1	+.202 ₁₀ + 0

XXXXXXXXXXXXXXXXXX

368 - 0 - 260472 - 06185479 STELTENPOO

```
1 BEGIN COMMENT BEREKENING PRED EN PC VAN KOLLEKTOR NETWERK DOOR TOEPASSING VAN VOTERNETWERK,
2   N IS AANTAL INPUTS
3   M IS AANTAL OUTPUTS;
4   INTEGER N, T, N, J,
5   REAL P, P2M, P8M2, PM, P2MN, PN, PC, PRED; J := 0;
6 B:  T := READ; P := EXP(LN(0.05)/T); FLOT(3, 2, P); NLCR; NLCR;
7   FOR M := 1 STEP 1 UNTILL 10 DO
8     BEGIN P2M := P ↑ (2 * M); P8M2 := P ↑ (8 * (M ↑ 2));
9       PM := P ↑ M; P2MN := 1; PN := 1; PC := 1;
10      FOR N := 1 STEP 1 UNTILL 600 DO
11        BEGIN PN := PN * P;
12          IF PN < 0.5 THEN GOTO A;
13          P2MN := P2MN * P2M; PC := PC * PM;
14          PRED := P2MN * ((3 - 2 * PN) ↑ M) * P8M2;
15          IF PRED < PC THEN GOTO C;
16          PRINTTEXT(↑VERBETERING↑); NLCR; GOTO E;
17 C:  IF M ≠ 4 THEN GOTO D;
18 E:  SPACE(15); FLOT(3, 2, N); FLOT(3, 2, M);
19      FLOT(3, 2, PRED); FLOT(3, 2, PC); NLCR;
20 D:
21      END;
22 A:
23   END; J := J + 1; IF J = 1 THEN GOTO B;
24 END
25 BROGEND
```

	<i>n</i>	<i>m</i>	<i>pred</i>	<i>pc</i>
	+.410 ₁₀ + 2	+.400 ₁₀ + 1	+.823 ₁₀ - 1	+.194 ₁₀ + 0
	+.420 ₁₀ + 2	+.400 ₁₀ + 1	+.784 ₁₀ - 1	+.187 ₁₀ + 0
	+.430 ₁₀ + 2	+.400 ₁₀ + 1	+.746 ₁₀ - 1	+.180 ₁₀ + 0
	+.440 ₁₀ + 2	+.400 ₁₀ + 1	+.710 ₁₀ - 1	+.172 ₁₀ + 0
	+.450 ₁₀ + 2	+.400 ₁₀ + 1	+.676 ₁₀ - 1	+.166 ₁₀ + 0
	+.460 ₁₀ + 2	+.400 ₁₀ + 1	+.642 ₁₀ - 1	+.159 ₁₀ + 0
	+.470 ₁₀ + 2	+.400 ₁₀ + 1	+.610 ₁₀ - 1	+.153 ₁₀ + 0
	+.480 ₁₀ + 2	+.400 ₁₀ + 1	+.580 ₁₀ - 1	+.147 ₁₀ + 0
	+.490 ₁₀ + 2	+.400 ₁₀ + 1	+.550 ₁₀ - 1	+.141 ₁₀ + 0
	+.500 ₁₀ + 2	+.400 ₁₀ + 1	+.522 ₁₀ - 1	+.136 ₁₀ + 0
	+.510 ₁₀ + 2	+.400 ₁₀ + 1	+.495 ₁₀ - 1	+.130 ₁₀ + 0
	+.520 ₁₀ + 2	+.400 ₁₀ + 1	+.469 ₁₀ - 1	+.125 ₁₀ + 0
	+.530 ₁₀ + 2	+.400 ₁₀ + 1	+.445 ₁₀ - 1	+.120 ₁₀ + 0
	+.540 ₁₀ + 2	+.400 ₁₀ + 1	+.421 ₁₀ - 1	+.116 ₁₀ + 0
	+.550 ₁₀ + 2	+.400 ₁₀ + 1	+.399 ₁₀ - 1	+.111 ₁₀ + 0
	+.560 ₁₀ + 2	+.400 ₁₀ + 1	+.378 ₁₀ - 1	+.107 ₁₀ + 0
	+.570 ₁₀ + 2	+.400 ₁₀ + 1	+.357 ₁₀ - 1	+.103 ₁₀ + 0
	+.580 ₁₀ + 2	+.400 ₁₀ + 1	+.338 ₁₀ - 1	+.986 ₁₀ - 1
	+.590 ₁₀ + 2	+.400 ₁₀ + 1	+.319 ₁₀ - 1	+.947 ₁₀ - 1
	+.600 ₁₀ + 2	+.400 ₁₀ + 1	+.302 ₁₀ - 1	+.910 ₁₀ - 1
	+.610 ₁₀ + 2	+.400 ₁₀ + 1	+.285 ₁₀ - 1	+.875 ₁₀ - 1
	+.620 ₁₀ + 2	+.400 ₁₀ + 1	+.269 ₁₀ - 1	+.840 ₁₀ - 1
	+.630 ₁₀ + 2	+.400 ₁₀ + 1	+.254 ₁₀ - 1	+.807 ₁₀ - 1
	+.640 ₁₀ + 2	+.400 ₁₀ + 1	+.240 ₁₀ - 1	+.776 ₁₀ - 1
	+.650 ₁₀ + 2	+.400 ₁₀ + 1	+.226 ₁₀ - 1	+.745 ₁₀ - 1
	+.660 ₁₀ + 2	+.400 ₁₀ + 1	+.213 ₁₀ - 1	+.716 ₁₀ - 1
	+.670 ₁₀ + 2	+.400 ₁₀ + 1	+.201 ₁₀ - 1	+.688 ₁₀ - 1
	+.680 ₁₀ + 2	+.400 ₁₀ + 1	+.189 ₁₀ - 1	+.661 ₁₀ - 1
	+.690 ₁₀ + 2	+.400 ₁₀ + 1	+.178 ₁₀ - 1	+.635 ₁₀ - 1

Pr = +.995₁₀+ 0

	<i>n</i>	<i>m</i>	<i>pred</i>	<i>pc</i>
VERBETERING	+.100 ₁₀ + 2	+.100 ₁₀ + 1	+.954 ₁₀ + 0	+.951 ₁₀ + 0
VERBETERING	+.110 ₁₀ + 2	+.100 ₁₀ + 1	+.953 ₁₀ + 0	+.947 ₁₀ + 0
VERBETERING	+.120 ₁₀ + 2	+.100 ₁₀ + 1	+.951 ₁₀ + 0	+.942 ₁₀ + 0
VERBETERING	+.130 ₁₀ + 2	+.100 ₁₀ + 1	+.950 ₁₀ + 0	+.937 ₁₀ + 0
VERBETERING	+.140 ₁₀ + 2	+.100 ₁₀ + 1	+.948 ₁₀ + 0	+.932 ₁₀ + 0
VERBETERING	+.150 ₁₀ + 2	+.100 ₁₀ + 1	+.947 ₁₀ + 0	+.928 ₁₀ + 0
VERBETERING	+.160 ₁₀ + 2	+.100 ₁₀ + 1	+.945 ₁₀ + 0	+.923 ₁₀ + 0
VERBETERING	+.170 ₁₀ + 2	+.100 ₁₀ + 1	+.943 ₁₀ + 0	+.919 ₁₀ + 0
VERBETERING	+.180 ₁₀ + 2	+.100 ₁₀ + 1	+.941 ₁₀ + 0	+.914 ₁₀ + 0
VERBETERING	+.190 ₁₀ + 2	+.100 ₁₀ + 1	+.939 ₁₀ + 0	+.909 ₁₀ + 0
VERBETERING	+.200 ₁₀ + 2	+.100 ₁₀ + 1	+.936 ₁₀ + 0	+.905 ₁₀ + 0
VERBETERING	+.210 ₁₀ + 2	+.100 ₁₀ + 1	+.934 ₁₀ + 0	+.900 ₁₀ + 0
VERBETERING	+.220 ₁₀ + 2	+.100 ₁₀ + 1	+.932 ₁₀ + 0	+.896 ₁₀ + 0
VERBETERING	+.230 ₁₀ + 2	+.100 ₁₀ + 1	+.929 ₁₀ + 0	+.892 ₁₀ + 0

	<i>n</i>	<i>m</i>	<i>pred</i>	<i>pc</i>
VERBETERING	+ .240 ₁₀ + 2	+ .100 ₁₀ + 1	+ .927 ₁₀ + 0	+ .887 ₁₀ + 0
VERBETERING	+ .250 ₁₀ + 2	+ .100 ₁₀ + 1	+ .924 ₁₀ + 0	+ .883 ₁₀ + 0
VERBETERING	+ .260 ₁₀ + 2	+ .100 ₁₀ + 1	+ .922 ₁₀ + 0	+ .878 ₁₀ + 0
VERBETERING	+ .270 ₁₀ + 2	+ .100 ₁₀ + 1	+ .919 ₁₀ + 0	+ .874 ₁₀ + 0
VERBETERING	+ .280 ₁₀ + 2	+ .100 ₁₀ + 1	+ .916 ₁₀ + 0	+ .870 ₁₀ + 0
VERBETERING	+ .290 ₁₀ + 2	+ .100 ₁₀ + 1	+ .913 ₁₀ + 0	+ .865 ₁₀ + 0
VERBETERING	+ .300 ₁₀ + 2	+ .100 ₁₀ + 1	+ .910 ₁₀ + 0	+ .861 ₁₀ + 0
VERBETERING	+ .310 ₁₀ + 2	+ .100 ₁₀ + 1	+ .907 ₁₀ + 0	+ .857 ₁₀ + 0
VERBETERING	+ .320 ₁₀ + 2	+ .100 ₁₀ + 1	+ .904 ₁₀ + 0	+ .852 ₁₀ + 0
VERBETERING	+ .330 ₁₀ + 2	+ .100 ₁₀ + 1	+ .901 ₁₀ + 0	+ .848 ₁₀ + 0
VERBETERING	+ .340 ₁₀ + 2	+ .100 ₁₀ + 1	+ .898 ₁₀ + 0	+ .844 ₁₀ + 0
VERBETERING	+ .350 ₁₀ + 2	+ .100 ₁₀ + 1	+ .895 ₁₀ + 0	+ .840 ₁₀ + 0
VERBETERING	+ .360 ₁₀ + 2	+ .100 ₁₀ + 1	+ .891 ₁₀ + 0	+ .835 ₁₀ + 0
VERBETERING	+ .370 ₁₀ + 2	+ .100 ₁₀ + 1	+ .888 ₁₀ + 0	+ .831 ₁₀ + 0
VERBETERING	+ .380 ₁₀ + 2	+ .100 ₁₀ + 1	+ .885 ₁₀ + 0	+ .827 ₁₀ + 0
VERBETERING	+ .390 ₁₀ + 2	+ .100 ₁₀ + 1	+ .881 ₁₀ + 0	+ .823 ₁₀ + 0
VERBETERING	+ .400 ₁₀ + 2	+ .100 ₁₀ + 1	+ .878 ₁₀ + 0	+ .819 ₁₀ + 0
VERBETERING	+ .410 ₁₀ + 2	+ .100 ₁₀ + 1	+ .874 ₁₀ + 0	+ .815 ₁₀ + 0
VERBETERING	+ .420 ₁₀ + 2	+ .100 ₁₀ + 1	+ .871 ₁₀ + 0	+ .811 ₁₀ + 0
VERBETERING	+ .430 ₁₀ + 2	+ .100 ₁₀ + 1	+ .867 ₁₀ + 0	+ .807 ₁₀ + 0
VERBETERING	+ .440 ₁₀ + 2	+ .100 ₁₀ + 1	+ .863 ₁₀ + 0	+ .803 ₁₀ + 0
VERBETERING	+ .450 ₁₀ + 2	+ .100 ₁₀ + 1	+ .860 ₁₀ + 0	+ .799 ₁₀ + 0
VERBETERING	+ .460 ₁₀ + 2	+ .100 ₁₀ + 1	+ .856 ₁₀ + 0	+ .795 ₁₀ + 0
VERBETERING	+ .470 ₁₀ + 2	+ .100 ₁₀ + 1	+ .852 ₁₀ + 0	+ .791 ₁₀ + 0
VERBETERING	+ .480 ₁₀ + 2	+ .100 ₁₀ + 1	+ .849 ₁₀ + 0	+ .787 ₁₀ + 0
VERBETERING	+ .490 ₁₀ + 2	+ .100 ₁₀ + 1	+ .845 ₁₀ + 0	+ .783 ₁₀ + 0
VERBETERING	+ .500 ₁₀ + 2	+ .100 ₁₀ + 1	+ .841 ₁₀ + 0	+ .779 ₁₀ + 0
VERBETERING	+ .510 ₁₀ + 2	+ .100 ₁₀ + 1	+ .837 ₁₀ + 0	+ .775 ₁₀ + 0
VERBETERING	+ .520 ₁₀ + 2	+ .100 ₁₀ + 1	+ .833 ₁₀ + 0	+ .771 ₁₀ + 0
VERBETERING	+ .530 ₁₀ + 2	+ .100 ₁₀ + 1	+ .829 ₁₀ + 0	+ .767 ₁₀ + 0

n m prod pc

VERBETERING	+ .540 ₁₀ +	2	+ .100 ₁₀ +	1	+ .825 ₁₀ +	0	+ .764 ₁₀ +	0
VERBETERING	+ .550 ₁₀ +	2	+ .100 ₁₀ +	1	+ .821 ₁₀ +	0	+ .760 ₁₀ +	0
VERBETERING	+ .560 ₁₀ +	2	+ .100 ₁₀ +	1	+ .817 ₁₀ +	0	+ .756 ₁₀ +	0
VERBETERING	+ .570 ₁₀ +	2	+ .100 ₁₀ +	1	+ .813 ₁₀ +	0	+ .752 ₁₀ +	0
VERBETERING	+ .580 ₁₀ +	2	+ .100 ₁₀ +	1	+ .809 ₁₀ +	0	+ .749 ₁₀ +	0
VERBETERING	+ .590 ₁₀ +	2	+ .100 ₁₀ +	1	+ .805 ₁₀ +	0	+ .745 ₁₀ +	0
VERBETERING	+ .600 ₁₀ +	2	+ .100 ₁₀ +	1	+ .801 ₁₀ +	0	+ .741 ₁₀ +	0
VERBETERING	+ .610 ₁₀ +	2	+ .100 ₁₀ +	1	+ .797 ₁₀ +	0	+ .737 ₁₀ +	0
VERBETERING	+ .620 ₁₀ +	2	+ .100 ₁₀ +	1	+ .793 ₁₀ +	0	+ .734 ₁₀ +	0
VERBETERING	+ .630 ₁₀ +	2	+ .100 ₁₀ +	1	+ .789 ₁₀ +	0	+ .730 ₁₀ +	0
VERBETERING	+ .640 ₁₀ +	2	+ .100 ₁₀ +	1	+ .785 ₁₀ +	0	+ .726 ₁₀ +	0
VERBETERING	+ .650 ₁₀ +	2	+ .100 ₁₀ +	1	+ .780 ₁₀ +	0	+ .723 ₁₀ +	0
VERBETERING	+ .660 ₁₀ +	2	+ .100 ₁₀ +	1	+ .776 ₁₀ +	0	+ .719 ₁₀ +	0
VERBETERING	+ .670 ₁₀ +	2	+ .100 ₁₀ +	1	+ .772 ₁₀ +	0	+ .716 ₁₀ +	0
VERBETERING	+ .680 ₁₀ +	2	+ .100 ₁₀ +	1	+ .768 ₁₀ +	0	+ .712 ₁₀ +	0
VERBETERING	+ .690 ₁₀ +	2	+ .100 ₁₀ +	1	+ .764 ₁₀ +	0	+ .709 ₁₀ +	0
VERBETERING	+ .700 ₁₀ +	2	+ .100 ₁₀ +	1	+ .759 ₁₀ +	0	+ .705 ₁₀ +	0
VERBETERING	+ .710 ₁₀ +	2	+ .100 ₁₀ +	1	+ .755 ₁₀ +	0	+ .702 ₁₀ +	0
VERBETERING	+ .720 ₁₀ +	2	+ .100 ₁₀ +	1	+ .751 ₁₀ +	0	+ .698 ₁₀ +	0
VERBETERING	+ .730 ₁₀ +	2	+ .100 ₁₀ +	1	+ .747 ₁₀ +	0	+ .695 ₁₀ +	0
VERBETERING	+ .740 ₁₀ +	2	+ .100 ₁₀ +	1	+ .742 ₁₀ +	0	+ .691 ₁₀ +	0
VERBETERING	+ .750 ₁₀ +	2	+ .100 ₁₀ +	1	+ .738 ₁₀ +	0	+ .688 ₁₀ +	0
VERBETERING	+ .760 ₁₀ +	2	+ .100 ₁₀ +	1	+ .734 ₁₀ +	0	+ .684 ₁₀ +	0
VERBETERING	+ .770 ₁₀ +	2	+ .100 ₁₀ +	1	+ .730 ₁₀ +	0	+ .681 ₁₀ +	0
VERBETERING	+ .780 ₁₀ +	2	+ .100 ₁₀ +	1	+ .725 ₁₀ +	0	+ .677 ₁₀ +	0
VERBETERING	+ .790 ₁₀ +	2	+ .100 ₁₀ +	1	+ .721 ₁₀ +	0	+ .674 ₁₀ +	0
VERBETERING	+ .800 ₁₀ +	2	+ .100 ₁₀ +	1	+ .717 ₁₀ +	0	+ .671 ₁₀ +	0
VERBETERING	+ .810 ₁₀ +	2	+ .100 ₁₀ +	1	+ .713 ₁₀ +	0	+ .667 ₁₀ +	0
VERBETERING	+ .820 ₁₀ +	2	+ .100 ₁₀ +	1	+ .708 ₁₀ +	0	+ .664 ₁₀ +	0
VERBETERING	+ .830 ₁₀ +	2	+ .100 ₁₀ +	1	+ .704 ₁₀ +	0	+ .661 ₁₀ +	0

368 = 6 - 260472 - 06185479 STELTENPOO

n *m* *pred* *pc*

	+ .840 ₁₀ +	2	+ .100 ₁₀ +	1	+ .700 ₁₀ +	0	+ .657 ₁₀ +	0
VERBETERING	+ .850 ₁₀ +	2	+ .100 ₁₀ +	1	+ .696 ₁₀ +	0	+ .654 ₁₀ +	0
VERBETERING	+ .860 ₁₀ +	2	+ .100 ₁₀ +	1	+ .691 ₁₀ +	0	+ .651 ₁₀ +	0
VERBETERING	+ .870 ₁₀ +	2	+ .100 ₁₀ +	1	+ .687 ₁₀ +	0	+ .648 ₁₀ +	0
VERBETERING	+ .880 ₁₀ +	2	+ .100 ₁₀ +	1	+ .683 ₁₀ +	0	+ .644 ₁₀ +	0
VERBETERING	+ .890 ₁₀ +	2	+ .100 ₁₀ +	1	+ .679 ₁₀ +	0	+ .641 ₁₀ +	0
VERBETERING	+ .900 ₁₀ +	2	+ .100 ₁₀ +	1	+ .674 ₁₀ +	0	+ .638 ₁₀ +	0
VERBETERING	+ .910 ₁₀ +	2	+ .100 ₁₀ +	1	+ .670 ₁₀ +	0	+ .635 ₁₀ +	0
VERBETERING	+ .920 ₁₀ +	2	+ .100 ₁₀ +	1	+ .666 ₁₀ +	0	+ .632 ₁₀ +	0
VERBETERING	+ .930 ₁₀ +	2	+ .100 ₁₀ +	1	+ .662 ₁₀ +	0	+ .629 ₁₀ +	0
VERBETERING	+ .940 ₁₀ +	2	+ .100 ₁₀ +	1	+ .657 ₁₀ +	0	+ .625 ₁₀ +	0
VERBETERING	+ .950 ₁₀ +	2	+ .100 ₁₀ +	1	+ .653 ₁₀ +	0	+ .622 ₁₀ +	0
VERBETERING	+ .960 ₁₀ +	2	+ .100 ₁₀ +	1	+ .649 ₁₀ +	0	+ .619 ₁₀ +	0
VERBETERING	+ .970 ₁₀ +	2	+ .100 ₁₀ +	1	+ .645 ₁₀ +	0	+ .616 ₁₀ +	0
VERBETERING	+ .980 ₁₀ +	2	+ .100 ₁₀ +	1	+ .641 ₁₀ +	0	+ .613 ₁₀ +	0
VERBETERING	+ .990 ₁₀ +	2	+ .100 ₁₀ +	1	+ .636 ₁₀ +	0	+ .610 ₁₀ +	0
VERBETERING	+ .100 ₁₀ +	3	+ .100 ₁₀ +	1	+ .632 ₁₀ +	0	+ .607 ₁₀ +	0
VERBETERING	+ .101 ₁₀ +	3	+ .100 ₁₀ +	1	+ .628 ₁₀ +	0	+ .604 ₁₀ +	0
VERBETERING	+ .102 ₁₀ +	3	+ .100 ₁₀ +	1	+ .624 ₁₀ +	0	+ .601 ₁₀ +	0
VERBETERING	+ .103 ₁₀ +	3	+ .100 ₁₀ +	1	+ .620 ₁₀ +	0	+ .598 ₁₀ +	0
VERBETERING	+ .104 ₁₀ +	3	+ .100 ₁₀ +	1	+ .616 ₁₀ +	0	+ .595 ₁₀ +	0
VERBETERING	+ .105 ₁₀ +	3	+ .100 ₁₀ +	1	+ .612 ₁₀ +	0	+ .592 ₁₀ +	0
VERBETERING	+ .106 ₁₀ +	3	+ .100 ₁₀ +	1	+ .607 ₁₀ +	0	+ .589 ₁₀ +	0
VERBETERING	+ .107 ₁₀ +	3	+ .100 ₁₀ +	1	+ .603 ₁₀ +	0	+ .586 ₁₀ +	0
VERBETERING	+ .108 ₁₀ +	3	+ .100 ₁₀ +	1	+ .599 ₁₀ +	0	+ .583 ₁₀ +	0
VERBETERING	+ .109 ₁₀ +	3	+ .100 ₁₀ +	1	+ .595 ₁₀ +	0	+ .580 ₁₀ +	0
VERBETERING	+ .110 ₁₀ +	3	+ .100 ₁₀ +	1	+ .591 ₁₀ +	0	+ .577 ₁₀ +	0
VERBETERING	+ .111 ₁₀ +	3	+ .100 ₁₀ +	1	+ .587 ₁₀ +	0	+ .575 ₁₀ +	0
VERBETERING	+ .112 ₁₀ +	3	+ .100 ₁₀ +	1	+ .583 ₁₀ +	0	+ .572 ₁₀ +	0
VERBETERING	+ .113 ₁₀ +	3	+ .100 ₁₀ +	1	+ .579 ₁₀ +	0	+ .569 ₁₀ +	0

VERBETERING	+.114 ₁₀ + 3	+.100 ₁₀ + 1	+.575 ₁₀ + 0	+.566 ₁₀ + 0
VERBETERING	+.115 ₁₀ + 3	+.100 ₁₀ + 1	+.571 ₁₀ + 0	+.563 ₁₀ + 0
VERBETERING	+.116 ₁₀ + 3	+.100 ₁₀ + 1	+.567 ₁₀ + 0	+.560 ₁₀ + 0
VERBETERING	+.117 ₁₀ + 3	+.100 ₁₀ + 1	+.563 ₁₀ + 0	+.558 ₁₀ + 0
VERBETERING	+.118 ₁₀ + 3	+.100 ₁₀ + 1	+.559 ₁₀ + 0	+.555 ₁₀ + 0
VERBETERING	+.119 ₁₀ + 3	+.100 ₁₀ + 1	+.555 ₁₀ + 0	+.552 ₁₀ + 0
VERBETERING	+.120 ₁₀ + 3	+.100 ₁₀ + 1	+.551 ₁₀ + 0	+.549 ₁₀ + 0
VERBETERING	+.121 ₁₀ + 3	+.100 ₁₀ + 1	+.547 ₁₀ + 0	+.547 ₁₀ + 0
VERBETERING	+.230 ₁₀ + 2	+.200 ₁₀ + 1	+.797 ₁₀ + 0	+.795 ₁₀ + 0
VERBETERING	+.240 ₁₀ + 2	+.200 ₁₀ + 1	+.793 ₁₀ + 0	+.787 ₁₀ + 0
VERBETERING	+.250 ₁₀ + 2	+.200 ₁₀ + 1	+.789 ₁₀ + 0	+.779 ₁₀ + 0
VERBETERING	+.260 ₁₀ + 2	+.200 ₁₀ + 1	+.784 ₁₀ + 0	+.771 ₁₀ + 0
VERBETERING	+.270 ₁₀ + 2	+.200 ₁₀ + 1	+.779 ₁₀ + 0	+.764 ₁₀ + 0
VERBETERING	+.280 ₁₀ + 2	+.200 ₁₀ + 1	+.775 ₁₀ + 0	+.756 ₁₀ + 0
VERBETERING	+.290 ₁₀ + 2	+.200 ₁₀ + 1	+.770 ₁₀ + 0	+.749 ₁₀ + 0
VERBETERING	+.300 ₁₀ + 2	+.200 ₁₀ + 1	+.765 ₁₀ + 0	+.741 ₁₀ + 0
VERBETERING	+.310 ₁₀ + 2	+.200 ₁₀ + 1	+.760 ₁₀ + 0	+.734 ₁₀ + 0
VERBETERING	+.320 ₁₀ + 2	+.200 ₁₀ + 1	+.755 ₁₀ + 0	+.726 ₁₀ + 0
VERBETERING	+.330 ₁₀ + 2	+.200 ₁₀ + 1	+.750 ₁₀ + 0	+.719 ₁₀ + 0
VERBETERING	+.340 ₁₀ + 2	+.200 ₁₀ + 1	+.744 ₁₀ + 0	+.712 ₁₀ + 0
VERBETERING	+.350 ₁₀ + 2	+.200 ₁₀ + 1	+.739 ₁₀ + 0	+.705 ₁₀ + 0
VERBETERING	+.360 ₁₀ + 2	+.200 ₁₀ + 1	+.734 ₁₀ + 0	+.698 ₁₀ + 0
VERBETERING	+.370 ₁₀ + 2	+.200 ₁₀ + 1	+.728 ₁₀ + 0	+.691 ₁₀ + 0
VERBETERING	+.380 ₁₀ + 2	+.200 ₁₀ + 1	+.723 ₁₀ + 0	+.684 ₁₀ + 0
VERBETERING	+.390 ₁₀ + 2	+.200 ₁₀ + 1	+.717 ₁₀ + 0	+.677 ₁₀ + 0
VERBETERING	+.400 ₁₀ + 2	+.200 ₁₀ + 1	+.711 ₁₀ + 0	+.671 ₁₀ + 0
VERBETERING	+.410 ₁₀ + 2	+.200 ₁₀ + 1	+.706 ₁₀ + 0	+.664 ₁₀ + 0
VERBETERING	+.420 ₁₀ + 2	+.200 ₁₀ + 1	+.700 ₁₀ + 0	+.657 ₁₀ + 0
VERBETERING	+.430 ₁₀ + 2	+.200 ₁₀ + 1	+.694 ₁₀ + 0	+.651 ₁₀ + 0
VERBETERING	+.440 ₁₀ + 2	+.200 ₁₀ + 1	+.688 ₁₀ + 0	+.644 ₁₀ + 0

	<i>n</i>	<i>m</i>	<i>pred</i>	<i>pe</i>
VERBETERING	+ .750 ₁₀ + 2	+ .200 ₁₀ + 1	+ .503 ₁₀ + 0	+ .473 ₁₀ + 0
VERBETERING	+ .760 ₁₀ + 2	+ .200 ₁₀ + 1	+ .497 ₁₀ + 0	+ .468 ₁₀ + 0
VERBETERING	+ .770 ₁₀ + 2	+ .200 ₁₀ + 1	+ .492 ₁₀ + 0	+ .464 ₁₀ + 0
VERBETERING	+ .780 ₁₀ + 2	+ .200 ₁₀ + 1	+ .486 ₁₀ + 0	+ .459 ₁₀ + 0
VERBETERING	+ .790 ₁₀ + 2	+ .200 ₁₀ + 1	+ .480 ₁₀ + 0	+ .454 ₁₀ + 0
VERBETERING	+ .800 ₁₀ + 2	+ .200 ₁₀ + 1	+ .474 ₁₀ + 0	+ .450 ₁₀ + 0
VERBETERING	+ .810 ₁₀ + 2	+ .200 ₁₀ + 1	+ .469 ₁₀ + 0	+ .445 ₁₀ + 0
VERBETERING	+ .820 ₁₀ + 2	+ .200 ₁₀ + 1	+ .463 ₁₀ + 0	+ .441 ₁₀ + 0
VERBETERING	+ .830 ₁₀ + 2	+ .200 ₁₀ + 1	+ .458 ₁₀ + 0	+ .437 ₁₀ + 0
VERBETERING	+ .840 ₁₀ + 2	+ .200 ₁₀ + 1	+ .452 ₁₀ + 0	+ .432 ₁₀ + 0
VERBETERING	+ .850 ₁₀ + 2	+ .200 ₁₀ + 1	+ .447 ₁₀ + 0	+ .428 ₁₀ + 0
VERBETERING	+ .860 ₁₀ + 2	+ .200 ₁₀ + 1	+ .441 ₁₀ + 0	+ .424 ₁₀ + 0
VERBETERING	+ .870 ₁₀ + 2	+ .200 ₁₀ + 1	+ .436 ₁₀ + 0	+ .419 ₁₀ + 0
VERBETERING	+ .880 ₁₀ + 2	+ .200 ₁₀ + 1	+ .430 ₁₀ + 0	+ .415 ₁₀ + 0
VERBETERING	+ .890 ₁₀ + 2	+ .200 ₁₀ + 1	+ .425 ₁₀ + 0	+ .411 ₁₀ + 0
VERBETERING	+ .900 ₁₀ + 2	+ .200 ₁₀ + 1	+ .420 ₁₀ + 0	+ .407 ₁₀ + 0
VERBETERING	+ .910 ₁₀ + 2	+ .200 ₁₀ + 1	+ .415 ₁₀ + 0	+ .403 ₁₀ + 0
VERBETERING	+ .920 ₁₀ + 2	+ .200 ₁₀ + 1	+ .409 ₁₀ + 0	+ .399 ₁₀ + 0
VERBETERING	+ .930 ₁₀ + 2	+ .200 ₁₀ + 1	+ .404 ₁₀ + 0	+ .395 ₁₀ + 0
VERBETERING	+ .940 ₁₀ + 2	+ .200 ₁₀ + 1	+ .399 ₁₀ + 0	+ .391 ₁₀ + 0
VERBETERING	+ .950 ₁₀ + 2	+ .200 ₁₀ + 1	+ .394 ₁₀ + 0	+ .387 ₁₀ + 0
VERBETERING	+ .960 ₁₀ + 2	+ .200 ₁₀ + 1	+ .389 ₁₀ + 0	+ .383 ₁₀ + 0
VERBETERING	+ .970 ₁₀ + 2	+ .200 ₁₀ + 1	+ .384 ₁₀ + 0	+ .380 ₁₀ + 0
VERBETERING	+ .980 ₁₀ + 2	+ .200 ₁₀ + 1	+ .379 ₁₀ + 0	+ .376 ₁₀ + 0
VERBETERING	+ .990 ₁₀ + 2	+ .200 ₁₀ + 1	+ .374 ₁₀ + 0	+ .372 ₁₀ + 0
VERBETERING	+ .100 ₁₀ + 3	+ .200 ₁₀ + 1	+ .369 ₁₀ + 0	+ .368 ₁₀ + 0
	+ .100 ₁₀ + 1	+ .400 ₁₀ + 1	+ .528 ₁₀ + 0	+ .980 ₁₀ + 0
	+ .200 ₁₀ + 1	+ .400 ₁₀ + 1	+ .527 ₁₀ + 0	+ .961 ₁₀ + 0
	+ .300 ₁₀ + 1	+ .400 ₁₀ + 1	+ .526 ₁₀ + 0	+ .942 ₁₀ + 0
	+ .400 ₁₀ + 1	+ .400 ₁₀ + 1	+ .525 ₁₀ + 0	+ .923 ₁₀ + 0
	+ .500 ₁₀ + 1	+ .400 ₁₀ + 1	+ .524 ₁₀ + 0	+ .905 ₁₀ + 0
	+ .600 ₁₀ + 1	+ .400 ₁₀ + 1	+ .522 ₁₀ + 0	+ .887 ₁₀ + 0
	+ .700 ₁₀ + 1	+ .400 ₁₀ + 1	+ .521 ₁₀ + 0	+ .870 ₁₀ + 0
	+ .800 ₁₀ + 1	+ .400 ₁₀ + 1	+ .518 ₁₀ + 0	+ .852 ₁₀ + 0
	+ .900 ₁₀ + 1	+ .400 ₁₀ + 1	+ .516 ₁₀ + 0	+ .835 ₁₀ + 0

<i>n</i>	<i>m</i>	<i>pred</i>	<i>pc</i>
+ .100 ₁₀ + 2	+ .400 ₁₀ + 1	+ .513 ₁₀ + 0	+ .819 ₁₀ + 0
+ .110 ₁₀ + 2	+ .400 ₁₀ + 1	+ .511 ₁₀ + 0	+ .803 ₁₀ + 0
+ .120 ₁₀ + 2	+ .400 ₁₀ + 1	+ .507 ₁₀ + 0	+ .787 ₁₀ + 0
+ .130 ₁₀ + 2	+ .400 ₁₀ + 1	+ .504 ₁₀ + 0	+ .771 ₁₀ + 0
+ .140 ₁₀ + 2	+ .400 ₁₀ + 1	+ .501 ₁₀ + 0	+ .756 ₁₀ + 0
+ .150 ₁₀ + 2	+ .400 ₁₀ + 1	+ .497 ₁₀ + 0	+ .741 ₁₀ + 0
+ .160 ₁₀ + 2	+ .400 ₁₀ + 1	+ .493 ₁₀ + 0	+ .726 ₁₀ + 0
+ .170 ₁₀ + 2	+ .400 ₁₀ + 1	+ .489 ₁₀ + 0	+ .712 ₁₀ + 0
+ .180 ₁₀ + 2	+ .400 ₁₀ + 1	+ .485 ₁₀ + 0	+ .698 ₁₀ + 0
+ .190 ₁₀ + 2	+ .400 ₁₀ + 1	+ .481 ₁₀ + 0	+ .684 ₁₀ + 0
+ .200 ₁₀ + 2	+ .400 ₁₀ + 1	+ .476 ₁₀ + 0	+ .671 ₁₀ + 0
+ .210 ₁₀ + 2	+ .400 ₁₀ + 1	+ .472 ₁₀ + 0	+ .657 ₁₀ + 0
+ .220 ₁₀ + 2	+ .400 ₁₀ + 1	+ .467 ₁₀ + 0	+ .644 ₁₀ + 0
+ .230 ₁₀ + 2	+ .400 ₁₀ + 1	+ .462 ₁₀ + 0	+ .632 ₁₀ + 0
+ .240 ₁₀ + 2	+ .400 ₁₀ + 1	+ .457 ₁₀ + 0	+ .619 ₁₀ + 0
+ .250 ₁₀ + 2	+ .400 ₁₀ + 1	+ .452 ₁₀ + 0	+ .607 ₁₀ + 0
+ .260 ₁₀ + 2	+ .400 ₁₀ + 1	+ .447 ₁₀ + 0	+ .595 ₁₀ + 0
+ .270 ₁₀ + 2	+ .400 ₁₀ + 1	+ .441 ₁₀ + 0	+ .583 ₁₀ + 0
+ .280 ₁₀ + 2	+ .400 ₁₀ + 1	+ .436 ₁₀ + 0	+ .572 ₁₀ + 0
+ .290 ₁₀ + 2	+ .400 ₁₀ + 1	+ .431 ₁₀ + 0	+ .560 ₁₀ + 0
+ .300 ₁₀ + 2	+ .400 ₁₀ + 1	+ .425 ₁₀ + 0	+ .549 ₁₀ + 0
+ .310 ₁₀ + 2	+ .400 ₁₀ + 1	+ .419 ₁₀ + 0	+ .538 ₁₀ + 0
+ .320 ₁₀ + 2	+ .400 ₁₀ + 1	+ .414 ₁₀ + 0	+ .528 ₁₀ + 0
+ .330 ₁₀ + 2	+ .400 ₁₀ + 1	+ .408 ₁₀ + 0	+ .517 ₁₀ + 0
+ .340 ₁₀ + 2	+ .400 ₁₀ + 1	+ .402 ₁₀ + 0	+ .507 ₁₀ + 0
+ .350 ₁₀ + 2	+ .400 ₁₀ + 1	+ .397 ₁₀ + 0	+ .497 ₁₀ + 0
+ .360 ₁₀ + 2	+ .400 ₁₀ + 1	+ .391 ₁₀ + 0	+ .487 ₁₀ + 0
+ .370 ₁₀ + 2	+ .400 ₁₀ + 1	+ .385 ₁₀ + 0	+ .478 ₁₀ + 0
+ .380 ₁₀ + 2	+ .400 ₁₀ + 1	+ .379 ₁₀ + 0	+ .468 ₁₀ + 0
+ .390 ₁₀ + 2	+ .400 ₁₀ + 1	+ .373 ₁₀ + 0	+ .459 ₁₀ + 0
+ .400 ₁₀ + 2	+ .400 ₁₀ + 1	+ .368 ₁₀ + 0	+ .450 ₁₀ + 0
+ .410 ₁₀ + 2	+ .400 ₁₀ + 1	+ .362 ₁₀ + 0	+ .441 ₁₀ + 0
+ .420 ₁₀ + 2	+ .400 ₁₀ + 1	+ .356 ₁₀ + 0	+ .432 ₁₀ + 0
+ .430 ₁₀ + 2	+ .400 ₁₀ + 1	+ .350 ₁₀ + 0	+ .424 ₁₀ + 0
+ .440 ₁₀ + 2	+ .400 ₁₀ + 1	+ .344 ₁₀ + 0	+ .415 ₁₀ + 0
+ .450 ₁₀ + 2	+ .400 ₁₀ + 1	+ .338 ₁₀ + 0	+ .407 ₁₀ + 0
+ .460 ₁₀ + 2	+ .400 ₁₀ + 1	+ .333 ₁₀ + 0	+ .399 ₁₀ + 0
+ .470 ₁₀ + 2	+ .400 ₁₀ + 1	+ .327 ₁₀ + 0	+ .391 ₁₀ + 0
+ .480 ₁₀ + 2	+ .400 ₁₀ + 1	+ .321 ₁₀ + 0	+ .383 ₁₀ + 0
+ .490 ₁₀ + 2	+ .400 ₁₀ + 1	+ .315 ₁₀ + 0	+ .376 ₁₀ + 0
+ .500 ₁₀ + 2	+ .400 ₁₀ + 1	+ .310 ₁₀ + 0	+ .368 ₁₀ + 0
+ .510 ₁₀ + 2	+ .400 ₁₀ + 1	+ .304 ₁₀ + 0	+ .361 ₁₀ + 0
+ .520 ₁₀ + 2	+ .400 ₁₀ + 1	+ .298 ₁₀ + 0	+ .354 ₁₀ + 0
+ .530 ₁₀ + 2	+ .400 ₁₀ + 1	+ .293 ₁₀ + 0	+ .347 ₁₀ + 0
+ .540 ₁₀ + 2	+ .400 ₁₀ + 1	+ .287 ₁₀ + 0	+ .340 ₁₀ + 0
+ .550 ₁₀ + 2	+ .400 ₁₀ + 1	+ .282 ₁₀ + 0	+ .333 ₁₀ + 0
+ .560 ₁₀ + 2	+ .400 ₁₀ + 1	+ .276 ₁₀ + 0	+ .327 ₁₀ + 0
+ .570 ₁₀ + 2	+ .400 ₁₀ + 1	+ .271 ₁₀ + 0	+ .320 ₁₀ + 0
+ .580 ₁₀ + 2	+ .400 ₁₀ + 1	+ .265 ₁₀ + 0	+ .314 ₁₀ + 0
+ .590 ₁₀ + 2	+ .400 ₁₀ + 1	+ .260 ₁₀ + 0	+ .308 ₁₀ + 0
+ .600 ₁₀ + 2	+ .400 ₁₀ + 1	+ .255 ₁₀ + 0	+ .302 ₁₀ + 0
+ .610 ₁₀ + 2	+ .400 ₁₀ + 1	+ .250 ₁₀ + 0	+ .296 ₁₀ + 0
+ .620 ₁₀ + 2	+ .400 ₁₀ + 1	+ .245 ₁₀ + 0	+ .290 ₁₀ + 0
+ .630 ₁₀ + 2	+ .400 ₁₀ + 1	+ .240 ₁₀ + 0	+ .284 ₁₀ + 0
+ .640 ₁₀ + 2	+ .400 ₁₀ + 1	+ .235 ₁₀ + 0	+ .279 ₁₀ + 0
+ .650 ₁₀ + 2	+ .400 ₁₀ + 1	+ .230 ₁₀ + 0	+ .273 ₁₀ + 0
+ .660 ₁₀ + 2	+ .400 ₁₀ + 1	+ .225 ₁₀ + 0	+ .268 ₁₀ + 0
+ .670 ₁₀ + 2	+ .400 ₁₀ + 1	+ .220 ₁₀ + 0	+ .262 ₁₀ + 0
+ .680 ₁₀ + 2	+ .400 ₁₀ + 1	+ .215 ₁₀ + 0	+ .257 ₁₀ + 0
+ .690 ₁₀ + 2	+ .400 ₁₀ + 1	+ .211 ₁₀ + 0	+ .252 ₁₀ + 0

<i>n</i>	<i>m</i>	<i>prod</i>	<i>pc</i>
+ .700 ₁₀ + 2	+ .400 ₁₀ + 1	+ .206 ₁₀ + 0	+ .247 ₁₀ + 0
+ .710 ₁₀ + 2	+ .400 ₁₀ + 1	+ .201 ₁₀ + 0	+ .242 ₁₀ + 0
+ .720 ₁₀ + 2	+ .400 ₁₀ + 1	+ .197 ₁₀ + 0	+ .237 ₁₀ + 0
+ .730 ₁₀ + 2	+ .400 ₁₀ + 1	+ .192 ₁₀ + 0	+ .233 ₁₀ + 0
+ .740 ₁₀ + 2	+ .400 ₁₀ + 1	+ .188 ₁₀ + 0	+ .228 ₁₀ + 0
+ .750 ₁₀ + 2	+ .400 ₁₀ + 1	+ .184 ₁₀ + 0	+ .224 ₁₀ + 0
+ .760 ₁₀ + 2	+ .400 ₁₀ + 1	+ .180 ₁₀ + 0	+ .219 ₁₀ + 0
+ .770 ₁₀ + 2	+ .400 ₁₀ + 1	+ .176 ₁₀ + 0	+ .215 ₁₀ + 0
+ .780 ₁₀ + 2	+ .400 ₁₀ + 1	+ .171 ₁₀ + 0	+ .211 ₁₀ + 0
+ .790 ₁₀ + 2	+ .400 ₁₀ + 1	+ .167 ₁₀ + 0	+ .206 ₁₀ + 0
+ .800 ₁₀ + 2	+ .400 ₁₀ + 1	+ .164 ₁₀ + 0	+ .202 ₁₀ + 0
+ .810 ₁₀ + 2	+ .400 ₁₀ + 1	+ .160 ₁₀ + 0	+ .198 ₁₀ + 0
+ .820 ₁₀ + 2	+ .400 ₁₀ + 1	+ .156 ₁₀ + 0	+ .194 ₁₀ + 0
+ .830 ₁₀ + 2	+ .400 ₁₀ + 1	+ .152 ₁₀ + 0	+ .191 ₁₀ + 0
+ .840 ₁₀ + 2	+ .400 ₁₀ + 1	+ .149 ₁₀ + 0	+ .187 ₁₀ + 0
+ .850 ₁₀ + 2	+ .400 ₁₀ + 1	+ .145 ₁₀ + 0	+ .183 ₁₀ + 0
+ .860 ₁₀ + 2	+ .400 ₁₀ + 1	+ .141 ₁₀ + 0	+ .180 ₁₀ + 0
+ .870 ₁₀ + 2	+ .400 ₁₀ + 1	+ .138 ₁₀ + 0	+ .176 ₁₀ + 0
+ .880 ₁₀ + 2	+ .400 ₁₀ + 1	+ .135 ₁₀ + 0	+ .172 ₁₀ + 0
+ .890 ₁₀ + 2	+ .400 ₁₀ + 1	+ .131 ₁₀ + 0	+ .169 ₁₀ + 0
+ .900 ₁₀ + 2	+ .400 ₁₀ + 1	+ .128 ₁₀ + 0	+ .166 ₁₀ + 0
+ .910 ₁₀ + 2	+ .400 ₁₀ + 1	+ .125 ₁₀ + 0	+ .162 ₁₀ + 0
+ .920 ₁₀ + 2	+ .400 ₁₀ + 1	+ .122 ₁₀ + 0	+ .159 ₁₀ + 0
+ .930 ₁₀ + 2	+ .400 ₁₀ + 1	+ .119 ₁₀ + 0	+ .156 ₁₀ + 0
+ .940 ₁₀ + 2	+ .400 ₁₀ + 1	+ .116 ₁₀ + 0	+ .153 ₁₀ + 0
+ .950 ₁₀ + 2	+ .400 ₁₀ + 1	+ .113 ₁₀ + 0	+ .150 ₁₀ + 0
+ .960 ₁₀ + 2	+ .400 ₁₀ + 1	+ .110 ₁₀ + 0	+ .147 ₁₀ + 0
+ .970 ₁₀ + 2	+ .400 ₁₀ + 1	+ .107 ₁₀ + 0	+ .144 ₁₀ + 0
+ .980 ₁₀ + 2	+ .400 ₁₀ + 1	+ .104 ₁₀ + 0	+ .141 ₁₀ + 0
+ .990 ₁₀ + 2	+ .400 ₁₀ + 1	+ .102 ₁₀ + 0	+ .138 ₁₀ + 0
+ .100 ₁₀ + 3	+ .400 ₁₀ + 1	+ .989 ₁₀ - 1	+ .136 ₁₀ + 0
+ .101 ₁₀ + 3	+ .400 ₁₀ + 1	+ .964 ₁₀ - 1	+ .133 ₁₀ + 0
+ .102 ₁₀ + 3	+ .400 ₁₀ + 1	+ .938 ₁₀ - 1	+ .130 ₁₀ + 0
+ .103 ₁₀ + 3	+ .400 ₁₀ + 1	+ .914 ₁₀ - 1	+ .128 ₁₀ + 0
+ .104 ₁₀ + 3	+ .400 ₁₀ + 1	+ .889 ₁₀ - 1	+ .125 ₁₀ + 0
+ .105 ₁₀ + 3	+ .400 ₁₀ + 1	+ .866 ₁₀ - 1	+ .123 ₁₀ + 0
+ .106 ₁₀ + 3	+ .400 ₁₀ + 1	+ .843 ₁₀ - 1	+ .120 ₁₀ + 0
+ .107 ₁₀ + 3	+ .400 ₁₀ + 1	+ .820 ₁₀ - 1	+ .118 ₁₀ + 0
+ .108 ₁₀ + 3	+ .400 ₁₀ + 1	+ .798 ₁₀ - 1	+ .116 ₁₀ + 0
+ .109 ₁₀ + 3	+ .400 ₁₀ + 1	+ .777 ₁₀ - 1	+ .113 ₁₀ + 0
+ .110 ₁₀ + 3	+ .400 ₁₀ + 1	+ .756 ₁₀ - 1	+ .111 ₁₀ + 0
+ .111 ₁₀ + 3	+ .400 ₁₀ + 1	+ .735 ₁₀ - 1	+ .109 ₁₀ + 0
+ .112 ₁₀ + 3	+ .400 ₁₀ + 1	+ .715 ₁₀ - 1	+ .107 ₁₀ + 0
+ .113 ₁₀ + 3	+ .400 ₁₀ + 1	+ .696 ₁₀ - 1	+ .105 ₁₀ + 0
+ .114 ₁₀ + 3	+ .400 ₁₀ + 1	+ .677 ₁₀ - 1	+ .103 ₁₀ + 0
+ .115 ₁₀ + 3	+ .400 ₁₀ + 1	+ .658 ₁₀ - 1	+ .101 ₁₀ + 0
+ .116 ₁₀ + 3	+ .400 ₁₀ + 1	+ .640 ₁₀ - 1	+ .986 ₁₀ - 1
+ .117 ₁₀ + 3	+ .400 ₁₀ + 1	+ .622 ₁₀ - 1	+ .966 ₁₀ - 1
+ .118 ₁₀ + 3	+ .400 ₁₀ + 1	+ .605 ₁₀ - 1	+ .947 ₁₀ - 1
+ .119 ₁₀ + 3	+ .400 ₁₀ + 1	+ .588 ₁₀ - 1	+ .929 ₁₀ - 1
+ .120 ₁₀ + 3	+ .400 ₁₀ + 1	+ .572 ₁₀ - 1	+ .910 ₁₀ - 1
+ .121 ₁₀ + 3	+ .400 ₁₀ + 1	+ .556 ₁₀ - 1	+ .892 ₁₀ - 1
+ .122 ₁₀ + 3	+ .400 ₁₀ + 1	+ .540 ₁₀ - 1	+ .875 ₁₀ - 1
+ .123 ₁₀ + 3	+ .400 ₁₀ + 1	+ .525 ₁₀ - 1	+ .857 ₁₀ - 1
+ .124 ₁₀ + 3	+ .400 ₁₀ + 1	+ .510 ₁₀ - 1	+ .840 ₁₀ - 1
+ .125 ₁₀ + 3	+ .400 ₁₀ + 1	+ .495 ₁₀ - 1	+ .824 ₁₀ - 1
+ .126 ₁₀ + 3	+ .400 ₁₀ + 1	+ .481 ₁₀ - 1	+ .807 ₁₀ - 1
+ .127 ₁₀ + 3	+ .400 ₁₀ + 1	+ .468 ₁₀ - 1	+ .792 ₁₀ - 1
+ .128 ₁₀ + 3	+ .400 ₁₀ + 1	+ .454 ₁₀ - 1	+ .776 ₁₀ - 1
+ .129 ₁₀ + 3	+ .400 ₁₀ + 1	+ .441 ₁₀ - 1	+ .761 ₁₀ - 1

<i>n</i>	<i>m</i>	<i>pred</i>	<i>pc</i>
+ .130 ₁₀ + 3	+ .400 ₁₀ + 1	+ .428 ₁₀ - 1	+ .745 ₁₀ - 1
+ .131 ₁₀ + 3	+ .400 ₁₀ + 1	+ .416 ₁₀ - 1	+ .731 ₁₀ - 1
+ .132 ₁₀ + 3	+ .400 ₁₀ + 1	+ .404 ₁₀ - 1	+ .716 ₁₀ - 1
+ .133 ₁₀ + 3	+ .400 ₁₀ + 1	+ .392 ₁₀ - 1	+ .702 ₁₀ - 1
+ .134 ₁₀ + 3	+ .400 ₁₀ + 1	+ .381 ₁₀ - 1	+ .688 ₁₀ - 1
+ .135 ₁₀ + 3	+ .400 ₁₀ + 1	+ .370 ₁₀ - 1	+ .675 ₁₀ - 1
+ .136 ₁₀ + 3	+ .400 ₁₀ + 1	+ .359 ₁₀ - 1	+ .661 ₁₀ - 1
+ .137 ₁₀ + 3	+ .400 ₁₀ + 1	+ .348 ₁₀ - 1	+ .648 ₁₀ - 1
+ .138 ₁₀ + 3	+ .400 ₁₀ + 1	+ .338 ₁₀ - 1	+ .635 ₁₀ - 1

VERTAALTIJD 5
EXECUTIETIJD 12

AANTAL OVER STROOM 1 GELEZEN GETALLEN 2
LAATST OVER STROOM 1 GELEZEN GETAL +600

AANTAL OVER STROOM 2 GELEZEN GETALLEN 0

```

1 BEGIN COMMENT BEREKENING OPBRENGST VERBETERING VAN CELL NETWORKEN M,B,V, DOUBLE ERROR CORRECTING BCH CODES
2 N = AANTAL INPUTS CELL, NETWORK
3 M = (2 ↑ K) - 1 IS AANTAL OUTPUTS CELL, NETWORK;
4 INIEGER K, KMAX, IA1, IB1, I2, I, J, A, N, S, B, IOEEN, IOTWEE, F, I2K, V, NMAX, N, T;
5 REAL PDEK, P, PC, PRED, PI, Q;
6 V := 0; KMAX := READ;
7 B: T := READ; NMAX := READ; P := EXP(LN(0.05)/T); Q := 1 - P;
8 NEW PAGE; FLOT(5, 2, P); NLCR; NLCR; NLCR;
9 FOR K := 4 SIER 1 UNILL KMAX DO
10 BEGIN IA1 := 0; IB1 := 0; I2 := 0; FOR I := 2 SIER 1 UNILL K DO
11 IA1 := (I ↑ 2) + 2 * I + 1 + IA1; IB1 := 0.5 * (I ↑ 2) * (5/2) * I + 2 + IB1;
12 FOR J := 1 SIER 1 UNILL K DO BEGIN A := (2 ↑ J);
13 IF A < K THEN I2 := (A ↑ 2) + I2 ELSE GOIQ A; END;
14 A: I2 := I2 + (K - 2 - J) * (K ↑ 2); I2K := 2 ↑ K; N := I2K - 1 - 2 * K;
15 S := 2 * K * N; B := 2 * (K ↑ 2); IOEEN := K * N; IOTWEE := N;
16 F := N ↑ 2;
17 PDEK := P ↑ S * (1 - (4/5) * Q) ↑ IA1 * (1 - (7/5) * Q) ↑ IB1 * (1 - (14/5) * Q) ↑ I2 * (1 - (14/5) * Q) ↑ B
18 * (1 - (12/5) * Q) ↑ IOEEN * P ↑ IOTWEE * P ↑ F;
19 FOR N := 1 SIER 1 UNILL NMAX DO
20 BEGIN PI := P ↑ N;
21 PRED := (PI ↑ (I2K - 1) + (1 - PI) * (I2K - 1) * (PI ↑ (I2K - 2))
22 + 0.5 * (I2K - 2) * (I2K - 1) * ((1 - PI) ↑ 2) * (PI ↑ (I2K - 3))) * PDEK;
23 PC := P ↑ (N * N); IF PRED < PC THEN GOIQ C;
24 PRINTTEXT(↑VERBETERING↑); NLCR; GOIQ E;
25 C: IF K ≠ 5 ^ K ≠ 4 THEN GOIQ D;
26 E: SPACE(15); FLOT(3, 2, N); FLOT(3, 2, K); FLOT(5, 2, PRED);
27 FLOT(3, 2, PC); FLOT(5, 2, PDEK); FLOT(3, 2, IA1); FLOT(3, 2, I2); NLCR;
28 D: END;
29 END; V := V + 1; IF V = 1 THEN GOIQ B;
30 END
31 PROEEND

```


<i>n</i>	<i>k</i>	<i>Pred</i>	<i>PC</i>	<i>Pdek</i>
+ .580 ₁₀ + 2	+ .400 ₁₀ + 1	+ .36129 ₁₀ - 3	+ .173 ₁₀ - 1	+ .27676 ₁₀ - 1
+ .590 ₁₀ + 2	+ .400 ₁₀ + 1	+ .32410 ₁₀ - 3	+ .162 ₁₀ - 1	+ .27676 ₁₀ - 1
+ .600 ₁₀ + 2	+ .400 ₁₀ + 1	+ .29062 ₁₀ - 3	+ .151 ₁₀ - 1	+ .27676 ₁₀ - 1
+ .610 ₁₀ + 2	+ .400 ₁₀ + 1	+ .26049 ₁₀ - 3	+ .141 ₁₀ - 1	+ .27676 ₁₀ - 1
+ .620 ₁₀ + 2	+ .400 ₁₀ + 1	+ .23339 ₁₀ - 3	+ .131 ₁₀ - 1	+ .27676 ₁₀ - 1
+ .630 ₁₀ + 2	+ .400 ₁₀ + 1	+ .20903 ₁₀ - 3	+ .122 ₁₀ - 1	+ .27676 ₁₀ - 1
+ .640 ₁₀ + 2	+ .400 ₁₀ + 1	+ .18714 ₁₀ - 3	+ .114 ₁₀ - 1	+ .27676 ₁₀ - 1
+ .650 ₁₀ + 2	+ .400 ₁₀ + 1	+ .16748 ₁₀ - 3	+ .106 ₁₀ - 1	+ .27676 ₁₀ - 1
+ .660 ₁₀ + 2	+ .400 ₁₀ + 1	+ .14983 ₁₀ - 3	+ .992 ₁₀ - 2	+ .27676 ₁₀ - 1
+ .670 ₁₀ + 2	+ .400 ₁₀ + 1	+ .13400 ₁₀ - 3	+ .925 ₁₀ - 2	+ .27676 ₁₀ - 1
+ .680 ₁₀ + 2	+ .400 ₁₀ + 1	+ .11980 ₁₀ - 3	+ .862 ₁₀ - 2	+ .27676 ₁₀ - 1
+ .690 ₁₀ + 2	+ .400 ₁₀ + 1	+ .10706 ₁₀ - 3	+ .804 ₁₀ - 2	+ .27676 ₁₀ - 1
+ .700 ₁₀ + 2	+ .400 ₁₀ + 1	+ .95656 ₁₀ - 4	+ .750 ₁₀ - 2	+ .27676 ₁₀ - 1
+ .100 ₁₀ + 1	+ .500 ₁₀ + 1	+ .41188 ₁₀ - 5	+ .811 ₁₀ + 0	+ .41336 ₁₀ - 5
+ .200 ₁₀ + 1	+ .500 ₁₀ + 1	+ .40385 ₁₀ - 5	+ .657 ₁₀ + 0	+ .41336 ₁₀ - 5
+ .300 ₁₀ + 1	+ .500 ₁₀ + 1	+ .38749 ₁₀ - 5	+ .533 ₁₀ + 0	+ .41336 ₁₀ - 5
+ .400 ₁₀ + 1	+ .500 ₁₀ + 1	+ .36375 ₁₀ - 5	+ .432 ₁₀ + 0	+ .41336 ₁₀ - 5
+ .500 ₁₀ + 1	+ .500 ₁₀ + 1	+ .33464 ₁₀ - 5	+ .350 ₁₀ + 0	+ .41336 ₁₀ - 5
+ .600 ₁₀ + 1	+ .500 ₁₀ + 1	+ .30240 ₁₀ - 5	+ .284 ₁₀ + 0	+ .41336 ₁₀ - 5
+ .700 ₁₀ + 1	+ .500 ₁₀ + 1	+ .26900 ₁₀ - 5	+ .230 ₁₀ + 0	+ .41336 ₁₀ - 5
+ .800 ₁₀ + 1	+ .500 ₁₀ + 1	+ .23602 ₁₀ - 5	+ .187 ₁₀ + 0	+ .41336 ₁₀ - 5
+ .900 ₁₀ + 1	+ .500 ₁₀ + 1	+ .20460 ₁₀ - 5	+ .151 ₁₀ + 0	+ .41336 ₁₀ - 5
+ .100 ₁₀ + 2	+ .500 ₁₀ + 1	+ .17550 ₁₀ - 5	+ .123 ₁₀ + 0	+ .41336 ₁₀ - 5
+ .110 ₁₀ + 2	+ .500 ₁₀ + 1	+ .14915 ₁₀ - 5	+ .996 ₁₀ - 1	+ .41336 ₁₀ - 5
+ .120 ₁₀ + 2	+ .500 ₁₀ + 1	+ .12570 ₁₀ - 5	+ .807 ₁₀ - 1	+ .41336 ₁₀ - 5
+ .130 ₁₀ + 2	+ .500 ₁₀ + 1	+ .10517 ₁₀ - 5	+ .655 ₁₀ - 1	+ .41336 ₁₀ - 5
+ .140 ₁₀ + 2	+ .500 ₁₀ + 1	+ .87405 ₁₀ - 6	+ .531 ₁₀ - 1	+ .41336 ₁₀ - 5
+ .150 ₁₀ + 2	+ .500 ₁₀ + 1	+ .72213 ₁₀ - 6	+ .430 ₁₀ - 1	+ .41336 ₁₀ - 5
+ .160 ₁₀ + 2	+ .500 ₁₀ + 1	+ .59342 ₁₀ - 6	+ .349 ₁₀ - 1	+ .41336 ₁₀ - 5
+ .170 ₁₀ + 2	+ .500 ₁₀ + 1	+ .48527 ₁₀ - 6	+ .283 ₁₀ - 1	+ .41336 ₁₀ - 5
+ .180 ₁₀ + 2	+ .500 ₁₀ + 1	+ .39507 ₁₀ - 6	+ .229 ₁₀ - 1	+ .41336 ₁₀ - 5
+ .190 ₁₀ + 2	+ .500 ₁₀ + 1	+ .32033 ₁₀ - 6	+ .186 ₁₀ - 1	+ .41336 ₁₀ - 5
+ .200 ₁₀ + 2	+ .500 ₁₀ + 1	+ .25876 ₁₀ - 6	+ .151 ₁₀ - 1	+ .41336 ₁₀ - 5
+ .210 ₁₀ + 2	+ .500 ₁₀ + 1	+ .20831 ₁₀ - 6	+ .122 ₁₀ - 1	+ .41336 ₁₀ - 5
+ .220 ₁₀ + 2	+ .500 ₁₀ + 1	+ .16716 ₁₀ - 6	+ .992 ₁₀ - 2	+ .41336 ₁₀ - 5
+ .230 ₁₀ + 2	+ .500 ₁₀ + 1	+ .13375 ₁₀ - 6	+ .804 ₁₀ - 2	+ .41336 ₁₀ - 5
+ .240 ₁₀ + 2	+ .500 ₁₀ + 1	+ .10672 ₁₀ - 6	+ .652 ₁₀ - 2	+ .41336 ₁₀ - 5
+ .250 ₁₀ + 2	+ .500 ₁₀ + 1	+ .84939 ₁₀ - 7	+ .529 ₁₀ - 2	+ .41336 ₁₀ - 5
+ .260 ₁₀ + 2	+ .500 ₁₀ + 1	+ .67443 ₁₀ - 7	+ .429 ₁₀ - 2	+ .41336 ₁₀ - 5
+ .270 ₁₀ + 2	+ .500 ₁₀ + 1	+ .53432 ₁₀ - 7	+ .348 ₁₀ - 2	+ .41336 ₁₀ - 5
+ .280 ₁₀ + 2	+ .500 ₁₀ + 1	+ .42243 ₁₀ - 7	+ .282 ₁₀ - 2	+ .41336 ₁₀ - 5
+ .290 ₁₀ + 2	+ .500 ₁₀ + 1	+ .33333 ₁₀ - 7	+ .229 ₁₀ - 2	+ .41336 ₁₀ - 5
+ .300 ₁₀ + 2	+ .500 ₁₀ + 1	+ .26253 ₁₀ - 7	+ .185 ₁₀ - 2	+ .41336 ₁₀ - 5
+ .310 ₁₀ + 2	+ .500 ₁₀ + 1	+ .20642 ₁₀ - 7	+ .150 ₁₀ - 2	+ .41336 ₁₀ - 5
+ .320 ₁₀ + 2	+ .500 ₁₀ + 1	+ .16203 ₁₀ - 7	+ .122 ₁₀ - 2	+ .41336 ₁₀ - 5
+ .330 ₁₀ + 2	+ .500 ₁₀ + 1	+ .12700 ₁₀ - 7	+ .988 ₁₀ - 3	+ .41336 ₁₀ - 5
+ .340 ₁₀ + 2	+ .500 ₁₀ + 1	+ .99388 ₁₀ - 8	+ .801 ₁₀ - 3	+ .41336 ₁₀ - 5
+ .350 ₁₀ + 2	+ .500 ₁₀ + 1	+ .77676 ₁₀ - 8	+ .649 ₁₀ - 3	+ .41336 ₁₀ - 5
+ .360 ₁₀ + 2	+ .500 ₁₀ + 1	+ .60626 ₁₀ - 8	+ .527 ₁₀ - 3	+ .41336 ₁₀ - 5
+ .370 ₁₀ + 2	+ .500 ₁₀ + 1	+ .47260 ₁₀ - 8	+ .427 ₁₀ - 3	+ .41336 ₁₀ - 5
+ .380 ₁₀ + 2	+ .500 ₁₀ + 1	+ .36797 ₁₀ - 8	+ .346 ₁₀ - 3	+ .41336 ₁₀ - 5
+ .390 ₁₀ + 2	+ .500 ₁₀ + 1	+ .28618 ₁₀ - 8	+ .281 ₁₀ - 3	+ .41336 ₁₀ - 5
+ .400 ₁₀ + 2	+ .500 ₁₀ + 1	+ .22233 ₁₀ - 8	+ .228 ₁₀ - 3	+ .41336 ₁₀ - 5
+ .410 ₁₀ + 2	+ .500 ₁₀ + 1	+ .17255 ₁₀ - 8	+ .185 ₁₀ - 3	+ .41336 ₁₀ - 5
+ .420 ₁₀ + 2	+ .500 ₁₀ + 1	+ .13378 ₁₀ - 8	+ .150 ₁₀ - 3	+ .41336 ₁₀ - 5
+ .430 ₁₀ + 2	+ .500 ₁₀ + 1	+ .10363 ₁₀ - 8	+ .121 ₁₀ - 3	+ .41336 ₁₀ - 5
+ .440 ₁₀ + 2	+ .500 ₁₀ + 1	+ .80197 ₁₀ - 9	+ .984 ₁₀ - 4	+ .41336 ₁₀ - 5
+ .450 ₁₀ + 2	+ .500 ₁₀ + 1	+ .62011 ₁₀ - 9	+ .798 ₁₀ - 4	+ .41336 ₁₀ - 5
+ .460 ₁₀ + 2	+ .500 ₁₀ + 1	+ .47909 ₁₀ - 9	+ .647 ₁₀ - 4	+ .41336 ₁₀ - 5
+ .470 ₁₀ + 2	+ .500 ₁₀ + 1	+ .36985 ₁₀ - 9	+ .524 ₁₀ - 4	+ .41336 ₁₀ - 5

<i>n</i>	<i>K</i>	<i>pred</i>	<i>pc</i>	<i>pdek</i>					
+ .480 ₁₀ + 2	+ .500 ₁₀ + 1	+ .28530 ₁₀ - 9	+ .425 ₁₀ - 4	+ .41336 ₁₀ - 5	+ .860 ₁₀ + 2	+ .200 ₁₀ + 2			
+ .490 ₁₀ + 2	+ .500 ₁₀ + 1	+ .21992 ₁₀ - 9	+ .345 ₁₀ - 4	+ .41336 ₁₀ - 5	+ .860 ₁₀ + 2	+ .200 ₁₀ + 2			
+ .500 ₁₀ + 2	+ .500 ₁₀ + 1	+ .16940 ₁₀ - 9	+ .280 ₁₀ - 4	+ .41336 ₁₀ - 5	+ .860 ₁₀ + 2	+ .200 ₁₀ + 2			
+ .510 ₁₀ + 2	+ .500 ₁₀ + 1	+ .13040 ₁₀ - 9	+ .227 ₁₀ - 4	+ .41336 ₁₀ - 5	+ .860 ₁₀ + 2	+ .200 ₁₀ + 2			
+ .520 ₁₀ + 2	+ .500 ₁₀ + 1	+ .10031 ₁₀ - 9	+ .184 ₁₀ - 4	+ .41336 ₁₀ - 5	+ .860 ₁₀ + 2	+ .200 ₁₀ + 2			
+ .530 ₁₀ + 2	+ .500 ₁₀ + 1	+ .77114 ₁₀ -10	+ .149 ₁₀ - 4	+ .41336 ₁₀ - 5	+ .860 ₁₀ + 2	+ .200 ₁₀ + 2			
+ .540 ₁₀ + 2	+ .500 ₁₀ + 1	+ .59247 ₁₀ -10	+ .121 ₁₀ - 4	+ .41336 ₁₀ - 5	+ .860 ₁₀ + 2	+ .200 ₁₀ + 2			
+ .550 ₁₀ + 2	+ .500 ₁₀ + 1	+ .45493 ₁₀ -10	+ .980 ₁₀ - 5	+ .41336 ₁₀ - 5	+ .860 ₁₀ + 2	+ .200 ₁₀ + 2			
+ .560 ₁₀ + 2	+ .500 ₁₀ + 1	+ .34913 ₁₀ -10	+ .794 ₁₀ - 5	+ .41336 ₁₀ - 5	+ .860 ₁₀ + 2	+ .200 ₁₀ + 2			
+ .570 ₁₀ + 2	+ .500 ₁₀ + 1	+ .26778 ₁₀ -10	+ .644 ₁₀ - 5	+ .41336 ₁₀ - 5	+ .860 ₁₀ + 2	+ .200 ₁₀ + 2			
+ .580 ₁₀ + 2	+ .500 ₁₀ + 1	+ .20528 ₁₀ -10	+ .522 ₁₀ - 5	+ .41336 ₁₀ - 5	+ .860 ₁₀ + 2	+ .200 ₁₀ + 2			
+ .590 ₁₀ + 2	+ .500 ₁₀ + 1	+ .15729 ₁₀ -10	+ .423 ₁₀ - 5	+ .41336 ₁₀ - 5	+ .860 ₁₀ + 2	+ .200 ₁₀ + 2			
+ .600 ₁₀ + 2	+ .500 ₁₀ + 1	+ .12045 ₁₀ -10	+ .343 ₁₀ - 5	+ .41336 ₁₀ - 5	+ .860 ₁₀ + 2	+ .200 ₁₀ + 2			
+ .610 ₁₀ + 2	+ .500 ₁₀ + 1	+ .92203 ₁₀ -11	+ .278 ₁₀ - 5	+ .41336 ₁₀ - 5	+ .860 ₁₀ + 2	+ .200 ₁₀ + 2			
+ .620 ₁₀ + 2	+ .500 ₁₀ + 1	+ .70546 ₁₀ -11	+ .226 ₁₀ - 5	+ .41336 ₁₀ - 5	+ .860 ₁₀ + 2	+ .200 ₁₀ + 2			
+ .630 ₁₀ + 2	+ .500 ₁₀ + 1	+ .53251 ₁₀ -11	+ .183 ₁₀ - 5	+ .41336 ₁₀ - 5	+ .860 ₁₀ + 2	+ .200 ₁₀ + 2			
+ .640 ₁₀ + 2	+ .500 ₁₀ + 1	+ .41042 ₁₀ -11	+ .148 ₁₀ - 5	+ .41336 ₁₀ - 5	+ .860 ₁₀ + 2	+ .200 ₁₀ + 2			
+ .650 ₁₀ + 2	+ .500 ₁₀ + 1	+ .31513 ₁₀ -11	+ .120 ₁₀ - 5	+ .41336 ₁₀ - 5	+ .860 ₁₀ + 2	+ .200 ₁₀ + 2			
+ .660 ₁₀ + 2	+ .500 ₁₀ + 1	+ .24070 ₁₀ -11	+ .976 ₁₀ - 6	+ .41336 ₁₀ - 5	+ .860 ₁₀ + 2	+ .200 ₁₀ + 2			
+ .670 ₁₀ + 2	+ .500 ₁₀ + 1	+ .18377 ₁₀ -11	+ .791 ₁₀ - 6	+ .41336 ₁₀ - 5	+ .860 ₁₀ + 2	+ .200 ₁₀ + 2			
+ .680 ₁₀ + 2	+ .500 ₁₀ + 1	+ .14025 ₁₀ -11	+ .641 ₁₀ - 6	+ .41336 ₁₀ - 5	+ .860 ₁₀ + 2	+ .200 ₁₀ + 2			
+ .690 ₁₀ + 2	+ .500 ₁₀ + 1	+ .10700 ₁₀ -11	+ .520 ₁₀ - 6	+ .41336 ₁₀ - 5	+ .860 ₁₀ + 2	+ .200 ₁₀ + 2			
+ .700 ₁₀ + 2	+ .500 ₁₀ + 1	+ .81604 ₁₀ -12	+ .422 ₁₀ - 6	+ .41336 ₁₀ - 5	+ .860 ₁₀ + 2	+ .200 ₁₀ + 2			

+ .99502₁₀+ 0

P-12

<i>n</i>	<i>k</i>	<i>Pred</i>	<i>pe</i>	<i>Pdek</i>
+ .100 ₁₀ + 1	+ .400 ₁₀ + 1	+ .16695 ₁₀ + 0	+ .966 ₁₀ + 0	+ .16696 ₁₀ + 0
+ .200 ₁₀ + 1	+ .400 ₁₀ + 1	+ .16689 ₁₀ + 0	+ .932 ₁₀ + 0	+ .16696 ₁₀ + 0
+ .300 ₁₀ + 1	+ .400 ₁₀ + 1	+ .16674 ₁₀ + 0	+ .900 ₁₀ + 0	+ .16696 ₁₀ + 0
+ .400 ₁₀ + 1	+ .400 ₁₀ + 1	+ .16647 ₁₀ + 0	+ .870 ₁₀ + 0	+ .16696 ₁₀ + 0
+ .500 ₁₀ + 1	+ .400 ₁₀ + 1	+ .16605 ₁₀ + 0	+ .840 ₁₀ + 0	+ .16696 ₁₀ + 0
+ .600 ₁₀ + 1	+ .400 ₁₀ + 1	+ .16546 ₁₀ + 0	+ .811 ₁₀ + 0	+ .16696 ₁₀ + 0
+ .700 ₁₀ + 1	+ .400 ₁₀ + 1	+ .16470 ₁₀ + 0	+ .783 ₁₀ + 0	+ .16696 ₁₀ + 0
+ .800 ₁₀ + 1	+ .400 ₁₀ + 1	+ .16376 ₁₀ + 0	+ .756 ₁₀ + 0	+ .16696 ₁₀ + 0
+ .900 ₁₀ + 1	+ .400 ₁₀ + 1	+ .16263 ₁₀ + 0	+ .730 ₁₀ + 0	+ .16696 ₁₀ + 0
+ .100 ₁₀ + 2	+ .400 ₁₀ + 1	+ .16131 ₁₀ + 0	+ .705 ₁₀ + 0	+ .16696 ₁₀ + 0
+ .110 ₁₀ + 2	+ .400 ₁₀ + 1	+ .15981 ₁₀ + 0	+ .681 ₁₀ + 0	+ .16696 ₁₀ + 0
+ .120 ₁₀ + 2	+ .400 ₁₀ + 1	+ .15813 ₁₀ + 0	+ .657 ₁₀ + 0	+ .16696 ₁₀ + 0
+ .130 ₁₀ + 2	+ .400 ₁₀ + 1	+ .15628 ₁₀ + 0	+ .635 ₁₀ + 0	+ .16696 ₁₀ + 0
+ .140 ₁₀ + 2	+ .400 ₁₀ + 1	+ .15426 ₁₀ + 0	+ .613 ₁₀ + 0	+ .16696 ₁₀ + 0
+ .150 ₁₀ + 2	+ .400 ₁₀ + 1	+ .15210 ₁₀ + 0	+ .592 ₁₀ + 0	+ .16696 ₁₀ + 0
+ .160 ₁₀ + 2	+ .400 ₁₀ + 1	+ .14979 ₁₀ + 0	+ .572 ₁₀ + 0	+ .16696 ₁₀ + 0
+ .170 ₁₀ + 2	+ .400 ₁₀ + 1	+ .14735 ₁₀ + 0	+ .552 ₁₀ + 0	+ .16696 ₁₀ + 0
+ .180 ₁₀ + 2	+ .400 ₁₀ + 1	+ .14480 ₁₀ + 0	+ .533 ₁₀ + 0	+ .16696 ₁₀ + 0
+ .190 ₁₀ + 2	+ .400 ₁₀ + 1	+ .14213 ₁₀ + 0	+ .515 ₁₀ + 0	+ .16696 ₁₀ + 0
+ .200 ₁₀ + 2	+ .400 ₁₀ + 1	+ .13937 ₁₀ + 0	+ .497 ₁₀ + 0	+ .16696 ₁₀ + 0
+ .210 ₁₀ + 2	+ .400 ₁₀ + 1	+ .13652 ₁₀ + 0	+ .480 ₁₀ + 0	+ .16696 ₁₀ + 0
+ .220 ₁₀ + 2	+ .400 ₁₀ + 1	+ .13360 ₁₀ + 0	+ .464 ₁₀ + 0	+ .16696 ₁₀ + 0
+ .230 ₁₀ + 2	+ .400 ₁₀ + 1	+ .13062 ₁₀ + 0	+ .448 ₁₀ + 0	+ .16696 ₁₀ + 0
+ .240 ₁₀ + 2	+ .400 ₁₀ + 1	+ .12759 ₁₀ + 0	+ .432 ₁₀ + 0	+ .16696 ₁₀ + 0
+ .250 ₁₀ + 2	+ .400 ₁₀ + 1	+ .12451 ₁₀ + 0	+ .417 ₁₀ + 0	+ .16696 ₁₀ + 0
+ .260 ₁₀ + 2	+ .400 ₁₀ + 1	+ .12141 ₁₀ + 0	+ .403 ₁₀ + 0	+ .16696 ₁₀ + 0
+ .270 ₁₀ + 2	+ .400 ₁₀ + 1	+ .11828 ₁₀ + 0	+ .389 ₁₀ + 0	+ .16696 ₁₀ + 0
+ .280 ₁₀ + 2	+ .400 ₁₀ + 1	+ .11514 ₁₀ + 0	+ .376 ₁₀ + 0	+ .16696 ₁₀ + 0
+ .290 ₁₀ + 2	+ .400 ₁₀ + 1	+ .11199 ₁₀ + 0	+ .363 ₁₀ + 0	+ .16696 ₁₀ + 0
+ .300 ₁₀ + 2	+ .400 ₁₀ + 1	+ .10884 ₁₀ + 0	+ .350 ₁₀ + 0	+ .16696 ₁₀ + 0
+ .310 ₁₀ + 2	+ .400 ₁₀ + 1	+ .10571 ₁₀ + 0	+ .338 ₁₀ + 0	+ .16696 ₁₀ + 0
+ .320 ₁₀ + 2	+ .400 ₁₀ + 1	+ .10259 ₁₀ + 0	+ .327 ₁₀ + 0	+ .16696 ₁₀ + 0
+ .330 ₁₀ + 2	+ .400 ₁₀ + 1	+ .99491 ₁₀ - 1	+ .316 ₁₀ + 0	+ .16696 ₁₀ + 0
+ .340 ₁₀ + 2	+ .400 ₁₀ + 1	+ .96423 ₁₀ - 1	+ .305 ₁₀ + 0	+ .16696 ₁₀ + 0
+ .350 ₁₀ + 2	+ .400 ₁₀ + 1	+ .93388 ₁₀ - 1	+ .294 ₁₀ + 0	+ .16696 ₁₀ + 0
+ .360 ₁₀ + 2	+ .400 ₁₀ + 1	+ .90391 ₁₀ - 1	+ .284 ₁₀ + 0	+ .16696 ₁₀ + 0
+ .370 ₁₀ + 2	+ .400 ₁₀ + 1	+ .87436 ₁₀ - 1	+ .274 ₁₀ + 0	+ .16696 ₁₀ + 0
+ .380 ₁₀ + 2	+ .400 ₁₀ + 1	+ .84527 ₁₀ - 1	+ .265 ₁₀ + 0	+ .16696 ₁₀ + 0
+ .390 ₁₀ + 2	+ .400 ₁₀ + 1	+ .81668 ₁₀ - 1	+ .256 ₁₀ + 0	+ .16696 ₁₀ + 0
+ .400 ₁₀ + 2	+ .400 ₁₀ + 1	+ .78861 ₁₀ - 1	+ .247 ₁₀ + 0	+ .16696 ₁₀ + 0
+ .410 ₁₀ + 2	+ .400 ₁₀ + 1	+ .76109 ₁₀ - 1	+ .239 ₁₀ + 0	+ .16696 ₁₀ + 0
+ .420 ₁₀ + 2	+ .400 ₁₀ + 1	+ .73413 ₁₀ - 1	+ .230 ₁₀ + 0	+ .16696 ₁₀ + 0
+ .430 ₁₀ + 2	+ .400 ₁₀ + 1	+ .70777 ₁₀ - 1	+ .222 ₁₀ + 0	+ .16696 ₁₀ + 0
+ .440 ₁₀ + 2	+ .400 ₁₀ + 1	+ .68201 ₁₀ - 1	+ .215 ₁₀ + 0	+ .16696 ₁₀ + 0
+ .450 ₁₀ + 2	+ .400 ₁₀ + 1	+ .65687 ₁₀ - 1	+ .207 ₁₀ + 0	+ .16696 ₁₀ + 0
+ .460 ₁₀ + 2	+ .400 ₁₀ + 1	+ .63235 ₁₀ - 1	+ .200 ₁₀ + 0	+ .16696 ₁₀ + 0
+ .470 ₁₀ + 2	+ .400 ₁₀ + 1	+ .60847 ₁₀ - 1	+ .193 ₁₀ + 0	+ .16696 ₁₀ + 0
+ .480 ₁₀ + 2	+ .400 ₁₀ + 1	+ .58523 ₁₀ - 1	+ .187 ₁₀ + 0	+ .16696 ₁₀ + 0
+ .490 ₁₀ + 2	+ .400 ₁₀ + 1	+ .56264 ₁₀ - 1	+ .180 ₁₀ + 0	+ .16696 ₁₀ + 0
+ .500 ₁₀ + 2	+ .400 ₁₀ + 1	+ .54068 ₁₀ - 1	+ .174 ₁₀ + 0	+ .16696 ₁₀ + 0
+ .510 ₁₀ + 2	+ .400 ₁₀ + 1	+ .51937 ₁₀ - 1	+ .168 ₁₀ + 0	+ .16696 ₁₀ + 0
+ .520 ₁₀ + 2	+ .400 ₁₀ + 1	+ .49869 ₁₀ - 1	+ .162 ₁₀ + 0	+ .16696 ₁₀ + 0
+ .530 ₁₀ + 2	+ .400 ₁₀ + 1	+ .47866 ₁₀ - 1	+ .157 ₁₀ + 0	+ .16696 ₁₀ + 0
+ .540 ₁₀ + 2	+ .400 ₁₀ + 1	+ .45925 ₁₀ - 1	+ .151 ₁₀ + 0	+ .16696 ₁₀ + 0
+ .550 ₁₀ + 2	+ .400 ₁₀ + 1	+ .44046 ₁₀ - 1	+ .146 ₁₀ + 0	+ .16696 ₁₀ + 0
+ .560 ₁₀ + 2	+ .400 ₁₀ + 1	+ .42230 ₁₀ - 1	+ .141 ₁₀ + 0	+ .16696 ₁₀ + 0
+ .570 ₁₀ + 2	+ .400 ₁₀ + 1	+ .40473 ₁₀ - 1	+ .136 ₁₀ + 0	+ .16696 ₁₀ + 0

VERTAALTIJD 10
EXECUTIETIJD 20

AANTAL OVER STROOM 1 GELEZEN GETALLEN 5
LAATST OVER STROOM 1 GELEZEN GETAL +150

AANTAL OVER STROOM 2 GELEZEN GETALLEN 0

	<i>n</i>	<i>K</i>	<i>pred</i>	<i>pe</i>	<i>pdek</i>					
+.148 ₁₀ + 3	+	.500 ₁₀ + 1	+.13654 ₁₀ - 9	+.182 ₁₀ - 6	+.20516 ₁₀ - 2	+.860 ₁₀ + 2	+.200 ₁₀ + 2			
+.149 ₁₀ + 3	+	.500 ₁₀ + 1	+.11914 ₁₀ - 9	+.164 ₁₀ - 6	+.20516 ₁₀ - 2	+.860 ₁₀ + 2	+.200 ₁₀ + 2			
+.150 ₁₀ + 3	+	.500 ₁₀ + 1	+.10396 ₁₀ - 9	+.148 ₁₀ - 6	+.20516 ₁₀ - 2	+.860 ₁₀ + 2	+.200 ₁₀ + 2			

$P=P_2$

n	K	P_{red}	P_c	P_{dek}
+ .880 ₁₀ + 2	+ .500 ₁₀ + 1	+ .39804 ₁₀ - 6	+ .984 ₁₀ - 4	+ .20516 ₁₀ - 2
+ .890 ₁₀ + 2	+ .500 ₁₀ + 1	+ .35005 ₁₀ - 6	+ .886 ₁₀ - 4	+ .20516 ₁₀ - 2
+ .900 ₁₀ + 2	+ .500 ₁₀ + 1	+ .30778 ₁₀ - 6	+ .798 ₁₀ - 4	+ .20516 ₁₀ - 2
+ .910 ₁₀ + 2	+ .500 ₁₀ + 1	+ .27056 ₁₀ - 6	+ .718 ₁₀ - 4	+ .20516 ₁₀ - 2
+ .920 ₁₀ + 2	+ .500 ₁₀ + 1	+ .23779 ₁₀ - 6	+ .647 ₁₀ - 4	+ .20516 ₁₀ - 2
+ .930 ₁₀ + 2	+ .500 ₁₀ + 1	+ .20895 ₁₀ - 6	+ .582 ₁₀ - 4	+ .20516 ₁₀ - 2
+ .940 ₁₀ + 2	+ .500 ₁₀ + 1	+ .18357 ₁₀ - 6	+ .524 ₁₀ - 4	+ .20516 ₁₀ - 2
+ .950 ₁₀ + 2	+ .500 ₁₀ + 1	+ .16124 ₁₀ - 6	+ .472 ₁₀ - 4	+ .20516 ₁₀ - 2
+ .960 ₁₀ + 2	+ .500 ₁₀ + 1	+ .14160 ₁₀ - 6	+ .425 ₁₀ - 4	+ .20516 ₁₀ - 2
+ .970 ₁₀ + 2	+ .500 ₁₀ + 1	+ .12433 ₁₀ - 6	+ .383 ₁₀ - 4	+ .20516 ₁₀ - 2
+ .980 ₁₀ + 2	+ .500 ₁₀ + 1	+ .10915 ₁₀ - 6	+ .345 ₁₀ - 4	+ .20516 ₁₀ - 2
+ .990 ₁₀ + 2	+ .500 ₁₀ + 1	+ .95806 ₁₀ - 7	+ .310 ₁₀ - 4	+ .20516 ₁₀ - 2
+ .100 ₁₀ + 3	+ .500 ₁₀ + 1	+ .84077 ₁₀ - 7	+ .280 ₁₀ - 4	+ .20516 ₁₀ - 2
+ .101 ₁₀ + 3	+ .500 ₁₀ + 1	+ .73772 ₁₀ - 7	+ .252 ₁₀ - 4	+ .20516 ₁₀ - 2
+ .102 ₁₀ + 3	+ .500 ₁₀ + 1	+ .64719 ₁₀ - 7	+ .227 ₁₀ - 4	+ .20516 ₁₀ - 2
+ .103 ₁₀ + 3	+ .500 ₁₀ + 1	+ .56768 ₁₀ - 7	+ .204 ₁₀ - 4	+ .20516 ₁₀ - 2
+ .104 ₁₀ + 3	+ .500 ₁₀ + 1	+ .49786 ₁₀ - 7	+ .184 ₁₀ - 4	+ .20516 ₁₀ - 2
+ .105 ₁₀ + 3	+ .500 ₁₀ + 1	+ .43655 ₁₀ - 7	+ .165 ₁₀ - 4	+ .20516 ₁₀ - 2
+ .106 ₁₀ + 3	+ .500 ₁₀ + 1	+ .38274 ₁₀ - 7	+ .149 ₁₀ - 4	+ .20516 ₁₀ - 2
+ .107 ₁₀ + 3	+ .500 ₁₀ + 1	+ .33551 ₁₀ - 7	+ .134 ₁₀ - 4	+ .20516 ₁₀ - 2
+ .108 ₁₀ + 3	+ .500 ₁₀ + 1	+ .29406 ₁₀ - 7	+ .121 ₁₀ - 4	+ .20516 ₁₀ - 2
+ .109 ₁₀ + 3	+ .500 ₁₀ + 1	+ .25770 ₁₀ - 7	+ .109 ₁₀ - 4	+ .20516 ₁₀ - 2
+ .110 ₁₀ + 3	+ .500 ₁₀ + 1	+ .22580 ₁₀ - 7	+ .980 ₁₀ - 5	+ .20516 ₁₀ - 2
+ .111 ₁₀ + 3	+ .500 ₁₀ + 1	+ .19782 ₁₀ - 7	+ .882 ₁₀ - 5	+ .20516 ₁₀ - 2
+ .112 ₁₀ + 3	+ .500 ₁₀ + 1	+ .17328 ₁₀ - 7	+ .794 ₁₀ - 5	+ .20516 ₁₀ - 2
+ .113 ₁₀ + 3	+ .500 ₁₀ + 1	+ .15177 ₁₀ - 7	+ .715 ₁₀ - 5	+ .20516 ₁₀ - 2
+ .114 ₁₀ + 3	+ .500 ₁₀ + 1	+ .13291 ₁₀ - 7	+ .644 ₁₀ - 5	+ .20516 ₁₀ - 2
+ .115 ₁₀ + 3	+ .500 ₁₀ + 1	+ .11638 ₁₀ - 7	+ .580 ₁₀ - 5	+ .20516 ₁₀ - 2
+ .116 ₁₀ + 3	+ .500 ₁₀ + 1	+ .10189 ₁₀ - 7	+ .522 ₁₀ - 5	+ .20516 ₁₀ - 2
+ .117 ₁₀ + 3	+ .500 ₁₀ + 1	+ .89190 ₁₀ - 8	+ .470 ₁₀ - 5	+ .20516 ₁₀ - 2
+ .118 ₁₀ + 3	+ .500 ₁₀ + 1	+ .78066 ₁₀ - 8	+ .423 ₁₀ - 5	+ .20516 ₁₀ - 2
+ .119 ₁₀ + 3	+ .500 ₁₀ + 1	+ .68321 ₁₀ - 8	+ .381 ₁₀ - 5	+ .20516 ₁₀ - 2
+ .120 ₁₀ + 3	+ .500 ₁₀ + 1	+ .59785 ₁₀ - 8	+ .343 ₁₀ - 5	+ .20516 ₁₀ - 2
+ .121 ₁₀ + 3	+ .500 ₁₀ + 1	+ .52310 ₁₀ - 8	+ .309 ₁₀ - 5	+ .20516 ₁₀ - 2
+ .122 ₁₀ + 3	+ .500 ₁₀ + 1	+ .45763 ₁₀ - 8	+ .278 ₁₀ - 5	+ .20516 ₁₀ - 2
+ .123 ₁₀ + 3	+ .500 ₁₀ + 1	+ .40032 ₁₀ - 8	+ .251 ₁₀ - 5	+ .20516 ₁₀ - 2
+ .124 ₁₀ + 3	+ .500 ₁₀ + 1	+ .35014 ₁₀ - 8	+ .226 ₁₀ - 5	+ .20516 ₁₀ - 2
+ .125 ₁₀ + 3	+ .500 ₁₀ + 1	+ .30622 ₁₀ - 8	+ .203 ₁₀ - 5	+ .20516 ₁₀ - 2
+ .126 ₁₀ + 3	+ .500 ₁₀ + 1	+ .26777 ₁₀ - 8	+ .183 ₁₀ - 5	+ .20516 ₁₀ - 2
+ .127 ₁₀ + 3	+ .500 ₁₀ + 1	+ .23413 ₁₀ - 8	+ .165 ₁₀ - 5	+ .20516 ₁₀ - 2
+ .128 ₁₀ + 3	+ .500 ₁₀ + 1	+ .20469 ₁₀ - 8	+ .148 ₁₀ - 5	+ .20516 ₁₀ - 2
+ .129 ₁₀ + 3	+ .500 ₁₀ + 1	+ .17894 ₁₀ - 8	+ .134 ₁₀ - 5	+ .20516 ₁₀ - 2
+ .130 ₁₀ + 3	+ .500 ₁₀ + 1	+ .15641 ₁₀ - 8	+ .120 ₁₀ - 5	+ .20516 ₁₀ - 2
+ .131 ₁₀ + 3	+ .500 ₁₀ + 1	+ .13670 ₁₀ - 8	+ .108 ₁₀ - 5	+ .20516 ₁₀ - 2
+ .132 ₁₀ + 3	+ .500 ₁₀ + 1	+ .11947 ₁₀ - 8	+ .976 ₁₀ - 6	+ .20516 ₁₀ - 2
+ .133 ₁₀ + 3	+ .500 ₁₀ + 1	+ .10439 ₁₀ - 8	+ .878 ₁₀ - 6	+ .20516 ₁₀ - 2
+ .134 ₁₀ + 3	+ .500 ₁₀ + 1	+ .91211 ₁₀ - 9	+ .791 ₁₀ - 6	+ .20516 ₁₀ - 2
+ .135 ₁₀ + 3	+ .500 ₁₀ + 1	+ .79687 ₁₀ - 9	+ .712 ₁₀ - 6	+ .20516 ₁₀ - 2
+ .136 ₁₀ + 3	+ .500 ₁₀ + 1	+ .69612 ₁₀ - 9	+ .641 ₁₀ - 6	+ .20516 ₁₀ - 2
+ .137 ₁₀ + 3	+ .500 ₁₀ + 1	+ .60806 ₁₀ - 9	+ .578 ₁₀ - 6	+ .20516 ₁₀ - 2
+ .138 ₁₀ + 3	+ .500 ₁₀ + 1	+ .53108 ₁₀ - 9	+ .520 ₁₀ - 6	+ .20516 ₁₀ - 2
+ .139 ₁₀ + 3	+ .500 ₁₀ + 1	+ .46381 ₁₀ - 9	+ .468 ₁₀ - 6	+ .20516 ₁₀ - 2
+ .140 ₁₀ + 3	+ .500 ₁₀ + 1	+ .40502 ₁₀ - 9	+ .422 ₁₀ - 6	+ .20516 ₁₀ - 2
+ .141 ₁₀ + 3	+ .500 ₁₀ + 1	+ .35366 ₁₀ - 9	+ .380 ₁₀ - 6	+ .20516 ₁₀ - 2
+ .142 ₁₀ + 3	+ .500 ₁₀ + 1	+ .30078 ₁₀ - 9	+ .342 ₁₀ - 6	+ .20516 ₁₀ - 2
+ .143 ₁₀ + 3	+ .500 ₁₀ + 1	+ .26957 ₁₀ - 9	+ .308 ₁₀ - 6	+ .20516 ₁₀ - 2
+ .144 ₁₀ + 3	+ .500 ₁₀ + 1	+ .23532 ₁₀ - 9	+ .277 ₁₀ - 6	+ .20516 ₁₀ - 2
+ .145 ₁₀ + 3	+ .500 ₁₀ + 1	+ .20541 ₁₀ - 9	+ .250 ₁₀ - 6	+ .20516 ₁₀ - 2
+ .146 ₁₀ + 3	+ .500 ₁₀ + 1	+ .17928 ₁₀ - 9	+ .225 ₁₀ - 6	+ .20516 ₁₀ - 2

	<i>n</i>	<i>m</i>	<i>N</i>	<i>pred</i>	<i>pc</i>					
VERBETERING	+.140 ₁₀ + 2	+.200 ₁₀ + 1	+.100 ₁₀ + 1	+.770 ₁₀ + 0	+.741 ₁₀ + 0	+.999 ₁₀ + 0	+.100 ₁₀ + 1			
VERBETERING	+.150 ₁₀ + 2	+.200 ₁₀ + 1	+.100 ₁₀ + 1	+.754 ₁₀ + 0	+.726 ₁₀ + 0	+.999 ₁₀ + 0	+.100 ₁₀ + 1			
VERBETERING	+.160 ₁₀ + 2	+.200 ₁₀ + 1	+.100 ₁₀ + 1	+.738 ₁₀ + 0	+.712 ₁₀ + 0	+.999 ₁₀ + 0	+.100 ₁₀ + 1			
VERBETERING	+.170 ₁₀ + 2	+.200 ₁₀ + 1	+.100 ₁₀ + 1	+.722 ₁₀ + 0	+.698 ₁₀ + 0	+.999 ₁₀ + 0	+.100 ₁₀ + 1			
VERBETERING	+.180 ₁₀ + 2	+.200 ₁₀ + 1	+.100 ₁₀ + 1	+.705 ₁₀ + 0	+.684 ₁₀ + 0	+.999 ₁₀ + 0	+.100 ₁₀ + 1			
VERBETERING	+.190 ₁₀ + 2	+.200 ₁₀ + 1	+.100 ₁₀ + 1	+.689 ₁₀ + 0	+.671 ₁₀ + 0	+.999 ₁₀ + 0	+.100 ₁₀ + 1			
VERBETERING	+.200 ₁₀ + 2	+.200 ₁₀ + 1	+.100 ₁₀ + 1	+.672 ₁₀ + 0	+.657 ₁₀ + 0	+.999 ₁₀ + 0	+.100 ₁₀ + 1			
VERBETERING	+.210 ₁₀ + 2	+.200 ₁₀ + 1	+.100 ₁₀ + 1	+.656 ₁₀ + 0	+.644 ₁₀ + 0	+.999 ₁₀ + 0	+.100 ₁₀ + 1			
VERBETERING	+.220 ₁₀ + 2	+.200 ₁₀ + 1	+.100 ₁₀ + 1	+.640 ₁₀ + 0	+.632 ₁₀ + 0	+.999 ₁₀ + 0	+.100 ₁₀ + 1			
VERBETERING	+.230 ₁₀ + 2	+.200 ₁₀ + 1	+.100 ₁₀ + 1	+.624 ₁₀ + 0	+.619 ₁₀ + 0	+.999 ₁₀ + 0	+.100 ₁₀ + 1			
VERBETERING	+.240 ₁₀ + 2	+.200 ₁₀ + 1	+.100 ₁₀ + 1	+.607 ₁₀ + 0	+.607 ₁₀ + 0	+.999 ₁₀ + 0	+.100 ₁₀ + 1			
VERBETERING	+.300 ₁₀ + 1	+.300 ₁₀ + 1	+.100 ₁₀ + 1	+.891 ₁₀ + 0	+.887 ₁₀ + 0	+.997 ₁₀ + 0	+.100 ₁₀ + 1			
VERBETERING	+.400 ₁₀ + 1	+.300 ₁₀ + 1	+.100 ₁₀ + 1	+.875 ₁₀ + 0	+.861 ₁₀ + 0	+.997 ₁₀ + 0	+.100 ₁₀ + 1			
VERBETERING	+.500 ₁₀ + 1	+.300 ₁₀ + 1	+.100 ₁₀ + 1	+.856 ₁₀ + 0	+.835 ₁₀ + 0	+.997 ₁₀ + 0	+.100 ₁₀ + 1			
VERBETERING	+.600 ₁₀ + 1	+.300 ₁₀ + 1	+.100 ₁₀ + 1	+.837 ₁₀ + 0	+.811 ₁₀ + 0	+.997 ₁₀ + 0	+.100 ₁₀ + 1			
VERBETERING	+.700 ₁₀ + 1	+.300 ₁₀ + 1	+.100 ₁₀ + 1	+.815 ₁₀ + 0	+.787 ₁₀ + 0	+.997 ₁₀ + 0	+.100 ₁₀ + 1			
VERBETERING	+.800 ₁₀ + 1	+.300 ₁₀ + 1	+.100 ₁₀ + 1	+.793 ₁₀ + 0	+.764 ₁₀ + 0	+.997 ₁₀ + 0	+.100 ₁₀ + 1			
VERBETERING	+.900 ₁₀ + 1	+.300 ₁₀ + 1	+.100 ₁₀ + 1	+.770 ₁₀ + 0	+.741 ₁₀ + 0	+.997 ₁₀ + 0	+.100 ₁₀ + 1			
VERBETERING	+.100 ₁₀ + 2	+.300 ₁₀ + 1	+.100 ₁₀ + 1	+.746 ₁₀ + 0	+.719 ₁₀ + 0	+.997 ₁₀ + 0	+.100 ₁₀ + 1			
VERBETERING	+.110 ₁₀ + 2	+.300 ₁₀ + 1	+.100 ₁₀ + 1	+.722 ₁₀ + 0	+.698 ₁₀ + 0	+.997 ₁₀ + 0	+.100 ₁₀ + 1			
VERBETERING	+.120 ₁₀ + 2	+.300 ₁₀ + 1	+.100 ₁₀ + 1	+.697 ₁₀ + 0	+.677 ₁₀ + 0	+.997 ₁₀ + 0	+.100 ₁₀ + 1			
VERBETERING	+.130 ₁₀ + 2	+.300 ₁₀ + 1	+.100 ₁₀ + 1	+.672 ₁₀ + 0	+.657 ₁₀ + 0	+.997 ₁₀ + 0	+.100 ₁₀ + 1			
VERBETERING	+.140 ₁₀ + 2	+.300 ₁₀ + 1	+.100 ₁₀ + 1	+.648 ₁₀ + 0	+.638 ₁₀ + 0	+.997 ₁₀ + 0	+.100 ₁₀ + 1			
VERBETERING	+.150 ₁₀ + 2	+.300 ₁₀ + 1	+.100 ₁₀ + 1	+.624 ₁₀ + 0	+.619 ₁₀ + 0	+.997 ₁₀ + 0	+.100 ₁₀ + 1			
VERBETERING	+.100 ₁₀ + 1	+.400 ₁₀ + 1	+.100 ₁₀ + 1	+.908 ₁₀ + 0	+.923 ₁₀ + 0	+.996 ₁₀ + 0	+.100 ₁₀ + 1			
VERBETERING	+.200 ₁₀ + 1	+.400 ₁₀ + 1	+.100 ₁₀ + 1	+.891 ₁₀ + 0	+.887 ₁₀ + 0	+.996 ₁₀ + 0	+.100 ₁₀ + 1			
VERBETERING	+.300 ₁₀ + 1	+.400 ₁₀ + 1	+.100 ₁₀ + 1	+.869 ₁₀ + 0	+.852 ₁₀ + 0	+.996 ₁₀ + 0	+.100 ₁₀ + 1			
VERBETERING	+.400 ₁₀ + 1	+.400 ₁₀ + 1	+.100 ₁₀ + 1	+.843 ₁₀ + 0	+.819 ₁₀ + 0	+.996 ₁₀ + 0	+.100 ₁₀ + 1			
VERBETERING	+.500 ₁₀ + 1	+.400 ₁₀ + 1	+.100 ₁₀ + 1	+.815 ₁₀ + 0	+.787 ₁₀ + 0	+.996 ₁₀ + 0	+.100 ₁₀ + 1			
VERBETERING	+.600 ₁₀ + 1	+.400 ₁₀ + 1	+.100 ₁₀ + 1	+.785 ₁₀ + 0	+.756 ₁₀ + 0	+.996 ₁₀ + 0	+.100 ₁₀ + 1			

```

1 BEGIN COMMENT BEREKENING OPBRENGST-VERBETERING VAN CELLULAIRE NETWERKEN, (WORST-CASE BEREKENING),
2   N = AANTAL INPUTS CELL. NETWERK
3   M = AANTAL OUTPUTS CELL. NETWERK
4   M = AANTAL CASCADES HOOFDNETWERK
5   1 - P IS FOUT KANS CEL;
6   INIEGER NMAX, MMAX, NMAX, T, N, M, N, J, V, I, K;
7   REAL P, P8N2, PM, PNM, P2NM, PMN, PRED, PC, NSUBF, SOM, KFAK, NOVK, P2MN, P3MN, PN;
8   J:= 0;
9 B:  NMAX:= READ; MMAX:= READ; NMAX:= READ;
10   T:= READ;
11   P:= EXP(LN(0.05)/T); FLOT(3, 2, P); NLOR; NLOR;
12   FOR N:= 1 STEP 1 UNTIL NMAX DO
13     BEGIN P8N2:= P↑8 * (N↑2);
14       FOR M:= 1 STEP 1 UNTIL MMAX DO
15         BEGIN PM:= P↑M;
16           PNM:= P↑(N * M); P2NM:= PNM * PNM;
17           PMN:= 1; PN:= 1; SOM:= P2NM * PNM;
18           FOR K:= 1 STEP 1 UNTIL M DO
19             BEGIN NSUBF:= 1; KFAK:= 1; FOR V:= N-K+1 STEP 1 UNTIL N DO NSUBF:= NSUBF * V;
20               FOR I:= 1 STEP 1 UNTIL K DO KFAK:= KFAK * I; NOVK:= (NSUBF/KFAK);
21               SOM:= SOM + (3↑K)* NOVK * ((1 - PM)↑K) * (PM↑(3 * N - K));
22             END;
23           FOR N:= 1 STEP 1 UNTIL NMAX DO
24             BEGIN PMN:= PNM * PM; PN:= P * PN;
25               IF (PN * PM) < 0.5 THEN GOIO A;
26               P2MN:= PNM * PNM; P3MN:= P2MN * PNM;
27               PRED:= (SOM * P3MN + 3*(1 - PMN) * P2MN * P2NM) * P8N2;
28               PC:= PNM * PNM;
29               IF PRED < PC THEN GOIO C;
30               PRINTTEXT(↑VERBETERING↑);
31               GOIO E;
32 C:   IF M ≠ 4 THEN GOIO D;
33 E:   NLOR; SPACE(15); FLOT(3, 2, N); FLOT(3, 2, M);
34       FLOT(3, 2, N); FLOT(3, 2, PRED); FLOT(3, 2, PC); FLOT(3, 2, SOM); FLOT(3, 2, NOVK); NLOR;
35 D:   END;
36 A:
37     END;
38   END; J:= J + 1; IF J = 1 THEN GOIO B;
39 END
40 PROGEND

```

	<i>n</i>	<i>m</i>	<i>N</i>	<i>pred</i>	<i>pe</i>	<i>soin</i>			
+ .990 ₁₀ + 0									
VERBETERING	+ .110 ₁₀ + 2	+ .100 ₁₀ + 1	+ .100 ₁₀ + 1	+ .891 ₁₀ + 0	+ .887 ₁₀ + 0	+ .100 ₁₀ + 1	+ .100 ₁₀ + 1		
VERBETERING	+ .120 ₁₀ + 2	+ .100 ₁₀ + 1	+ .100 ₁₀ + 1	+ .886 ₁₀ + 0	+ .878 ₁₀ + 0	+ .100 ₁₀ + 1	+ .100 ₁₀ + 1		
VERBETERING	+ .130 ₁₀ + 2	+ .100 ₁₀ + 1	+ .100 ₁₀ + 1	+ .880 ₁₀ + 0	+ .870 ₁₀ + 0	+ .100 ₁₀ + 1	+ .100 ₁₀ + 1		
VERBETERING	+ .140 ₁₀ + 2	+ .100 ₁₀ + 1	+ .100 ₁₀ + 1	+ .875 ₁₀ + 0	+ .861 ₁₀ + 0	+ .100 ₁₀ + 1	+ .100 ₁₀ + 1		
VERBETERING	+ .150 ₁₀ + 2	+ .100 ₁₀ + 1	+ .100 ₁₀ + 1	+ .869 ₁₀ + 0	+ .852 ₁₀ + 0	+ .100 ₁₀ + 1	+ .100 ₁₀ + 1		
VERBETERING	+ .160 ₁₀ + 2	+ .100 ₁₀ + 1	+ .100 ₁₀ + 1	+ .863 ₁₀ + 0	+ .844 ₁₀ + 0	+ .100 ₁₀ + 1	+ .100 ₁₀ + 1		
VERBETERING	+ .170 ₁₀ + 2	+ .100 ₁₀ + 1	+ .100 ₁₀ + 1	+ .856 ₁₀ + 0	+ .835 ₁₀ + 0	+ .100 ₁₀ + 1	+ .100 ₁₀ + 1		
VERBETERING	+ .180 ₁₀ + 2	+ .100 ₁₀ + 1	+ .100 ₁₀ + 1	+ .850 ₁₀ + 0	+ .827 ₁₀ + 0	+ .100 ₁₀ + 1	+ .100 ₁₀ + 1		
VERBETERING	+ .190 ₁₀ + 2	+ .100 ₁₀ + 1	+ .100 ₁₀ + 1	+ .843 ₁₀ + 0	+ .819 ₁₀ + 0	+ .100 ₁₀ + 1	+ .100 ₁₀ + 1		
VERBETERING	+ .200 ₁₀ + 2	+ .100 ₁₀ + 1	+ .100 ₁₀ + 1	+ .837 ₁₀ + 0	+ .811 ₁₀ + 0	+ .100 ₁₀ + 1	+ .100 ₁₀ + 1		
VERBETERING	+ .210 ₁₀ + 2	+ .100 ₁₀ + 1	+ .100 ₁₀ + 1	+ .830 ₁₀ + 0	+ .803 ₁₀ + 0	+ .100 ₁₀ + 1	+ .100 ₁₀ + 1		
VERBETERING	+ .220 ₁₀ + 2	+ .100 ₁₀ + 1	+ .100 ₁₀ + 1	+ .823 ₁₀ + 0	+ .795 ₁₀ + 0	+ .100 ₁₀ + 1	+ .100 ₁₀ + 1		
VERBETERING	+ .230 ₁₀ + 2	+ .100 ₁₀ + 1	+ .100 ₁₀ + 1	+ .815 ₁₀ + 0	+ .787 ₁₀ + 0	+ .100 ₁₀ + 1	+ .100 ₁₀ + 1		
VERBETERING	+ .240 ₁₀ + 2	+ .100 ₁₀ + 1	+ .100 ₁₀ + 1	+ .808 ₁₀ + 0	+ .779 ₁₀ + 0	+ .100 ₁₀ + 1	+ .100 ₁₀ + 1		
VERBETERING	+ .250 ₁₀ + 2	+ .100 ₁₀ + 1	+ .100 ₁₀ + 1	+ .800 ₁₀ + 0	+ .771 ₁₀ + 0	+ .100 ₁₀ + 1	+ .100 ₁₀ + 1		
VERBETERING	+ .260 ₁₀ + 2	+ .100 ₁₀ + 1	+ .100 ₁₀ + 1	+ .793 ₁₀ + 0	+ .764 ₁₀ + 0	+ .100 ₁₀ + 1	+ .100 ₁₀ + 1		
VERBETERING	+ .270 ₁₀ + 2	+ .100 ₁₀ + 1	+ .100 ₁₀ + 1	+ .785 ₁₀ + 0	+ .756 ₁₀ + 0	+ .100 ₁₀ + 1	+ .100 ₁₀ + 1		
VERBETERING	+ .280 ₁₀ + 2	+ .100 ₁₀ + 1	+ .100 ₁₀ + 1	+ .777 ₁₀ + 0	+ .749 ₁₀ + 0	+ .100 ₁₀ + 1	+ .100 ₁₀ + 1		
VERBETERING	+ .290 ₁₀ + 2	+ .100 ₁₀ + 1	+ .100 ₁₀ + 1	+ .770 ₁₀ + 0	+ .741 ₁₀ + 0	+ .100 ₁₀ + 1	+ .100 ₁₀ + 1		
VERBETERING	+ .300 ₁₀ + 2	+ .100 ₁₀ + 1	+ .100 ₁₀ + 1	+ .762 ₁₀ + 0	+ .734 ₁₀ + 0	+ .100 ₁₀ + 1	+ .100 ₁₀ + 1		
VERBETERING	+ .500 ₁₀ + 1	+ .200 ₁₀ + 1	+ .100 ₁₀ + 1	+ .891 ₁₀ + 0	+ .887 ₁₀ + 0	+ .999 ₁₀ + 0	+ .100 ₁₀ + 1		
VERBETERING	+ .600 ₁₀ + 1	+ .200 ₁₀ + 1	+ .100 ₁₀ + 1	+ .880 ₁₀ + 0	+ .870 ₁₀ + 0	+ .999 ₁₀ + 0	+ .100 ₁₀ + 1		
VERBETERING	+ .700 ₁₀ + 1	+ .200 ₁₀ + 1	+ .100 ₁₀ + 1	+ .869 ₁₀ + 0	+ .852 ₁₀ + 0	+ .999 ₁₀ + 0	+ .100 ₁₀ + 1		
VERBETERING	+ .800 ₁₀ + 1	+ .200 ₁₀ + 1	+ .100 ₁₀ + 1	+ .856 ₁₀ + 0	+ .835 ₁₀ + 0	+ .999 ₁₀ + 0	+ .100 ₁₀ + 1		
VERBETERING	+ .900 ₁₀ + 1	+ .200 ₁₀ + 1	+ .100 ₁₀ + 1	+ .843 ₁₀ + 0	+ .819 ₁₀ + 0	+ .999 ₁₀ + 0	+ .100 ₁₀ + 1		
VERBETERING	+ .100 ₁₀ + 2	+ .200 ₁₀ + 1	+ .100 ₁₀ + 1	+ .830 ₁₀ + 0	+ .803 ₁₀ + 0	+ .999 ₁₀ + 0	+ .100 ₁₀ + 1		
VERBETERING	+ .110 ₁₀ + 2	+ .200 ₁₀ + 1	+ .100 ₁₀ + 1	+ .815 ₁₀ + 0	+ .787 ₁₀ + 0	+ .999 ₁₀ + 0	+ .100 ₁₀ + 1		
VERBETERING	+ .120 ₁₀ + 2	+ .200 ₁₀ + 1	+ .100 ₁₀ + 1	+ .800 ₁₀ + 0	+ .771 ₁₀ + 0	+ .999 ₁₀ + 0	+ .100 ₁₀ + 1		
VERBETERING	+ .130 ₁₀ + 2	+ .200 ₁₀ + 1	+ .100 ₁₀ + 1	+ .785 ₁₀ + 0	+ .756 ₁₀ + 0	+ .999 ₁₀ + 0	+ .100 ₁₀ + 1		

<i>n</i>	<i>m</i>	<i>N</i>	<i>pred</i>	<i>pc</i>
+ .300 ₁₀ + 1	+ .400 ₁₀ + 1	+ .200 ₁₀ + 1	+ .668 ₁₀ + 0	+ .819 ₁₀ + 0
+ .400 ₁₀ + 1	+ .400 ₁₀ + 1	+ .200 ₁₀ + 1	+ .645 ₁₀ + 0	+ .787 ₁₀ + 0
+ .500 ₁₀ + 1	+ .400 ₁₀ + 1	+ .200 ₁₀ + 1	+ .621 ₁₀ + 0	+ .756 ₁₀ + 0
+ .600 ₁₀ + 1	+ .400 ₁₀ + 1	+ .200 ₁₀ + 1	+ .596 ₁₀ + 0	+ .726 ₁₀ + 0
+ .700 ₁₀ + 1	+ .400 ₁₀ + 1	+ .200 ₁₀ + 1	+ .570 ₁₀ + 0	+ .698 ₁₀ + 0
+ .800 ₁₀ + 1	+ .400 ₁₀ + 1	+ .200 ₁₀ + 1	+ .544 ₁₀ + 0	+ .671 ₁₀ + 0
+ .900 ₁₀ + 1	+ .400 ₁₀ + 1	+ .200 ₁₀ + 1	+ .518 ₁₀ + 0	+ .644 ₁₀ + 0
+ .100 ₁₀ + 2	+ .400 ₁₀ + 1	+ .200 ₁₀ + 1	+ .492 ₁₀ + 0	+ .619 ₁₀ + 0
+ .110 ₁₀ + 2	+ .400 ₁₀ + 1	+ .200 ₁₀ + 1	+ .467 ₁₀ + 0	+ .595 ₁₀ + 0
+ .120 ₁₀ + 2	+ .400 ₁₀ + 1	+ .200 ₁₀ + 1	+ .442 ₁₀ + 0	+ .572 ₁₀ + 0
+ .130 ₁₀ + 2	+ .400 ₁₀ + 1	+ .200 ₁₀ + 1	+ .418 ₁₀ + 0	+ .549 ₁₀ + 0
+ .140 ₁₀ + 2	+ .400 ₁₀ + 1	+ .200 ₁₀ + 1	+ .395 ₁₀ + 0	+ .528 ₁₀ + 0
+ .150 ₁₀ + 2	+ .400 ₁₀ + 1	+ .200 ₁₀ + 1	+ .372 ₁₀ + 0	+ .507 ₁₀ + 0
+ .160 ₁₀ + 2	+ .400 ₁₀ + 1	+ .200 ₁₀ + 1	+ .350 ₁₀ + 0	+ .487 ₁₀ + 0
+ .170 ₁₀ + 2	+ .400 ₁₀ + 1	+ .200 ₁₀ + 1	+ .329 ₁₀ + 0	+ .468 ₁₀ + 0
+ .180 ₁₀ + 2	+ .400 ₁₀ + 1	+ .200 ₁₀ + 1	+ .309 ₁₀ + 0	+ .450 ₁₀ + 0
+ .190 ₁₀ + 2	+ .400 ₁₀ + 1	+ .200 ₁₀ + 1	+ .290 ₁₀ + 0	+ .432 ₁₀ + 0
+ .200 ₁₀ + 2	+ .400 ₁₀ + 1	+ .200 ₁₀ + 1	+ .272 ₁₀ + 0	+ .415 ₁₀ + 0
+ .210 ₁₀ + 2	+ .400 ₁₀ + 1	+ .200 ₁₀ + 1	+ .255 ₁₀ + 0	+ .399 ₁₀ + 0
+ .220 ₁₀ + 2	+ .400 ₁₀ + 1	+ .200 ₁₀ + 1	+ .239 ₁₀ + 0	+ .383 ₁₀ + 0
+ .230 ₁₀ + 2	+ .400 ₁₀ + 1	+ .200 ₁₀ + 1	+ .224 ₁₀ + 0	+ .368 ₁₀ + 0
+ .240 ₁₀ + 2	+ .400 ₁₀ + 1	+ .200 ₁₀ + 1	+ .209 ₁₀ + 0	+ .354 ₁₀ + 0
+ .250 ₁₀ + 2	+ .400 ₁₀ + 1	+ .200 ₁₀ + 1	+ .195 ₁₀ + 0	+ .340 ₁₀ + 0
+ .260 ₁₀ + 2	+ .400 ₁₀ + 1	+ .200 ₁₀ + 1	+ .182 ₁₀ + 0	+ .327 ₁₀ + 0
+ .270 ₁₀ + 2	+ .400 ₁₀ + 1	+ .200 ₁₀ + 1	+ .170 ₁₀ + 0	+ .314 ₁₀ + 0
+ .280 ₁₀ + 2	+ .400 ₁₀ + 1	+ .200 ₁₀ + 1	+ .159 ₁₀ + 0	+ .302 ₁₀ + 0
+ .290 ₁₀ + 2	+ .400 ₁₀ + 1	+ .200 ₁₀ + 1	+ .148 ₁₀ + 0	+ .290 ₁₀ + 0
+ .300 ₁₀ + 2	+ .400 ₁₀ + 1	+ .200 ₁₀ + 1	+ .138 ₁₀ + 0	+ .279 ₁₀ + 0
+ .100 ₁₀ + 1	+ .400 ₁₀ + 1	+ .300 ₁₀ + 1	+ .468 ₁₀ + 0	+ .852 ₁₀ + 0
+ .200 ₁₀ + 1	+ .400 ₁₀ + 1	+ .300 ₁₀ + 1	+ .454 ₁₀ + 0	+ .819 ₁₀ + 0

	<i>n</i>	<i>m</i>	<i>N</i>	<i>pred</i>	<i>Pc</i>				
VERBETERING	+ .200 ₁₀ + 1	+ .500 ₁₀ + 1	+ .100 ₁₀ + 1	+ .648 ₁₀ + 0	+ .638 ₁₀ + 0	+ .993 ₁₀ + 0	+ .100 ₁₀ + 1		
VERBETERING	+ .900 ₁₀ + 1	+ .500 ₁₀ + 1	+ .100 ₁₀ + 1	+ .607 ₁₀ + 0	+ .607 ₁₀ + 0	+ .993 ₁₀ + 0	+ .100 ₁₀ + 1		
VERBETERING	+ .100 ₁₀ + 1	+ .600 ₁₀ + 1	+ .100 ₁₀ + 1	+ .891 ₁₀ + 0	+ .887 ₁₀ + 0	+ .990 ₁₀ + 0	+ .100 ₁₀ + 1		
VERBETERING	+ .200 ₁₀ + 1	+ .600 ₁₀ + 1	+ .100 ₁₀ + 1	+ .856 ₁₀ + 0	+ .835 ₁₀ + 0	+ .990 ₁₀ + 0	+ .100 ₁₀ + 1		
VERBETERING	+ .300 ₁₀ + 1	+ .600 ₁₀ + 1	+ .100 ₁₀ + 1	+ .815 ₁₀ + 0	+ .787 ₁₀ + 0	+ .990 ₁₀ + 0	+ .100 ₁₀ + 1		
VERBETERING	+ .400 ₁₀ + 1	+ .600 ₁₀ + 1	+ .100 ₁₀ + 1	+ .770 ₁₀ + 0	+ .741 ₁₀ + 0	+ .990 ₁₀ + 0	+ .100 ₁₀ + 1		
VERBETERING	+ .500 ₁₀ + 1	+ .600 ₁₀ + 1	+ .100 ₁₀ + 1	+ .722 ₁₀ + 0	+ .698 ₁₀ + 0	+ .990 ₁₀ + 0	+ .100 ₁₀ + 1		
VERBETERING	+ .600 ₁₀ + 1	+ .600 ₁₀ + 1	+ .100 ₁₀ + 1	+ .672 ₁₀ + 0	+ .657 ₁₀ + 0	+ .990 ₁₀ + 0	+ .100 ₁₀ + 1		
VERBETERING	+ .700 ₁₀ + 1	+ .600 ₁₀ + 1	+ .100 ₁₀ + 1	+ .624 ₁₀ + 0	+ .619 ₁₀ + 0	+ .990 ₁₀ + 0	+ .100 ₁₀ + 1		
VERBETERING	+ .100 ₁₀ + 1	+ .700 ₁₀ + 1	+ .100 ₁₀ + 1	+ .880 ₁₀ + 0	+ .870 ₁₀ + 0	+ .987 ₁₀ + 0	+ .100 ₁₀ + 1		
VERBETERING	+ .200 ₁₀ + 1	+ .700 ₁₀ + 1	+ .100 ₁₀ + 1	+ .837 ₁₀ + 0	+ .811 ₁₀ + 0	+ .987 ₁₀ + 0	+ .100 ₁₀ + 1		
VERBETERING	+ .300 ₁₀ + 1	+ .700 ₁₀ + 1	+ .100 ₁₀ + 1	+ .785 ₁₀ + 0	+ .756 ₁₀ + 0	+ .987 ₁₀ + 0	+ .100 ₁₀ + 1		
VERBETERING	+ .400 ₁₀ + 1	+ .700 ₁₀ + 1	+ .100 ₁₀ + 1	+ .730 ₁₀ + 0	+ .705 ₁₀ + 0	+ .987 ₁₀ + 0	+ .100 ₁₀ + 1		
VERBETERING	+ .500 ₁₀ + 1	+ .700 ₁₀ + 1	+ .100 ₁₀ + 1	+ .672 ₁₀ + 0	+ .657 ₁₀ + 0	+ .987 ₁₀ + 0	+ .100 ₁₀ + 1		
VERBETERING	+ .600 ₁₀ + 1	+ .700 ₁₀ + 1	+ .100 ₁₀ + 1	+ .616 ₁₀ + 0	+ .613 ₁₀ + 0	+ .987 ₁₀ + 0	+ .100 ₁₀ + 1		
VERBETERING	+ .100 ₁₀ + 1	+ .800 ₁₀ + 1	+ .100 ₁₀ + 1	+ .869 ₁₀ + 0	+ .852 ₁₀ + 0	+ .983 ₁₀ + 0	+ .100 ₁₀ + 1		
VERBETERING	+ .200 ₁₀ + 1	+ .800 ₁₀ + 1	+ .100 ₁₀ + 1	+ .815 ₁₀ + 0	+ .787 ₁₀ + 0	+ .983 ₁₀ + 0	+ .100 ₁₀ + 1		
VERBETERING	+ .300 ₁₀ + 1	+ .800 ₁₀ + 1	+ .100 ₁₀ + 1	+ .754 ₁₀ + 0	+ .726 ₁₀ + 0	+ .983 ₁₀ + 0	+ .100 ₁₀ + 1		
VERBETERING	+ .400 ₁₀ + 1	+ .800 ₁₀ + 1	+ .100 ₁₀ + 1	+ .699 ₁₀ + 0	+ .671 ₁₀ + 0	+ .983 ₁₀ + 0	+ .100 ₁₀ + 1		
VERBETERING	+ .500 ₁₀ + 1	+ .800 ₁₀ + 1	+ .100 ₁₀ + 1	+ .624 ₁₀ + 0	+ .619 ₁₀ + 0	+ .983 ₁₀ + 0	+ .100 ₁₀ + 1		
VERBETERING	+ .100 ₁₀ + 1	+ .900 ₁₀ + 1	+ .100 ₁₀ + 1	+ .856 ₁₀ + 0	+ .835 ₁₀ + 0	+ .979 ₁₀ + 0	+ .100 ₁₀ + 1		
VERBETERING	+ .200 ₁₀ + 1	+ .900 ₁₀ + 1	+ .100 ₁₀ + 1	+ .793 ₁₀ + 0	+ .764 ₁₀ + 0	+ .979 ₁₀ + 0	+ .100 ₁₀ + 1		
VERBETERING	+ .300 ₁₀ + 1	+ .900 ₁₀ + 1	+ .100 ₁₀ + 1	+ .722 ₁₀ + 0	+ .698 ₁₀ + 0	+ .979 ₁₀ + 0	+ .100 ₁₀ + 1		
VERBETERING	+ .400 ₁₀ + 1	+ .900 ₁₀ + 1	+ .100 ₁₀ + 1	+ .648 ₁₀ + 0	+ .638 ₁₀ + 0	+ .979 ₁₀ + 0	+ .100 ₁₀ + 1		
VERBETERING	+ .100 ₁₀ + 1	+ .100 ₁₀ + 2	+ .100 ₁₀ + 1	+ .843 ₁₀ + 0	+ .819 ₁₀ + 0	+ .975 ₁₀ + 0	+ .100 ₁₀ + 1		
VERBETERING	+ .200 ₁₀ + 1	+ .100 ₁₀ + 2	+ .100 ₁₀ + 1	+ .770 ₁₀ + 0	+ .741 ₁₀ + 0	+ .975 ₁₀ + 0	+ .100 ₁₀ + 1		
VERBETERING	+ .300 ₁₀ + 1	+ .100 ₁₀ + 2	+ .100 ₁₀ + 1	+ .689 ₁₀ + 0	+ .671 ₁₀ + 0	+ .975 ₁₀ + 0	+ .100 ₁₀ + 1		
VERBETERING	+ .400 ₁₀ + 1	+ .100 ₁₀ + 2	+ .100 ₁₀ + 1	+ .607 ₁₀ + 0	+ .607 ₁₀ + 0	+ .975 ₁₀ + 0	+ .100 ₁₀ + 1		
	+ .100 ₁₀ + 1	+ .400 ₁₀ + 1	+ .200 ₁₀ + 1	+ .706 ₁₀ + 0	+ .887 ₁₀ + 0	+ .991 ₁₀ + 0	+ .100 ₁₀ + 1		
	+ .200 ₁₀ + 1	+ .400 ₁₀ + 1	+ .200 ₁₀ + 1	+ .688 ₁₀ + 0	+ .852 ₁₀ + 0	+ .991 ₁₀ + 0	+ .100 ₁₀ + 1		

	<i>n</i>	<i>m</i>	<i>N</i>	<i>pred</i>	<i>pc</i>				
VERBETERING	+ .700 ₁₀ + 1	+ .400 ₁₀ + 1	+ .100 ₁₀ + 1	+ .754 ₁₀ + 0	+ .726 ₁₀ + 0	+ .996 ₁₀ + 0	+ .100 ₁₀ + 1		
VERBETERING	+ .800 ₁₀ + 1	+ .400 ₁₀ + 1	+ .100 ₁₀ + 1	+ .722 ₁₀ + 0	+ .698 ₁₀ + 0	+ .996 ₁₀ + 0	+ .100 ₁₀ + 1		
VERBETERING	+ .900 ₁₀ + 1	+ .400 ₁₀ + 1	+ .100 ₁₀ + 1	+ .689 ₁₀ + 0	+ .671 ₁₀ + 0	+ .996 ₁₀ + 0	+ .100 ₁₀ + 1		
VERBETERING	+ .100 ₁₀ + 2	+ .400 ₁₀ + 1	+ .100 ₁₀ + 1	+ .656 ₁₀ + 0	+ .644 ₁₀ + 0	+ .996 ₁₀ + 0	+ .100 ₁₀ + 1		
VERBETERING	+ .110 ₁₀ + 2	+ .400 ₁₀ + 1	+ .100 ₁₀ + 1	+ .624 ₁₀ + 0	+ .619 ₁₀ + 0	+ .996 ₁₀ + 0	+ .100 ₁₀ + 1		
	+ .120 ₁₀ + 2	+ .400 ₁₀ + 1	+ .100 ₁₀ + 1	+ .592 ₁₀ + 0	+ .595 ₁₀ + 0	+ .996 ₁₀ + 0	+ .100 ₁₀ + 1		
	+ .130 ₁₀ + 2	+ .400 ₁₀ + 1	+ .100 ₁₀ + 1	+ .560 ₁₀ + 0	+ .572 ₁₀ + 0	+ .996 ₁₀ + 0	+ .100 ₁₀ + 1		
	+ .140 ₁₀ + 2	+ .400 ₁₀ + 1	+ .100 ₁₀ + 1	+ .530 ₁₀ + 0	+ .549 ₁₀ + 0	+ .996 ₁₀ + 0	+ .100 ₁₀ + 1		
	+ .150 ₁₀ + 2	+ .400 ₁₀ + 1	+ .100 ₁₀ + 1	+ .500 ₁₀ + 0	+ .528 ₁₀ + 0	+ .996 ₁₀ + 0	+ .100 ₁₀ + 1		
	+ .160 ₁₀ + 2	+ .400 ₁₀ + 1	+ .100 ₁₀ + 1	+ .471 ₁₀ + 0	+ .507 ₁₀ + 0	+ .996 ₁₀ + 0	+ .100 ₁₀ + 1		
	+ .170 ₁₀ + 2	+ .400 ₁₀ + 1	+ .100 ₁₀ + 1	+ .444 ₁₀ + 0	+ .487 ₁₀ + 0	+ .996 ₁₀ + 0	+ .100 ₁₀ + 1		
	+ .180 ₁₀ + 2	+ .400 ₁₀ + 1	+ .100 ₁₀ + 1	+ .418 ₁₀ + 0	+ .468 ₁₀ + 0	+ .996 ₁₀ + 0	+ .100 ₁₀ + 1		
	+ .190 ₁₀ + 2	+ .400 ₁₀ + 1	+ .100 ₁₀ + 1	+ .392 ₁₀ + 0	+ .450 ₁₀ + 0	+ .996 ₁₀ + 0	+ .100 ₁₀ + 1		
	+ .200 ₁₀ + 2	+ .400 ₁₀ + 1	+ .100 ₁₀ + 1	+ .368 ₁₀ + 0	+ .432 ₁₀ + 0	+ .996 ₁₀ + 0	+ .100 ₁₀ + 1		
	+ .210 ₁₀ + 2	+ .400 ₁₀ + 1	+ .100 ₁₀ + 1	+ .345 ₁₀ + 0	+ .415 ₁₀ + 0	+ .996 ₁₀ + 0	+ .100 ₁₀ + 1		
	+ .220 ₁₀ + 2	+ .400 ₁₀ + 1	+ .100 ₁₀ + 1	+ .324 ₁₀ + 0	+ .399 ₁₀ + 0	+ .996 ₁₀ + 0	+ .100 ₁₀ + 1		
	+ .230 ₁₀ + 2	+ .400 ₁₀ + 1	+ .100 ₁₀ + 1	+ .303 ₁₀ + 0	+ .383 ₁₀ + 0	+ .996 ₁₀ + 0	+ .100 ₁₀ + 1		
	+ .240 ₁₀ + 2	+ .400 ₁₀ + 1	+ .100 ₁₀ + 1	+ .284 ₁₀ + 0	+ .368 ₁₀ + 0	+ .996 ₁₀ + 0	+ .100 ₁₀ + 1		
	+ .250 ₁₀ + 2	+ .400 ₁₀ + 1	+ .100 ₁₀ + 1	+ .265 ₁₀ + 0	+ .354 ₁₀ + 0	+ .996 ₁₀ + 0	+ .100 ₁₀ + 1		
	+ .260 ₁₀ + 2	+ .400 ₁₀ + 1	+ .100 ₁₀ + 1	+ .248 ₁₀ + 0	+ .340 ₁₀ + 0	+ .996 ₁₀ + 0	+ .100 ₁₀ + 1		
	+ .270 ₁₀ + 2	+ .400 ₁₀ + 1	+ .100 ₁₀ + 1	+ .231 ₁₀ + 0	+ .327 ₁₀ + 0	+ .996 ₁₀ + 0	+ .100 ₁₀ + 1		
	+ .280 ₁₀ + 2	+ .400 ₁₀ + 1	+ .100 ₁₀ + 1	+ .216 ₁₀ + 0	+ .314 ₁₀ + 0	+ .996 ₁₀ + 0	+ .100 ₁₀ + 1		
	+ .290 ₁₀ + 2	+ .400 ₁₀ + 1	+ .100 ₁₀ + 1	+ .201 ₁₀ + 0	+ .302 ₁₀ + 0	+ .996 ₁₀ + 0	+ .100 ₁₀ + 1		
	+ .300 ₁₀ + 2	+ .400 ₁₀ + 1	+ .100 ₁₀ + 1	+ .188 ₁₀ + 0	+ .290 ₁₀ + 0	+ .996 ₁₀ + 0	+ .100 ₁₀ + 1		
VERBETERING	+ .200 ₁₀ + 1	+ .500 ₁₀ + 1	+ .100 ₁₀ + 1	+ .875 ₁₀ + 0	+ .861 ₁₀ + 0	+ .993 ₁₀ + 0	+ .100 ₁₀ + 1		
VERBETERING	+ .300 ₁₀ + 1	+ .500 ₁₀ + 1	+ .100 ₁₀ + 1	+ .843 ₁₀ + 0	+ .819 ₁₀ + 0	+ .993 ₁₀ + 0	+ .100 ₁₀ + 1		
VERBETERING	+ .400 ₁₀ + 1	+ .500 ₁₀ + 1	+ .100 ₁₀ + 1	+ .808 ₁₀ + 0	+ .779 ₁₀ + 0	+ .993 ₁₀ + 0	+ .100 ₁₀ + 1		
VERBETERING	+ .500 ₁₀ + 1	+ .500 ₁₀ + 1	+ .100 ₁₀ + 1	+ .770 ₁₀ + 0	+ .741 ₁₀ + 0	+ .993 ₁₀ + 0	+ .100 ₁₀ + 1		
VERBETERING	+ .600 ₁₀ + 1	+ .500 ₁₀ + 1	+ .100 ₁₀ + 1	+ .730 ₁₀ + 0	+ .705 ₁₀ + 0	+ .993 ₁₀ + 0	+ .100 ₁₀ + 1		
VERBETERING	+ .700 ₁₀ + 1	+ .500 ₁₀ + 1	+ .100 ₁₀ + 1	+ .689 ₁₀ + 0	+ .671 ₁₀ + 0	+ .993 ₁₀ + 0	+ .100 ₁₀ + 1		

<i>n</i>	<i>m</i>	<i>N</i>	<i>pred</i>	<i>pc</i>
+ .300 ₁₀ + 1	+ .400 ₁₀ + 1	+ .500 ₁₀ + 1	+ .117 ₁₀ + 0	+ .726 ₁₀ + 0
+ .400 ₁₀ + 1	+ .400 ₁₀ + 1	+ .500 ₁₀ + 1	+ .111 ₁₀ + 0	+ .698 ₁₀ + 0
+ .500 ₁₀ + 1	+ .400 ₁₀ + 1	+ .500 ₁₀ + 1	+ .106 ₁₀ + 0	+ .671 ₁₀ + 0
+ .600 ₁₀ + 1	+ .400 ₁₀ + 1	+ .500 ₁₀ + 1	+ .101 ₁₀ + 0	+ .644 ₁₀ + 0
+ .700 ₁₀ + 1	+ .400 ₁₀ + 1	+ .500 ₁₀ + 1	+ .954 ₁₀ - 1	+ .619 ₁₀ + 0
+ .800 ₁₀ + 1	+ .400 ₁₀ + 1	+ .500 ₁₀ + 1	+ .903 ₁₀ - 1	+ .595 ₁₀ + 0
+ .900 ₁₀ + 1	+ .400 ₁₀ + 1	+ .500 ₁₀ + 1	+ .853 ₁₀ - 1	+ .572 ₁₀ + 0
+ .100 ₁₀ + 2	+ .400 ₁₀ + 1	+ .500 ₁₀ + 1	+ .805 ₁₀ - 1	+ .549 ₁₀ + 0
+ .110 ₁₀ + 2	+ .400 ₁₀ + 1	+ .500 ₁₀ + 1	+ .758 ₁₀ - 1	+ .528 ₁₀ + 0
+ .120 ₁₀ + 2	+ .400 ₁₀ + 1	+ .500 ₁₀ + 1	+ .714 ₁₀ - 1	+ .507 ₁₀ + 0
+ .130 ₁₀ + 2	+ .400 ₁₀ + 1	+ .500 ₁₀ + 1	+ .671 ₁₀ - 1	+ .487 ₁₀ + 0
+ .140 ₁₀ + 2	+ .400 ₁₀ + 1	+ .500 ₁₀ + 1	+ .630 ₁₀ - 1	+ .468 ₁₀ + 0
+ .150 ₁₀ + 2	+ .400 ₁₀ + 1	+ .500 ₁₀ + 1	+ .591 ₁₀ - 1	+ .450 ₁₀ + 0
+ .160 ₁₀ + 2	+ .400 ₁₀ + 1	+ .500 ₁₀ + 1	+ .554 ₁₀ - 1	+ .432 ₁₀ + 0
+ .170 ₁₀ + 2	+ .400 ₁₀ + 1	+ .500 ₁₀ + 1	+ .519 ₁₀ - 1	+ .415 ₁₀ + 0
+ .180 ₁₀ + 2	+ .400 ₁₀ + 1	+ .500 ₁₀ + 1	+ .486 ₁₀ - 1	+ .399 ₁₀ + 0
+ .190 ₁₀ + 2	+ .400 ₁₀ + 1	+ .500 ₁₀ + 1	+ .455 ₁₀ - 1	+ .383 ₁₀ + 0
+ .200 ₁₀ + 2	+ .400 ₁₀ + 1	+ .500 ₁₀ + 1	+ .425 ₁₀ - 1	+ .368 ₁₀ + 0
+ .210 ₁₀ + 2	+ .400 ₁₀ + 1	+ .500 ₁₀ + 1	+ .397 ₁₀ - 1	+ .354 ₁₀ + 0
+ .220 ₁₀ + 2	+ .400 ₁₀ + 1	+ .500 ₁₀ + 1	+ .370 ₁₀ - 1	+ .340 ₁₀ + 0
+ .230 ₁₀ + 2	+ .400 ₁₀ + 1	+ .500 ₁₀ + 1	+ .346 ₁₀ - 1	+ .327 ₁₀ + 0
+ .240 ₁₀ + 2	+ .400 ₁₀ + 1	+ .500 ₁₀ + 1	+ .322 ₁₀ - 1	+ .314 ₁₀ + 0
+ .250 ₁₀ + 2	+ .400 ₁₀ + 1	+ .500 ₁₀ + 1	+ .300 ₁₀ - 1	+ .302 ₁₀ + 0
+ .260 ₁₀ + 2	+ .400 ₁₀ + 1	+ .500 ₁₀ + 1	+ .280 ₁₀ - 1	+ .290 ₁₀ + 0
+ .270 ₁₀ + 2	+ .400 ₁₀ + 1	+ .500 ₁₀ + 1	+ .261 ₁₀ - 1	+ .279 ₁₀ + 0
+ .280 ₁₀ + 2	+ .400 ₁₀ + 1	+ .500 ₁₀ + 1	+ .243 ₁₀ - 1	+ .268 ₁₀ + 0
+ .290 ₁₀ + 2	+ .400 ₁₀ + 1	+ .500 ₁₀ + 1	+ .226 ₁₀ - 1	+ .257 ₁₀ + 0
+ .300 ₁₀ + 2	+ .400 ₁₀ + 1	+ .500 ₁₀ + 1	+ .210 ₁₀ - 1	+ .247 ₁₀ + 0
+ .100 ₁₀ + 1	+ .400 ₁₀ + 1	+ .600 ₁₀ + 1	+ .525 ₁₀ - 1	+ .756 ₁₀ + 0
+ .200 ₁₀ + 1	+ .400 ₁₀ + 1	+ .600 ₁₀ + 1	+ .500 ₁₀ - 1	+ .726 ₁₀ + 0

<i>n</i>	<i>m</i>	<i>N</i>	<i>pred</i>	<i>pe</i>			
+ .300 ₁₀ + 1	+ .400 ₁₀ + 1	+ .400 ₁₀ + 1	+ .245 ₁₀ + 0	+ .756 ₁₀ + 0	+ .982 ₁₀ + 0	+ .100 ₁₀ + 1	
+ .400 ₁₀ + 1	+ .400 ₁₀ + 1	+ .400 ₁₀ + 1	+ .235 ₁₀ + 0	+ .726 ₁₀ + 0	+ .982 ₁₀ + 0	+ .100 ₁₀ + 1	
+ .500 ₁₀ + 1	+ .400 ₁₀ + 1	+ .400 ₁₀ + 1	+ .224 ₁₀ + 0	+ .698 ₁₀ + 0	+ .982 ₁₀ + 0	+ .100 ₁₀ + 1	
+ .600 ₁₀ + 1	+ .400 ₁₀ + 1	+ .400 ₁₀ + 1	+ .213 ₁₀ + 0	+ .671 ₁₀ + 0	+ .982 ₁₀ + 0	+ .100 ₁₀ + 1	
+ .700 ₁₀ + 1	+ .400 ₁₀ + 1	+ .400 ₁₀ + 1	+ .203 ₁₀ + 0	+ .644 ₁₀ + 0	+ .982 ₁₀ + 0	+ .100 ₁₀ + 1	
+ .800 ₁₀ + 1	+ .400 ₁₀ + 1	+ .400 ₁₀ + 1	+ .193 ₁₀ + 0	+ .619 ₁₀ + 0	+ .982 ₁₀ + 0	+ .100 ₁₀ + 1	
+ .900 ₁₀ + 1	+ .400 ₁₀ + 1	+ .400 ₁₀ + 1	+ .182 ₁₀ + 0	+ .595 ₁₀ + 0	+ .982 ₁₀ + 0	+ .100 ₁₀ + 1	
+ .100 ₁₀ + 2	+ .400 ₁₀ + 1	+ .400 ₁₀ + 1	+ .172 ₁₀ + 0	+ .572 ₁₀ + 0	+ .982 ₁₀ + 0	+ .100 ₁₀ + 1	
+ .110 ₁₀ + 2	+ .400 ₁₀ + 1	+ .400 ₁₀ + 1	+ .163 ₁₀ + 0	+ .549 ₁₀ + 0	+ .982 ₁₀ + 0	+ .100 ₁₀ + 1	
+ .120 ₁₀ + 2	+ .400 ₁₀ + 1	+ .400 ₁₀ + 1	+ .154 ₁₀ + 0	+ .528 ₁₀ + 0	+ .982 ₁₀ + 0	+ .100 ₁₀ + 1	
+ .130 ₁₀ + 2	+ .400 ₁₀ + 1	+ .400 ₁₀ + 1	+ .145 ₁₀ + 0	+ .507 ₁₀ + 0	+ .982 ₁₀ + 0	+ .100 ₁₀ + 1	
+ .140 ₁₀ + 2	+ .400 ₁₀ + 1	+ .400 ₁₀ + 1	+ .136 ₁₀ + 0	+ .487 ₁₀ + 0	+ .982 ₁₀ + 0	+ .100 ₁₀ + 1	
+ .150 ₁₀ + 2	+ .400 ₁₀ + 1	+ .400 ₁₀ + 1	+ .128 ₁₀ + 0	+ .468 ₁₀ + 0	+ .982 ₁₀ + 0	+ .100 ₁₀ + 1	
+ .160 ₁₀ + 2	+ .400 ₁₀ + 1	+ .400 ₁₀ + 1	+ .120 ₁₀ + 0	+ .450 ₁₀ + 0	+ .982 ₁₀ + 0	+ .100 ₁₀ + 1	
+ .170 ₁₀ + 2	+ .400 ₁₀ + 1	+ .400 ₁₀ + 1	+ .113 ₁₀ + 0	+ .432 ₁₀ + 0	+ .982 ₁₀ + 0	+ .100 ₁₀ + 1	
+ .180 ₁₀ + 2	+ .400 ₁₀ + 1	+ .400 ₁₀ + 1	+ .106 ₁₀ + 0	+ .415 ₁₀ + 0	+ .982 ₁₀ + 0	+ .100 ₁₀ + 1	
+ .190 ₁₀ + 2	+ .400 ₁₀ + 1	+ .400 ₁₀ + 1	+ .988 ₁₀ - 1	+ .399 ₁₀ + 0	+ .982 ₁₀ + 0	+ .100 ₁₀ + 1	
+ .200 ₁₀ + 2	+ .400 ₁₀ + 1	+ .400 ₁₀ + 1	+ .925 ₁₀ - 1	+ .383 ₁₀ + 0	+ .982 ₁₀ + 0	+ .100 ₁₀ + 1	
+ .210 ₁₀ + 2	+ .400 ₁₀ + 1	+ .400 ₁₀ + 1	+ .865 ₁₀ - 1	+ .368 ₁₀ + 0	+ .982 ₁₀ + 0	+ .100 ₁₀ + 1	
+ .220 ₁₀ + 2	+ .400 ₁₀ + 1	+ .400 ₁₀ + 1	+ .808 ₁₀ - 1	+ .354 ₁₀ + 0	+ .982 ₁₀ + 0	+ .100 ₁₀ + 1	
+ .230 ₁₀ + 2	+ .400 ₁₀ + 1	+ .400 ₁₀ + 1	+ .755 ₁₀ - 1	+ .340 ₁₀ + 0	+ .982 ₁₀ + 0	+ .100 ₁₀ + 1	
+ .240 ₁₀ + 2	+ .400 ₁₀ + 1	+ .400 ₁₀ + 1	+ .704 ₁₀ - 1	+ .327 ₁₀ + 0	+ .982 ₁₀ + 0	+ .100 ₁₀ + 1	
+ .250 ₁₀ + 2	+ .400 ₁₀ + 1	+ .400 ₁₀ + 1	+ .657 ₁₀ - 1	+ .314 ₁₀ + 0	+ .982 ₁₀ + 0	+ .100 ₁₀ + 1	
+ .260 ₁₀ + 2	+ .400 ₁₀ + 1	+ .400 ₁₀ + 1	+ .613 ₁₀ - 1	+ .302 ₁₀ + 0	+ .982 ₁₀ + 0	+ .100 ₁₀ + 1	
+ .270 ₁₀ + 2	+ .400 ₁₀ + 1	+ .400 ₁₀ + 1	+ .571 ₁₀ - 1	+ .290 ₁₀ + 0	+ .982 ₁₀ + 0	+ .100 ₁₀ + 1	
+ .280 ₁₀ + 2	+ .400 ₁₀ + 1	+ .400 ₁₀ + 1	+ .532 ₁₀ - 1	+ .279 ₁₀ + 0	+ .982 ₁₀ + 0	+ .100 ₁₀ + 1	
+ .290 ₁₀ + 2	+ .400 ₁₀ + 1	+ .400 ₁₀ + 1	+ .495 ₁₀ - 1	+ .268 ₁₀ + 0	+ .982 ₁₀ + 0	+ .100 ₁₀ + 1	
+ .300 ₁₀ + 2	+ .400 ₁₀ + 1	+ .400 ₁₀ + 1	+ .461 ₁₀ - 1	+ .257 ₁₀ + 0	+ .982 ₁₀ + 0	+ .100 ₁₀ + 1	
+ .100 ₁₀ + 1	+ .400 ₁₀ + 1	+ .500 ₁₀ + 1	+ .128 ₁₀ + 0	+ .787 ₁₀ + 0	+ .978 ₁₀ + 0	+ .100 ₁₀ + 1	
+ .200 ₁₀ + 1	+ .400 ₁₀ + 1	+ .500 ₁₀ + 1	+ .122 ₁₀ + 0	+ .756 ₁₀ + 0	+ .978 ₁₀ + 0	+ .100 ₁₀ + 1	

p=P1

<i>n</i>	<i>m</i>	<i>N</i>	<i>pred</i>	<i>pc</i>				
+ .300 ₁₀ + 1	+ .400 ₁₀ + 1	+ .300 ₁₀ + 1	+ .438 ₁₀ + 0	+ .787 ₁₀ + 0	+ .987 ₁₀ + 0	+ .100 ₁₀ + 1		
+ .400 ₁₀ + 1	+ .400 ₁₀ + 1	+ .300 ₁₀ + 1	+ .421 ₁₀ + 0	+ .756 ₁₀ + 0	+ .987 ₁₀ + 0	+ .100 ₁₀ + 1		
+ .500 ₁₀ + 1	+ .400 ₁₀ + 1	+ .300 ₁₀ + 1	+ .404 ₁₀ + 0	+ .726 ₁₀ + 0	+ .987 ₁₀ + 0	+ .100 ₁₀ + 1		
+ .600 ₁₀ + 1	+ .400 ₁₀ + 1	+ .300 ₁₀ + 1	+ .386 ₁₀ + 0	+ .698 ₁₀ + 0	+ .987 ₁₀ + 0	+ .100 ₁₀ + 1		
+ .700 ₁₀ + 1	+ .400 ₁₀ + 1	+ .300 ₁₀ + 1	+ .368 ₁₀ + 0	+ .671 ₁₀ + 0	+ .987 ₁₀ + 0	+ .100 ₁₀ + 1		
+ .800 ₁₀ + 1	+ .400 ₁₀ + 1	+ .300 ₁₀ + 1	+ .350 ₁₀ + 0	+ .644 ₁₀ + 0	+ .987 ₁₀ + 0	+ .100 ₁₀ + 1		
+ .900 ₁₀ + 1	+ .400 ₁₀ + 1	+ .300 ₁₀ + 1	+ .333 ₁₀ + 0	+ .619 ₁₀ + 0	+ .987 ₁₀ + 0	+ .100 ₁₀ + 1		
+ .100 ₁₀ + 2	+ .400 ₁₀ + 1	+ .300 ₁₀ + 1	+ .315 ₁₀ + 0	+ .595 ₁₀ + 0	+ .987 ₁₀ + 0	+ .100 ₁₀ + 1		
+ .110 ₁₀ + 2	+ .400 ₁₀ + 1	+ .300 ₁₀ + 1	+ .299 ₁₀ + 0	+ .572 ₁₀ + 0	+ .987 ₁₀ + 0	+ .100 ₁₀ + 1		
+ .120 ₁₀ + 2	+ .400 ₁₀ + 1	+ .300 ₁₀ + 1	+ .282 ₁₀ + 0	+ .549 ₁₀ + 0	+ .987 ₁₀ + 0	+ .100 ₁₀ + 1		
+ .130 ₁₀ + 2	+ .400 ₁₀ + 1	+ .300 ₁₀ + 1	+ .266 ₁₀ + 0	+ .528 ₁₀ + 0	+ .987 ₁₀ + 0	+ .100 ₁₀ + 1		
+ .140 ₁₀ + 2	+ .400 ₁₀ + 1	+ .300 ₁₀ + 1	+ .251 ₁₀ + 0	+ .507 ₁₀ + 0	+ .987 ₁₀ + 0	+ .100 ₁₀ + 1		
+ .150 ₁₀ + 2	+ .400 ₁₀ + 1	+ .300 ₁₀ + 1	+ .236 ₁₀ + 0	+ .487 ₁₀ + 0	+ .987 ₁₀ + 0	+ .100 ₁₀ + 1		
+ .160 ₁₀ + 2	+ .400 ₁₀ + 1	+ .300 ₁₀ + 1	+ .222 ₁₀ + 0	+ .468 ₁₀ + 0	+ .987 ₁₀ + 0	+ .100 ₁₀ + 1		
+ .170 ₁₀ + 2	+ .400 ₁₀ + 1	+ .300 ₁₀ + 1	+ .208 ₁₀ + 0	+ .450 ₁₀ + 0	+ .987 ₁₀ + 0	+ .100 ₁₀ + 1		
+ .180 ₁₀ + 2	+ .400 ₁₀ + 1	+ .300 ₁₀ + 1	+ .196 ₁₀ + 0	+ .432 ₁₀ + 0	+ .987 ₁₀ + 0	+ .100 ₁₀ + 1		
+ .190 ₁₀ + 2	+ .400 ₁₀ + 1	+ .300 ₁₀ + 1	+ .183 ₁₀ + 0	+ .415 ₁₀ + 0	+ .987 ₁₀ + 0	+ .100 ₁₀ + 1		
+ .200 ₁₀ + 2	+ .400 ₁₀ + 1	+ .300 ₁₀ + 1	+ .172 ₁₀ + 0	+ .399 ₁₀ + 0	+ .987 ₁₀ + 0	+ .100 ₁₀ + 1		
+ .210 ₁₀ + 2	+ .400 ₁₀ + 1	+ .300 ₁₀ + 1	+ .161 ₁₀ + 0	+ .383 ₁₀ + 0	+ .987 ₁₀ + 0	+ .100 ₁₀ + 1		
+ .220 ₁₀ + 2	+ .400 ₁₀ + 1	+ .300 ₁₀ + 1	+ .150 ₁₀ + 0	+ .368 ₁₀ + 0	+ .987 ₁₀ + 0	+ .100 ₁₀ + 1		
+ .230 ₁₀ + 2	+ .400 ₁₀ + 1	+ .300 ₁₀ + 1	+ .141 ₁₀ + 0	+ .354 ₁₀ + 0	+ .987 ₁₀ + 0	+ .100 ₁₀ + 1		
+ .240 ₁₀ + 2	+ .400 ₁₀ + 1	+ .300 ₁₀ + 1	+ .131 ₁₀ + 0	+ .340 ₁₀ + 0	+ .987 ₁₀ + 0	+ .100 ₁₀ + 1		
+ .250 ₁₀ + 2	+ .400 ₁₀ + 1	+ .300 ₁₀ + 1	+ .123 ₁₀ + 0	+ .327 ₁₀ + 0	+ .987 ₁₀ + 0	+ .100 ₁₀ + 1		
+ .260 ₁₀ + 2	+ .400 ₁₀ + 1	+ .300 ₁₀ + 1	+ .114 ₁₀ + 0	+ .314 ₁₀ + 0	+ .987 ₁₀ + 0	+ .100 ₁₀ + 1		
+ .270 ₁₀ + 2	+ .400 ₁₀ + 1	+ .300 ₁₀ + 1	+ .107 ₁₀ + 0	+ .302 ₁₀ + 0	+ .987 ₁₀ + 0	+ .100 ₁₀ + 1		
+ .280 ₁₀ + 2	+ .400 ₁₀ + 1	+ .300 ₁₀ + 1	+ .995 ₁₀ - 1	+ .290 ₁₀ + 0	+ .987 ₁₀ + 0	+ .100 ₁₀ + 1		
+ .290 ₁₀ + 2	+ .400 ₁₀ + 1	+ .300 ₁₀ + 1	+ .927 ₁₀ - 1	+ .279 ₁₀ + 0	+ .987 ₁₀ + 0	+ .100 ₁₀ + 1		
+ .300 ₁₀ + 2	+ .400 ₁₀ + 1	+ .300 ₁₀ + 1	+ .863 ₁₀ - 1	+ .268 ₁₀ + 0	+ .987 ₁₀ + 0	+ .100 ₁₀ + 1		
+ .100 ₁₀ + 1	+ .400 ₁₀ + 1	+ .400 ₁₀ + 1	+ .265 ₁₀ + 0	+ .819 ₁₀ + 0	+ .982 ₁₀ + 0	+ .100 ₁₀ + 1		
+ .200 ₁₀ + 1	+ .400 ₁₀ + 1	+ .400 ₁₀ + 1	+ .255 ₁₀ + 0	+ .787 ₁₀ + 0	+ .982 ₁₀ + 0	+ .100 ₁₀ + 1		

VERBETERING	+.700 ₁₀	+ 2	+.100 ₁₀	+ 1	+.100 ₁₀	+ 1	+.755 ₁₀	+ 0	+.702 ₁₀	+ 0	+.100 ₁₀	+ 1	+.100 ₁₀	+ 1
VERBETERING	+.400 ₁₀	+ 1	+.200 ₁₀	+ 1	+.100 ₁₀	+ 1	+.954 ₁₀	+ 0	+.951 ₁₀	+ 0	+.100 ₁₀	+ 1	+.100 ₁₀	+ 1
VERBETERING	+.500 ₁₀	+ 1	+.200 ₁₀	+ 1	+.100 ₁₀	+ 1	+.951 ₁₀	+ 0	+.942 ₁₀	+ 0	+.100 ₁₀	+ 1	+.100 ₁₀	+ 1
VERBETERING	+.600 ₁₀	+ 1	+.200 ₁₀	+ 1	+.100 ₁₀	+ 1	+.948 ₁₀	+ 0	+.932 ₁₀	+ 0	+.100 ₁₀	+ 1	+.100 ₁₀	+ 1
VERBETERING	+.700 ₁₀	+ 1	+.200 ₁₀	+ 1	+.100 ₁₀	+ 1	+.945 ₁₀	+ 0	+.923 ₁₀	+ 0	+.100 ₁₀	+ 1	+.100 ₁₀	+ 1
VERBETERING	+.800 ₁₀	+ 1	+.200 ₁₀	+ 1	+.100 ₁₀	+ 1	+.941 ₁₀	+ 0	+.914 ₁₀	+ 0	+.100 ₁₀	+ 1	+.100 ₁₀	+ 1
VERBETERING	+.900 ₁₀	+ 1	+.200 ₁₀	+ 1	+.100 ₁₀	+ 1	+.936 ₁₀	+ 0	+.905 ₁₀	+ 0	+.100 ₁₀	+ 1	+.100 ₁₀	+ 1
VERBETERING	+.100 ₁₀	+ 2	+.200 ₁₀	+ 1	+.100 ₁₀	+ 1	+.932 ₁₀	+ 0	+.896 ₁₀	+ 0	+.100 ₁₀	+ 1	+.100 ₁₀	+ 1
VERBETERING	+.110 ₁₀	+ 2	+.200 ₁₀	+ 1	+.100 ₁₀	+ 1	+.927 ₁₀	+ 0	+.887 ₁₀	+ 0	+.100 ₁₀	+ 1	+.100 ₁₀	+ 1
VERBETERING	+.120 ₁₀	+ 2	+.200 ₁₀	+ 1	+.100 ₁₀	+ 1	+.922 ₁₀	+ 0	+.878 ₁₀	+ 0	+.100 ₁₀	+ 1	+.100 ₁₀	+ 1
VERBETERING	+.130 ₁₀	+ 2	+.200 ₁₀	+ 1	+.100 ₁₀	+ 1	+.916 ₁₀	+ 0	+.870 ₁₀	+ 0	+.100 ₁₀	+ 1	+.100 ₁₀	+ 1
VERBETERING	+.140 ₁₀	+ 2	+.200 ₁₀	+ 1	+.100 ₁₀	+ 1	+.910 ₁₀	+ 0	+.861 ₁₀	+ 0	+.100 ₁₀	+ 1	+.100 ₁₀	+ 1
VERBETERING	+.150 ₁₀	+ 2	+.200 ₁₀	+ 1	+.100 ₁₀	+ 1	+.904 ₁₀	+ 0	+.852 ₁₀	+ 0	+.100 ₁₀	+ 1	+.100 ₁₀	+ 1
VERBETERING	+.160 ₁₀	+ 2	+.200 ₁₀	+ 1	+.100 ₁₀	+ 1	+.898 ₁₀	+ 0	+.844 ₁₀	+ 0	+.100 ₁₀	+ 1	+.100 ₁₀	+ 1
VERBETERING	+.170 ₁₀	+ 2	+.200 ₁₀	+ 1	+.100 ₁₀	+ 1	+.891 ₁₀	+ 0	+.835 ₁₀	+ 0	+.100 ₁₀	+ 1	+.100 ₁₀	+ 1
VERBETERING	+.180 ₁₀	+ 2	+.200 ₁₀	+ 1	+.100 ₁₀	+ 1	+.885 ₁₀	+ 0	+.827 ₁₀	+ 0	+.100 ₁₀	+ 1	+.100 ₁₀	+ 1
VERBETERING	+.190 ₁₀	+ 2	+.200 ₁₀	+ 1	+.100 ₁₀	+ 1	+.878 ₁₀	+ 0	+.819 ₁₀	+ 0	+.100 ₁₀	+ 1	+.100 ₁₀	+ 1
VERBETERING	+.200 ₁₀	+ 2	+.200 ₁₀	+ 1	+.100 ₁₀	+ 1	+.871 ₁₀	+ 0	+.811 ₁₀	+ 0	+.100 ₁₀	+ 1	+.100 ₁₀	+ 1
VERBETERING	+.210 ₁₀	+ 2	+.200 ₁₀	+ 1	+.100 ₁₀	+ 1	+.863 ₁₀	+ 0	+.803 ₁₀	+ 0	+.100 ₁₀	+ 1	+.100 ₁₀	+ 1
VERBETERING	+.220 ₁₀	+ 2	+.200 ₁₀	+ 1	+.100 ₁₀	+ 1	+.856 ₁₀	+ 0	+.795 ₁₀	+ 0	+.100 ₁₀	+ 1	+.100 ₁₀	+ 1
VERBETERING	+.230 ₁₀	+ 2	+.200 ₁₀	+ 1	+.100 ₁₀	+ 1	+.849 ₁₀	+ 0	+.787 ₁₀	+ 0	+.100 ₁₀	+ 1	+.100 ₁₀	+ 1
VERBETERING	+.240 ₁₀	+ 2	+.200 ₁₀	+ 1	+.100 ₁₀	+ 1	+.841 ₁₀	+ 0	+.779 ₁₀	+ 0	+.100 ₁₀	+ 1	+.100 ₁₀	+ 1
VERBETERING	+.250 ₁₀	+ 2	+.200 ₁₀	+ 1	+.100 ₁₀	+ 1	+.833 ₁₀	+ 0	+.771 ₁₀	+ 0	+.100 ₁₀	+ 1	+.100 ₁₀	+ 1
VERBETERING	+.260 ₁₀	+ 2	+.200 ₁₀	+ 1	+.100 ₁₀	+ 1	+.825 ₁₀	+ 0	+.764 ₁₀	+ 0	+.100 ₁₀	+ 1	+.100 ₁₀	+ 1
VERBETERING	+.270 ₁₀	+ 2	+.200 ₁₀	+ 1	+.100 ₁₀	+ 1	+.817 ₁₀	+ 0	+.756 ₁₀	+ 0	+.100 ₁₀	+ 1	+.100 ₁₀	+ 1
VERBETERING	+.280 ₁₀	+ 2	+.200 ₁₀	+ 1	+.100 ₁₀	+ 1	+.809 ₁₀	+ 0	+.749 ₁₀	+ 0	+.100 ₁₀	+ 1	+.100 ₁₀	+ 1
VERBETERING	+.290 ₁₀	+ 2	+.200 ₁₀	+ 1	+.100 ₁₀	+ 1	+.801 ₁₀	+ 0	+.741 ₁₀	+ 0	+.100 ₁₀	+ 1	+.100 ₁₀	+ 1
VERBETERING	+.300 ₁₀	+ 2	+.200 ₁₀	+ 1	+.100 ₁₀	+ 1	+.793 ₁₀	+ 0	+.734 ₁₀	+ 0	+.100 ₁₀	+ 1	+.100 ₁₀	+ 1
VERBETERING	+.310 ₁₀	+ 2	+.200 ₁₀	+ 1	+.100 ₁₀	+ 1	+.785 ₁₀	+ 0	+.726 ₁₀	+ 0	+.100 ₁₀	+ 1	+.100 ₁₀	+ 1
VERBETERING	+.320 ₁₀	+ 2	+.200 ₁₀	+ 1	+.100 ₁₀	+ 1	+.776 ₁₀	+ 0	+.719 ₁₀	+ 0	+.100 ₁₀	+ 1	+.100 ₁₀	+ 1

p=P1

<i>n</i>	<i>m</i>	<i>N</i>	<i>pred</i>	<i>pe</i>
+ .300 ₁₀ + 1	+ .400 ₁₀ + 1	+ .600 ₁₀ + 1	+ .476 ₁₀ - 1	+ .698 ₁₀ + 0
+ .400 ₁₀ + 1	+ .400 ₁₀ + 1	+ .600 ₁₀ + 1	+ .452 ₁₀ - 1	+ .671 ₁₀ + 0
+ .500 ₁₀ + 1	+ .400 ₁₀ + 1	+ .600 ₁₀ + 1	+ .429 ₁₀ - 1	+ .644 ₁₀ + 0
+ .600 ₁₀ + 1	+ .400 ₁₀ + 1	+ .600 ₁₀ + 1	+ .406 ₁₀ - 1	+ .619 ₁₀ + 0
+ .700 ₁₀ + 1	+ .400 ₁₀ + 1	+ .600 ₁₀ + 1	+ .383 ₁₀ - 1	+ .595 ₁₀ + 0
+ .800 ₁₀ + 1	+ .400 ₁₀ + 1	+ .600 ₁₀ + 1	+ .362 ₁₀ - 1	+ .572 ₁₀ + 0
+ .900 ₁₀ + 1	+ .400 ₁₀ + 1	+ .600 ₁₀ + 1	+ .341 ₁₀ - 1	+ .549 ₁₀ + 0
+ .100 ₁₀ + 2	+ .400 ₁₀ + 1	+ .600 ₁₀ + 1	+ .321 ₁₀ - 1	+ .528 ₁₀ + 0
+ .110 ₁₀ + 2	+ .400 ₁₀ + 1	+ .600 ₁₀ + 1	+ .301 ₁₀ - 1	+ .507 ₁₀ + 0
+ .120 ₁₀ + 2	+ .400 ₁₀ + 1	+ .600 ₁₀ + 1	+ .283 ₁₀ - 1	+ .487 ₁₀ + 0
+ .130 ₁₀ + 2	+ .400 ₁₀ + 1	+ .600 ₁₀ + 1	+ .266 ₁₀ - 1	+ .468 ₁₀ + 0
+ .140 ₁₀ + 2	+ .400 ₁₀ + 1	+ .600 ₁₀ + 1	+ .249 ₁₀ - 1	+ .450 ₁₀ + 0
+ .150 ₁₀ + 2	+ .400 ₁₀ + 1	+ .600 ₁₀ + 1	+ .233 ₁₀ - 1	+ .432 ₁₀ + 0
+ .160 ₁₀ + 2	+ .400 ₁₀ + 1	+ .600 ₁₀ + 1	+ .218 ₁₀ - 1	+ .415 ₁₀ + 0
+ .170 ₁₀ + 2	+ .400 ₁₀ + 1	+ .600 ₁₀ + 1	+ .204 ₁₀ - 1	+ .399 ₁₀ + 0
+ .180 ₁₀ + 2	+ .400 ₁₀ + 1	+ .600 ₁₀ + 1	+ .191 ₁₀ - 1	+ .383 ₁₀ + 0
+ .190 ₁₀ + 2	+ .400 ₁₀ + 1	+ .600 ₁₀ + 1	+ .178 ₁₀ - 1	+ .368 ₁₀ + 0
+ .200 ₁₀ + 2	+ .400 ₁₀ + 1	+ .600 ₁₀ + 1	+ .167 ₁₀ - 1	+ .354 ₁₀ + 0
+ .210 ₁₀ + 2	+ .400 ₁₀ + 1	+ .600 ₁₀ + 1	+ .155 ₁₀ - 1	+ .340 ₁₀ + 0
+ .220 ₁₀ + 2	+ .400 ₁₀ + 1	+ .600 ₁₀ + 1	+ .145 ₁₀ - 1	+ .327 ₁₀ + 0
+ .230 ₁₀ + 2	+ .400 ₁₀ + 1	+ .600 ₁₀ + 1	+ .135 ₁₀ - 1	+ .314 ₁₀ + 0
+ .240 ₁₀ + 2	+ .400 ₁₀ + 1	+ .600 ₁₀ + 1	+ .126 ₁₀ - 1	+ .302 ₁₀ + 0
+ .250 ₁₀ + 2	+ .400 ₁₀ + 1	+ .600 ₁₀ + 1	+ .117 ₁₀ - 1	+ .290 ₁₀ + 0
+ .260 ₁₀ + 2	+ .400 ₁₀ + 1	+ .600 ₁₀ + 1	+ .109 ₁₀ - 1	+ .279 ₁₀ + 0
+ .270 ₁₀ + 2	+ .400 ₁₀ + 1	+ .600 ₁₀ + 1	+ .102 ₁₀ - 1	+ .268 ₁₀ + 0
+ .280 ₁₀ + 2	+ .400 ₁₀ + 1	+ .600 ₁₀ + 1	+ .944 ₁₀ - 2	+ .257 ₁₀ + 0
+ .290 ₁₀ + 2	+ .400 ₁₀ + 1	+ .600 ₁₀ + 1	+ .878 ₁₀ - 2	+ .247 ₁₀ + 0
+ .300 ₁₀ + 2	+ .400 ₁₀ + 1	+ .600 ₁₀ + 1	+ .816 ₁₀ - 2	+ .237 ₁₀ + 0

p2 = + .995₁₀+ 0

VERBETERING

<i>n</i>	<i>m</i>	<i>N</i>	<i>pred</i>	<i>pe</i>
+ .900 ₁₀ + 1	+ .100 ₁₀ + 1	+ .100 ₁₀ + 1	+ .954 ₁₀ + 0	+ .951 ₁₀ + 0

VERBETERING	+	.270	10+	2	+	.400	10+	1	+	.100	10+	1	+	.593	10+	0	+	.572	10+	0	+	.999	10+	0	+	.100	10+	1
VERBETERING	+	.280	10+	2	+	.400	10+	1	+	.100	10+	1	+	.567	10+	0	+	.560	10+	0	+	.999	10+	0	+	.100	10+	1
VERBETERING	+	.290	10+	2	+	.400	10+	1	+	.100	10+	1	+	.551	10+	0	+	.549	10+	0	+	.999	10+	0	+	.100	10+	1
	+	.300	10+	2	+	.400	10+	1	+	.100	10+	1	+	.536	10+	0	+	.538	10+	0	+	.999	10+	0	+	.100	10+	1
	+	.310	10+	2	+	.400	10+	1	+	.100	10+	1	+	.520	10+	0	+	.528	10+	0	+	.999	10+	0	+	.100	10+	1
	+	.320	10+	2	+	.400	10+	1	+	.100	10+	1	+	.505	10+	0	+	.517	10+	0	+	.999	10+	0	+	.100	10+	1
	+	.330	10+	2	+	.400	10+	1	+	.100	10+	1	+	.491	10+	0	+	.507	10+	0	+	.999	10+	0	+	.100	10+	1
	+	.340	10+	2	+	.400	10+	1	+	.100	10+	1	+	.476	10+	0	+	.497	10+	0	+	.999	10+	0	+	.100	10+	1
	+	.350	10+	2	+	.400	10+	1	+	.100	10+	1	+	.462	10+	0	+	.487	10+	0	+	.999	10+	0	+	.100	10+	1
	+	.360	10+	2	+	.400	10+	1	+	.100	10+	1	+	.448	10+	0	+	.478	10+	0	+	.999	10+	0	+	.100	10+	1
	+	.370	10+	2	+	.400	10+	1	+	.100	10+	1	+	.435	10+	0	+	.468	10+	0	+	.999	10+	0	+	.100	10+	1
	+	.380	10+	2	+	.400	10+	1	+	.100	10+	1	+	.421	10+	0	+	.459	10+	0	+	.999	10+	0	+	.100	10+	1
	+	.390	10+	2	+	.400	10+	1	+	.100	10+	1	+	.408	10+	0	+	.450	10+	0	+	.999	10+	0	+	.100	10+	1
	+	.400	10+	2	+	.400	10+	1	+	.100	10+	1	+	.396	10+	0	+	.441	10+	0	+	.999	10+	0	+	.100	10+	1
	+	.410	10+	2	+	.400	10+	1	+	.100	10+	1	+	.383	10+	0	+	.432	10+	0	+	.999	10+	0	+	.100	10+	1
	+	.420	10+	2	+	.400	10+	1	+	.100	10+	1	+	.371	10+	0	+	.424	10+	0	+	.999	10+	0	+	.100	10+	1
	+	.430	10+	2	+	.400	10+	1	+	.100	10+	1	+	.360	10+	0	+	.415	10+	0	+	.999	10+	0	+	.100	10+	1
	+	.440	10+	2	+	.400	10+	1	+	.100	10+	1	+	.348	10+	0	+	.407	10+	0	+	.999	10+	0	+	.100	10+	1
	+	.450	10+	2	+	.400	10+	1	+	.100	10+	1	+	.337	10+	0	+	.399	10+	0	+	.999	10+	0	+	.100	10+	1
	+	.460	10+	2	+	.400	10+	1	+	.100	10+	1	+	.326	10+	0	+	.391	10+	0	+	.999	10+	0	+	.100	10+	1
	+	.470	10+	2	+	.400	10+	1	+	.100	10+	1	+	.315	10+	0	+	.383	10+	0	+	.999	10+	0	+	.100	10+	1
	+	.480	10+	2	+	.400	10+	1	+	.100	10+	1	+	.305	10+	0	+	.376	10+	0	+	.999	10+	0	+	.100	10+	1
	+	.490	10+	2	+	.400	10+	1	+	.100	10+	1	+	.295	10+	0	+	.368	10+	0	+	.999	10+	0	+	.100	10+	1
	+	.500	10+	2	+	.400	10+	1	+	.100	10+	1	+	.285	10+	0	+	.361	10+	0	+	.999	10+	0	+	.100	10+	1
	+	.510	10+	2	+	.400	10+	1	+	.100	10+	1	+	.276	10+	0	+	.354	10+	0	+	.999	10+	0	+	.100	10+	1
	+	.520	10+	2	+	.400	10+	1	+	.100	10+	1	+	.267	10+	0	+	.347	10+	0	+	.999	10+	0	+	.100	10+	1
	+	.530	10+	2	+	.400	10+	1	+	.100	10+	1	+	.258	10+	0	+	.340	10+	0	+	.999	10+	0	+	.100	10+	1
	+	.540	10+	2	+	.400	10+	1	+	.100	10+	1	+	.249	10+	0	+	.333	10+	0	+	.999	10+	0	+	.100	10+	1
	+	.550	10+	2	+	.400	10+	1	+	.100	10+	1	+	.241	10+	0	+	.327	10+	0	+	.999	10+	0	+	.100	10+	1
	+	.560	10+	2	+	.400	10+	1	+	.100	10+	1	+	.233	10+	0	+	.320	10+	0	+	.999	10+	0	+	.100	10+	1

	<i>n</i>	<i>m</i>	<i>N</i>	<i>Paed</i>	<i>Pe</i>									
VERBETERING	+ .360 ₁₀ +	2	+ .300 ₁₀ +	1	+ .100 ₁₀ +	1	+ .587 ₁₀ +	0	+ .575 ₁₀ +	0	+ .999 ₁₀ +	0	+ .100 ₁₀ +	1
VERBETERING	+ .370 ₁₀ +	2	+ .300 ₁₀ +	1	+ .100 ₁₀ +	1	+ .575 ₁₀ +	0	+ .566 ₁₀ +	0	+ .999 ₁₀ +	0	+ .100 ₁₀ +	1
VERBETERING	+ .380 ₁₀ +	2	+ .300 ₁₀ +	1	+ .100 ₁₀ +	1	+ .563 ₁₀ +	0	+ .558 ₁₀ +	0	+ .999 ₁₀ +	0	+ .100 ₁₀ +	1
VERBETERING	+ .390 ₁₀ +	2	+ .300 ₁₀ +	1	+ .100 ₁₀ +	1	+ .551 ₁₀ +	0	+ .549 ₁₀ +	0	+ .999 ₁₀ +	0	+ .100 ₁₀ +	1
	+ .100 ₁₀ +	1	+ .400 ₁₀ +	1	+ .100 ₁₀ +	1	+ .957 ₁₀ +	0	+ .961 ₁₀ +	0	+ .999 ₁₀ +	0	+ .100 ₁₀ +	1
VERBETERING	+ .200 ₁₀ +	1	+ .400 ₁₀ +	1	+ .100 ₁₀ +	1	+ .951 ₁₀ +	0	+ .942 ₁₀ +	0	+ .999 ₁₀ +	0	+ .100 ₁₀ +	1
VERBETERING	+ .300 ₁₀ +	1	+ .400 ₁₀ +	1	+ .100 ₁₀ +	1	+ .945 ₁₀ +	0	+ .923 ₁₀ +	0	+ .999 ₁₀ +	0	+ .100 ₁₀ +	1
VERBETERING	+ .400 ₁₀ +	1	+ .400 ₁₀ +	1	+ .100 ₁₀ +	1	+ .936 ₁₀ +	0	+ .905 ₁₀ +	0	+ .999 ₁₀ +	0	+ .100 ₁₀ +	1
VERBETERING	+ .500 ₁₀ +	1	+ .400 ₁₀ +	1	+ .100 ₁₀ +	1	+ .927 ₁₀ +	0	+ .887 ₁₀ +	0	+ .999 ₁₀ +	0	+ .100 ₁₀ +	1
VERBETERING	+ .600 ₁₀ +	1	+ .400 ₁₀ +	1	+ .100 ₁₀ +	1	+ .916 ₁₀ +	0	+ .870 ₁₀ +	0	+ .999 ₁₀ +	0	+ .100 ₁₀ +	1
VERBETERING	+ .700 ₁₀ +	1	+ .400 ₁₀ +	1	+ .100 ₁₀ +	1	+ .904 ₁₀ +	0	+ .852 ₁₀ +	0	+ .999 ₁₀ +	0	+ .100 ₁₀ +	1
VERBETERING	+ .800 ₁₀ +	1	+ .400 ₁₀ +	1	+ .100 ₁₀ +	1	+ .891 ₁₀ +	0	+ .835 ₁₀ +	0	+ .999 ₁₀ +	0	+ .100 ₁₀ +	1
VERBETERING	+ .900 ₁₀ +	1	+ .400 ₁₀ +	1	+ .100 ₁₀ +	1	+ .878 ₁₀ +	0	+ .819 ₁₀ +	0	+ .999 ₁₀ +	0	+ .100 ₁₀ +	1
VERBETERING	+ .100 ₁₀ +	2	+ .400 ₁₀ +	1	+ .100 ₁₀ +	1	+ .863 ₁₀ +	0	+ .803 ₁₀ +	0	+ .999 ₁₀ +	0	+ .100 ₁₀ +	1
VERBETERING	+ .110 ₁₀ +	2	+ .400 ₁₀ +	1	+ .100 ₁₀ +	1	+ .849 ₁₀ +	0	+ .787 ₁₀ +	0	+ .999 ₁₀ +	0	+ .100 ₁₀ +	1
VERBETERING	+ .120 ₁₀ +	2	+ .400 ₁₀ +	1	+ .100 ₁₀ +	1	+ .833 ₁₀ +	0	+ .771 ₁₀ +	0	+ .999 ₁₀ +	0	+ .100 ₁₀ +	1
VERBETERING	+ .130 ₁₀ +	2	+ .400 ₁₀ +	1	+ .100 ₁₀ +	1	+ .817 ₁₀ +	0	+ .756 ₁₀ +	0	+ .999 ₁₀ +	0	+ .100 ₁₀ +	1
VERBETERING	+ .140 ₁₀ +	2	+ .400 ₁₀ +	1	+ .100 ₁₀ +	1	+ .801 ₁₀ +	0	+ .741 ₁₀ +	0	+ .999 ₁₀ +	0	+ .100 ₁₀ +	1
VERBETERING	+ .150 ₁₀ +	2	+ .400 ₁₀ +	1	+ .100 ₁₀ +	1	+ .785 ₁₀ +	0	+ .726 ₁₀ +	0	+ .999 ₁₀ +	0	+ .100 ₁₀ +	1
VERBETERING	+ .160 ₁₀ +	2	+ .400 ₁₀ +	1	+ .100 ₁₀ +	1	+ .768 ₁₀ +	0	+ .712 ₁₀ +	0	+ .999 ₁₀ +	0	+ .100 ₁₀ +	1
VERBETERING	+ .170 ₁₀ +	2	+ .400 ₁₀ +	1	+ .100 ₁₀ +	1	+ .751 ₁₀ +	0	+ .698 ₁₀ +	0	+ .999 ₁₀ +	0	+ .100 ₁₀ +	1
VERBETERING	+ .180 ₁₀ +	2	+ .400 ₁₀ +	1	+ .100 ₁₀ +	1	+ .734 ₁₀ +	0	+ .684 ₁₀ +	0	+ .999 ₁₀ +	0	+ .100 ₁₀ +	1
VERBETERING	+ .190 ₁₀ +	2	+ .400 ₁₀ +	1	+ .100 ₁₀ +	1	+ .717 ₁₀ +	0	+ .671 ₁₀ +	0	+ .999 ₁₀ +	0	+ .100 ₁₀ +	1
VERBETERING	+ .200 ₁₀ +	2	+ .400 ₁₀ +	1	+ .100 ₁₀ +	1	+ .700 ₁₀ +	0	+ .657 ₁₀ +	0	+ .999 ₁₀ +	0	+ .100 ₁₀ +	1
VERBETERING	+ .210 ₁₀ +	2	+ .400 ₁₀ +	1	+ .100 ₁₀ +	1	+ .683 ₁₀ +	0	+ .644 ₁₀ +	0	+ .999 ₁₀ +	0	+ .100 ₁₀ +	1
VERBETERING	+ .220 ₁₀ +	2	+ .400 ₁₀ +	1	+ .100 ₁₀ +	1	+ .666 ₁₀ +	0	+ .632 ₁₀ +	0	+ .999 ₁₀ +	0	+ .100 ₁₀ +	1
VERBETERING	+ .230 ₁₀ +	2	+ .400 ₁₀ +	1	+ .100 ₁₀ +	1	+ .649 ₁₀ +	0	+ .619 ₁₀ +	0	+ .999 ₁₀ +	0	+ .100 ₁₀ +	1
VERBETERING	+ .240 ₁₀ +	2	+ .400 ₁₀ +	1	+ .100 ₁₀ +	1	+ .632 ₁₀ +	0	+ .607 ₁₀ +	0	+ .999 ₁₀ +	0	+ .100 ₁₀ +	1
VERBETERING	+ .250 ₁₀ +	2	+ .400 ₁₀ +	1	+ .100 ₁₀ +	1	+ .616 ₁₀ +	0	+ .595 ₁₀ +	0	+ .999 ₁₀ +	0	+ .100 ₁₀ +	1
VERBETERING	+ .260 ₁₀ +	2	+ .400 ₁₀ +	1	+ .100 ₁₀ +	1	+ .599 ₁₀ +	0	+ .583 ₁₀ +	0	+ .999 ₁₀ +	0	+ .100 ₁₀ +	1

VERBETERING	+.600 ₁₀ + 1	+.300 ₁₀ + 1	+.100 ₁₀ + 1	+.934 ₁₀ + 0	+.900 ₁₀ + 0	+.999 ₁₀ + 0	+.100 ₁₀ + 1
VERBETERING	+.700 ₁₀ + 1	+.300 ₁₀ + 1	+.100 ₁₀ + 1	+.927 ₁₀ + 0	+.887 ₁₀ + 0	+.999 ₁₀ + 0	+.100 ₁₀ + 1
VERBETERING	+.800 ₁₀ + 1	+.300 ₁₀ + 1	+.100 ₁₀ + 1	+.919 ₁₀ + 0	+.874 ₁₀ + 0	+.999 ₁₀ + 0	+.100 ₁₀ + 1
VERBETERING	+.900 ₁₀ + 1	+.300 ₁₀ + 1	+.100 ₁₀ + 1	+.910 ₁₀ + 0	+.861 ₁₀ + 0	+.999 ₁₀ + 0	+.100 ₁₀ + 1
VERBETERING	+.100 ₁₀ + 2	+.300 ₁₀ + 1	+.100 ₁₀ + 1	+.901 ₁₀ + 0	+.848 ₁₀ + 0	+.999 ₁₀ + 0	+.100 ₁₀ + 1
VERBETERING	+.110 ₁₀ + 2	+.300 ₁₀ + 1	+.100 ₁₀ + 1	+.891 ₁₀ + 0	+.835 ₁₀ + 0	+.999 ₁₀ + 0	+.100 ₁₀ + 1
VERBETERING	+.120 ₁₀ + 2	+.300 ₁₀ + 1	+.100 ₁₀ + 1	+.881 ₁₀ + 0	+.823 ₁₀ + 0	+.999 ₁₀ + 0	+.100 ₁₀ + 1
VERBETERING	+.130 ₁₀ + 2	+.300 ₁₀ + 1	+.100 ₁₀ + 1	+.871 ₁₀ + 0	+.811 ₁₀ + 0	+.999 ₁₀ + 0	+.100 ₁₀ + 1
VERBETERING	+.140 ₁₀ + 2	+.300 ₁₀ + 1	+.100 ₁₀ + 1	+.860 ₁₀ + 0	+.799 ₁₀ + 0	+.999 ₁₀ + 0	+.100 ₁₀ + 1
VERBETERING	+.150 ₁₀ + 2	+.300 ₁₀ + 1	+.100 ₁₀ + 1	+.849 ₁₀ + 0	+.787 ₁₀ + 0	+.999 ₁₀ + 0	+.100 ₁₀ + 1
VERBETERING	+.160 ₁₀ + 2	+.300 ₁₀ + 1	+.100 ₁₀ + 1	+.837 ₁₀ + 0	+.775 ₁₀ + 0	+.999 ₁₀ + 0	+.100 ₁₀ + 1
VERBETERING	+.170 ₁₀ + 2	+.300 ₁₀ + 1	+.100 ₁₀ + 1	+.825 ₁₀ + 0	+.764 ₁₀ + 0	+.999 ₁₀ + 0	+.100 ₁₀ + 1
VERBETERING	+.180 ₁₀ + 2	+.300 ₁₀ + 1	+.100 ₁₀ + 1	+.813 ₁₀ + 0	+.752 ₁₀ + 0	+.999 ₁₀ + 0	+.100 ₁₀ + 1
VERBETERING	+.190 ₁₀ + 2	+.300 ₁₀ + 1	+.100 ₁₀ + 1	+.801 ₁₀ + 0	+.741 ₁₀ + 0	+.999 ₁₀ + 0	+.100 ₁₀ + 1
VERBETERING	+.200 ₁₀ + 2	+.300 ₁₀ + 1	+.100 ₁₀ + 1	+.789 ₁₀ + 0	+.730 ₁₀ + 0	+.999 ₁₀ + 0	+.100 ₁₀ + 1
VERBETERING	+.210 ₁₀ + 2	+.300 ₁₀ + 1	+.100 ₁₀ + 1	+.776 ₁₀ + 0	+.719 ₁₀ + 0	+.999 ₁₀ + 0	+.100 ₁₀ + 1
VERBETERING	+.220 ₁₀ + 2	+.300 ₁₀ + 1	+.100 ₁₀ + 1	+.764 ₁₀ + 0	+.709 ₁₀ + 0	+.999 ₁₀ + 0	+.100 ₁₀ + 1
VERBETERING	+.230 ₁₀ + 2	+.300 ₁₀ + 1	+.100 ₁₀ + 1	+.751 ₁₀ + 0	+.698 ₁₀ + 0	+.999 ₁₀ + 0	+.100 ₁₀ + 1
VERBETERING	+.240 ₁₀ + 2	+.300 ₁₀ + 1	+.100 ₁₀ + 1	+.738 ₁₀ + 0	+.688 ₁₀ + 0	+.999 ₁₀ + 0	+.100 ₁₀ + 1
VERBETERING	+.250 ₁₀ + 2	+.300 ₁₀ + 1	+.100 ₁₀ + 1	+.725 ₁₀ + 0	+.677 ₁₀ + 0	+.999 ₁₀ + 0	+.100 ₁₀ + 1
VERBETERING	+.260 ₁₀ + 2	+.300 ₁₀ + 1	+.100 ₁₀ + 1	+.713 ₁₀ + 0	+.667 ₁₀ + 0	+.999 ₁₀ + 0	+.100 ₁₀ + 1
VERBETERING	+.270 ₁₀ + 2	+.300 ₁₀ + 1	+.100 ₁₀ + 1	+.700 ₁₀ + 0	+.657 ₁₀ + 0	+.999 ₁₀ + 0	+.100 ₁₀ + 1
VERBETERING	+.280 ₁₀ + 2	+.300 ₁₀ + 1	+.100 ₁₀ + 1	+.687 ₁₀ + 0	+.648 ₁₀ + 0	+.999 ₁₀ + 0	+.100 ₁₀ + 1
VERBETERING	+.290 ₁₀ + 2	+.300 ₁₀ + 1	+.100 ₁₀ + 1	+.674 ₁₀ + 0	+.638 ₁₀ + 0	+.999 ₁₀ + 0	+.100 ₁₀ + 1
VERBETERING	+.300 ₁₀ + 2	+.300 ₁₀ + 1	+.100 ₁₀ + 1	+.662 ₁₀ + 0	+.629 ₁₀ + 0	+.999 ₁₀ + 0	+.100 ₁₀ + 1
VERBETERING	+.310 ₁₀ + 2	+.300 ₁₀ + 1	+.100 ₁₀ + 1	+.649 ₁₀ + 0	+.619 ₁₀ + 0	+.999 ₁₀ + 0	+.100 ₁₀ + 1
VERBETERING	+.320 ₁₀ + 2	+.300 ₁₀ + 1	+.100 ₁₀ + 1	+.636 ₁₀ + 0	+.610 ₁₀ + 0	+.999 ₁₀ + 0	+.100 ₁₀ + 1
VERBETERING	+.330 ₁₀ + 2	+.300 ₁₀ + 1	+.100 ₁₀ + 1	+.624 ₁₀ + 0	+.601 ₁₀ + 0	+.999 ₁₀ + 0	+.100 ₁₀ + 1
VERBETERING	+.340 ₁₀ + 2	+.300 ₁₀ + 1	+.100 ₁₀ + 1	+.612 ₁₀ + 0	+.592 ₁₀ + 0	+.999 ₁₀ + 0	+.100 ₁₀ + 1
VERBETERING	+.350 ₁₀ + 2	+.300 ₁₀ + 1	+.100 ₁₀ + 1	+.599 ₁₀ + 0	+.583 ₁₀ + 0	+.999 ₁₀ + 0	+.100 ₁₀ + 1

P = P2

	<i>n</i>	<i>m</i>	<i>N</i>	<i>med</i>	<i>R</i>									
VERBETERING	+ .330 ₁₀ +	2	+ .200 ₁₀ +	1	+ .100 ₁₀ +	1	+ .768 ₁₀ +	0	+ .712 ₁₀ +	0	+ .100 ₁₀ +	1	+ .100 ₁₀ +	1
VERBETERING	+ .340 ₁₀ +	2	+ .200 ₁₀ +	1	+ .100 ₁₀ +	1	+ .759 ₁₀ +	0	+ .705 ₁₀ +	0	+ .100 ₁₀ +	1	+ .100 ₁₀ +	1
VERBETERING	+ .350 ₁₀ +	2	+ .200 ₁₀ +	1	+ .100 ₁₀ +	1	+ .751 ₁₀ +	0	+ .698 ₁₀ +	0	+ .100 ₁₀ +	1	+ .100 ₁₀ +	1
VERBETERING	+ .360 ₁₀ +	2	+ .200 ₁₀ +	1	+ .100 ₁₀ +	1	+ .742 ₁₀ +	0	+ .691 ₁₀ +	0	+ .100 ₁₀ +	1	+ .100 ₁₀ +	1
VERBETERING	+ .370 ₁₀ +	2	+ .200 ₁₀ +	1	+ .100 ₁₀ +	1	+ .734 ₁₀ +	0	+ .684 ₁₀ +	0	+ .100 ₁₀ +	1	+ .100 ₁₀ +	1
VERBETERING	+ .380 ₁₀ +	2	+ .200 ₁₀ +	1	+ .100 ₁₀ +	1	+ .725 ₁₀ +	0	+ .677 ₁₀ +	0	+ .100 ₁₀ +	1	+ .100 ₁₀ +	1
VERBETERING	+ .390 ₁₀ +	2	+ .200 ₁₀ +	1	+ .100 ₁₀ +	1	+ .717 ₁₀ +	0	+ .671 ₁₀ +	0	+ .100 ₁₀ +	1	+ .100 ₁₀ +	1
VERBETERING	+ .400 ₁₀ +	2	+ .200 ₁₀ +	1	+ .100 ₁₀ +	1	+ .708 ₁₀ +	0	+ .664 ₁₀ +	0	+ .100 ₁₀ +	1	+ .100 ₁₀ +	1
VERBETERING	+ .410 ₁₀ +	2	+ .200 ₁₀ +	1	+ .100 ₁₀ +	1	+ .700 ₁₀ +	0	+ .657 ₁₀ +	0	+ .100 ₁₀ +	1	+ .100 ₁₀ +	1
VERBETERING	+ .420 ₁₀ +	2	+ .200 ₁₀ +	1	+ .100 ₁₀ +	1	+ .691 ₁₀ +	0	+ .651 ₁₀ +	0	+ .100 ₁₀ +	1	+ .100 ₁₀ +	1
VERBETERING	+ .430 ₁₀ +	2	+ .200 ₁₀ +	1	+ .100 ₁₀ +	1	+ .683 ₁₀ +	0	+ .644 ₁₀ +	0	+ .100 ₁₀ +	1	+ .100 ₁₀ +	1
VERBETERING	+ .440 ₁₀ +	2	+ .200 ₁₀ +	1	+ .100 ₁₀ +	1	+ .674 ₁₀ +	0	+ .638 ₁₀ +	0	+ .100 ₁₀ +	1	+ .100 ₁₀ +	1
VERBETERING	+ .450 ₁₀ +	2	+ .200 ₁₀ +	1	+ .100 ₁₀ +	1	+ .666 ₁₀ +	0	+ .632 ₁₀ +	0	+ .100 ₁₀ +	1	+ .100 ₁₀ +	1
VERBETERING	+ .460 ₁₀ +	2	+ .200 ₁₀ +	1	+ .100 ₁₀ +	1	+ .657 ₁₀ +	0	+ .625 ₁₀ +	0	+ .100 ₁₀ +	1	+ .100 ₁₀ +	1
VERBETERING	+ .470 ₁₀ +	2	+ .200 ₁₀ +	1	+ .100 ₁₀ +	1	+ .649 ₁₀ +	0	+ .619 ₁₀ +	0	+ .100 ₁₀ +	1	+ .100 ₁₀ +	1
VERBETERING	+ .480 ₁₀ +	2	+ .200 ₁₀ +	1	+ .100 ₁₀ +	1	+ .641 ₁₀ +	0	+ .613 ₁₀ +	0	+ .100 ₁₀ +	1	+ .100 ₁₀ +	1
VERBETERING	+ .490 ₁₀ +	2	+ .200 ₁₀ +	1	+ .100 ₁₀ +	1	+ .632 ₁₀ +	0	+ .607 ₁₀ +	0	+ .100 ₁₀ +	1	+ .100 ₁₀ +	1
VERBETERING	+ .500 ₁₀ +	2	+ .200 ₁₀ +	1	+ .100 ₁₀ +	1	+ .624 ₁₀ +	0	+ .601 ₁₀ +	0	+ .100 ₁₀ +	1	+ .100 ₁₀ +	1
VERBETERING	+ .510 ₁₀ +	2	+ .200 ₁₀ +	1	+ .100 ₁₀ +	1	+ .616 ₁₀ +	0	+ .595 ₁₀ +	0	+ .100 ₁₀ +	1	+ .100 ₁₀ +	1
VERBETERING	+ .520 ₁₀ +	2	+ .200 ₁₀ +	1	+ .100 ₁₀ +	1	+ .607 ₁₀ +	0	+ .589 ₁₀ +	0	+ .100 ₁₀ +	1	+ .100 ₁₀ +	1
VERBETERING	+ .530 ₁₀ +	2	+ .200 ₁₀ +	1	+ .100 ₁₀ +	1	+ .599 ₁₀ +	0	+ .583 ₁₀ +	0	+ .100 ₁₀ +	1	+ .100 ₁₀ +	1
VERBETERING	+ .540 ₁₀ +	2	+ .200 ₁₀ +	1	+ .100 ₁₀ +	1	+ .591 ₁₀ +	0	+ .577 ₁₀ +	0	+ .100 ₁₀ +	1	+ .100 ₁₀ +	1
VERBETERING	+ .550 ₁₀ +	2	+ .200 ₁₀ +	1	+ .100 ₁₀ +	1	+ .583 ₁₀ +	0	+ .572 ₁₀ +	0	+ .100 ₁₀ +	1	+ .100 ₁₀ +	1
VERBETERING	+ .560 ₁₀ +	2	+ .200 ₁₀ +	1	+ .100 ₁₀ +	1	+ .575 ₁₀ +	0	+ .566 ₁₀ +	0	+ .100 ₁₀ +	1	+ .100 ₁₀ +	1
VERBETERING	+ .570 ₁₀ +	2	+ .200 ₁₀ +	1	+ .100 ₁₀ +	1	+ .567 ₁₀ +	0	+ .560 ₁₀ +	0	+ .100 ₁₀ +	1	+ .100 ₁₀ +	1
VERBETERING	+ .580 ₁₀ +	2	+ .200 ₁₀ +	1	+ .100 ₁₀ +	1	+ .559 ₁₀ +	0	+ .555 ₁₀ +	0	+ .100 ₁₀ +	1	+ .100 ₁₀ +	1
VERBETERING	+ .590 ₁₀ +	2	+ .200 ₁₀ +	1	+ .100 ₁₀ +	1	+ .551 ₁₀ +	0	+ .549 ₁₀ +	0	+ .100 ₁₀ +	1	+ .100 ₁₀ +	1
VERBETERING	+ .300 ₁₀ +	1	+ .300 ₁₀ +	1	+ .100 ₁₀ +	1	+ .951 ₁₀ +	0	+ .942 ₁₀ +	0	+ .999 ₁₀ +	0	+ .100 ₁₀ +	1
VERBETERING	+ .400 ₁₀ +	1	+ .300 ₁₀ +	1	+ .100 ₁₀ +	1	+ .947 ₁₀ +	0	+ .928 ₁₀ +	0	+ .999 ₁₀ +	0	+ .100 ₁₀ +	1
VERBETERING	+ .500 ₁₀ +	1	+ .300 ₁₀ +	1	+ .100 ₁₀ +	1	+ .941 ₁₀ +	0	+ .914 ₁₀ +	0	+ .999 ₁₀ +	0	+ .100 ₁₀ +	1

VERBETERING	+.500 ₁₀ + 1	+.900 ₁₀ + 1	+.100 ₁₀ + 1	+.825 ₁₀ + 0	+.764 ₁₀ + 0	+.994 ₁₀ + 0	+.100 ₁₀ + 1
VERBETERING	+.600 ₁₀ + 1	+.900 ₁₀ + 1	+.100 ₁₀ + 1	+.789 ₁₀ + 0	+.730 ₁₀ + 0	+.994 ₁₀ + 0	+.100 ₁₀ + 1
VERBETERING	+.700 ₁₀ + 1	+.900 ₁₀ + 1	+.100 ₁₀ + 1	+.751 ₁₀ + 0	+.698 ₁₀ + 0	+.994 ₁₀ + 0	+.100 ₁₀ + 1
VERBETERING	+.800 ₁₀ + 1	+.900 ₁₀ + 1	+.100 ₁₀ + 1	+.713 ₁₀ + 0	+.667 ₁₀ + 0	+.994 ₁₀ + 0	+.100 ₁₀ + 1
VERBETERING	+.900 ₁₀ + 1	+.900 ₁₀ + 1	+.100 ₁₀ + 1	+.674 ₁₀ + 0	+.638 ₁₀ + 0	+.994 ₁₀ + 0	+.100 ₁₀ + 1
VERBETERING	+.100 ₁₀ + 2	+.900 ₁₀ + 1	+.100 ₁₀ + 1	+.636 ₁₀ + 0	+.610 ₁₀ + 0	+.994 ₁₀ + 0	+.100 ₁₀ + 1
VERBETERING	+.110 ₁₀ + 2	+.900 ₁₀ + 1	+.100 ₁₀ + 1	+.599 ₁₀ + 0	+.583 ₁₀ + 0	+.994 ₁₀ + 0	+.100 ₁₀ + 1
VERBETERING	+.120 ₁₀ + 2	+.900 ₁₀ + 1	+.100 ₁₀ + 1	+.563 ₁₀ + 0	+.558 ₁₀ + 0	+.994 ₁₀ + 0	+.100 ₁₀ + 1
VERBETERING	+.100 ₁₀ + 1	+.100 ₁₀ + 2	+.100 ₁₀ + 1	+.936 ₁₀ + 0	+.905 ₁₀ + 0	+.993 ₁₀ + 0	+.100 ₁₀ + 1
VERBETERING	+.200 ₁₀ + 1	+.100 ₁₀ + 2	+.100 ₁₀ + 1	+.910 ₁₀ + 0	+.861 ₁₀ + 0	+.993 ₁₀ + 0	+.100 ₁₀ + 1
VERBETERING	+.300 ₁₀ + 1	+.100 ₁₀ + 2	+.100 ₁₀ + 1	+.878 ₁₀ + 0	+.819 ₁₀ + 0	+.993 ₁₀ + 0	+.100 ₁₀ + 1
VERBETERING	+.400 ₁₀ + 1	+.100 ₁₀ + 2	+.100 ₁₀ + 1	+.841 ₁₀ + 0	+.779 ₁₀ + 0	+.993 ₁₀ + 0	+.100 ₁₀ + 1
VERBETERING	+.500 ₁₀ + 1	+.100 ₁₀ + 2	+.100 ₁₀ + 1	+.801 ₁₀ + 0	+.741 ₁₀ + 0	+.993 ₁₀ + 0	+.100 ₁₀ + 1
VERBETERING	+.600 ₁₀ + 1	+.100 ₁₀ + 2	+.100 ₁₀ + 1	+.759 ₁₀ + 0	+.705 ₁₀ + 0	+.993 ₁₀ + 0	+.100 ₁₀ + 1
VERBETERING	+.700 ₁₀ + 1	+.100 ₁₀ + 2	+.100 ₁₀ + 1	+.717 ₁₀ + 0	+.671 ₁₀ + 0	+.993 ₁₀ + 0	+.100 ₁₀ + 1
VERBETERING	+.800 ₁₀ + 1	+.100 ₁₀ + 2	+.100 ₁₀ + 1	+.674 ₁₀ + 0	+.638 ₁₀ + 0	+.993 ₁₀ + 0	+.100 ₁₀ + 1
VERBETERING	+.900 ₁₀ + 1	+.100 ₁₀ + 2	+.100 ₁₀ + 1	+.632 ₁₀ + 0	+.607 ₁₀ + 0	+.993 ₁₀ + 0	+.100 ₁₀ + 1
VERBETERING	+.100 ₁₀ + 2	+.100 ₁₀ + 2	+.100 ₁₀ + 1	+.591 ₁₀ + 0	+.577 ₁₀ + 0	+.993 ₁₀ + 0	+.100 ₁₀ + 1
VERBETERING	+.110 ₁₀ + 2	+.100 ₁₀ + 2	+.100 ₁₀ + 1	+.551 ₁₀ + 0	+.549 ₁₀ + 0	+.993 ₁₀ + 0	+.100 ₁₀ + 1
	+.100 ₁₀ + 1	+.400 ₁₀ + 1	+.200 ₁₀ + 1	+.846 ₁₀ + 0	+.942 ₁₀ + 0	+.998 ₁₀ + 0	+.100 ₁₀ + 1
	+.200 ₁₀ + 1	+.400 ₁₀ + 1	+.200 ₁₀ + 1	+.840 ₁₀ + 0	+.923 ₁₀ + 0	+.998 ₁₀ + 0	+.100 ₁₀ + 1
	+.300 ₁₀ + 1	+.400 ₁₀ + 1	+.200 ₁₀ + 1	+.832 ₁₀ + 0	+.905 ₁₀ + 0	+.998 ₁₀ + 0	+.100 ₁₀ + 1
	+.400 ₁₀ + 1	+.400 ₁₀ + 1	+.200 ₁₀ + 1	+.824 ₁₀ + 0	+.887 ₁₀ + 0	+.998 ₁₀ + 0	+.100 ₁₀ + 1
	+.500 ₁₀ + 1	+.400 ₁₀ + 1	+.200 ₁₀ + 1	+.814 ₁₀ + 0	+.870 ₁₀ + 0	+.998 ₁₀ + 0	+.100 ₁₀ + 1
	+.600 ₁₀ + 1	+.400 ₁₀ + 1	+.200 ₁₀ + 1	+.803 ₁₀ + 0	+.852 ₁₀ + 0	+.998 ₁₀ + 0	+.100 ₁₀ + 1
	+.700 ₁₀ + 1	+.400 ₁₀ + 1	+.200 ₁₀ + 1	+.792 ₁₀ + 0	+.835 ₁₀ + 0	+.998 ₁₀ + 0	+.100 ₁₀ + 1
	+.800 ₁₀ + 1	+.400 ₁₀ + 1	+.200 ₁₀ + 1	+.780 ₁₀ + 0	+.819 ₁₀ + 0	+.998 ₁₀ + 0	+.100 ₁₀ + 1
	+.900 ₁₀ + 1	+.400 ₁₀ + 1	+.200 ₁₀ + 1	+.767 ₁₀ + 0	+.803 ₁₀ + 0	+.998 ₁₀ + 0	+.100 ₁₀ + 1
	+.100 ₁₀ + 2	+.400 ₁₀ + 1	+.200 ₁₀ + 1	+.754 ₁₀ + 0	+.787 ₁₀ + 0	+.998 ₁₀ + 0	+.100 ₁₀ + 1
	+.110 ₁₀ + 2	+.400 ₁₀ + 1	+.200 ₁₀ + 1	+.740 ₁₀ + 0	+.771 ₁₀ + 0	+.998 ₁₀ + 0	+.100 ₁₀ + 1

	<i>n</i>	<i>m</i>	<i>N</i>	<i>Pred</i>	<i>P₀</i>				
VERBETERING	+ .500 ₁₀ + 1	+ .700 ₁₀ + 1	+ .100 ₁₀ + 1	+ .871 ₁₀ + 0	+ .811 ₁₀ + 0	+ .997 ₁₀ + 0	+ .100 ₁₀ + 1		
VERBETERING	+ .600 ₁₀ + 1	+ .700 ₁₀ + 1	+ .100 ₁₀ + 1	+ .845 ₁₀ + 0	+ .783 ₁₀ + 0	+ .997 ₁₀ + 0	+ .100 ₁₀ + 1		
VERBETERING	+ .700 ₁₀ + 1	+ .700 ₁₀ + 1	+ .100 ₁₀ + 1	+ .817 ₁₀ + 0	+ .756 ₁₀ + 0	+ .997 ₁₀ + 0	+ .100 ₁₀ + 1		
VERBETERING	+ .800 ₁₀ + 1	+ .700 ₁₀ + 1	+ .100 ₁₀ + 1	+ .789 ₁₀ + 0	+ .730 ₁₀ + 0	+ .997 ₁₀ + 0	+ .100 ₁₀ + 1		
VERBETERING	+ .900 ₁₀ + 1	+ .700 ₁₀ + 1	+ .100 ₁₀ + 1	+ .759 ₁₀ + 0	+ .705 ₁₀ + 0	+ .997 ₁₀ + 0	+ .100 ₁₀ + 1		
VERBETERING	+ .100 ₁₀ + 2	+ .700 ₁₀ + 1	+ .100 ₁₀ + 1	+ .730 ₁₀ + 0	+ .681 ₁₀ + 0	+ .997 ₁₀ + 0	+ .100 ₁₀ + 1		
VERBETERING	+ .110 ₁₀ + 2	+ .700 ₁₀ + 1	+ .100 ₁₀ + 1	+ .700 ₁₀ + 0	+ .657 ₁₀ + 0	+ .997 ₁₀ + 0	+ .100 ₁₀ + 1		
VERBETERING	+ .120 ₁₀ + 2	+ .700 ₁₀ + 1	+ .100 ₁₀ + 1	+ .670 ₁₀ + 0	+ .635 ₁₀ + 0	+ .997 ₁₀ + 0	+ .100 ₁₀ + 1		
VERBETERING	+ .130 ₁₀ + 2	+ .700 ₁₀ + 1	+ .100 ₁₀ + 1	+ .641 ₁₀ + 0	+ .613 ₁₀ + 0	+ .997 ₁₀ + 0	+ .100 ₁₀ + 1		
VERBETERING	+ .140 ₁₀ + 2	+ .700 ₁₀ + 1	+ .100 ₁₀ + 1	+ .612 ₁₀ + 0	+ .592 ₁₀ + 0	+ .997 ₁₀ + 0	+ .100 ₁₀ + 1		
VERBETERING	+ .150 ₁₀ + 2	+ .700 ₁₀ + 1	+ .100 ₁₀ + 1	+ .583 ₁₀ + 0	+ .572 ₁₀ + 0	+ .997 ₁₀ + 0	+ .100 ₁₀ + 1		
VERBETERING	+ .160 ₁₀ + 2	+ .700 ₁₀ + 1	+ .100 ₁₀ + 1	+ .555 ₁₀ + 0	+ .552 ₁₀ + 0	+ .997 ₁₀ + 0	+ .100 ₁₀ + 1		
VERBETERING	+ .100 ₁₀ + 1	+ .800 ₁₀ + 1	+ .100 ₁₀ + 1	+ .945 ₁₀ + 0	+ .923 ₁₀ + 0	+ .996 ₁₀ + 0	+ .100 ₁₀ + 1		
VERBETERING	+ .200 ₁₀ + 1	+ .800 ₁₀ + 1	+ .100 ₁₀ + 1	+ .927 ₁₀ + 0	+ .887 ₁₀ + 0	+ .996 ₁₀ + 0	+ .100 ₁₀ + 1		
VERBETERING	+ .300 ₁₀ + 1	+ .800 ₁₀ + 1	+ .100 ₁₀ + 1	+ .904 ₁₀ + 0	+ .852 ₁₀ + 0	+ .996 ₁₀ + 0	+ .100 ₁₀ + 1		
VERBETERING	+ .400 ₁₀ + 1	+ .800 ₁₀ + 1	+ .100 ₁₀ + 1	+ .878 ₁₀ + 0	+ .819 ₁₀ + 0	+ .996 ₁₀ + 0	+ .100 ₁₀ + 1		
VERBETERING	+ .500 ₁₀ + 1	+ .800 ₁₀ + 1	+ .100 ₁₀ + 1	+ .849 ₁₀ + 0	+ .787 ₁₀ + 0	+ .996 ₁₀ + 0	+ .100 ₁₀ + 1		
VERBETERING	+ .600 ₁₀ + 1	+ .800 ₁₀ + 1	+ .100 ₁₀ + 1	+ .817 ₁₀ + 0	+ .756 ₁₀ + 0	+ .996 ₁₀ + 0	+ .100 ₁₀ + 1		
VERBETERING	+ .700 ₁₀ + 1	+ .800 ₁₀ + 1	+ .100 ₁₀ + 1	+ .785 ₁₀ + 0	+ .726 ₁₀ + 0	+ .996 ₁₀ + 0	+ .100 ₁₀ + 1		
VERBETERING	+ .800 ₁₀ + 1	+ .800 ₁₀ + 1	+ .100 ₁₀ + 1	+ .751 ₁₀ + 0	+ .698 ₁₀ + 0	+ .996 ₁₀ + 0	+ .100 ₁₀ + 1		
VERBETERING	+ .900 ₁₀ + 1	+ .800 ₁₀ + 1	+ .100 ₁₀ + 1	+ .717 ₁₀ + 0	+ .671 ₁₀ + 0	+ .996 ₁₀ + 0	+ .100 ₁₀ + 1		
VERBETERING	+ .100 ₁₀ + 2	+ .800 ₁₀ + 1	+ .100 ₁₀ + 1	+ .683 ₁₀ + 0	+ .644 ₁₀ + 0	+ .996 ₁₀ + 0	+ .100 ₁₀ + 1		
VERBETERING	+ .110 ₁₀ + 2	+ .800 ₁₀ + 1	+ .100 ₁₀ + 1	+ .649 ₁₀ + 0	+ .619 ₁₀ + 0	+ .996 ₁₀ + 0	+ .100 ₁₀ + 1		
VERBETERING	+ .120 ₁₀ + 2	+ .800 ₁₀ + 1	+ .100 ₁₀ + 1	+ .616 ₁₀ + 0	+ .595 ₁₀ + 0	+ .996 ₁₀ + 0	+ .100 ₁₀ + 1		
VERBETERING	+ .130 ₁₀ + 2	+ .800 ₁₀ + 1	+ .100 ₁₀ + 1	+ .583 ₁₀ + 0	+ .572 ₁₀ + 0	+ .996 ₁₀ + 0	+ .100 ₁₀ + 1		
VERBETERING	+ .140 ₁₀ + 2	+ .800 ₁₀ + 1	+ .100 ₁₀ + 1	+ .551 ₁₀ + 0	+ .549 ₁₀ + 0	+ .996 ₁₀ + 0	+ .100 ₁₀ + 1		
VERBETERING	+ .100 ₁₀ + 1	+ .900 ₁₀ + 1	+ .100 ₁₀ + 1	+ .941 ₁₀ + 0	+ .914 ₁₀ + 0	+ .994 ₁₀ + 0	+ .100 ₁₀ + 1		
VERBETERING	+ .200 ₁₀ + 1	+ .900 ₁₀ + 1	+ .100 ₁₀ + 1	+ .919 ₁₀ + 0	+ .874 ₁₀ + 0	+ .994 ₁₀ + 0	+ .100 ₁₀ + 1		
VERBETERING	+ .300 ₁₀ + 1	+ .900 ₁₀ + 1	+ .100 ₁₀ + 1	+ .891 ₁₀ + 0	+ .835 ₁₀ + 0	+ .994 ₁₀ + 0	+ .100 ₁₀ + 1		
VERBETERING	+ .400 ₁₀ + 1	+ .900 ₁₀ + 1	+ .100 ₁₀ + 1	+ .860 ₁₀ + 0	+ .799 ₁₀ + 0	+ .994 ₁₀ + 0	+ .100 ₁₀ + 1		

	<i>n</i>	<i>m</i>	<i>N</i>	<i>Pred</i>	<i>Pe</i>				
VERBETERING	+ .170 ₁₀ + 2	+ .500 ₁₀ + 1	+ .100 ₁₀ + 1	+ .674 ₁₀ + 0	+ .638 ₁₀ + 0	+ .998 ₁₀ + 0	+ .100 ₁₀ + 1		
VERBETERING	+ .180 ₁₀ + 2	+ .500 ₁₀ + 1	+ .100 ₁₀ + 1	+ .653 ₁₀ + 0	+ .622 ₁₀ + 0	+ .998 ₁₀ + 0	+ .100 ₁₀ + 1		
VERBETERING	+ .190 ₁₀ + 2	+ .500 ₁₀ + 1	+ .100 ₁₀ + 1	+ .632 ₁₀ + 0	+ .607 ₁₀ + 0	+ .998 ₁₀ + 0	+ .100 ₁₀ + 1		
VERBETERING	+ .200 ₁₀ + 2	+ .500 ₁₀ + 1	+ .100 ₁₀ + 1	+ .612 ₁₀ + 0	+ .592 ₁₀ + 0	+ .998 ₁₀ + 0	+ .100 ₁₀ + 1		
VERBETERING	+ .210 ₁₀ + 2	+ .500 ₁₀ + 1	+ .100 ₁₀ + 1	+ .591 ₁₀ + 0	+ .577 ₁₀ + 0	+ .998 ₁₀ + 0	+ .100 ₁₀ + 1		
VERBETERING	+ .220 ₁₀ + 2	+ .500 ₁₀ + 1	+ .100 ₁₀ + 1	+ .571 ₁₀ + 0	+ .563 ₁₀ + 0	+ .998 ₁₀ + 0	+ .100 ₁₀ + 1		
VERBETERING	+ .230 ₁₀ + 2	+ .500 ₁₀ + 1	+ .100 ₁₀ + 1	+ .551 ₁₀ + 0	+ .549 ₁₀ + 0	+ .998 ₁₀ + 0	+ .100 ₁₀ + 1		
VERBETERING	+ .100 ₁₀ + 1	+ .600 ₁₀ + 1	+ .100 ₁₀ + 1	+ .951 ₁₀ + 0	+ .942 ₁₀ + 0	+ .997 ₁₀ + 0	+ .100 ₁₀ + 1		
VERBETERING	+ .200 ₁₀ + 1	+ .600 ₁₀ + 1	+ .100 ₁₀ + 1	+ .941 ₁₀ + 0	+ .914 ₁₀ + 0	+ .997 ₁₀ + 0	+ .100 ₁₀ + 1		
VERBETERING	+ .300 ₁₀ + 1	+ .600 ₁₀ + 1	+ .100 ₁₀ + 1	+ .927 ₁₀ + 0	+ .887 ₁₀ + 0	+ .997 ₁₀ + 0	+ .100 ₁₀ + 1		
VERBETERING	+ .400 ₁₀ + 1	+ .600 ₁₀ + 1	+ .100 ₁₀ + 1	+ .910 ₁₀ + 0	+ .861 ₁₀ + 0	+ .997 ₁₀ + 0	+ .100 ₁₀ + 1		
VERBETERING	+ .500 ₁₀ + 1	+ .600 ₁₀ + 1	+ .100 ₁₀ + 1	+ .891 ₁₀ + 0	+ .835 ₁₀ + 0	+ .997 ₁₀ + 0	+ .100 ₁₀ + 1		
VERBETERING	+ .600 ₁₀ + 1	+ .600 ₁₀ + 1	+ .100 ₁₀ + 1	+ .871 ₁₀ + 0	+ .811 ₁₀ + 0	+ .997 ₁₀ + 0	+ .100 ₁₀ + 1		
VERBETERING	+ .700 ₁₀ + 1	+ .600 ₁₀ + 1	+ .100 ₁₀ + 1	+ .849 ₁₀ + 0	+ .787 ₁₀ + 0	+ .997 ₁₀ + 0	+ .100 ₁₀ + 1		
VERBETERING	+ .800 ₁₀ + 1	+ .600 ₁₀ + 1	+ .100 ₁₀ + 1	+ .825 ₁₀ + 0	+ .764 ₁₀ + 0	+ .997 ₁₀ + 0	+ .100 ₁₀ + 1		
VERBETERING	+ .900 ₁₀ + 1	+ .600 ₁₀ + 1	+ .100 ₁₀ + 1	+ .801 ₁₀ + 0	+ .741 ₁₀ + 0	+ .997 ₁₀ + 0	+ .100 ₁₀ + 1		
VERBETERING	+ .100 ₁₀ + 2	+ .600 ₁₀ + 1	+ .100 ₁₀ + 1	+ .776 ₁₀ + 0	+ .719 ₁₀ + 0	+ .997 ₁₀ + 0	+ .100 ₁₀ + 1		
VERBETERING	+ .110 ₁₀ + 2	+ .600 ₁₀ + 1	+ .100 ₁₀ + 1	+ .751 ₁₀ + 0	+ .698 ₁₀ + 0	+ .997 ₁₀ + 0	+ .100 ₁₀ + 1		
VERBETERING	+ .120 ₁₀ + 2	+ .600 ₁₀ + 1	+ .100 ₁₀ + 1	+ .725 ₁₀ + 0	+ .677 ₁₀ + 0	+ .997 ₁₀ + 0	+ .100 ₁₀ + 1		
VERBETERING	+ .130 ₁₀ + 2	+ .600 ₁₀ + 1	+ .100 ₁₀ + 1	+ .700 ₁₀ + 0	+ .657 ₁₀ + 0	+ .997 ₁₀ + 0	+ .100 ₁₀ + 1		
VERBETERING	+ .140 ₁₀ + 2	+ .600 ₁₀ + 1	+ .100 ₁₀ + 1	+ .674 ₁₀ + 0	+ .638 ₁₀ + 0	+ .997 ₁₀ + 0	+ .100 ₁₀ + 1		
VERBETERING	+ .150 ₁₀ + 2	+ .600 ₁₀ + 1	+ .100 ₁₀ + 1	+ .649 ₁₀ + 0	+ .619 ₁₀ + 0	+ .997 ₁₀ + 0	+ .100 ₁₀ + 1		
VERBETERING	+ .160 ₁₀ + 2	+ .600 ₁₀ + 1	+ .100 ₁₀ + 1	+ .624 ₁₀ + 0	+ .601 ₁₀ + 0	+ .997 ₁₀ + 0	+ .100 ₁₀ + 1		
VERBETERING	+ .170 ₁₀ + 2	+ .600 ₁₀ + 1	+ .100 ₁₀ + 1	+ .599 ₁₀ + 0	+ .583 ₁₀ + 0	+ .997 ₁₀ + 0	+ .100 ₁₀ + 1		
VERBETERING	+ .180 ₁₀ + 2	+ .600 ₁₀ + 1	+ .100 ₁₀ + 1	+ .575 ₁₀ + 0	+ .566 ₁₀ + 0	+ .997 ₁₀ + 0	+ .100 ₁₀ + 1		
VERBETERING	+ .190 ₁₀ + 2	+ .600 ₁₀ + 1	+ .100 ₁₀ + 1	+ .551 ₁₀ + 0	+ .549 ₁₀ + 0	+ .997 ₁₀ + 0	+ .100 ₁₀ + 1		
VERBETERING	+ .100 ₁₀ + 1	+ .700 ₁₀ + 1	+ .100 ₁₀ + 1	+ .948 ₁₀ + 0	+ .932 ₁₀ + 0	+ .997 ₁₀ + 0	+ .100 ₁₀ + 1		
VERBETERING	+ .200 ₁₀ + 1	+ .700 ₁₀ + 1	+ .100 ₁₀ + 1	+ .934 ₁₀ + 0	+ .900 ₁₀ + 0	+ .997 ₁₀ + 0	+ .100 ₁₀ + 1		
VERBETERING	+ .300 ₁₀ + 1	+ .700 ₁₀ + 1	+ .100 ₁₀ + 1	+ .916 ₁₀ + 0	+ .870 ₁₀ + 0	+ .997 ₁₀ + 0	+ .100 ₁₀ + 1		
VERBETERING	+ .400 ₁₀ + 1	+ .700 ₁₀ + 1	+ .100 ₁₀ + 1	+ .895 ₁₀ + 0	+ .840 ₁₀ + 0	+ .997 ₁₀ + 0	+ .100 ₁₀ + 1		

+ .320₁₀+ 2 + .400₁₀+ 1 + .300₁₀+ 1 + .347₁₀+ 0 + .497₁₀+ 0 + .997₁₀+ 0 + .100₁₀+ 1
+ .330₁₀+ 2 + .400₁₀+ 1 + .300₁₀+ 1 + .336₁₀+ 0 + .487₁₀+ 0 + .997₁₀+ 0 + .100₁₀+ 1
+ .340₁₀+ 2 + .400₁₀+ 1 + .300₁₀+ 1 + .326₁₀+ 0 + .478₁₀+ 0 + .997₁₀+ 0 + .100₁₀+ 1
+ .350₁₀+ 2 + .400₁₀+ 1 + .300₁₀+ 1 + .316₁₀+ 0 + .468₁₀+ 0 + .997₁₀+ 0 + .100₁₀+ 1
+ .360₁₀+ 2 + .400₁₀+ 1 + .300₁₀+ 1 + .307₁₀+ 0 + .459₁₀+ 0 + .997₁₀+ 0 + .100₁₀+ 1
+ .370₁₀+ 2 + .400₁₀+ 1 + .300₁₀+ 1 + .297₁₀+ 0 + .450₁₀+ 0 + .997₁₀+ 0 + .100₁₀+ 1
+ .380₁₀+ 2 + .400₁₀+ 1 + .300₁₀+ 1 + .288₁₀+ 0 + .441₁₀+ 0 + .997₁₀+ 0 + .100₁₀+ 1
+ .390₁₀+ 2 + .400₁₀+ 1 + .300₁₀+ 1 + .279₁₀+ 0 + .432₁₀+ 0 + .997₁₀+ 0 + .100₁₀+ 1
+ .400₁₀+ 2 + .400₁₀+ 1 + .300₁₀+ 1 + .270₁₀+ 0 + .424₁₀+ 0 + .997₁₀+ 0 + .100₁₀+ 1
+ .410₁₀+ 2 + .400₁₀+ 1 + .300₁₀+ 1 + .262₁₀+ 0 + .415₁₀+ 0 + .997₁₀+ 0 + .100₁₀+ 1
+ .420₁₀+ 2 + .400₁₀+ 1 + .300₁₀+ 1 + .253₁₀+ 0 + .407₁₀+ 0 + .997₁₀+ 0 + .100₁₀+ 1
+ .430₁₀+ 2 + .400₁₀+ 1 + .300₁₀+ 1 + .245₁₀+ 0 + .399₁₀+ 0 + .997₁₀+ 0 + .100₁₀+ 1
+ .440₁₀+ 2 + .400₁₀+ 1 + .300₁₀+ 1 + .237₁₀+ 0 + .391₁₀+ 0 + .997₁₀+ 0 + .100₁₀+ 1
+ .450₁₀+ 2 + .400₁₀+ 1 + .300₁₀+ 1 + .229₁₀+ 0 + .383₁₀+ 0 + .997₁₀+ 0 + .100₁₀+ 1
+ .460₁₀+ 2 + .400₁₀+ 1 + .300₁₀+ 1 + .222₁₀+ 0 + .376₁₀+ 0 + .997₁₀+ 0 + .100₁₀+ 1
+ .470₁₀+ 2 + .400₁₀+ 1 + .300₁₀+ 1 + .215₁₀+ 0 + .368₁₀+ 0 + .997₁₀+ 0 + .100₁₀+ 1
+ .480₁₀+ 2 + .400₁₀+ 1 + .300₁₀+ 1 + .208₁₀+ 0 + .361₁₀+ 0 + .997₁₀+ 0 + .100₁₀+ 1
+ .490₁₀+ 2 + .400₁₀+ 1 + .300₁₀+ 1 + .201₁₀+ 0 + .354₁₀+ 0 + .997₁₀+ 0 + .100₁₀+ 1
+ .500₁₀+ 2 + .400₁₀+ 1 + .300₁₀+ 1 + .194₁₀+ 0 + .347₁₀+ 0 + .997₁₀+ 0 + .100₁₀+ 1
+ .510₁₀+ 2 + .400₁₀+ 1 + .300₁₀+ 1 + .188₁₀+ 0 + .340₁₀+ 0 + .997₁₀+ 0 + .100₁₀+ 1
+ .520₁₀+ 2 + .400₁₀+ 1 + .300₁₀+ 1 + .181₁₀+ 0 + .333₁₀+ 0 + .997₁₀+ 0 + .100₁₀+ 1
+ .530₁₀+ 2 + .400₁₀+ 1 + .300₁₀+ 1 + .175₁₀+ 0 + .327₁₀+ 0 + .997₁₀+ 0 + .100₁₀+ 1
+ .540₁₀+ 2 + .400₁₀+ 1 + .300₁₀+ 1 + .169₁₀+ 0 + .320₁₀+ 0 + .997₁₀+ 0 + .100₁₀+ 1
+ .550₁₀+ 2 + .400₁₀+ 1 + .300₁₀+ 1 + .163₁₀+ 0 + .314₁₀+ 0 + .997₁₀+ 0 + .100₁₀+ 1
+ .560₁₀+ 2 + .400₁₀+ 1 + .300₁₀+ 1 + .158₁₀+ 0 + .308₁₀+ 0 + .997₁₀+ 0 + .100₁₀+ 1
+ .570₁₀+ 2 + .400₁₀+ 1 + .300₁₀+ 1 + .152₁₀+ 0 + .302₁₀+ 0 + .997₁₀+ 0 + .100₁₀+ 1
+ .580₁₀+ 2 + .400₁₀+ 1 + .300₁₀+ 1 + .147₁₀+ 0 + .296₁₀+ 0 + .997₁₀+ 0 + .100₁₀+ 1
+ .590₁₀+ 2 + .400₁₀+ 1 + .300₁₀+ 1 + .142₁₀+ 0 + .290₁₀+ 0 + .997₁₀+ 0 + .100₁₀+ 1
+ .600₁₀+ 2 + .400₁₀+ 1 + .300₁₀+ 1 + .137₁₀+ 0 + .284₁₀+ 0 + .997₁₀+ 0 + .100₁₀+ 1
+ .610₁₀+ 2 + .400₁₀+ 1 + .300₁₀+ 1 + .132₁₀+ 0 + .279₁₀+ 0 + .997₁₀+ 0 + .100₁₀+ 1

<i>n</i>	<i>m</i>	<i>N</i>	<i>pred</i>	<i>pe</i>				
+ .200 ₁₀ + 1	+ .400 ₁₀ + 1	+ .300 ₁₀ + 1	+ .684 ₁₀ + 0	+ .905 ₁₀ + 0	+ .997 ₁₀ + 0	+ .100 ₁₀ + 1		
+ .300 ₁₀ + 1	+ .400 ₁₀ + 1	+ .300 ₁₀ + 1	+ .677 ₁₀ + 0	+ .887 ₁₀ + 0	+ .997 ₁₀ + 0	+ .100 ₁₀ + 1		
+ .400 ₁₀ + 1	+ .400 ₁₀ + 1	+ .300 ₁₀ + 1	+ .669 ₁₀ + 0	+ .870 ₁₀ + 0	+ .997 ₁₀ + 0	+ .100 ₁₀ + 1		
+ .500 ₁₀ + 1	+ .400 ₁₀ + 1	+ .300 ₁₀ + 1	+ .660 ₁₀ + 0	+ .852 ₁₀ + 0	+ .997 ₁₀ + 0	+ .100 ₁₀ + 1		
+ .600 ₁₀ + 1	+ .400 ₁₀ + 1	+ .300 ₁₀ + 1	+ .651 ₁₀ + 0	+ .835 ₁₀ + 0	+ .997 ₁₀ + 0	+ .100 ₁₀ + 1		
+ .700 ₁₀ + 1	+ .400 ₁₀ + 1	+ .300 ₁₀ + 1	+ .641 ₁₀ + 0	+ .819 ₁₀ + 0	+ .997 ₁₀ + 0	+ .100 ₁₀ + 1		
+ .800 ₁₀ + 1	+ .400 ₁₀ + 1	+ .300 ₁₀ + 1	+ .630 ₁₀ + 0	+ .803 ₁₀ + 0	+ .997 ₁₀ + 0	+ .100 ₁₀ + 1		
+ .900 ₁₀ + 1	+ .400 ₁₀ + 1	+ .300 ₁₀ + 1	+ .619 ₁₀ + 0	+ .787 ₁₀ + 0	+ .997 ₁₀ + 0	+ .100 ₁₀ + 1		
+ .100 ₁₀ + 2	+ .400 ₁₀ + 1	+ .300 ₁₀ + 1	+ .608 ₁₀ + 0	+ .771 ₁₀ + 0	+ .997 ₁₀ + 0	+ .100 ₁₀ + 1		
+ .110 ₁₀ + 2	+ .400 ₁₀ + 1	+ .300 ₁₀ + 1	+ .596 ₁₀ + 0	+ .756 ₁₀ + 0	+ .997 ₁₀ + 0	+ .100 ₁₀ + 1		
+ .120 ₁₀ + 2	+ .400 ₁₀ + 1	+ .300 ₁₀ + 1	+ .584 ₁₀ + 0	+ .741 ₁₀ + 0	+ .997 ₁₀ + 0	+ .100 ₁₀ + 1		
+ .130 ₁₀ + 2	+ .400 ₁₀ + 1	+ .300 ₁₀ + 1	+ .572 ₁₀ + 0	+ .726 ₁₀ + 0	+ .997 ₁₀ + 0	+ .100 ₁₀ + 1		
+ .140 ₁₀ + 2	+ .400 ₁₀ + 1	+ .300 ₁₀ + 1	+ .560 ₁₀ + 0	+ .712 ₁₀ + 0	+ .997 ₁₀ + 0	+ .100 ₁₀ + 1		
+ .150 ₁₀ + 2	+ .400 ₁₀ + 1	+ .300 ₁₀ + 1	+ .547 ₁₀ + 0	+ .698 ₁₀ + 0	+ .997 ₁₀ + 0	+ .100 ₁₀ + 1		
+ .160 ₁₀ + 2	+ .400 ₁₀ + 1	+ .300 ₁₀ + 1	+ .535 ₁₀ + 0	+ .684 ₁₀ + 0	+ .997 ₁₀ + 0	+ .100 ₁₀ + 1		
+ .170 ₁₀ + 2	+ .400 ₁₀ + 1	+ .300 ₁₀ + 1	+ .522 ₁₀ + 0	+ .671 ₁₀ + 0	+ .997 ₁₀ + 0	+ .100 ₁₀ + 1		
+ .180 ₁₀ + 2	+ .400 ₁₀ + 1	+ .300 ₁₀ + 1	+ .510 ₁₀ + 0	+ .657 ₁₀ + 0	+ .997 ₁₀ + 0	+ .100 ₁₀ + 1		
+ .190 ₁₀ + 2	+ .400 ₁₀ + 1	+ .300 ₁₀ + 1	+ .497 ₁₀ + 0	+ .644 ₁₀ + 0	+ .997 ₁₀ + 0	+ .100 ₁₀ + 1		
+ .200 ₁₀ + 2	+ .400 ₁₀ + 1	+ .300 ₁₀ + 1	+ .485 ₁₀ + 0	+ .632 ₁₀ + 0	+ .997 ₁₀ + 0	+ .100 ₁₀ + 1		
+ .210 ₁₀ + 2	+ .400 ₁₀ + 1	+ .300 ₁₀ + 1	+ .473 ₁₀ + 0	+ .619 ₁₀ + 0	+ .997 ₁₀ + 0	+ .100 ₁₀ + 1		
+ .220 ₁₀ + 2	+ .400 ₁₀ + 1	+ .300 ₁₀ + 1	+ .460 ₁₀ + 0	+ .607 ₁₀ + 0	+ .997 ₁₀ + 0	+ .100 ₁₀ + 1		
+ .230 ₁₀ + 2	+ .400 ₁₀ + 1	+ .300 ₁₀ + 1	+ .448 ₁₀ + 0	+ .595 ₁₀ + 0	+ .997 ₁₀ + 0	+ .100 ₁₀ + 1		
+ .240 ₁₀ + 2	+ .400 ₁₀ + 1	+ .300 ₁₀ + 1	+ .436 ₁₀ + 0	+ .583 ₁₀ + 0	+ .997 ₁₀ + 0	+ .100 ₁₀ + 1		
+ .250 ₁₀ + 2	+ .400 ₁₀ + 1	+ .300 ₁₀ + 1	+ .425 ₁₀ + 0	+ .572 ₁₀ + 0	+ .997 ₁₀ + 0	+ .100 ₁₀ + 1		
+ .260 ₁₀ + 2	+ .400 ₁₀ + 1	+ .300 ₁₀ + 1	+ .413 ₁₀ + 0	+ .560 ₁₀ + 0	+ .997 ₁₀ + 0	+ .100 ₁₀ + 1		
+ .270 ₁₀ + 2	+ .400 ₁₀ + 1	+ .300 ₁₀ + 1	+ .401 ₁₀ + 0	+ .549 ₁₀ + 0	+ .997 ₁₀ + 0	+ .100 ₁₀ + 1		
+ .280 ₁₀ + 2	+ .400 ₁₀ + 1	+ .300 ₁₀ + 1	+ .390 ₁₀ + 0	+ .538 ₁₀ + 0	+ .997 ₁₀ + 0	+ .100 ₁₀ + 1		
+ .290 ₁₀ + 2	+ .400 ₁₀ + 1	+ .300 ₁₀ + 1	+ .379 ₁₀ + 0	+ .528 ₁₀ + 0	+ .997 ₁₀ + 0	+ .100 ₁₀ + 1		
+ .300 ₁₀ + 2	+ .400 ₁₀ + 1	+ .300 ₁₀ + 1	+ .368 ₁₀ + 0	+ .517 ₁₀ + 0	+ .997 ₁₀ + 0	+ .100 ₁₀ + 1		
+ .310 ₁₀ + 2	+ .400 ₁₀ + 1	+ .300 ₁₀ + 1	+ .357 ₁₀ + 0	+ .507 ₁₀ + 0	+ .997 ₁₀ + 0	+ .100 ₁₀ + 1		

+.420₁₀+ 2 +.400₁₀+ 1 +.200₁₀+ 1 +.319₁₀+ 0 +.415₁₀+ 0 +.998₁₀+ 0 +.100₁₀+ 1
 +.430₁₀+ 2 +.400₁₀+ 1 +.200₁₀+ 1 +.309₁₀+ 0 +.407₁₀+ 0 +.998₁₀+ 0 +.100₁₀+ 1
 +.440₁₀+ 2 +.400₁₀+ 1 +.200₁₀+ 1 +.299₁₀+ 0 +.399₁₀+ 0 +.998₁₀+ 0 +.100₁₀+ 1
 +.450₁₀+ 2 +.400₁₀+ 1 +.200₁₀+ 1 +.289₁₀+ 0 +.391₁₀+ 0 +.998₁₀+ 0 +.100₁₀+ 1
 +.460₁₀+ 2 +.400₁₀+ 1 +.200₁₀+ 1 +.280₁₀+ 0 +.383₁₀+ 0 +.998₁₀+ 0 +.100₁₀+ 1
 +.470₁₀+ 2 +.400₁₀+ 1 +.200₁₀+ 1 +.271₁₀+ 0 +.376₁₀+ 0 +.998₁₀+ 0 +.100₁₀+ 1
 +.480₁₀+ 2 +.400₁₀+ 1 +.200₁₀+ 1 +.262₁₀+ 0 +.368₁₀+ 0 +.998₁₀+ 0 +.100₁₀+ 1
 +.490₁₀+ 2 +.400₁₀+ 1 +.200₁₀+ 1 +.253₁₀+ 0 +.361₁₀+ 0 +.998₁₀+ 0 +.100₁₀+ 1
 +.500₁₀+ 2 +.400₁₀+ 1 +.200₁₀+ 1 +.245₁₀+ 0 +.354₁₀+ 0 +.998₁₀+ 0 +.100₁₀+ 1
 +.510₁₀+ 2 +.400₁₀+ 1 +.200₁₀+ 1 +.237₁₀+ 0 +.347₁₀+ 0 +.998₁₀+ 0 +.100₁₀+ 1
 +.520₁₀+ 2 +.400₁₀+ 1 +.200₁₀+ 1 +.229₁₀+ 0 +.340₁₀+ 0 +.998₁₀+ 0 +.100₁₀+ 1
 +.530₁₀+ 2 +.400₁₀+ 1 +.200₁₀+ 1 +.221₁₀+ 0 +.333₁₀+ 0 +.998₁₀+ 0 +.100₁₀+ 1
 +.540₁₀+ 2 +.400₁₀+ 1 +.200₁₀+ 1 +.214₁₀+ 0 +.327₁₀+ 0 +.998₁₀+ 0 +.100₁₀+ 1
 +.550₁₀+ 2 +.400₁₀+ 1 +.200₁₀+ 1 +.206₁₀+ 0 +.320₁₀+ 0 +.998₁₀+ 0 +.100₁₀+ 1
 +.560₁₀+ 2 +.400₁₀+ 1 +.200₁₀+ 1 +.199₁₀+ 0 +.314₁₀+ 0 +.998₁₀+ 0 +.100₁₀+ 1
 +.570₁₀+ 2 +.400₁₀+ 1 +.200₁₀+ 1 +.193₁₀+ 0 +.308₁₀+ 0 +.998₁₀+ 0 +.100₁₀+ 1
 +.580₁₀+ 2 +.400₁₀+ 1 +.200₁₀+ 1 +.186₁₀+ 0 +.302₁₀+ 0 +.998₁₀+ 0 +.100₁₀+ 1
 +.590₁₀+ 2 +.400₁₀+ 1 +.200₁₀+ 1 +.180₁₀+ 0 +.296₁₀+ 0 +.998₁₀+ 0 +.100₁₀+ 1
 +.600₁₀+ 2 +.400₁₀+ 1 +.200₁₀+ 1 +.173₁₀+ 0 +.290₁₀+ 0 +.998₁₀+ 0 +.100₁₀+ 1
 +.610₁₀+ 2 +.400₁₀+ 1 +.200₁₀+ 1 +.167₁₀+ 0 +.284₁₀+ 0 +.998₁₀+ 0 +.100₁₀+ 1
 +.620₁₀+ 2 +.400₁₀+ 1 +.200₁₀+ 1 +.162₁₀+ 0 +.279₁₀+ 0 +.998₁₀+ 0 +.100₁₀+ 1
 +.630₁₀+ 2 +.400₁₀+ 1 +.200₁₀+ 1 +.156₁₀+ 0 +.273₁₀+ 0 +.998₁₀+ 0 +.100₁₀+ 1
 +.640₁₀+ 2 +.400₁₀+ 1 +.200₁₀+ 1 +.151₁₀+ 0 +.268₁₀+ 0 +.998₁₀+ 0 +.100₁₀+ 1
 +.650₁₀+ 2 +.400₁₀+ 1 +.200₁₀+ 1 +.145₁₀+ 0 +.262₁₀+ 0 +.998₁₀+ 0 +.100₁₀+ 1
 +.660₁₀+ 2 +.400₁₀+ 1 +.200₁₀+ 1 +.140₁₀+ 0 +.257₁₀+ 0 +.998₁₀+ 0 +.100₁₀+ 1
 +.670₁₀+ 2 +.400₁₀+ 1 +.200₁₀+ 1 +.135₁₀+ 0 +.252₁₀+ 0 +.998₁₀+ 0 +.100₁₀+ 1
 +.680₁₀+ 2 +.400₁₀+ 1 +.200₁₀+ 1 +.130₁₀+ 0 +.247₁₀+ 0 +.998₁₀+ 0 +.100₁₀+ 1
 +.690₁₀+ 2 +.400₁₀+ 1 +.200₁₀+ 1 +.126₁₀+ 0 +.242₁₀+ 0 +.998₁₀+ 0 +.100₁₀+ 1
 +.700₁₀+ 2 +.400₁₀+ 1 +.200₁₀+ 1 +.121₁₀+ 0 +.237₁₀+ 0 +.998₁₀+ 0 +.100₁₀+ 1
 +.100₁₀+ 1 +.400₁₀+ 1 +.300₁₀+ 1 +.690₁₀+ 0 +.923₁₀+ 0 +.997₁₀+ 0 +.100₁₀+ 1

p = p2

<i>n</i>	<i>m</i>	<i>N</i>	<i>pred</i>	<i>pe</i>				
+ .120 ₁₀ + 2	+ .400 ₁₀ + 1	+ .200 ₁₀ + 1	+ .726 ₁₀ + 0	+ .756 ₁₀ + 0	+ .998 ₁₀ + 0	+ .100 ₁₀ + 1		
+ .130 ₁₀ + 2	+ .400 ₁₀ + 1	+ .200 ₁₀ + 1	+ .711 ₁₀ + 0	+ .741 ₁₀ + 0	+ .998 ₁₀ + 0	+ .100 ₁₀ + 1		
+ .140 ₁₀ + 2	+ .400 ₁₀ + 1	+ .200 ₁₀ + 1	+ .697 ₁₀ + 0	+ .726 ₁₀ + 0	+ .998 ₁₀ + 0	+ .100 ₁₀ + 1		
+ .150 ₁₀ + 2	+ .400 ₁₀ + 1	+ .200 ₁₀ + 1	+ .682 ₁₀ + 0	+ .712 ₁₀ + 0	+ .998 ₁₀ + 0	+ .100 ₁₀ + 1		
+ .160 ₁₀ + 2	+ .400 ₁₀ + 1	+ .200 ₁₀ + 1	+ .667 ₁₀ + 0	+ .698 ₁₀ + 0	+ .998 ₁₀ + 0	+ .100 ₁₀ + 1		
+ .170 ₁₀ + 2	+ .400 ₁₀ + 1	+ .200 ₁₀ + 1	+ .652 ₁₀ + 0	+ .684 ₁₀ + 0	+ .998 ₁₀ + 0	+ .100 ₁₀ + 1		
+ .180 ₁₀ + 2	+ .400 ₁₀ + 1	+ .200 ₁₀ + 1	+ .637 ₁₀ + 0	+ .671 ₁₀ + 0	+ .998 ₁₀ + 0	+ .100 ₁₀ + 1		
+ .190 ₁₀ + 2	+ .400 ₁₀ + 1	+ .200 ₁₀ + 1	+ .621 ₁₀ + 0	+ .657 ₁₀ + 0	+ .998 ₁₀ + 0	+ .100 ₁₀ + 1		
+ .200 ₁₀ + 2	+ .400 ₁₀ + 1	+ .200 ₁₀ + 1	+ .606 ₁₀ + 0	+ .644 ₁₀ + 0	+ .998 ₁₀ + 0	+ .100 ₁₀ + 1		
+ .210 ₁₀ + 2	+ .400 ₁₀ + 1	+ .200 ₁₀ + 1	+ .591 ₁₀ + 0	+ .632 ₁₀ + 0	+ .998 ₁₀ + 0	+ .100 ₁₀ + 1		
+ .220 ₁₀ + 2	+ .400 ₁₀ + 1	+ .200 ₁₀ + 1	+ .576 ₁₀ + 0	+ .619 ₁₀ + 0	+ .998 ₁₀ + 0	+ .100 ₁₀ + 1		
+ .230 ₁₀ + 2	+ .400 ₁₀ + 1	+ .200 ₁₀ + 1	+ .561 ₁₀ + 0	+ .607 ₁₀ + 0	+ .998 ₁₀ + 0	+ .100 ₁₀ + 1		
+ .240 ₁₀ + 2	+ .400 ₁₀ + 1	+ .200 ₁₀ + 1	+ .547 ₁₀ + 0	+ .595 ₁₀ + 0	+ .998 ₁₀ + 0	+ .100 ₁₀ + 1		
+ .250 ₁₀ + 2	+ .400 ₁₀ + 1	+ .200 ₁₀ + 1	+ .532 ₁₀ + 0	+ .583 ₁₀ + 0	+ .998 ₁₀ + 0	+ .100 ₁₀ + 1		
+ .260 ₁₀ + 2	+ .400 ₁₀ + 1	+ .200 ₁₀ + 1	+ .518 ₁₀ + 0	+ .572 ₁₀ + 0	+ .998 ₁₀ + 0	+ .100 ₁₀ + 1		
+ .270 ₁₀ + 2	+ .400 ₁₀ + 1	+ .200 ₁₀ + 1	+ .503 ₁₀ + 0	+ .560 ₁₀ + 0	+ .998 ₁₀ + 0	+ .100 ₁₀ + 1		
+ .280 ₁₀ + 2	+ .400 ₁₀ + 1	+ .200 ₁₀ + 1	+ .489 ₁₀ + 0	+ .549 ₁₀ + 0	+ .998 ₁₀ + 0	+ .100 ₁₀ + 1		
+ .290 ₁₀ + 2	+ .400 ₁₀ + 1	+ .200 ₁₀ + 1	+ .476 ₁₀ + 0	+ .538 ₁₀ + 0	+ .998 ₁₀ + 0	+ .100 ₁₀ + 1		
+ .300 ₁₀ + 2	+ .400 ₁₀ + 1	+ .200 ₁₀ + 1	+ .462 ₁₀ + 0	+ .528 ₁₀ + 0	+ .998 ₁₀ + 0	+ .100 ₁₀ + 1		
+ .310 ₁₀ + 2	+ .400 ₁₀ + 1	+ .200 ₁₀ + 1	+ .449 ₁₀ + 0	+ .517 ₁₀ + 0	+ .998 ₁₀ + 0	+ .100 ₁₀ + 1		
+ .320 ₁₀ + 2	+ .400 ₁₀ + 1	+ .200 ₁₀ + 1	+ .436 ₁₀ + 0	+ .507 ₁₀ + 0	+ .998 ₁₀ + 0	+ .100 ₁₀ + 1		
+ .330 ₁₀ + 2	+ .400 ₁₀ + 1	+ .200 ₁₀ + 1	+ .423 ₁₀ + 0	+ .497 ₁₀ + 0	+ .998 ₁₀ + 0	+ .100 ₁₀ + 1		
+ .340 ₁₀ + 2	+ .400 ₁₀ + 1	+ .200 ₁₀ + 1	+ .410 ₁₀ + 0	+ .487 ₁₀ + 0	+ .998 ₁₀ + 0	+ .100 ₁₀ + 1		
+ .350 ₁₀ + 2	+ .400 ₁₀ + 1	+ .200 ₁₀ + 1	+ .398 ₁₀ + 0	+ .478 ₁₀ + 0	+ .998 ₁₀ + 0	+ .100 ₁₀ + 1		
+ .360 ₁₀ + 2	+ .400 ₁₀ + 1	+ .200 ₁₀ + 1	+ .386 ₁₀ + 0	+ .468 ₁₀ + 0	+ .998 ₁₀ + 0	+ .100 ₁₀ + 1		
+ .370 ₁₀ + 2	+ .400 ₁₀ + 1	+ .200 ₁₀ + 1	+ .374 ₁₀ + 0	+ .459 ₁₀ + 0	+ .998 ₁₀ + 0	+ .100 ₁₀ + 1		
+ .380 ₁₀ + 2	+ .400 ₁₀ + 1	+ .200 ₁₀ + 1	+ .362 ₁₀ + 0	+ .450 ₁₀ + 0	+ .998 ₁₀ + 0	+ .100 ₁₀ + 1		
+ .390 ₁₀ + 2	+ .400 ₁₀ + 1	+ .200 ₁₀ + 1	+ .351 ₁₀ + 0	+ .441 ₁₀ + 0	+ .998 ₁₀ + 0	+ .100 ₁₀ + 1		
+ .400 ₁₀ + 2	+ .400 ₁₀ + 1	+ .200 ₁₀ + 1	+ .340 ₁₀ + 0	+ .432 ₁₀ + 0	+ .998 ₁₀ + 0	+ .100 ₁₀ + 1		
+ .410 ₁₀ + 2	+ .400 ₁₀ + 1	+ .200 ₁₀ + 1	+ .330 ₁₀ + 0	+ .424 ₁₀ + 0	+ .998 ₁₀ + 0	+ .100 ₁₀ + 1		

+ .120₁₀+ 2 + .400₁₀+ 1 + .500₁₀+ 1 + .298₁₀+ 0 + .712₁₀+ 0 + .994₁₀+ 0 + .100₁₀+ 1
+ .130₁₀+ 2 + .400₁₀+ 1 + .500₁₀+ 1 + .291₁₀+ 0 + .698₁₀+ 0 + .994₁₀+ 0 + .100₁₀+ 1
+ .140₁₀+ 2 + .400₁₀+ 1 + .500₁₀+ 1 + .285₁₀+ 0 + .684₁₀+ 0 + .994₁₀+ 0 + .100₁₀+ 1
+ .150₁₀+ 2 + .400₁₀+ 1 + .500₁₀+ 1 + .278₁₀+ 0 + .671₁₀+ 0 + .994₁₀+ 0 + .100₁₀+ 1
+ .160₁₀+ 2 + .400₁₀+ 1 + .500₁₀+ 1 + .271₁₀+ 0 + .657₁₀+ 0 + .994₁₀+ 0 + .100₁₀+ 1
+ .170₁₀+ 2 + .400₁₀+ 1 + .500₁₀+ 1 + .264₁₀+ 0 + .644₁₀+ 0 + .994₁₀+ 0 + .100₁₀+ 1
+ .180₁₀+ 2 + .400₁₀+ 1 + .500₁₀+ 1 + .258₁₀+ 0 + .632₁₀+ 0 + .994₁₀+ 0 + .100₁₀+ 1
+ .190₁₀+ 2 + .400₁₀+ 1 + .500₁₀+ 1 + .251₁₀+ 0 + .619₁₀+ 0 + .994₁₀+ 0 + .100₁₀+ 1
+ .200₁₀+ 2 + .400₁₀+ 1 + .500₁₀+ 1 + .245₁₀+ 0 + .607₁₀+ 0 + .994₁₀+ 0 + .100₁₀+ 1
+ .210₁₀+ 2 + .400₁₀+ 1 + .500₁₀+ 1 + .238₁₀+ 0 + .595₁₀+ 0 + .994₁₀+ 0 + .100₁₀+ 1
+ .220₁₀+ 2 + .400₁₀+ 1 + .500₁₀+ 1 + .232₁₀+ 0 + .583₁₀+ 0 + .994₁₀+ 0 + .100₁₀+ 1
+ .230₁₀+ 2 + .400₁₀+ 1 + .500₁₀+ 1 + .225₁₀+ 0 + .572₁₀+ 0 + .994₁₀+ 0 + .100₁₀+ 1
+ .240₁₀+ 2 + .400₁₀+ 1 + .500₁₀+ 1 + .219₁₀+ 0 + .560₁₀+ 0 + .994₁₀+ 0 + .100₁₀+ 1
+ .250₁₀+ 2 + .400₁₀+ 1 + .500₁₀+ 1 + .213₁₀+ 0 + .549₁₀+ 0 + .994₁₀+ 0 + .100₁₀+ 1
+ .260₁₀+ 2 + .400₁₀+ 1 + .500₁₀+ 1 + .207₁₀+ 0 + .538₁₀+ 0 + .994₁₀+ 0 + .100₁₀+ 1
+ .270₁₀+ 2 + .400₁₀+ 1 + .500₁₀+ 1 + .201₁₀+ 0 + .528₁₀+ 0 + .994₁₀+ 0 + .100₁₀+ 1
+ .280₁₀+ 2 + .400₁₀+ 1 + .500₁₀+ 1 + .195₁₀+ 0 + .517₁₀+ 0 + .994₁₀+ 0 + .100₁₀+ 1
+ .290₁₀+ 2 + .400₁₀+ 1 + .500₁₀+ 1 + .189₁₀+ 0 + .507₁₀+ 0 + .994₁₀+ 0 + .100₁₀+ 1
+ .300₁₀+ 2 + .400₁₀+ 1 + .500₁₀+ 1 + .184₁₀+ 0 + .497₁₀+ 0 + .994₁₀+ 0 + .100₁₀+ 1
+ .310₁₀+ 2 + .400₁₀+ 1 + .500₁₀+ 1 + .178₁₀+ 0 + .487₁₀+ 0 + .994₁₀+ 0 + .100₁₀+ 1
+ .320₁₀+ 2 + .400₁₀+ 1 + .500₁₀+ 1 + .173₁₀+ 0 + .478₁₀+ 0 + .994₁₀+ 0 + .100₁₀+ 1
+ .330₁₀+ 2 + .400₁₀+ 1 + .500₁₀+ 1 + .168₁₀+ 0 + .468₁₀+ 0 + .994₁₀+ 0 + .100₁₀+ 1
+ .340₁₀+ 2 + .400₁₀+ 1 + .500₁₀+ 1 + .162₁₀+ 0 + .459₁₀+ 0 + .994₁₀+ 0 + .100₁₀+ 1
+ .350₁₀+ 2 + .400₁₀+ 1 + .500₁₀+ 1 + .157₁₀+ 0 + .450₁₀+ 0 + .994₁₀+ 0 + .100₁₀+ 1
+ .360₁₀+ 2 + .400₁₀+ 1 + .500₁₀+ 1 + .153₁₀+ 0 + .441₁₀+ 0 + .994₁₀+ 0 + .100₁₀+ 1
+ .370₁₀+ 2 + .400₁₀+ 1 + .500₁₀+ 1 + .148₁₀+ 0 + .432₁₀+ 0 + .994₁₀+ 0 + .100₁₀+ 1
+ .380₁₀+ 2 + .400₁₀+ 1 + .500₁₀+ 1 + .143₁₀+ 0 + .424₁₀+ 0 + .994₁₀+ 0 + .100₁₀+ 1
+ .390₁₀+ 2 + .400₁₀+ 1 + .500₁₀+ 1 + .139₁₀+ 0 + .415₁₀+ 0 + .994₁₀+ 0 + .100₁₀+ 1
+ .400₁₀+ 2 + .400₁₀+ 1 + .500₁₀+ 1 + .134₁₀+ 0 + .407₁₀+ 0 + .994₁₀+ 0 + .100₁₀+ 1
+ .410₁₀+ 2 + .400₁₀+ 1 + .500₁₀+ 1 + .130₁₀+ 0 + .399₁₀+ 0 + .994₁₀+ 0 + .100₁₀+ 1

<i>n</i>	<i>m</i>	<i>N</i>	<i>pred</i>	<i>PC</i>				
+ .520 ₁₀ + 2	+ .400 ₁₀ + 1	+ .400 ₁₀ + 1	+ .133 ₁₀ + 0	+ .327 ₁₀ + 0	+ .995 ₁₀ + 0	+ .100 ₁₀ + 1		
+ .530 ₁₀ + 2	+ .400 ₁₀ + 1	+ .400 ₁₀ + 1	+ .128 ₁₀ + 0	+ .320 ₁₀ + 0	+ .995 ₁₀ + 0	+ .100 ₁₀ + 1		
+ .540 ₁₀ + 2	+ .400 ₁₀ + 1	+ .400 ₁₀ + 1	+ .124 ₁₀ + 0	+ .314 ₁₀ + 0	+ .995 ₁₀ + 0	+ .100 ₁₀ + 1		
+ .550 ₁₀ + 2	+ .400 ₁₀ + 1	+ .400 ₁₀ + 1	+ .119 ₁₀ + 0	+ .308 ₁₀ + 0	+ .995 ₁₀ + 0	+ .100 ₁₀ + 1		
+ .560 ₁₀ + 2	+ .400 ₁₀ + 1	+ .400 ₁₀ + 1	+ .115 ₁₀ + 0	+ .302 ₁₀ + 0	+ .995 ₁₀ + 0	+ .100 ₁₀ + 1		
+ .570 ₁₀ + 2	+ .400 ₁₀ + 1	+ .400 ₁₀ + 1	+ .111 ₁₀ + 0	+ .296 ₁₀ + 0	+ .995 ₁₀ + 0	+ .100 ₁₀ + 1		
+ .580 ₁₀ + 2	+ .400 ₁₀ + 1	+ .400 ₁₀ + 1	+ .108 ₁₀ + 0	+ .290 ₁₀ + 0	+ .995 ₁₀ + 0	+ .100 ₁₀ + 1		
+ .590 ₁₀ + 2	+ .400 ₁₀ + 1	+ .400 ₁₀ + 1	+ .104 ₁₀ + 0	+ .284 ₁₀ + 0	+ .995 ₁₀ + 0	+ .100 ₁₀ + 1		
+ .600 ₁₀ + 2	+ .400 ₁₀ + 1	+ .400 ₁₀ + 1	+ .100 ₁₀ + 0	+ .279 ₁₀ + 0	+ .995 ₁₀ + 0	+ .100 ₁₀ + 1		
+ .610 ₁₀ + 2	+ .400 ₁₀ + 1	+ .400 ₁₀ + 1	+ .967 ₁₀ - 1	+ .273 ₁₀ + 0	+ .995 ₁₀ + 0	+ .100 ₁₀ + 1		
+ .620 ₁₀ + 2	+ .400 ₁₀ + 1	+ .400 ₁₀ + 1	+ .933 ₁₀ - 1	+ .268 ₁₀ + 0	+ .995 ₁₀ + 0	+ .100 ₁₀ + 1		
+ .630 ₁₀ + 2	+ .400 ₁₀ + 1	+ .400 ₁₀ + 1	+ .901 ₁₀ - 1	+ .262 ₁₀ + 0	+ .995 ₁₀ + 0	+ .100 ₁₀ + 1		
+ .640 ₁₀ + 2	+ .400 ₁₀ + 1	+ .400 ₁₀ + 1	+ .869 ₁₀ - 1	+ .257 ₁₀ + 0	+ .995 ₁₀ + 0	+ .100 ₁₀ + 1		
+ .650 ₁₀ + 2	+ .400 ₁₀ + 1	+ .400 ₁₀ + 1	+ .838 ₁₀ - 1	+ .252 ₁₀ + 0	+ .995 ₁₀ + 0	+ .100 ₁₀ + 1		
+ .660 ₁₀ + 2	+ .400 ₁₀ + 1	+ .400 ₁₀ + 1	+ .809 ₁₀ - 1	+ .247 ₁₀ + 0	+ .995 ₁₀ + 0	+ .100 ₁₀ + 1		
+ .670 ₁₀ + 2	+ .400 ₁₀ + 1	+ .400 ₁₀ + 1	+ .780 ₁₀ - 1	+ .242 ₁₀ + 0	+ .995 ₁₀ + 0	+ .100 ₁₀ + 1		
+ .680 ₁₀ + 2	+ .400 ₁₀ + 1	+ .400 ₁₀ + 1	+ .752 ₁₀ - 1	+ .237 ₁₀ + 0	+ .995 ₁₀ + 0	+ .100 ₁₀ + 1		
+ .690 ₁₀ + 2	+ .400 ₁₀ + 1	+ .400 ₁₀ + 1	+ .725 ₁₀ - 1	+ .233 ₁₀ + 0	+ .995 ₁₀ + 0	+ .100 ₁₀ + 1		
+ .700 ₁₀ + 2	+ .400 ₁₀ + 1	+ .400 ₁₀ + 1	+ .700 ₁₀ - 1	+ .228 ₁₀ + 0	+ .995 ₁₀ + 0	+ .100 ₁₀ + 1		
+ .100 ₁₀ + 1	+ .400 ₁₀ + 1	+ .500 ₁₀ + 1	+ .362 ₁₀ + 0	+ .887 ₁₀ + 0	+ .994 ₁₀ + 0	+ .100 ₁₀ + 1		
+ .200 ₁₀ + 1	+ .400 ₁₀ + 1	+ .500 ₁₀ + 1	+ .358 ₁₀ + 0	+ .870 ₁₀ + 0	+ .994 ₁₀ + 0	+ .100 ₁₀ + 1		
+ .300 ₁₀ + 1	+ .400 ₁₀ + 1	+ .500 ₁₀ + 1	+ .353 ₁₀ + 0	+ .852 ₁₀ + 0	+ .994 ₁₀ + 0	+ .100 ₁₀ + 1		
+ .400 ₁₀ + 1	+ .400 ₁₀ + 1	+ .500 ₁₀ + 1	+ .347 ₁₀ + 0	+ .835 ₁₀ + 0	+ .994 ₁₀ + 0	+ .100 ₁₀ + 1		
+ .500 ₁₀ + 1	+ .400 ₁₀ + 1	+ .500 ₁₀ + 1	+ .342 ₁₀ + 0	+ .819 ₁₀ + 0	+ .994 ₁₀ + 0	+ .100 ₁₀ + 1		
+ .600 ₁₀ + 1	+ .400 ₁₀ + 1	+ .500 ₁₀ + 1	+ .336 ₁₀ + 0	+ .803 ₁₀ + 0	+ .994 ₁₀ + 0	+ .100 ₁₀ + 1		
+ .700 ₁₀ + 1	+ .400 ₁₀ + 1	+ .500 ₁₀ + 1	+ .330 ₁₀ + 0	+ .787 ₁₀ + 0	+ .994 ₁₀ + 0	+ .100 ₁₀ + 1		
+ .800 ₁₀ + 1	+ .400 ₁₀ + 1	+ .500 ₁₀ + 1	+ .324 ₁₀ + 0	+ .771 ₁₀ + 0	+ .994 ₁₀ + 0	+ .100 ₁₀ + 1		
+ .900 ₁₀ + 1	+ .400 ₁₀ + 1	+ .500 ₁₀ + 1	+ .318 ₁₀ + 0	+ .756 ₁₀ + 0	+ .994 ₁₀ + 0	+ .100 ₁₀ + 1		
+ .100 ₁₀ + 2	+ .400 ₁₀ + 1	+ .500 ₁₀ + 1	+ .311 ₁₀ + 0	+ .741 ₁₀ + 0	+ .994 ₁₀ + 0	+ .100 ₁₀ + 1		
+ .110 ₁₀ + 2	+ .400 ₁₀ + 1	+ .500 ₁₀ + 1	+ .305 ₁₀ + 0	+ .726 ₁₀ + 0	+ .994 ₁₀ + 0	+ .100 ₁₀ + 1		

+ .220₁₀+ 2 + .400₁₀+ 1 + .400₁₀+ 1 + .340₁₀+ 0 + .595₁₀+ 0 + .995₁₀+ 0 + .100₁₀+ 1
+ .230₁₀+ 2 + .400₁₀+ 1 + .400₁₀+ 1 + .331₁₀+ 0 + .583₁₀+ 0 + .995₁₀+ 0 + .100₁₀+ 1
+ .240₁₀+ 2 + .400₁₀+ 1 + .400₁₀+ 1 + .322₁₀+ 0 + .572₁₀+ 0 + .995₁₀+ 0 + .100₁₀+ 1
+ .250₁₀+ 2 + .400₁₀+ 1 + .400₁₀+ 1 + .313₁₀+ 0 + .560₁₀+ 0 + .995₁₀+ 0 + .100₁₀+ 1
+ .260₁₀+ 2 + .400₁₀+ 1 + .400₁₀+ 1 + .304₁₀+ 0 + .549₁₀+ 0 + .995₁₀+ 0 + .100₁₀+ 1
+ .270₁₀+ 2 + .400₁₀+ 1 + .400₁₀+ 1 + .296₁₀+ 0 + .538₁₀+ 0 + .995₁₀+ 0 + .100₁₀+ 1
+ .280₁₀+ 2 + .400₁₀+ 1 + .400₁₀+ 1 + .287₁₀+ 0 + .528₁₀+ 0 + .995₁₀+ 0 + .100₁₀+ 1
+ .290₁₀+ 2 + .400₁₀+ 1 + .400₁₀+ 1 + .279₁₀+ 0 + .517₁₀+ 0 + .995₁₀+ 0 + .100₁₀+ 1
+ .300₁₀+ 2 + .400₁₀+ 1 + .400₁₀+ 1 + .271₁₀+ 0 + .507₁₀+ 0 + .995₁₀+ 0 + .100₁₀+ 1
+ .310₁₀+ 2 + .400₁₀+ 1 + .400₁₀+ 1 + .263₁₀+ 0 + .497₁₀+ 0 + .995₁₀+ 0 + .100₁₀+ 1
+ .320₁₀+ 2 + .400₁₀+ 1 + .400₁₀+ 1 + .255₁₀+ 0 + .487₁₀+ 0 + .995₁₀+ 0 + .100₁₀+ 1
+ .330₁₀+ 2 + .400₁₀+ 1 + .400₁₀+ 1 + .247₁₀+ 0 + .478₁₀+ 0 + .995₁₀+ 0 + .100₁₀+ 1
+ .340₁₀+ 2 + .400₁₀+ 1 + .400₁₀+ 1 + .240₁₀+ 0 + .468₁₀+ 0 + .995₁₀+ 0 + .100₁₀+ 1
+ .350₁₀+ 2 + .400₁₀+ 1 + .400₁₀+ 1 + .232₁₀+ 0 + .459₁₀+ 0 + .995₁₀+ 0 + .100₁₀+ 1
+ .360₁₀+ 2 + .400₁₀+ 1 + .400₁₀+ 1 + .225₁₀+ 0 + .450₁₀+ 0 + .995₁₀+ 0 + .100₁₀+ 1
+ .370₁₀+ 2 + .400₁₀+ 1 + .400₁₀+ 1 + .218₁₀+ 0 + .441₁₀+ 0 + .995₁₀+ 0 + .100₁₀+ 1
+ .380₁₀+ 2 + .400₁₀+ 1 + .400₁₀+ 1 + .211₁₀+ 0 + .432₁₀+ 0 + .995₁₀+ 0 + .100₁₀+ 1
+ .390₁₀+ 2 + .400₁₀+ 1 + .400₁₀+ 1 + .205₁₀+ 0 + .424₁₀+ 0 + .995₁₀+ 0 + .100₁₀+ 1
+ .400₁₀+ 2 + .400₁₀+ 1 + .400₁₀+ 1 + .198₁₀+ 0 + .415₁₀+ 0 + .995₁₀+ 0 + .100₁₀+ 1
+ .410₁₀+ 2 + .400₁₀+ 1 + .400₁₀+ 1 + .192₁₀+ 0 + .407₁₀+ 0 + .995₁₀+ 0 + .100₁₀+ 1
+ .420₁₀+ 2 + .400₁₀+ 1 + .400₁₀+ 1 + .186₁₀+ 0 + .399₁₀+ 0 + .995₁₀+ 0 + .100₁₀+ 1
+ .430₁₀+ 2 + .400₁₀+ 1 + .400₁₀+ 1 + .180₁₀+ 0 + .391₁₀+ 0 + .995₁₀+ 0 + .100₁₀+ 1
+ .440₁₀+ 2 + .400₁₀+ 1 + .400₁₀+ 1 + .174₁₀+ 0 + .383₁₀+ 0 + .995₁₀+ 0 + .100₁₀+ 1
+ .450₁₀+ 2 + .400₁₀+ 1 + .400₁₀+ 1 + .168₁₀+ 0 + .376₁₀+ 0 + .995₁₀+ 0 + .100₁₀+ 1
+ .460₁₀+ 2 + .400₁₀+ 1 + .400₁₀+ 1 + .163₁₀+ 0 + .368₁₀+ 0 + .995₁₀+ 0 + .100₁₀+ 1
+ .470₁₀+ 2 + .400₁₀+ 1 + .400₁₀+ 1 + .157₁₀+ 0 + .361₁₀+ 0 + .995₁₀+ 0 + .100₁₀+ 1
+ .480₁₀+ 2 + .400₁₀+ 1 + .400₁₀+ 1 + .152₁₀+ 0 + .354₁₀+ 0 + .995₁₀+ 0 + .100₁₀+ 1
+ .490₁₀+ 2 + .400₁₀+ 1 + .400₁₀+ 1 + .147₁₀+ 0 + .347₁₀+ 0 + .995₁₀+ 0 + .100₁₀+ 1
+ .500₁₀+ 2 + .400₁₀+ 1 + .400₁₀+ 1 + .142₁₀+ 0 + .340₁₀+ 0 + .995₁₀+ 0 + .100₁₀+ 1
+ .510₁₀+ 2 + .400₁₀+ 1 + .400₁₀+ 1 + .137₁₀+ 0 + .333₁₀+ 0 + .995₁₀+ 0 + .100₁₀+ 1

<i>n</i>	<i>m</i>	<i>N</i>	<i>pred</i>	<i>pe</i>
+ .620 ₁₀ + 2	+ .400 ₁₀ + 1	+ .300 ₁₀ + 1	+ .123 ₁₀ + 0	+ .273 ₁₀ + 0
+ .630 ₁₀ + 2	+ .400 ₁₀ + 1	+ .300 ₁₀ + 1	+ .123 ₁₀ + 0	+ .268 ₁₀ + 0
+ .640 ₁₀ + 2	+ .400 ₁₀ + 1	+ .300 ₁₀ + 1	+ .119 ₁₀ + 0	+ .262 ₁₀ + 0
+ .650 ₁₀ + 2	+ .400 ₁₀ + 1	+ .300 ₁₀ + 1	+ .115 ₁₀ + 0	+ .257 ₁₀ + 0
+ .660 ₁₀ + 2	+ .400 ₁₀ + 1	+ .300 ₁₀ + 1	+ .111 ₁₀ + 0	+ .252 ₁₀ + 0
+ .670 ₁₀ + 2	+ .400 ₁₀ + 1	+ .300 ₁₀ + 1	+ .107 ₁₀ + 0	+ .247 ₁₀ + 0
+ .680 ₁₀ + 2	+ .400 ₁₀ + 1	+ .300 ₁₀ + 1	+ .103 ₁₀ + 0	+ .242 ₁₀ + 0
+ .690 ₁₀ + 2	+ .400 ₁₀ + 1	+ .300 ₁₀ + 1	+ .994 ₁₀ - 1	+ .237 ₁₀ + 0
+ .700 ₁₀ + 2	+ .400 ₁₀ + 1	+ .300 ₁₀ + 1	+ .959 ₁₀ - 1	+ .233 ₁₀ + 0
+ .100 ₁₀ + 1	+ .400 ₁₀ + 1	+ .400 ₁₀ + 1	+ .520 ₁₀ + 0	+ .905 ₁₀ + 0
+ .200 ₁₀ + 1	+ .400 ₁₀ + 1	+ .400 ₁₀ + 1	+ .515 ₁₀ + 0	+ .887 ₁₀ + 0
+ .300 ₁₀ + 1	+ .400 ₁₀ + 1	+ .400 ₁₀ + 1	+ .509 ₁₀ + 0	+ .870 ₁₀ + 0
+ .400 ₁₀ + 1	+ .400 ₁₀ + 1	+ .400 ₁₀ + 1	+ .502 ₁₀ + 0	+ .852 ₁₀ + 0
+ .500 ₁₀ + 1	+ .400 ₁₀ + 1	+ .400 ₁₀ + 1	+ .494 ₁₀ + 0	+ .835 ₁₀ + 0
+ .600 ₁₀ + 1	+ .400 ₁₀ + 1	+ .400 ₁₀ + 1	+ .487 ₁₀ + 0	+ .819 ₁₀ + 0
+ .700 ₁₀ + 1	+ .400 ₁₀ + 1	+ .400 ₁₀ + 1	+ .478 ₁₀ + 0	+ .803 ₁₀ + 0
+ .800 ₁₀ + 1	+ .400 ₁₀ + 1	+ .400 ₁₀ + 1	+ .470 ₁₀ + 0	+ .787 ₁₀ + 0
+ .900 ₁₀ + 1	+ .400 ₁₀ + 1	+ .400 ₁₀ + 1	+ .461 ₁₀ + 0	+ .771 ₁₀ + 0
+ .100 ₁₀ + 2	+ .400 ₁₀ + 1	+ .400 ₁₀ + 1	+ .452 ₁₀ + 0	+ .756 ₁₀ + 0
+ .110 ₁₀ + 2	+ .400 ₁₀ + 1	+ .400 ₁₀ + 1	+ .443 ₁₀ + 0	+ .741 ₁₀ + 0
+ .120 ₁₀ + 2	+ .400 ₁₀ + 1	+ .400 ₁₀ + 1	+ .434 ₁₀ + 0	+ .726 ₁₀ + 0
+ .130 ₁₀ + 2	+ .400 ₁₀ + 1	+ .400 ₁₀ + 1	+ .425 ₁₀ + 0	+ .712 ₁₀ + 0
+ .140 ₁₀ + 2	+ .400 ₁₀ + 1	+ .400 ₁₀ + 1	+ .415 ₁₀ + 0	+ .698 ₁₀ + 0
+ .150 ₁₀ + 2	+ .400 ₁₀ + 1	+ .400 ₁₀ + 1	+ .406 ₁₀ + 0	+ .684 ₁₀ + 0
+ .160 ₁₀ + 2	+ .400 ₁₀ + 1	+ .400 ₁₀ + 1	+ .396 ₁₀ + 0	+ .671 ₁₀ + 0
+ .170 ₁₀ + 2	+ .400 ₁₀ + 1	+ .400 ₁₀ + 1	+ .387 ₁₀ + 0	+ .657 ₁₀ + 0
+ .180 ₁₀ + 2	+ .400 ₁₀ + 1	+ .400 ₁₀ + 1	+ .377 ₁₀ + 0	+ .644 ₁₀ + 0
+ .190 ₁₀ + 2	+ .400 ₁₀ + 1	+ .400 ₁₀ + 1	+ .368 ₁₀ + 0	+ .632 ₁₀ + 0
+ .200 ₁₀ + 2	+ .400 ₁₀ + 1	+ .400 ₁₀ + 1	+ .358 ₁₀ + 0	+ .619 ₁₀ + 0
+ .210 ₁₀ + 2	+ .400 ₁₀ + 1	+ .400 ₁₀ + 1	+ .349 ₁₀ + 0	+ .607 ₁₀ + 0

60072 00105473 STELLTENP00

+.620 ₁₀ + 2	+.400 ₁₀ + 1	+.600 ₁₀ + 1	+.322 ₁₀ - 1	+.257 ₁₀ + 0	+.993 ₁₀ + 0	+.100 ₁₀ + 1
+.630 ₁₀ + 2	+.400 ₁₀ + 1	+.600 ₁₀ + 1	+.378 ₁₀ - 1	+.252 ₁₀ + 0	+.993 ₁₀ + 0	+.100 ₁₀ + 1
+.640 ₁₀ + 2	+.400 ₁₀ + 1	+.600 ₁₀ + 1	+.365 ₁₀ - 1	+.247 ₁₀ + 0	+.993 ₁₀ + 0	+.100 ₁₀ + 1
+.650 ₁₀ + 2	+.400 ₁₀ + 1	+.600 ₁₀ + 1	+.352 ₁₀ - 1	+.242 ₁₀ + 0	+.993 ₁₀ + 0	+.100 ₁₀ + 1
+.660 ₁₀ + 2	+.400 ₁₀ + 1	+.600 ₁₀ + 1	+.339 ₁₀ - 1	+.237 ₁₀ + 0	+.993 ₁₀ + 0	+.100 ₁₀ + 1
+.670 ₁₀ + 2	+.400 ₁₀ + 1	+.600 ₁₀ + 1	+.327 ₁₀ - 1	+.233 ₁₀ + 0	+.993 ₁₀ + 0	+.100 ₁₀ + 1
+.680 ₁₀ + 2	+.400 ₁₀ + 1	+.600 ₁₀ + 1	+.315 ₁₀ - 1	+.228 ₁₀ + 0	+.993 ₁₀ + 0	+.100 ₁₀ + 1
+.690 ₁₀ + 2	+.400 ₁₀ + 1	+.600 ₁₀ + 1	+.304 ₁₀ - 1	+.224 ₁₀ + 0	+.993 ₁₀ + 0	+.100 ₁₀ + 1
+.700 ₁₀ + 2	+.400 ₁₀ + 1	+.600 ₁₀ + 1	+.293 ₁₀ - 1	+.219 ₁₀ + 0	+.993 ₁₀ + 0	+.100 ₁₀ + 1

P=P2

<i>D</i>	<i>M</i>	<i>N</i>	<i>med</i>	<i>PC</i>				
+ .320 ₁₀ + 2	+ .400 ₁₀ + 1	+ .600 ₁₀ + 1	+ .108 ₁₀ + 0	+ .468 ₁₀ + 0	+ .993 ₁₀ + 0	+ .100 ₁₀ + 1		
+ .330 ₁₀ + 2	+ .400 ₁₀ + 1	+ .600 ₁₀ + 1	+ .105 ₁₀ + 0	+ .459 ₁₀ + 0	+ .993 ₁₀ + 0	+ .100 ₁₀ + 1		
+ .340 ₁₀ + 2	+ .400 ₁₀ + 1	+ .600 ₁₀ + 1	+ .102 ₁₀ + 0	+ .450 ₁₀ + 0	+ .993 ₁₀ + 0	+ .100 ₁₀ + 1		
+ .350 ₁₀ + 2	+ .400 ₁₀ + 1	+ .600 ₁₀ + 1	+ .986 ₁₀ - 1	+ .441 ₁₀ + 0	+ .993 ₁₀ + 0	+ .100 ₁₀ + 1		
+ .360 ₁₀ + 2	+ .400 ₁₀ + 1	+ .600 ₁₀ + 1	+ .955 ₁₀ - 1	+ .432 ₁₀ + 0	+ .993 ₁₀ + 0	+ .100 ₁₀ + 1		
+ .370 ₁₀ + 2	+ .400 ₁₀ + 1	+ .600 ₁₀ + 1	+ .925 ₁₀ - 1	+ .424 ₁₀ + 0	+ .993 ₁₀ + 0	+ .100 ₁₀ + 1		
+ .380 ₁₀ + 2	+ .400 ₁₀ + 1	+ .600 ₁₀ + 1	+ .895 ₁₀ - 1	+ .415 ₁₀ + 0	+ .993 ₁₀ + 0	+ .100 ₁₀ + 1		
+ .390 ₁₀ + 2	+ .400 ₁₀ + 1	+ .600 ₁₀ + 1	+ .867 ₁₀ - 1	+ .407 ₁₀ + 0	+ .993 ₁₀ + 0	+ .100 ₁₀ + 1		
+ .400 ₁₀ + 2	+ .400 ₁₀ + 1	+ .600 ₁₀ + 1	+ .839 ₁₀ - 1	+ .399 ₁₀ + 0	+ .993 ₁₀ + 0	+ .100 ₁₀ + 1		
+ .410 ₁₀ + 2	+ .400 ₁₀ + 1	+ .600 ₁₀ + 1	+ .811 ₁₀ - 1	+ .391 ₁₀ + 0	+ .993 ₁₀ + 0	+ .100 ₁₀ + 1		
+ .420 ₁₀ + 2	+ .400 ₁₀ + 1	+ .600 ₁₀ + 1	+ .785 ₁₀ - 1	+ .383 ₁₀ + 0	+ .993 ₁₀ + 0	+ .100 ₁₀ + 1		
+ .430 ₁₀ + 2	+ .400 ₁₀ + 1	+ .600 ₁₀ + 1	+ .759 ₁₀ - 1	+ .376 ₁₀ + 0	+ .993 ₁₀ + 0	+ .100 ₁₀ + 1		
+ .440 ₁₀ + 2	+ .400 ₁₀ + 1	+ .600 ₁₀ + 1	+ .734 ₁₀ - 1	+ .368 ₁₀ + 0	+ .993 ₁₀ + 0	+ .100 ₁₀ + 1		
+ .450 ₁₀ + 2	+ .400 ₁₀ + 1	+ .600 ₁₀ + 1	+ .710 ₁₀ - 1	+ .361 ₁₀ + 0	+ .993 ₁₀ + 0	+ .100 ₁₀ + 1		
+ .460 ₁₀ + 2	+ .400 ₁₀ + 1	+ .600 ₁₀ + 1	+ .686 ₁₀ - 1	+ .354 ₁₀ + 0	+ .993 ₁₀ + 0	+ .100 ₁₀ + 1		
+ .470 ₁₀ + 2	+ .400 ₁₀ + 1	+ .600 ₁₀ + 1	+ .663 ₁₀ - 1	+ .347 ₁₀ + 0	+ .993 ₁₀ + 0	+ .100 ₁₀ + 1		
+ .480 ₁₀ + 2	+ .400 ₁₀ + 1	+ .600 ₁₀ + 1	+ .641 ₁₀ - 1	+ .340 ₁₀ + 0	+ .993 ₁₀ + 0	+ .100 ₁₀ + 1		
+ .490 ₁₀ + 2	+ .400 ₁₀ + 1	+ .600 ₁₀ + 1	+ .619 ₁₀ - 1	+ .333 ₁₀ + 0	+ .993 ₁₀ + 0	+ .100 ₁₀ + 1		
+ .500 ₁₀ + 2	+ .400 ₁₀ + 1	+ .600 ₁₀ + 1	+ .598 ₁₀ - 1	+ .327 ₁₀ + 0	+ .993 ₁₀ + 0	+ .100 ₁₀ + 1		
+ .510 ₁₀ + 2	+ .400 ₁₀ + 1	+ .600 ₁₀ + 1	+ .578 ₁₀ - 1	+ .320 ₁₀ + 0	+ .993 ₁₀ + 0	+ .100 ₁₀ + 1		
+ .520 ₁₀ + 2	+ .400 ₁₀ + 1	+ .600 ₁₀ + 1	+ .558 ₁₀ - 1	+ .314 ₁₀ + 0	+ .993 ₁₀ + 0	+ .100 ₁₀ + 1		
+ .530 ₁₀ + 2	+ .400 ₁₀ + 1	+ .600 ₁₀ + 1	+ .539 ₁₀ - 1	+ .308 ₁₀ + 0	+ .993 ₁₀ + 0	+ .100 ₁₀ + 1		
+ .540 ₁₀ + 2	+ .400 ₁₀ + 1	+ .600 ₁₀ + 1	+ .521 ₁₀ - 1	+ .302 ₁₀ + 0	+ .993 ₁₀ + 0	+ .100 ₁₀ + 1		
+ .550 ₁₀ + 2	+ .400 ₁₀ + 1	+ .600 ₁₀ + 1	+ .503 ₁₀ - 1	+ .296 ₁₀ + 0	+ .993 ₁₀ + 0	+ .100 ₁₀ + 1		
+ .560 ₁₀ + 2	+ .400 ₁₀ + 1	+ .600 ₁₀ + 1	+ .485 ₁₀ - 1	+ .290 ₁₀ + 0	+ .993 ₁₀ + 0	+ .100 ₁₀ + 1		
+ .570 ₁₀ + 2	+ .400 ₁₀ + 1	+ .600 ₁₀ + 1	+ .468 ₁₀ - 1	+ .284 ₁₀ + 0	+ .993 ₁₀ + 0	+ .100 ₁₀ + 1		
+ .580 ₁₀ + 2	+ .400 ₁₀ + 1	+ .600 ₁₀ + 1	+ .452 ₁₀ - 1	+ .279 ₁₀ + 0	+ .993 ₁₀ + 0	+ .100 ₁₀ + 1		
+ .590 ₁₀ + 2	+ .400 ₁₀ + 1	+ .600 ₁₀ + 1	+ .436 ₁₀ - 1	+ .273 ₁₀ + 0	+ .993 ₁₀ + 0	+ .100 ₁₀ + 1		
+ .600 ₁₀ + 2	+ .400 ₁₀ + 1	+ .600 ₁₀ + 1	+ .421 ₁₀ - 1	+ .268 ₁₀ + 0	+ .993 ₁₀ + 0	+ .100 ₁₀ + 1		

80672 - 06185479 STEELPENPOO

+.200 ₁₀ + 1	+.400 ₁₀ + 1	+.600 ₁₀ + 1	+.229 ₁₀ + 0	+.852 ₁₀ + 0	+.993 ₁₀ + 0	+.100 ₁₀ + 1
+.300 ₁₀ + 1	+.400 ₁₀ + 1	+.600 ₁₀ + 1	+.226 ₁₀ + 0	+.835 ₁₀ + 0	+.993 ₁₀ + 0	+.100 ₁₀ + 1
+.400 ₁₀ + 1	+.400 ₁₀ + 1	+.600 ₁₀ + 1	+.222 ₁₀ + 0	+.819 ₁₀ + 0	+.993 ₁₀ + 0	+.100 ₁₀ + 1
+.500 ₁₀ + 1	+.400 ₁₀ + 1	+.600 ₁₀ + 1	+.218 ₁₀ + 0	+.803 ₁₀ + 0	+.993 ₁₀ + 0	+.100 ₁₀ + 1
+.600 ₁₀ + 1	+.400 ₁₀ + 1	+.600 ₁₀ + 1	+.214 ₁₀ + 0	+.787 ₁₀ + 0	+.993 ₁₀ + 0	+.100 ₁₀ + 1
+.700 ₁₀ + 1	+.400 ₁₀ + 1	+.600 ₁₀ + 1	+.210 ₁₀ + 0	+.771 ₁₀ + 0	+.993 ₁₀ + 0	+.100 ₁₀ + 1
+.800 ₁₀ + 1	+.400 ₁₀ + 1	+.600 ₁₀ + 1	+.206 ₁₀ + 0	+.756 ₁₀ + 0	+.993 ₁₀ + 0	+.100 ₁₀ + 1
+.900 ₁₀ + 1	+.400 ₁₀ + 1	+.600 ₁₀ + 1	+.202 ₁₀ + 0	+.741 ₁₀ + 0	+.993 ₁₀ + 0	+.100 ₁₀ + 1
+.100 ₁₀ + 2	+.400 ₁₀ + 1	+.600 ₁₀ + 1	+.198 ₁₀ + 0	+.726 ₁₀ + 0	+.993 ₁₀ + 0	+.100 ₁₀ + 1
+.110 ₁₀ + 2	+.400 ₁₀ + 1	+.600 ₁₀ + 1	+.193 ₁₀ + 0	+.712 ₁₀ + 0	+.993 ₁₀ + 0	+.100 ₁₀ + 1
+.120 ₁₀ + 2	+.400 ₁₀ + 1	+.600 ₁₀ + 1	+.189 ₁₀ + 0	+.698 ₁₀ + 0	+.993 ₁₀ + 0	+.100 ₁₀ + 1
+.130 ₁₀ + 2	+.400 ₁₀ + 1	+.600 ₁₀ + 1	+.184 ₁₀ + 0	+.684 ₁₀ + 0	+.993 ₁₀ + 0	+.100 ₁₀ + 1
+.140 ₁₀ + 2	+.400 ₁₀ + 1	+.600 ₁₀ + 1	+.180 ₁₀ + 0	+.671 ₁₀ + 0	+.993 ₁₀ + 0	+.100 ₁₀ + 1
+.150 ₁₀ + 2	+.400 ₁₀ + 1	+.600 ₁₀ + 1	+.176 ₁₀ + 0	+.657 ₁₀ + 0	+.993 ₁₀ + 0	+.100 ₁₀ + 1
+.160 ₁₀ + 2	+.400 ₁₀ + 1	+.600 ₁₀ + 1	+.171 ₁₀ + 0	+.644 ₁₀ + 0	+.993 ₁₀ + 0	+.100 ₁₀ + 1
+.170 ₁₀ + 2	+.400 ₁₀ + 1	+.600 ₁₀ + 1	+.167 ₁₀ + 0	+.632 ₁₀ + 0	+.993 ₁₀ + 0	+.100 ₁₀ + 1
+.180 ₁₀ + 2	+.400 ₁₀ + 1	+.600 ₁₀ + 1	+.163 ₁₀ + 0	+.619 ₁₀ + 0	+.993 ₁₀ + 0	+.100 ₁₀ + 1
+.190 ₁₀ + 2	+.400 ₁₀ + 1	+.600 ₁₀ + 1	+.158 ₁₀ + 0	+.607 ₁₀ + 0	+.993 ₁₀ + 0	+.100 ₁₀ + 1
+.200 ₁₀ + 2	+.400 ₁₀ + 1	+.600 ₁₀ + 1	+.154 ₁₀ + 0	+.595 ₁₀ + 0	+.993 ₁₀ + 0	+.100 ₁₀ + 1
+.210 ₁₀ + 2	+.400 ₁₀ + 1	+.600 ₁₀ + 1	+.150 ₁₀ + 0	+.583 ₁₀ + 0	+.993 ₁₀ + 0	+.100 ₁₀ + 1
+.220 ₁₀ + 2	+.400 ₁₀ + 1	+.600 ₁₀ + 1	+.146 ₁₀ + 0	+.572 ₁₀ + 0	+.993 ₁₀ + 0	+.100 ₁₀ + 1
+.230 ₁₀ + 2	+.400 ₁₀ + 1	+.600 ₁₀ + 1	+.142 ₁₀ + 0	+.560 ₁₀ + 0	+.993 ₁₀ + 0	+.100 ₁₀ + 1
+.240 ₁₀ + 2	+.400 ₁₀ + 1	+.600 ₁₀ + 1	+.138 ₁₀ + 0	+.549 ₁₀ + 0	+.993 ₁₀ + 0	+.100 ₁₀ + 1
+.250 ₁₀ + 2	+.400 ₁₀ + 1	+.600 ₁₀ + 1	+.134 ₁₀ + 0	+.538 ₁₀ + 0	+.993 ₁₀ + 0	+.100 ₁₀ + 1
+.260 ₁₀ + 2	+.400 ₁₀ + 1	+.600 ₁₀ + 1	+.130 ₁₀ + 0	+.528 ₁₀ + 0	+.993 ₁₀ + 0	+.100 ₁₀ + 1
+.270 ₁₀ + 2	+.400 ₁₀ + 1	+.600 ₁₀ + 1	+.126 ₁₀ + 0	+.517 ₁₀ + 0	+.993 ₁₀ + 0	+.100 ₁₀ + 1
+.280 ₁₀ + 2	+.400 ₁₀ + 1	+.600 ₁₀ + 1	+.122 ₁₀ + 0	+.507 ₁₀ + 0	+.993 ₁₀ + 0	+.100 ₁₀ + 1
+.290 ₁₀ + 2	+.400 ₁₀ + 1	+.600 ₁₀ + 1	+.119 ₁₀ + 0	+.497 ₁₀ + 0	+.993 ₁₀ + 0	+.100 ₁₀ + 1
+.300 ₁₀ + 2	+.400 ₁₀ + 1	+.600 ₁₀ + 1	+.115 ₁₀ + 0	+.487 ₁₀ + 0	+.993 ₁₀ + 0	+.100 ₁₀ + 1
+.310 ₁₀ + 2	+.400 ₁₀ + 1	+.600 ₁₀ + 1	+.112 ₁₀ + 0	+.478 ₁₀ + 0	+.993 ₁₀ + 0	+.100 ₁₀ + 1

p = p₂

<i>n</i>	<i>m</i>	<i>N</i>	<i>pred</i>	<i>p₂</i>
+ .420 ₁₀ + 2	+ .400 ₁₀ + 1	+ .500 ₁₀ + 1	+ .126 ₁₀ + 0	+ .391 ₁₀ + 0
+ .430 ₁₀ + 2	+ .400 ₁₀ + 1	+ .500 ₁₀ + 1	+ .121 ₁₀ + 0	+ .383 ₁₀ + 0
+ .440 ₁₀ + 2	+ .400 ₁₀ + 1	+ .500 ₁₀ + 1	+ .118 ₁₀ + 0	+ .376 ₁₀ + 0
+ .450 ₁₀ + 2	+ .400 ₁₀ + 1	+ .500 ₁₀ + 1	+ .114 ₁₀ + 0	+ .368 ₁₀ + 0
+ .460 ₁₀ + 2	+ .400 ₁₀ + 1	+ .500 ₁₀ + 1	+ .110 ₁₀ + 0	+ .361 ₁₀ + 0
+ .470 ₁₀ + 2	+ .400 ₁₀ + 1	+ .500 ₁₀ + 1	+ .106 ₁₀ + 0	+ .354 ₁₀ + 0
+ .480 ₁₀ + 2	+ .400 ₁₀ + 1	+ .500 ₁₀ + 1	+ .103 ₁₀ + 0	+ .347 ₁₀ + 0
+ .490 ₁₀ + 2	+ .400 ₁₀ + 1	+ .500 ₁₀ + 1	+ .992 ₁₀ - 1	+ .340 ₁₀ + 0
+ .500 ₁₀ + 2	+ .400 ₁₀ + 1	+ .500 ₁₀ + 1	+ .959 ₁₀ - 1	+ .333 ₁₀ + 0
+ .510 ₁₀ + 2	+ .400 ₁₀ + 1	+ .500 ₁₀ + 1	+ .927 ₁₀ - 1	+ .327 ₁₀ + 0
+ .520 ₁₀ + 2	+ .400 ₁₀ + 1	+ .500 ₁₀ + 1	+ .895 ₁₀ - 1	+ .320 ₁₀ + 0
+ .530 ₁₀ + 2	+ .400 ₁₀ + 1	+ .500 ₁₀ + 1	+ .865 ₁₀ - 1	+ .314 ₁₀ + 0
+ .540 ₁₀ + 2	+ .400 ₁₀ + 1	+ .500 ₁₀ + 1	+ .835 ₁₀ - 1	+ .308 ₁₀ + 0
+ .550 ₁₀ + 2	+ .400 ₁₀ + 1	+ .500 ₁₀ + 1	+ .806 ₁₀ - 1	+ .302 ₁₀ + 0
+ .560 ₁₀ + 2	+ .400 ₁₀ + 1	+ .500 ₁₀ + 1	+ .779 ₁₀ - 1	+ .296 ₁₀ + 0
+ .570 ₁₀ + 2	+ .400 ₁₀ + 1	+ .500 ₁₀ + 1	+ .752 ₁₀ - 1	+ .290 ₁₀ + 0
+ .580 ₁₀ + 2	+ .400 ₁₀ + 1	+ .500 ₁₀ + 1	+ .726 ₁₀ - 1	+ .284 ₁₀ + 0
+ .590 ₁₀ + 2	+ .400 ₁₀ + 1	+ .500 ₁₀ + 1	+ .700 ₁₀ - 1	+ .279 ₁₀ + 0
+ .600 ₁₀ + 2	+ .400 ₁₀ + 1	+ .500 ₁₀ + 1	+ .676 ₁₀ - 1	+ .273 ₁₀ + 0
+ .610 ₁₀ + 2	+ .400 ₁₀ + 1	+ .500 ₁₀ + 1	+ .652 ₁₀ - 1	+ .268 ₁₀ + 0
+ .620 ₁₀ + 2	+ .400 ₁₀ + 1	+ .500 ₁₀ + 1	+ .629 ₁₀ - 1	+ .262 ₁₀ + 0
+ .630 ₁₀ + 2	+ .400 ₁₀ + 1	+ .500 ₁₀ + 1	+ .607 ₁₀ - 1	+ .257 ₁₀ + 0
+ .640 ₁₀ + 2	+ .400 ₁₀ + 1	+ .500 ₁₀ + 1	+ .586 ₁₀ - 1	+ .252 ₁₀ + 0
+ .650 ₁₀ + 2	+ .400 ₁₀ + 1	+ .500 ₁₀ + 1	+ .565 ₁₀ - 1	+ .247 ₁₀ + 0
+ .660 ₁₀ + 2	+ .400 ₁₀ + 1	+ .500 ₁₀ + 1	+ .545 ₁₀ - 1	+ .242 ₁₀ + 0
+ .670 ₁₀ + 2	+ .400 ₁₀ + 1	+ .500 ₁₀ + 1	+ .526 ₁₀ - 1	+ .237 ₁₀ + 0
+ .680 ₁₀ + 2	+ .400 ₁₀ + 1	+ .500 ₁₀ + 1	+ .507 ₁₀ - 1	+ .233 ₁₀ + 0
+ .690 ₁₀ + 2	+ .400 ₁₀ + 1	+ .500 ₁₀ + 1	+ .489 ₁₀ - 1	+ .228 ₁₀ + 0
+ .700 ₁₀ + 2	+ .400 ₁₀ + 1	+ .500 ₁₀ + 1	+ .471 ₁₀ - 1	+ .224 ₁₀ + 0
+ .100 ₁₀ + 1	+ .400 ₁₀ + 1	+ .600 ₁₀ + 1	+ .233 ₁₀ + 0	+ .870 ₁₀ + 0

$$P = P_1$$

PVERBETERING	<i>n</i>	<i>m</i>	<i>K</i>	<i>pred</i>	<i>pc</i>
VERBETERING	+ .600 ₁₀ + 1	+ .100 ₁₀ + 1	+ .200 ₁₀ + 1	+ .942 ₁₀ - 0	+ .942 ₁₀ - 0
VERBETERING	+ .700 ₁₀ + 1	+ .100 ₁₀ + 1	+ .200 ₁₀ + 1	+ .939 ₁₀ - 0	+ .932 ₁₀ - 0
VERBETERING	+ .800 ₁₀ + 1	+ .100 ₁₀ + 1	+ .200 ₁₀ + 1	+ .935 ₁₀ - 0	+ .923 ₁₀ - 0
VERBETERING	+ .900 ₁₀ + 1	+ .100 ₁₀ + 1	+ .200 ₁₀ + 1	+ .931 ₁₀ - 0	+ .914 ₁₀ - 0
VERBETERING	+ .100 ₁₀ + 2	+ .100 ₁₀ + 1	+ .200 ₁₀ + 1	+ .927 ₁₀ - 0	+ .905 ₁₀ - 0
VERBETERING	+ .110 ₁₀ + 2	+ .100 ₁₀ + 1	+ .200 ₁₀ + 1	+ .923 ₁₀ - 0	+ .896 ₁₀ - 0
VERBETERING	+ .120 ₁₀ + 2	+ .100 ₁₀ + 1	+ .200 ₁₀ + 1	+ .918 ₁₀ - 0	+ .887 ₁₀ - 0
VERBETERING	+ .130 ₁₀ + 2	+ .100 ₁₀ + 1	+ .200 ₁₀ + 1	+ .912 ₁₀ - 0	+ .878 ₁₀ - 0
VERBETERING	+ .140 ₁₀ + 2	+ .100 ₁₀ + 1	+ .200 ₁₀ + 1	+ .907 ₁₀ - 0	+ .870 ₁₀ - 0
VERBETERING	+ .150 ₁₀ + 2	+ .100 ₁₀ + 1	+ .200 ₁₀ + 1	+ .901 ₁₀ - 0	+ .861 ₁₀ - 0
VERBETERING	+ .160 ₁₀ + 2	+ .100 ₁₀ + 1	+ .200 ₁₀ + 1	+ .895 ₁₀ - 0	+ .852 ₁₀ - 0
VERBETERING	+ .170 ₁₀ + 2	+ .100 ₁₀ + 1	+ .200 ₁₀ + 1	+ .889 ₁₀ - 0	+ .844 ₁₀ - 0
VERBETERING	+ .180 ₁₀ + 2	+ .100 ₁₀ + 1	+ .200 ₁₀ + 1	+ .883 ₁₀ - 0	+ .835 ₁₀ - 0
VERBETERING	+ .190 ₁₀ + 2	+ .100 ₁₀ + 1	+ .200 ₁₀ + 1	+ .876 ₁₀ - 0	+ .827 ₁₀ - 0
VERBETERING	+ .200 ₁₀ + 2	+ .100 ₁₀ + 1	+ .200 ₁₀ + 1	+ .860 ₁₀ - 0	+ .819 ₁₀ - 0
VERBETERING	+ .210 ₁₀ + 2	+ .100 ₁₀ + 1	+ .200 ₁₀ + 1	+ .862 ₁₀ - 0	+ .811 ₁₀ - 0
VERBETERING	+ .220 ₁₀ + 2	+ .100 ₁₀ + 1	+ .200 ₁₀ + 1	+ .855 ₁₀ - 0	+ .803 ₁₀ - 0
VERBETERING	+ .230 ₁₀ + 2	+ .100 ₁₀ + 1	+ .200 ₁₀ + 1	+ .848 ₁₀ - 0	+ .795 ₁₀ - 0
VERBETERING	+ .240 ₁₀ + 2	+ .100 ₁₀ + 1	+ .200 ₁₀ + 1	+ .840 ₁₀ - 0	+ .787 ₁₀ - 0
VERBETERING	+ .250 ₁₀ + 2	+ .100 ₁₀ + 1	+ .200 ₁₀ + 1	+ .833 ₁₀ - 0	+ .779 ₁₀ - 0

```

1 BEGIN COMMENT REBERKENING OPBRENGST VERBETERING VAN KOLLEKTOR NETWERK DOOR TOEPASSING
2 VAN HAMMING CODE;
3 REAL P, PI, PDEK, PRED, PC;
4 INTEGER N, M, K, I, T;
5 I := 0;
6 B: T := READ; P := EXP(LN(0.05)/T); NEW PAGE;
7 PRINTTEXT(↑P↑); N := 0; K := 1;
8 A: N := 1; M := M+1;
9 IF M > (2 ↑ K - K - 1) THEN K := K+1; PI := P;
10 PDEK := P ↑ (2 * M * K + (M ↑ 2));
11 C: N := N+1; PI := P * PI; PC := PI ↑ M;
12 PRED := ((M+K) * (1-PI) * (PI ↑ (M + K - 1)) + PI ↑ (M+K)) * PDEK;
13 IF (PRED > PC) ∨ (M = 4) ∨ (M = 3) THEN
14 BEGIN IF PRED > PC THEN
15 BEGIN PRINTTEXT(↑VERBETERING↑);
16 NLCR; NLCR;
17 END;
18 SPACE(15); FLOT(3, 2, N); FLOT(3, 2, M);
19 FLOT(3, 2, K); FLOT(3, 2, PRED); FLOT(3, 2, PC);
20 NLCR;
21 END;
22 IF PI > 0.5 THEN GO TO C;
23 IF M < 57 THEN GO TO A;
24 I := I+1; IF I = 1 THEN GO TO B;
25 END

```

VERTAALTIJD 9
EXECUTIETIJD 39

AANTAL OVER STROOM 1 GELEZEN GETALLEN 8
LAATST OVER STROOM 1 GELEZEN GETAL +600

AANTAL OVER STROOM 2 GELEZEN GETALLEN 0

Bylage 1

Bylage 1

+ .140 ₁₀ + 2	+ .400 ₁₀ + 1	+ .300 ₁₀ + 1	+ .517 ₁₀ - 0	+ .572 ₁₀ - 0
+ .150 ₁₀ + 2	+ .400 ₁₀ + 1	+ .300 ₁₀ + 1	+ .501 ₁₀ - 0	+ .549 ₁₀ - 0
+ .160 ₁₀ + 2	+ .400 ₁₀ + 1	+ .300 ₁₀ + 1	+ .485 ₁₀ - 0	+ .528 ₁₀ - 0
+ .170 ₁₀ + 2	+ .400 ₁₀ + 1	+ .300 ₁₀ + 1	+ .469 ₁₀ - 0	+ .507 ₁₀ - 0
+ .180 ₁₀ + 2	+ .400 ₁₀ + 1	+ .300 ₁₀ + 1	+ .453 ₁₀ - 0	+ .487 ₁₀ - 0
+ .190 ₁₀ + 2	+ .400 ₁₀ + 1	+ .300 ₁₀ + 1	+ .438 ₁₀ - 0	+ .468 ₁₀ - 0
+ .200 ₁₀ + 2	+ .400 ₁₀ + 1	+ .300 ₁₀ + 1	+ .422 ₁₀ - 0	+ .450 ₁₀ - 0
+ .210 ₁₀ + 2	+ .400 ₁₀ + 1	+ .300 ₁₀ + 1	+ .407 ₁₀ - 0	+ .432 ₁₀ - 0
+ .220 ₁₀ + 2	+ .400 ₁₀ + 1	+ .300 ₁₀ + 1	+ .392 ₁₀ - 0	+ .415 ₁₀ - 0
+ .230 ₁₀ + 2	+ .400 ₁₀ + 1	+ .300 ₁₀ + 1	+ .377 ₁₀ - 0	+ .399 ₁₀ - 0
+ .240 ₁₀ + 2	+ .400 ₁₀ + 1	+ .300 ₁₀ + 1	+ .363 ₁₀ - 0	+ .383 ₁₀ - 0
+ .250 ₁₀ + 2	+ .400 ₁₀ + 1	+ .300 ₁₀ + 1	+ .349 ₁₀ - 0	+ .368 ₁₀ - 0
+ .260 ₁₀ + 2	+ .400 ₁₀ + 1	+ .300 ₁₀ + 1	+ .335 ₁₀ - 0	+ .354 ₁₀ - 0
+ .270 ₁₀ + 2	+ .400 ₁₀ + 1	+ .300 ₁₀ + 1	+ .322 ₁₀ - 0	+ .340 ₁₀ - 0
+ .280 ₁₀ + 2	+ .400 ₁₀ + 1	+ .300 ₁₀ + 1	+ .309 ₁₀ - 0	+ .327 ₁₀ - 0
+ .290 ₁₀ + 2	+ .400 ₁₀ + 1	+ .300 ₁₀ + 1	+ .296 ₁₀ - 0	+ .314 ₁₀ - 0
+ .300 ₁₀ + 2	+ .400 ₁₀ + 1	+ .300 ₁₀ + 1	+ .284 ₁₀ - 0	+ .302 ₁₀ - 0
+ .310 ₁₀ + 2	+ .400 ₁₀ + 1	+ .300 ₁₀ + 1	+ .272 ₁₀ - 0	+ .290 ₁₀ - 0
+ .320 ₁₀ + 2	+ .400 ₁₀ + 1	+ .300 ₁₀ + 1	+ .260 ₁₀ - 0	+ .279 ₁₀ - 0
+ .330 ₁₀ + 2	+ .400 ₁₀ + 1	+ .300 ₁₀ + 1	+ .249 ₁₀ - 0	+ .268 ₁₀ - 0
+ .340 ₁₀ + 2	+ .400 ₁₀ + 1	+ .300 ₁₀ + 1	+ .239 ₁₀ - 0	+ .257 ₁₀ - 0
+ .350 ₁₀ + 2	+ .400 ₁₀ + 1	+ .300 ₁₀ + 1	+ .228 ₁₀ - 0	+ .247 ₁₀ - 0
+ .360 ₁₀ + 2	+ .400 ₁₀ + 1	+ .300 ₁₀ + 1	+ .218 ₁₀ - 0	+ .237 ₁₀ - 0
+ .370 ₁₀ + 2	+ .400 ₁₀ + 1	+ .300 ₁₀ + 1	+ .209 ₁₀ - 0	+ .228 ₁₀ - 0
+ .380 ₁₀ + 2	+ .400 ₁₀ + 1	+ .300 ₁₀ + 1	+ .199 ₁₀ - 0	+ .219 ₁₀ - 0
+ .390 ₁₀ + 2	+ .400 ₁₀ + 1	+ .300 ₁₀ + 1	+ .190 ₁₀ - 0	+ .211 ₁₀ - 0
+ .400 ₁₀ + 2	+ .400 ₁₀ + 1	+ .300 ₁₀ + 1	+ .182 ₁₀ - 0	+ .202 ₁₀ - 0
+ .410 ₁₀ + 2	+ .400 ₁₀ + 1	+ .300 ₁₀ + 1	+ .173 ₁₀ - 0	+ .194 ₁₀ - 0
+ .420 ₁₀ + 2	+ .400 ₁₀ + 1	+ .300 ₁₀ + 1	+ .165 ₁₀ - 0	+ .187 ₁₀ - 0
+ .430 ₁₀ + 2	+ .400 ₁₀ + 1	+ .300 ₁₀ + 1	+ .158 ₁₀ - 0	+ .180 ₁₀ - 0
+ .440 ₁₀ + 2	+ .400 ₁₀ + 1	+ .300 ₁₀ + 1	+ .151 ₁₀ - 0	+ .172 ₁₀ - 0
+ .450 ₁₀ + 2	+ .400 ₁₀ + 1	+ .300 ₁₀ + 1	+ .144 ₁₀ - 0	+ .166 ₁₀ - 0
+ .460 ₁₀ + 2	+ .400 ₁₀ + 1	+ .300 ₁₀ + 1	+ .137 ₁₀ - 0	+ .159 ₁₀ - 0
+ .470 ₁₀ + 2	+ .400 ₁₀ + 1	+ .300 ₁₀ + 1	+ .130 ₁₀ - 0	+ .153 ₁₀ - 0
+ .480 ₁₀ + 2	+ .400 ₁₀ + 1	+ .300 ₁₀ + 1	+ .124 ₁₀ - 0	+ .147 ₁₀ - 0
+ .490 ₁₀ + 2	+ .400 ₁₀ + 1	+ .300 ₁₀ + 1	+ .118 ₁₀ - 0	+ .141 ₁₀ - 0
+ .500 ₁₀ + 2	+ .400 ₁₀ + 1	+ .300 ₁₀ + 1	+ .113 ₁₀ - 0	+ .136 ₁₀ - 0
+ .510 ₁₀ + 2	+ .400 ₁₀ + 1	+ .300 ₁₀ + 1	+ .107 ₁₀ - 0	+ .130 ₁₀ - 0
+ .520 ₁₀ + 2	+ .400 ₁₀ + 1	+ .300 ₁₀ + 1	+ .102 ₁₀ - 0	+ .125 ₁₀ - 0
+ .530 ₁₀ + 2	+ .400 ₁₀ + 1	+ .300 ₁₀ + 1	+ .971 ₁₀ - 1	+ .120 ₁₀ - 0
+ .540 ₁₀ + 2	+ .400 ₁₀ + 1	+ .300 ₁₀ + 1	+ .924 ₁₀ - 1	+ .116 ₁₀ - 0
+ .550 ₁₀ + 2	+ .400 ₁₀ + 1	+ .300 ₁₀ + 1	+ .879 ₁₀ - 1	+ .111 ₁₀ - 0
+ .560 ₁₀ + 2	+ .400 ₁₀ + 1	+ .300 ₁₀ + 1	+ .836 ₁₀ - 1	+ .107 ₁₀ - 0
+ .570 ₁₀ + 2	+ .400 ₁₀ + 1	+ .300 ₁₀ + 1	+ .795 ₁₀ - 1	+ .103 ₁₀ - 0
+ .580 ₁₀ + 2	+ .400 ₁₀ + 1	+ .300 ₁₀ + 1	+ .755 ₁₀ - 1	+ .986 ₁₀ - 1
+ .590 ₁₀ + 2	+ .400 ₁₀ + 1	+ .300 ₁₀ + 1	+ .718 ₁₀ - 1	+ .947 ₁₀ - 1
+ .600 ₁₀ + 2	+ .400 ₁₀ + 1	+ .300 ₁₀ + 1	+ .682 ₁₀ - 1	+ .910 ₁₀ - 1
+ .610 ₁₀ + 2	+ .400 ₁₀ + 1	+ .300 ₁₀ + 1	+ .648 ₁₀ - 1	+ .875 ₁₀ - 1
+ .620 ₁₀ + 2	+ .400 ₁₀ + 1	+ .300 ₁₀ + 1	+ .616 ₁₀ - 1	+ .840 ₁₀ - 1
+ .630 ₁₀ + 2	+ .400 ₁₀ + 1	+ .300 ₁₀ + 1	+ .585 ₁₀ - 1	+ .807 ₁₀ - 1
+ .640 ₁₀ + 2	+ .400 ₁₀ + 1	+ .300 ₁₀ + 1	+ .556 ₁₀ - 1	+ .776 ₁₀ - 1
+ .650 ₁₀ + 2	+ .400 ₁₀ + 1	+ .300 ₁₀ + 1	+ .528 ₁₀ - 1	+ .745 ₁₀ - 1
+ .660 ₁₀ + 2	+ .400 ₁₀ + 1	+ .300 ₁₀ + 1	+ .501 ₁₀ - 1	+ .716 ₁₀ - 1
+ .670 ₁₀ + 2	+ .400 ₁₀ + 1	+ .300 ₁₀ + 1	+ .476 ₁₀ - 1	+ .688 ₁₀ - 1
+ .680 ₁₀ + 2	+ .400 ₁₀ + 1	+ .300 ₁₀ + 1	+ .451 ₁₀ - 1	+ .661 ₁₀ - 1
+ .690 ₁₀ + 2	+ .400 ₁₀ + 1	+ .300 ₁₀ + 1	+ .428 ₁₀ - 1	+ .635 ₁₀ - 1
+ .700 ₁₀ + 2	+ .400 ₁₀ + 1	+ .300 ₁₀ + 1	+ .406 ₁₀ - 1	+ .611 ₁₀ - 1

7 - 6185479		STELTENPOO				PRCD		PC	
n	m	n	m	PRCD	PC	PRCD	PC	PRCD	PC
+.230 ₁₀ +	2	+.300 ₁₀ +	1	+.300 ₁₀ +	1	+.491 ₁₀ -	0	+.502 ₁₀ -	0
+.240 ₁₀ +	2	+.300 ₁₀ +	1	+.300 ₁₀ +	1	+.476 ₁₀ -	0	+.487 ₁₀ -	0
+.250 ₁₀ +	2	+.300 ₁₀ +	1	+.300 ₁₀ +	1	+.461 ₁₀ -	0	+.473 ₁₀ -	0
+.260 ₁₀ +	2	+.300 ₁₀ +	1	+.300 ₁₀ +	1	+.447 ₁₀ -	0	+.459 ₁₀ -	0
+.270 ₁₀ +	2	+.300 ₁₀ +	1	+.300 ₁₀ +	1	+.433 ₁₀ -	0	+.445 ₁₀ -	0
+.280 ₁₀ +	2	+.300 ₁₀ +	1	+.300 ₁₀ +	1	+.419 ₁₀ -	0	+.432 ₁₀ -	0
+.290 ₁₀ +	2	+.300 ₁₀ +	1	+.300 ₁₀ +	1	+.405 ₁₀ -	0	+.419 ₁₀ -	0
+.300 ₁₀ +	2	+.300 ₁₀ +	1	+.300 ₁₀ +	1	+.392 ₁₀ -	0	+.407 ₁₀ -	0
+.310 ₁₀ +	2	+.300 ₁₀ +	1	+.300 ₁₀ +	1	+.379 ₁₀ -	0	+.395 ₁₀ -	0
+.320 ₁₀ +	2	+.300 ₁₀ +	1	+.300 ₁₀ +	1	+.366 ₁₀ -	0	+.383 ₁₀ -	0
+.330 ₁₀ +	2	+.300 ₁₀ +	1	+.300 ₁₀ +	1	+.353 ₁₀ -	0	+.372 ₁₀ -	0
+.340 ₁₀ +	2	+.300 ₁₀ +	1	+.300 ₁₀ +	1	+.341 ₁₀ -	0	+.361 ₁₀ -	0
+.350 ₁₀ +	2	+.300 ₁₀ +	1	+.300 ₁₀ +	1	+.329 ₁₀ -	0	+.350 ₁₀ -	0
+.360 ₁₀ +	2	+.300 ₁₀ +	1	+.300 ₁₀ +	1	+.318 ₁₀ -	0	+.340 ₁₀ -	0
+.370 ₁₀ +	2	+.300 ₁₀ +	1	+.300 ₁₀ +	1	+.306 ₁₀ -	0	+.330 ₁₀ -	0
+.380 ₁₀ +	2	+.300 ₁₀ +	1	+.300 ₁₀ +	1	+.295 ₁₀ -	0	+.320 ₁₀ -	0
+.390 ₁₀ +	2	+.300 ₁₀ +	1	+.300 ₁₀ +	1	+.285 ₁₀ -	0	+.311 ₁₀ -	0
+.400 ₁₀ +	2	+.300 ₁₀ +	1	+.300 ₁₀ +	1	+.274 ₁₀ -	0	+.302 ₁₀ -	0
+.410 ₁₀ +	2	+.300 ₁₀ +	1	+.300 ₁₀ +	1	+.264 ₁₀ -	0	+.293 ₁₀ -	0
+.420 ₁₀ +	2	+.300 ₁₀ +	1	+.300 ₁₀ +	1	+.254 ₁₀ -	0	+.284 ₁₀ -	0
+.430 ₁₀ +	2	+.300 ₁₀ +	1	+.300 ₁₀ +	1	+.245 ₁₀ -	0	+.276 ₁₀ -	0
+.440 ₁₀ +	2	+.300 ₁₀ +	1	+.300 ₁₀ +	1	+.236 ₁₀ -	0	+.268 ₁₀ -	0
+.450 ₁₀ +	2	+.300 ₁₀ +	1	+.300 ₁₀ +	1	+.227 ₁₀ -	0	+.260 ₁₀ -	0
+.460 ₁₀ +	2	+.300 ₁₀ +	1	+.300 ₁₀ +	1	+.218 ₁₀ -	0	+.252 ₁₀ -	0
+.470 ₁₀ +	2	+.300 ₁₀ +	1	+.300 ₁₀ +	1	+.210 ₁₀ -	0	+.245 ₁₀ -	0
+.480 ₁₀ +	2	+.300 ₁₀ +	1	+.300 ₁₀ +	1	+.202 ₁₀ -	0	+.237 ₁₀ -	0
+.490 ₁₀ +	2	+.300 ₁₀ +	1	+.300 ₁₀ +	1	+.194 ₁₀ -	0	+.230 ₁₀ -	0
+.500 ₁₀ +	2	+.300 ₁₀ +	1	+.300 ₁₀ +	1	+.187 ₁₀ -	0	+.224 ₁₀ -	0
+.510 ₁₀ +	2	+.300 ₁₀ +	1	+.300 ₁₀ +	1	+.179 ₁₀ -	0	+.217 ₁₀ -	0
+.520 ₁₀ +	2	+.300 ₁₀ +	1	+.300 ₁₀ +	1	+.172 ₁₀ -	0	+.211 ₁₀ -	0
+.530 ₁₀ +	2	+.300 ₁₀ +	1	+.300 ₁₀ +	1	+.165 ₁₀ -	0	+.204 ₁₀ -	0
+.540 ₁₀ +	2	+.300 ₁₀ +	1	+.300 ₁₀ +	1	+.159 ₁₀ -	0	+.198 ₁₀ -	0
+.550 ₁₀ +	2	+.300 ₁₀ +	1	+.300 ₁₀ +	1	+.153 ₁₀ -	0	+.193 ₁₀ -	0
+.560 ₁₀ +	2	+.300 ₁₀ +	1	+.300 ₁₀ +	1	+.146 ₁₀ -	0	+.187 ₁₀ -	0
+.570 ₁₀ +	2	+.300 ₁₀ +	1	+.300 ₁₀ +	1	+.141 ₁₀ -	0	+.181 ₁₀ -	0
+.580 ₁₀ +	2	+.300 ₁₀ +	1	+.300 ₁₀ +	1	+.135 ₁₀ -	0	+.176 ₁₀ -	0
+.590 ₁₀ +	2	+.300 ₁₀ +	1	+.300 ₁₀ +	1	+.129 ₁₀ -	0	+.171 ₁₀ -	0
+.600 ₁₀ +	2	+.300 ₁₀ +	1	+.300 ₁₀ +	1	+.124 ₁₀ -	0	+.166 ₁₀ -	0
+.610 ₁₀ +	2	+.300 ₁₀ +	1	+.300 ₁₀ +	1	+.119 ₁₀ -	0	+.161 ₁₀ -	0
+.620 ₁₀ +	2	+.300 ₁₀ +	1	+.300 ₁₀ +	1	+.114 ₁₀ -	0	+.156 ₁₀ -	0
+.630 ₁₀ +	2	+.300 ₁₀ +	1	+.300 ₁₀ +	1	+.110 ₁₀ -	0	+.151 ₁₀ -	0
+.640 ₁₀ +	2	+.300 ₁₀ +	1	+.300 ₁₀ +	1	+.105 ₁₀ -	0	+.147 ₁₀ -	0
+.650 ₁₀ +	2	+.300 ₁₀ +	1	+.300 ₁₀ +	1	+.101 ₁₀ -	0	+.143 ₁₀ -	0
+.660 ₁₀ +	2	+.300 ₁₀ +	1	+.300 ₁₀ +	1	+.966 ₁₀ -	1	+.138 ₁₀ -	0
+.670 ₁₀ +	2	+.300 ₁₀ +	1	+.300 ₁₀ +	1	+.926 ₁₀ -	1	+.134 ₁₀ -	0
+.680 ₁₀ +	2	+.300 ₁₀ +	1	+.300 ₁₀ +	1	+.887 ₁₀ -	1	+.130 ₁₀ -	0
+.690 ₁₀ +	2	+.300 ₁₀ +	1	+.300 ₁₀ +	1	+.850 ₁₀ -	1	+.127 ₁₀ -	0
+.700 ₁₀ +	2	+.300 ₁₀ +	1	+.300 ₁₀ +	1	+.815 ₁₀ -	1	+.123 ₁₀ -	0
+.200 ₁₀ +	1	+.400 ₁₀ +	1	+.300 ₁₀ +	1	+.666 ₁₀ -	0	+.923 ₁₀ -	0
+.300 ₁₀ +	1	+.400 ₁₀ +	1	+.300 ₁₀ +	1	+.660 ₁₀ -	0	+.887 ₁₀ -	0
+.400 ₁₀ +	1	+.400 ₁₀ +	1	+.300 ₁₀ +	1	+.652 ₁₀ -	0	+.852 ₁₀ -	0
+.500 ₁₀ +	1	+.400 ₁₀ +	1	+.300 ₁₀ +	1	+.642 ₁₀ -	0	+.819 ₁₀ -	0
+.600 ₁₀ +	1	+.400 ₁₀ +	1	+.300 ₁₀ +	1	+.632 ₁₀ -	0	+.787 ₁₀ -	0
+.700 ₁₀ +	1	+.400 ₁₀ +	1	+.300 ₁₀ +	1	+.620 ₁₀ -	0	+.756 ₁₀ -	0
+.800 ₁₀ +	1	+.400 ₁₀ +	1	+.300 ₁₀ +	1	+.607 ₁₀ -	0	+.726 ₁₀ -	0
+.900 ₁₀ +	1	+.400 ₁₀ +	1	+.300 ₁₀ +	1	+.593 ₁₀ -	0	+.698 ₁₀ -	0
+.100 ₁₀ +	2	+.400 ₁₀ +	1	+.300 ₁₀ +	1	+.578 ₁₀ -	0	+.671 ₁₀ -	0
+.110 ₁₀ +	2	+.400 ₁₀ +	1	+.300 ₁₀ +	1	+.564 ₁₀ -	0	+.644 ₁₀ -	0
+.120 ₁₀ +	2	+.400 ₁₀ +	1	+.300 ₁₀ +	1	+.548 ₁₀ -	0	+.619 ₁₀ -	0
+.130 ₁₀ +	2	+.400 ₁₀ +	1	+.300 ₁₀ +	1	+.533 ₁₀ -	0	+.595 ₁₀ -	0

VERBETERING
 +.460₁₀+ 2 +.100₁₀+ 1 +.200₁₀+ 1 +.659₁₀- 0 +.632₁₀- 0
 VERBETERING
 +.470₁₀+ 2 +.100₁₀+ 1 +.200₁₀+ 1 +.651₁₀- 0 +.625₁₀- 0
 VERBETERING
 +.480₁₀+ 2 +.100₁₀+ 1 +.200₁₀+ 1 +.643₁₀- 0 +.619₁₀- 0
 VERBETERING
 +.490₁₀+ 2 +.100₁₀+ 1 +.200₁₀+ 1 +.634₁₀- 0 +.613₁₀- 0
 VERBETERING
 +.500₁₀+ 2 +.100₁₀+ 1 +.200₁₀+ 1 +.626₁₀- 0 +.607₁₀- 0
 VERBETERING
 +.510₁₀+ 2 +.100₁₀+ 1 +.200₁₀+ 1 +.618₁₀- 0 +.601₁₀- 0
 VERBETERING
 +.520₁₀+ 2 +.100₁₀+ 1 +.200₁₀+ 1 +.610₁₀- 0 +.595₁₀- 0
 VERBETERING
 +.530₁₀+ 2 +.100₁₀+ 1 +.200₁₀+ 1 +.601₁₀- 0 +.589₁₀- 0
 VERBETERING
 +.540₁₀+ 2 +.100₁₀+ 1 +.200₁₀+ 1 +.593₁₀- 0 +.583₁₀- 0
 VERBETERING
 +.550₁₀+ 2 +.100₁₀+ 1 +.200₁₀+ 1 +.585₁₀- 0 +.577₁₀- 0
 VERBETERING
 +.560₁₀+ 2 +.100₁₀+ 1 +.200₁₀+ 1 +.577₁₀- 0 +.572₁₀- 0
 VERBETERING
 +.570₁₀+ 2 +.100₁₀+ 1 +.200₁₀+ 1 +.569₁₀- 0 +.566₁₀- 0

+.580₁₀+ 2 +.100₁₀+ 1 +.200₁₀+ 1 +.561₁₀- 0 +.560₁₀- 0
 +.200₁₀+ 1 +.300₁₀+ 1 +.300₁₀+ 1 +.759₁₀- 0 +.942₁₀- 0
 +.300₁₀+ 1 +.300₁₀+ 1 +.300₁₀+ 1 +.754₁₀- 0 +.914₁₀- 0
 +.400₁₀+ 1 +.300₁₀+ 1 +.300₁₀+ 1 +.748₁₀- 0 +.887₁₀- 0
 +.500₁₀+ 1 +.300₁₀+ 1 +.300₁₀+ 1 +.740₁₀- 0 +.861₁₀- 0
 +.600₁₀+ 1 +.300₁₀+ 1 +.300₁₀+ 1 +.731₁₀- 0 +.835₁₀- 0
 +.700₁₀+ 1 +.300₁₀+ 1 +.300₁₀+ 1 +.720₁₀- 0 +.811₁₀- 0
 +.800₁₀+ 1 +.300₁₀+ 1 +.300₁₀+ 1 +.709₁₀- 0 +.787₁₀- 0
 +.900₁₀+ 1 +.300₁₀+ 1 +.300₁₀+ 1 +.697₁₀- 0 +.764₁₀- 0
 +.100₁₀+ 2 +.300₁₀+ 1 +.300₁₀+ 1 +.684₁₀- 0 +.741₁₀- 0
 +.110₁₀+ 2 +.300₁₀+ 1 +.300₁₀+ 1 +.670₁₀- 0 +.719₁₀- 0
 +.120₁₀+ 2 +.300₁₀+ 1 +.300₁₀+ 1 +.656₁₀- 0 +.698₁₀- 0
 +.130₁₀+ 2 +.300₁₀+ 1 +.300₁₀+ 1 +.642₁₀- 0 +.677₁₀- 0
 +.140₁₀+ 2 +.300₁₀+ 1 +.300₁₀+ 1 +.627₁₀- 0 +.657₁₀- 0
 +.150₁₀+ 2 +.300₁₀+ 1 +.300₁₀+ 1 +.612₁₀- 0 +.638₁₀- 0
 +.160₁₀+ 2 +.300₁₀+ 1 +.300₁₀+ 1 +.597₁₀- 0 +.619₁₀- 0
 +.170₁₀+ 2 +.300₁₀+ 1 +.300₁₀+ 1 +.582₁₀- 0 +.601₁₀- 0
 +.180₁₀+ 2 +.300₁₀+ 1 +.300₁₀+ 1 +.567₁₀- 0 +.583₁₀- 0
 +.190₁₀+ 2 +.300₁₀+ 1 +.300₁₀+ 1 +.551₁₀- 0 +.566₁₀- 0
 +.200₁₀+ 2 +.300₁₀+ 1 +.300₁₀+ 1 +.536₁₀- 0 +.549₁₀- 0
 +.210₁₀+ 2 +.300₁₀+ 1 +.300₁₀+ 1 +.521₁₀- 0 +.533₁₀- 0
 +.220₁₀+ 2 +.300₁₀+ 1 +.300₁₀+ 1 +.506₁₀- 0 +.517₁₀- 0

P=P₁

VERBETERING

n *m* *K* *prell* *pc*

VERBETERING

+ .260₁₀+ 2 + .100₁₀+ 1 + .200₁₀+ 1 + .825₁₀- 0 + .771₁₀- 0

VERBETERING

+ .270₁₀+ 2 + .100₁₀+ 1 + .200₁₀+ 1 + .817₁₀- 0 + .764₁₀- 0

VERBETERING

+ .280₁₀+ 2 + .100₁₀+ 1 + .200₁₀+ 1 + .809₁₀- 0 + .756₁₀- 0

VERBETERING

+ .290₁₀+ 2 + .100₁₀+ 1 + .200₁₀+ 1 + .801₁₀- 0 + .749₁₀- 0

VERBETERING

+ .300₁₀+ 2 + .100₁₀+ 1 + .200₁₀+ 1 + .793₁₀- 0 + .741₁₀- 0

VERBETERING

+ .310₁₀+ 2 + .100₁₀+ 1 + .200₁₀+ 1 + .785₁₀- 0 + .734₁₀- 0

VERBETERING

+ .320₁₀+ 2 + .100₁₀+ 1 + .200₁₀+ 1 + .777₁₀- 0 + .726₁₀- 0

VERBETERING

+ .330₁₀+ 2 + .100₁₀+ 1 + .200₁₀+ 1 + .768₁₀- 0 + .719₁₀- 0

VERBETERING

+ .340₁₀+ 2 + .100₁₀+ 1 + .200₁₀+ 1 + .760₁₀- 0 + .712₁₀- 0

VERBETERING

+ .350₁₀+ 2 + .100₁₀+ 1 + .200₁₀+ 1 + .752₁₀- 0 + .705₁₀- 0

VERBETERING

+ .360₁₀+ 2 + .100₁₀+ 1 + .200₁₀+ 1 + .743₁₀- 0 + .698₁₀- 0

VERBETERING

+ .370₁₀+ 2 + .100₁₀+ 1 + .200₁₀+ 1 + .735₁₀- 0 + .691₁₀- 0

VERBETERING

+ .380₁₀+ 2 + .100₁₀+ 1 + .200₁₀+ 1 + .727₁₀- 0 + .684₁₀- 0

VERBETERING

+ .390₁₀+ 2 + .100₁₀+ 1 + .200₁₀+ 1 + .718₁₀- 0 + .677₁₀- 0

VERBETERING

+ .400₁₀+ 2 + .100₁₀+ 1 + .200₁₀+ 1 + .710₁₀- 0 + .671₁₀- 0

VERBETERING

+ .410₁₀+ 2 + .100₁₀+ 1 + .200₁₀+ 1 + .701₁₀- 0 + .664₁₀- 0

VERBETERING

+ .420₁₀+ 2 + .100₁₀+ 1 + .200₁₀+ 1 + .693₁₀- 0 + .657₁₀- 0

VERBETERING

+ .430₁₀+ 2 + .100₁₀+ 1 + .200₁₀+ 1 + .684₁₀- 0 + .651₁₀- 0

VERBETERING

+ .440₁₀+ 2 + .100₁₀+ 1 + .200₁₀+ 1 + .676₁₀- 0 + .644₁₀- 0

+ .450₁₀+ 2 + .100₁₀+ 1 + .200₁₀+ 1 + .668₁₀- 0 + .638₁₀- 0

VERBETERING									
VERBETERING	+.660 ₁₀ + 2	+.100 ₁₀ + 1	+.200 ₁₀ + 1	+.788 ₁₀ - 0	+.719 ₁₀ - 0				
VERBETERING	+.670 ₁₀ + 2	+.100 ₁₀ + 1	+.200 ₁₀ + 1	+.784 ₁₀ - 0	+.716 ₁₀ - 0				
VERBETERING	+.680 ₁₀ + 2	+.100 ₁₀ + 1	+.200 ₁₀ + 1	+.779 ₁₀ - 0	+.712 ₁₀ - 0				
VERBETERING	+.690 ₁₀ + 2	+.100 ₁₀ + 1	+.200 ₁₀ + 1	+.775 ₁₀ - 0	+.709 ₁₀ - 0				
VERBETERING	+.700 ₁₀ + 2	+.100 ₁₀ + 1	+.200 ₁₀ + 1	+.771 ₁₀ - 0	+.705 ₁₀ - 0				
VERBETERING	+.710 ₁₀ + 2	+.100 ₁₀ + 1	+.200 ₁₀ + 1	+.767 ₁₀ - 0	+.702 ₁₀ - 0				
VERBETERING	+.720 ₁₀ + 2	+.100 ₁₀ + 1	+.200 ₁₀ + 1	+.762 ₁₀ - 0	+.698 ₁₀ - 0				
VERBETERING	+.730 ₁₀ + 2	+.100 ₁₀ + 1	+.200 ₁₀ + 1	+.758 ₁₀ - 0	+.695 ₁₀ - 0				
VERBETERING	+.740 ₁₀ + 2	+.100 ₁₀ + 1	+.200 ₁₀ + 1	+.754 ₁₀ - 0	+.691 ₁₀ - 0				
VERBETERING	+.750 ₁₀ + 2	+.100 ₁₀ + 1	+.200 ₁₀ + 1	+.749 ₁₀ - 0	+.688 ₁₀ - 0				
VERBETERING	+.760 ₁₀ + 2	+.100 ₁₀ + 1	+.200 ₁₀ + 1	+.745 ₁₀ - 0	+.684 ₁₀ - 0				
VERBETERING	+.770 ₁₀ + 2	+.100 ₁₀ + 1	+.200 ₁₀ + 1	+.741 ₁₀ - 0	+.681 ₁₀ - 0				
VERBETERING	+.780 ₁₀ + 2	+.100 ₁₀ + 1	+.200 ₁₀ + 1	+.736 ₁₀ - 0	+.677 ₁₀ - 0				
VERBETERING	+.790 ₁₀ + 2	+.100 ₁₀ + 1	+.200 ₁₀ + 1	+.732 ₁₀ - 0	+.674 ₁₀ - 0				
VERBETERING	+.800 ₁₀ + 2	+.100 ₁₀ + 1	+.200 ₁₀ + 1	+.728 ₁₀ - 0	+.671 ₁₀ - 0				
VERBETERING	+.810 ₁₀ + 2	+.100 ₁₀ + 1	+.200 ₁₀ + 1	+.723 ₁₀ - 0	+.667 ₁₀ - 0				
VERBETERING	+.820 ₁₀ + 2	+.100 ₁₀ + 1	+.200 ₁₀ + 1	+.719 ₁₀ - 0	+.664 ₁₀ - 0				
VERBETERING	+.830 ₁₀ + 2	+.100 ₁₀ + 1	+.200 ₁₀ + 1	+.715 ₁₀ - 0	+.661 ₁₀ - 0				
VERBETERING	+.840 ₁₀ + 2	+.100 ₁₀ + 1	+.200 ₁₀ + 1	+.710 ₁₀ - 0	+.657 ₁₀ - 0				
VERBETERING	+.850 ₁₀ + 2	+.100 ₁₀ + 1	+.200 ₁₀ + 1	+.706 ₁₀ - 0	+.654 ₁₀ - 0				

P=P2

30572 -

7 - 6185479 STELTENPOO

10

	<i>n</i>	<i>m</i>	<i>K</i>	<i>pred</i>	<i>pc</i>
VERBETERING					
	+ .460 ₁₀ + 2	+ .100 ₁₀ + 1	+ .200 ₁₀ + 1	+ .869 ₁₀ - 0	+ .795 ₁₀ - 0
VERBETERING					
	+ .470 ₁₀ + 2	+ .100 ₁₀ + 1	+ .200 ₁₀ + 1	+ .865 ₁₀ - 0	+ .791 ₁₀ - 0
VERBETERING					
	+ .480 ₁₀ + 2	+ .100 ₁₀ + 1	+ .200 ₁₀ + 1	+ .861 ₁₀ - 0	+ .787 ₁₀ - 0
VERBETERING					
	+ .490 ₁₀ + 2	+ .100 ₁₀ + 1	+ .200 ₁₀ + 1	+ .857 ₁₀ - 0	+ .783 ₁₀ - 0
VERBETERING					
	+ .500 ₁₀ + 2	+ .100 ₁₀ + 1	+ .200 ₁₀ + 1	+ .854 ₁₀ - 0	+ .779 ₁₀ - 0
VERBETERING					
	+ .510 ₁₀ + 2	+ .100 ₁₀ + 1	+ .200 ₁₀ + 1	+ .850 ₁₀ - 0	+ .775 ₁₀ - 0
VERBETERING					
	+ .520 ₁₀ + 2	+ .100 ₁₀ + 1	+ .200 ₁₀ + 1	+ .846 ₁₀ - 0	+ .771 ₁₀ - 0
VERBETERING					
	+ .530 ₁₀ + 2	+ .100 ₁₀ + 1	+ .200 ₁₀ + 1	+ .842 ₁₀ - 0	+ .767 ₁₀ - 0
VERBETERING					
	+ .540 ₁₀ + 2	+ .100 ₁₀ + 1	+ .200 ₁₀ + 1	+ .838 ₁₀ - 0	+ .764 ₁₀ - 0
VERBETERING					
	+ .550 ₁₀ + 2	+ .100 ₁₀ + 1	+ .200 ₁₀ + 1	+ .834 ₁₀ - 0	+ .760 ₁₀ - 0
VERBETERING					
	+ .560 ₁₀ + 2	+ .100 ₁₀ + 1	+ .200 ₁₀ + 1	+ .830 ₁₀ - 0	+ .756 ₁₀ - 0
VERBETERING					
	+ .570 ₁₀ + 2	+ .100 ₁₀ + 1	+ .200 ₁₀ + 1	+ .825 ₁₀ - 0	+ .752 ₁₀ - 0
VERBETERING					
	+ .580 ₁₀ + 2	+ .100 ₁₀ + 1	+ .200 ₁₀ + 1	+ .821 ₁₀ - 0	+ .749 ₁₀ - 0
VERBETERING					
	+ .590 ₁₀ + 2	+ .100 ₁₀ + 1	+ .200 ₁₀ + 1	+ .817 ₁₀ - 0	+ .745 ₁₀ - 0
VERBETERING					
	+ .600 ₁₀ + 2	+ .100 ₁₀ + 1	+ .200 ₁₀ + 1	+ .813 ₁₀ - 0	+ .741 ₁₀ - 0
VERBETERING					
	+ .610 ₁₀ + 2	+ .100 ₁₀ + 1	+ .200 ₁₀ + 1	+ .809 ₁₀ - 0	+ .737 ₁₀ - 0
VERBETERING					
	+ .620 ₁₀ + 2	+ .100 ₁₀ + 1	+ .200 ₁₀ + 1	+ .805 ₁₀ - 0	+ .734 ₁₀ - 0
VERBETERING					
	+ .630 ₁₀ + 2	+ .100 ₁₀ + 1	+ .200 ₁₀ + 1	+ .801 ₁₀ - 0	+ .730 ₁₀ - 0
VERBETERING					
	+ .640 ₁₀ + 2	+ .100 ₁₀ + 1	+ .200 ₁₀ + 1	+ .796 ₁₀ - 0	+ .726 ₁₀ - 0
VERBETERING					
	+ .650 ₁₀ + 2	+ .100 ₁₀ + 1	+ .200 ₁₀ + 1	+ .792 ₁₀ - 0	+ .723 ₁₀ - 0

VERBETERING

+.260₁₀+ 2 +.100₁₀+ 1 +.200₁₀+ 1 +.935₁₀- 0 +.878₁₀- 0

VERBETERING

+.270₁₀+ 2 +.100₁₀+ 1 +.200₁₀+ 1 +.933₁₀- 0 +.874₁₀- 0

VERBETERING

+.280₁₀+ 2 +.100₁₀+ 1 +.200₁₀+ 1 +.930₁₀- 0 +.870₁₀- 0

VERBETERING

+.290₁₀+ 2 +.100₁₀+ 1 +.200₁₀+ 1 +.927₁₀- 0 +.865₁₀- 0

VERBETERING

+.300₁₀+ 2 +.100₁₀+ 1 +.200₁₀+ 1 +.924₁₀- 0 +.861₁₀- 0

VERBETERING

+.310₁₀+ 2 +.100₁₀+ 1 +.200₁₀+ 1 +.921₁₀- 0 +.857₁₀- 0

VERBETERING

+.320₁₀+ 2 +.100₁₀+ 1 +.200₁₀+ 1 +.918₁₀- 0 +.852₁₀- 0

VERBETERING

+.330₁₀+ 2 +.100₁₀+ 1 +.200₁₀+ 1 +.915₁₀- 0 +.848₁₀- 0

VERBETERING

+.340₁₀+ 2 +.100₁₀+ 1 +.200₁₀+ 1 +.911₁₀- 0 +.844₁₀- 0

VERBETERING

+.350₁₀+ 2 +.100₁₀+ 1 +.200₁₀+ 1 +.908₁₀- 0 +.840₁₀- 0

VERBETERING

+.360₁₀+ 2 +.100₁₀+ 1 +.200₁₀+ 1 +.905₁₀- 0 +.835₁₀- 0

VERBETERING

+.370₁₀+ 2 +.100₁₀+ 1 +.200₁₀+ 1 +.901₁₀- 0 +.831₁₀- 0

VERBETERING

+.380₁₀+ 2 +.100₁₀+ 1 +.200₁₀+ 1 +.898₁₀- 0 +.827₁₀- 0

VERBETERING

+.390₁₀+ 2 +.100₁₀+ 1 +.200₁₀+ 1 +.895₁₀- 0 +.823₁₀- 0

VERBETERING

+.400₁₀+ 2 +.100₁₀+ 1 +.200₁₀+ 1 +.891₁₀- 0 +.819₁₀- 0

VERBETERING

+.410₁₀+ 2 +.100₁₀+ 1 +.200₁₀+ 1 +.887₁₀- 0 +.815₁₀- 0

VERBETERING

+.420₁₀+ 2 +.100₁₀+ 1 +.200₁₀+ 1 +.884₁₀- 0 +.811₁₀- 0

VERBETERING

+.430₁₀+ 2 +.100₁₀+ 1 +.200₁₀+ 1 +.880₁₀- 0 +.807₁₀- 0

VERBETERING

+.440₁₀+ 2 +.100₁₀+ 1 +.200₁₀+ 1 +.876₁₀- 0 +.803₁₀- 0

VERBETERING

+.450₁₀+ 2 +.100₁₀+ 1 +.200₁₀+ 1 +.873₁₀- 0 +.799₁₀- 0

$P = P_2$

PVERBETERING

<i>n</i>	<i>m</i>	<i>K</i>	<i>PRGD</i>	<i>PC</i>
+.600 ₁₀ + 1	+.100 ₁₀ + 1	+.200 ₁₀ + 1	+.973 ₁₀ - 0	+.970 ₁₀ - 0
+.700 ₁₀ + 1	+.100 ₁₀ + 1	+.200 ₁₀ + 1	+.972 ₁₀ - 0	+.966 ₁₀ - 0
+.800 ₁₀ + 1	+.100 ₁₀ + 1	+.200 ₁₀ + 1	+.971 ₁₀ - 0	+.961 ₁₀ - 0
+.900 ₁₀ + 1	+.100 ₁₀ + 1	+.200 ₁₀ + 1	+.970 ₁₀ - 0	+.956 ₁₀ - 0
+.100 ₁₀ + 2	+.100 ₁₀ + 1	+.200 ₁₀ + 1	+.969 ₁₀ - 0	+.951 ₁₀ - 0
+.110 ₁₀ + 2	+.100 ₁₀ + 1	+.200 ₁₀ + 1	+.967 ₁₀ - 0	+.947 ₁₀ - 0
+.120 ₁₀ + 2	+.100 ₁₀ + 1	+.200 ₁₀ + 1	+.966 ₁₀ - 0	+.942 ₁₀ - 0
+.130 ₁₀ + 2	+.100 ₁₀ + 1	+.200 ₁₀ + 1	+.964 ₁₀ - 0	+.937 ₁₀ - 0
+.140 ₁₀ + 2	+.100 ₁₀ + 1	+.200 ₁₀ + 1	+.963 ₁₀ - 0	+.932 ₁₀ - 0
+.150 ₁₀ + 2	+.100 ₁₀ + 1	+.200 ₁₀ + 1	+.961 ₁₀ - 0	+.928 ₁₀ - 0
+.160 ₁₀ + 2	+.100 ₁₀ + 1	+.200 ₁₀ + 1	+.959 ₁₀ - 0	+.923 ₁₀ - 0
+.170 ₁₀ + 2	+.100 ₁₀ + 1	+.200 ₁₀ + 1	+.957 ₁₀ - 0	+.919 ₁₀ - 0
+.180 ₁₀ + 2	+.100 ₁₀ + 1	+.200 ₁₀ + 1	+.955 ₁₀ - 0	+.914 ₁₀ - 0
+.190 ₁₀ + 2	+.100 ₁₀ + 1	+.200 ₁₀ + 1	+.953 ₁₀ - 0	+.909 ₁₀ - 0
+.200 ₁₀ + 2	+.100 ₁₀ + 1	+.200 ₁₀ + 1	+.951 ₁₀ - 0	+.905 ₁₀ - 0
+.210 ₁₀ + 2	+.100 ₁₀ + 1	+.200 ₁₀ + 1	+.948 ₁₀ - 0	+.900 ₁₀ - 0
+.220 ₁₀ + 2	+.100 ₁₀ + 1	+.200 ₁₀ + 1	+.946 ₁₀ - 0	+.896 ₁₀ - 0
+.230 ₁₀ + 2	+.100 ₁₀ + 1	+.200 ₁₀ + 1	+.943 ₁₀ - 0	+.892 ₁₀ - 0
+.240 ₁₀ + 2	+.100 ₁₀ + 1	+.200 ₁₀ + 1	+.941 ₁₀ - 0	+.887 ₁₀ - 0
+.250 ₁₀ + 2	+.100 ₁₀ + 1	+.200 ₁₀ + 1	+.938 ₁₀ - 0	+.883 ₁₀ - 0

VERBETERING

P=P2

30572 -

7 - 6185479 STELTENPOO

12

VERBETERING	<i>n</i>	<i>m</i>	<i>k</i>	<i>pred</i>	<i>pe</i>
VERBETERING	+ .860 ₁₀ + 2	+ .100 ₁₀ + 1	+ .200 ₁₀ + 1	+ .702 ₁₀ - 0	+ .651 ₁₀ - 0
VERBETERING	+ .870 ₁₀ + 2	+ .100 ₁₀ + 1	+ .200 ₁₀ + 1	+ .697 ₁₀ - 0	+ .648 ₁₀ - 0
VERBETERING	+ .880 ₁₀ + 2	+ .100 ₁₀ + 1	+ .200 ₁₀ + 1	+ .693 ₁₀ - 0	+ .644 ₁₀ - 0
VERBETERING	+ .890 ₁₀ + 2	+ .100 ₁₀ + 1	+ .200 ₁₀ + 1	+ .689 ₁₀ - 0	+ .641 ₁₀ - 0
VERBETERING	+ .900 ₁₀ + 2	+ .100 ₁₀ + 1	+ .200 ₁₀ + 1	+ .684 ₁₀ - 0	+ .638 ₁₀ - 0
VERBETERING	+ .910 ₁₀ + 2	+ .100 ₁₀ + 1	+ .200 ₁₀ + 1	+ .680 ₁₀ - 0	+ .635 ₁₀ - 0
VERBETERING	+ .920 ₁₀ + 2	+ .100 ₁₀ + 1	+ .200 ₁₀ + 1	+ .676 ₁₀ - 0	+ .632 ₁₀ - 0
VERBETERING	+ .930 ₁₀ + 2	+ .100 ₁₀ + 1	+ .200 ₁₀ + 1	+ .672 ₁₀ - 0	+ .629 ₁₀ - 0
VERBETERING	+ .940 ₁₀ + 2	+ .100 ₁₀ + 1	+ .200 ₁₀ + 1	+ .667 ₁₀ - 0	+ .625 ₁₀ - 0
VERBETERING	+ .950 ₁₀ + 2	+ .100 ₁₀ + 1	+ .200 ₁₀ + 1	+ .663 ₁₀ - 0	+ .622 ₁₀ - 0
VERBETERING	+ .960 ₁₀ + 2	+ .100 ₁₀ + 1	+ .200 ₁₀ + 1	+ .659 ₁₀ - 0	+ .619 ₁₀ - 0
VERBETERING	+ .970 ₁₀ + 2	+ .100 ₁₀ + 1	+ .200 ₁₀ + 1	+ .655 ₁₀ - 0	+ .616 ₁₀ - 0
VERBETERING	+ .980 ₁₀ + 2	+ .100 ₁₀ + 1	+ .200 ₁₀ + 1	+ .650 ₁₀ - 0	+ .613 ₁₀ - 0
VERBETERING	+ .990 ₁₀ + 2	+ .100 ₁₀ + 1	+ .200 ₁₀ + 1	+ .646 ₁₀ - 0	+ .610 ₁₀ - 0
VERBETERING	+ .100 ₁₀ + 3	+ .100 ₁₀ + 1	+ .200 ₁₀ + 1	+ .642 ₁₀ - 0	+ .607 ₁₀ - 0
VERBETERING	+ .101 ₁₀ + 3	+ .100 ₁₀ + 1	+ .200 ₁₀ + 1	+ .638 ₁₀ - 0	+ .604 ₁₀ - 0
VERBETERING	+ .102 ₁₀ + 3	+ .100 ₁₀ + 1	+ .200 ₁₀ + 1	+ .633 ₁₀ - 0	+ .601 ₁₀ - 0
VERBETERING	+ .103 ₁₀ + 3	+ .100 ₁₀ + 1	+ .200 ₁₀ + 1	+ .629 ₁₀ - 0	+ .598 ₁₀ - 0
VERBETERING	+ .104 ₁₀ + 3	+ .100 ₁₀ + 1	+ .200 ₁₀ + 1	+ .625 ₁₀ - 0	+ .595 ₁₀ - 0
VERBETERING	+ .105 ₁₀ + 3	+ .100 ₁₀ + 1	+ .200 ₁₀ + 1	+ .621 ₁₀ - 0	+ .592 ₁₀ - 0

VERBETERING	<i>n</i>	<i>m</i>	<i>H</i>	<i>prod</i>	<i>pc</i>
VERBETERING	+.106 ₁₀ + 3	+.100 ₁₀ + 1	+.200 ₁₀ + 1	+.617 ₁₀ - 0	+.589 ₁₀ - 0
VERBETERING	+.107 ₁₀ + 3	+.100 ₁₀ + 1	+.200 ₁₀ + 1	+.612 ₁₀ - 0	+.586 ₁₀ - 0
VERBETERING	+.108 ₁₀ + 3	+.100 ₁₀ + 1	+.200 ₁₀ + 1	+.608 ₁₀ - 0	+.583 ₁₀ - 0
VERBETERING	+.109 ₁₀ + 3	+.100 ₁₀ + 1	+.200 ₁₀ + 1	+.604 ₁₀ - 0	+.580 ₁₀ - 0
VERBETERING	+.110 ₁₀ + 3	+.100 ₁₀ + 1	+.200 ₁₀ + 1	+.600 ₁₀ - 0	+.577 ₁₀ - 0
VERBETERING	+.111 ₁₀ + 3	+.100 ₁₀ + 1	+.200 ₁₀ + 1	+.596 ₁₀ - 0	+.575 ₁₀ - 0
VERBETERING	+.112 ₁₀ + 3	+.100 ₁₀ + 1	+.200 ₁₀ + 1	+.592 ₁₀ - 0	+.572 ₁₀ - 0
VERBETERING	+.113 ₁₀ + 3	+.100 ₁₀ + 1	+.200 ₁₀ + 1	+.588 ₁₀ - 0	+.569 ₁₀ - 0
VERBETERING	+.114 ₁₀ + 3	+.100 ₁₀ + 1	+.200 ₁₀ + 1	+.584 ₁₀ - 0	+.566 ₁₀ - 0
VERBETERING	+.115 ₁₀ + 3	+.100 ₁₀ + 1	+.200 ₁₀ + 1	+.580 ₁₀ - 0	+.563 ₁₀ - 0
VERBETERING	+.116 ₁₀ + 3	+.100 ₁₀ + 1	+.200 ₁₀ + 1	+.576 ₁₀ - 0	+.560 ₁₀ - 0
VERBETERING	+.117 ₁₀ + 3	+.100 ₁₀ + 1	+.200 ₁₀ + 1	+.572 ₁₀ - 0	+.558 ₁₀ - 0
VERBETERING	+.118 ₁₀ + 3	+.100 ₁₀ + 1	+.200 ₁₀ + 1	+.568 ₁₀ - 0	+.555 ₁₀ - 0
VERBETERING	+.119 ₁₀ + 3	+.100 ₁₀ + 1	+.200 ₁₀ + 1	+.564 ₁₀ - 0	+.552 ₁₀ - 0
VERBETERING	+.120 ₁₀ + 3	+.100 ₁₀ + 1	+.200 ₁₀ + 1	+.560 ₁₀ - 0	+.549 ₁₀ - 0
VERBETERING	+.121 ₁₀ + 3	+.100 ₁₀ + 1	+.200 ₁₀ + 1	+.556 ₁₀ - 0	+.547 ₁₀ - 0
VERBETERING	+.122 ₁₀ + 3	+.100 ₁₀ + 1	+.200 ₁₀ + 1	+.552 ₁₀ - 0	+.544 ₁₀ - 0
VERBETERING	+.123 ₁₀ + 3	+.100 ₁₀ + 1	+.200 ₁₀ + 1	+.548 ₁₀ - 0	+.541 ₁₀ - 0
VERBETERING	+.124 ₁₀ + 3	+.100 ₁₀ + 1	+.200 ₁₀ + 1	+.544 ₁₀ - 0	+.538 ₁₀ - 0
VERBETERING	+.125 ₁₀ + 3	+.100 ₁₀ + 1	+.200 ₁₀ + 1	+.540 ₁₀ - 0	+.536 ₁₀ - 0

VERBETERING	"	117	"	prod	pc
VERBETERING	+ .126 ₁₀ + 3	+ .100 ₁₀ + 1	+ .200 ₁₀ + 1	+ .536 ₁₀ - 0	+ .533 ₁₀ - 0
VERBETERING	+ .127 ₁₀ + 3	+ .100 ₁₀ + 1	+ .200 ₁₀ + 1	+ .532 ₁₀ - 0	+ .530 ₁₀ - 0
VERBETERING	+ .128 ₁₀ + 3	+ .100 ₁₀ + 1	+ .200 ₁₀ + 1	+ .528 ₁₀ - 0	+ .528 ₁₀ - 0
VERBETERING	+ .110 ₁₀ + 2	+ .200 ₁₀ + 1	+ .300 ₁₀ + 1	+ .900 ₁₀ - 0	+ .896 ₁₀ - 0
VERBETERING	+ .120 ₁₀ + 2	+ .200 ₁₀ + 1	+ .300 ₁₀ + 1	+ .895 ₁₀ - 0	+ .887 ₁₀ - 0
VERBETERING	+ .130 ₁₀ + 2	+ .200 ₁₀ + 1	+ .300 ₁₀ + 1	+ .891 ₁₀ - 0	+ .878 ₁₀ - 0
VERBETERING	+ .140 ₁₀ + 2	+ .200 ₁₀ + 1	+ .300 ₁₀ + 1	+ .887 ₁₀ - 0	+ .870 ₁₀ - 0
VERBETERING	+ .150 ₁₀ + 2	+ .200 ₁₀ + 1	+ .300 ₁₀ + 1	+ .882 ₁₀ - 0	+ .861 ₁₀ - 0
VERBETERING	+ .160 ₁₀ + 2	+ .200 ₁₀ + 1	+ .300 ₁₀ + 1	+ .877 ₁₀ - 0	+ .852 ₁₀ - 0
VERBETERING	+ .170 ₁₀ + 2	+ .200 ₁₀ + 1	+ .300 ₁₀ + 1	+ .871 ₁₀ - 0	+ .844 ₁₀ - 0
VERBETERING	+ .180 ₁₀ + 2	+ .200 ₁₀ + 1	+ .300 ₁₀ + 1	+ .866 ₁₀ - 0	+ .835 ₁₀ - 0
VERBETERING	+ .190 ₁₀ + 2	+ .200 ₁₀ + 1	+ .300 ₁₀ + 1	+ .860 ₁₀ - 0	+ .827 ₁₀ - 0
VERBETERING	+ .200 ₁₀ + 2	+ .200 ₁₀ + 1	+ .300 ₁₀ + 1	+ .855 ₁₀ - 0	+ .819 ₁₀ - 0
VERBETERING	+ .210 ₁₀ + 2	+ .200 ₁₀ + 1	+ .300 ₁₀ + 1	+ .849 ₁₀ - 0	+ .811 ₁₀ - 0
VERBETERING	+ .220 ₁₀ + 2	+ .200 ₁₀ + 1	+ .300 ₁₀ + 1	+ .843 ₁₀ - 0	+ .803 ₁₀ - 0
VERBETERING	+ .230 ₁₀ + 2	+ .200 ₁₀ + 1	+ .300 ₁₀ + 1	+ .836 ₁₀ - 0	+ .795 ₁₀ - 0
VERBETERING	+ .240 ₁₀ + 2	+ .200 ₁₀ + 1	+ .300 ₁₀ + 1	+ .830 ₁₀ - 0	+ .787 ₁₀ - 0
VERBETERING	+ .250 ₁₀ + 2	+ .200 ₁₀ + 1	+ .300 ₁₀ + 1	+ .823 ₁₀ - 0	+ .779 ₁₀ - 0
VERBETERING	+ .260 ₁₀ + 2	+ .200 ₁₀ + 1	+ .300 ₁₀ + 1	+ .817 ₁₀ - 0	+ .771 ₁₀ - 0
VERBETERING	+ .270 ₁₀ + 2	+ .200 ₁₀ + 1	+ .300 ₁₀ + 1	+ .810 ₁₀ - 0	+ .764 ₁₀ - 0

VERBETERING	+.280 ₁₀ + 2	+.200 ₁₀ + 1	+.300 ₁₀ + 1	+.803 ₁₀ - 0	+.756 ₁₀ - 0
VERBETERING	+.290 ₁₀ + 2	+.200 ₁₀ + 1	+.300 ₁₀ + 1	+.796 ₁₀ - 0	+.749 ₁₀ - 0
VERBETERING	+.300 ₁₀ + 2	+.200 ₁₀ + 1	+.300 ₁₀ + 1	+.739 ₁₀ - 0	+.741 ₁₀ - 0
VERBETERING	+.310 ₁₀ + 2	+.200 ₁₀ + 1	+.300 ₁₀ + 1	+.732 ₁₀ - 0	+.734 ₁₀ - 0
VERBETERING	+.320 ₁₀ + 2	+.200 ₁₀ + 1	+.300 ₁₀ + 1	+.775 ₁₀ - 0	+.726 ₁₀ - 0
VERBETERING	+.330 ₁₀ + 2	+.200 ₁₀ + 1	+.300 ₁₀ + 1	+.768 ₁₀ - 0	+.719 ₁₀ - 0
VERBETERING	+.340 ₁₀ + 2	+.200 ₁₀ + 1	+.300 ₁₀ + 1	+.761 ₁₀ - 0	+.712 ₁₀ - 0
VERBETERING	+.350 ₁₀ + 2	+.200 ₁₀ + 1	+.300 ₁₀ + 1	+.753 ₁₀ - 0	+.705 ₁₀ - 0
VERBETERING	+.360 ₁₀ + 2	+.200 ₁₀ + 1	+.300 ₁₀ + 1	+.746 ₁₀ - 0	+.698 ₁₀ - 0
VERBETERING	+.370 ₁₀ + 2	+.200 ₁₀ + 1	+.300 ₁₀ + 1	+.738 ₁₀ - 0	+.691 ₁₀ - 0
VERBETERING	+.380 ₁₀ + 2	+.200 ₁₀ + 1	+.300 ₁₀ + 1	+.731 ₁₀ - 0	+.684 ₁₀ - 0
VERBETERING	+.390 ₁₀ + 2	+.200 ₁₀ + 1	+.300 ₁₀ + 1	+.724 ₁₀ - 0	+.677 ₁₀ - 0
VERBETERING	+.400 ₁₀ + 2	+.200 ₁₀ + 1	+.300 ₁₀ + 1	+.716 ₁₀ - 0	+.671 ₁₀ - 0
VERBETERING	+.410 ₁₀ + 2	+.200 ₁₀ + 1	+.300 ₁₀ + 1	+.709 ₁₀ - 0	+.664 ₁₀ - 0
VERBETERING	+.420 ₁₀ + 2	+.200 ₁₀ + 1	+.300 ₁₀ + 1	+.701 ₁₀ - 0	+.657 ₁₀ - 0
VERBETERING	+.430 ₁₀ + 2	+.200 ₁₀ + 1	+.300 ₁₀ + 1	+.693 ₁₀ - 0	+.651 ₁₀ - 0
VERBETERING	+.440 ₁₀ + 2	+.200 ₁₀ + 1	+.300 ₁₀ + 1	+.686 ₁₀ - 0	+.644 ₁₀ - 0
VERBETERING	+.450 ₁₀ + 2	+.200 ₁₀ + 1	+.300 ₁₀ + 1	+.678 ₁₀ - 0	+.638 ₁₀ - 0
VERBETERING	+.460 ₁₀ + 2	+.200 ₁₀ + 1	+.300 ₁₀ + 1	+.671 ₁₀ - 0	+.632 ₁₀ - 0
VERBETERING	+.470 ₁₀ + 2	+.200 ₁₀ + 1	+.300 ₁₀ + 1	+.663 ₁₀ - 0	+.625 ₁₀ - 0

$p = p_2$

30572 -

7 - 6185479 STELTEMP00

VERBETERING	<i>n</i>	<i>m</i>	<i>k</i>	<i>prod</i>	<i>pc</i>
VERBETERING	+ .480 ₁₀ + 2	+ .200 ₁₀ + 1	+ .300 ₁₀ + 1	+ .656 ₁₀ - 0	+ .619 ₁₀ - 0
VERBETERING	+ .490 ₁₀ + 2	+ .200 ₁₀ + 1	+ .300 ₁₀ + 1	+ .648 ₁₀ - 0	+ .613 ₁₀ - 0
VERBETERING	+ .500 ₁₀ + 2	+ .200 ₁₀ + 1	+ .300 ₁₀ + 1	+ .641 ₁₀ - 0	+ .607 ₁₀ - 0
VERBETERING	+ .510 ₁₀ + 2	+ .200 ₁₀ + 1	+ .300 ₁₀ + 1	+ .633 ₁₀ - 0	+ .601 ₁₀ - 0
VERBETERING	+ .520 ₁₀ + 2	+ .200 ₁₀ + 1	+ .300 ₁₀ + 1	+ .626 ₁₀ - 0	+ .595 ₁₀ - 0
VERBETERING	+ .530 ₁₀ + 2	+ .200 ₁₀ + 1	+ .300 ₁₀ + 1	+ .618 ₁₀ - 0	+ .589 ₁₀ - 0
VERBETERING	+ .540 ₁₀ + 2	+ .200 ₁₀ + 1	+ .300 ₁₀ + 1	+ .611 ₁₀ - 0	+ .583 ₁₀ - 0
VERBETERING	+ .550 ₁₀ + 2	+ .200 ₁₀ + 1	+ .300 ₁₀ + 1	+ .603 ₁₀ - 0	+ .577 ₁₀ - 0
VERBETERING	+ .560 ₁₀ + 2	+ .200 ₁₀ + 1	+ .300 ₁₀ + 1	+ .596 ₁₀ - 0	+ .572 ₁₀ - 0
VERBETERING	+ .570 ₁₀ + 2	+ .200 ₁₀ + 1	+ .300 ₁₀ + 1	+ .589 ₁₀ - 0	+ .566 ₁₀ - 0
VERBETERING	+ .580 ₁₀ + 2	+ .200 ₁₀ + 1	+ .300 ₁₀ + 1	+ .581 ₁₀ - 0	+ .560 ₁₀ - 0
VERBETERING	+ .590 ₁₀ + 2	+ .200 ₁₀ + 1	+ .300 ₁₀ + 1	+ .574 ₁₀ - 0	+ .555 ₁₀ - 0
VERBETERING	+ .600 ₁₀ + 2	+ .200 ₁₀ + 1	+ .300 ₁₀ + 1	+ .567 ₁₀ - 0	+ .549 ₁₀ - 0
VERBETERING	+ .610 ₁₀ + 2	+ .200 ₁₀ + 1	+ .300 ₁₀ + 1	+ .560 ₁₀ - 0	+ .544 ₁₀ - 0
VERBETERING	+ .620 ₁₀ + 2	+ .200 ₁₀ + 1	+ .300 ₁₀ + 1	+ .553 ₁₀ - 0	+ .538 ₁₀ - 0
VERBETERING	+ .630 ₁₀ + 2	+ .200 ₁₀ + 1	+ .300 ₁₀ + 1	+ .546 ₁₀ - 0	+ .533 ₁₀ - 0
VERBETERING	+ .640 ₁₀ + 2	+ .200 ₁₀ + 1	+ .300 ₁₀ + 1	+ .539 ₁₀ - 0	+ .528 ₁₀ - 0
VERBETERING	+ .650 ₁₀ + 2	+ .200 ₁₀ + 1	+ .300 ₁₀ + 1	+ .532 ₁₀ - 0	+ .523 ₁₀ - 0
VERBETERING	+ .660 ₁₀ + 2	+ .200 ₁₀ + 1	+ .300 ₁₀ + 1	+ .525 ₁₀ - 0	+ .517 ₁₀ - 0
VERBETERING	+ .670 ₁₀ + 2	+ .200 ₁₀ + 1	+ .300 ₁₀ + 1	+ .518 ₁₀ - 0	+ .512 ₁₀ - 0

VERBETERING

+.680₁₀+ 2 +.200₁₀+ 1 +.300₁₀+ 1 +.511₁₀- 0 +.507₁₀- 0

VERBETERING

+.690₁₀+ 2 +.200₁₀+ 1 +.300₁₀+ 1 +.504₁₀- 0 +.502₁₀- 0

VERBETERING

+.700₁₀+ 2 +.200₁₀+ 1 +.300₁₀+ 1 +.497₁₀- 0 +.497₁₀- 0+.200₁₀+ 1 +.300₁₀+ 1 +.300₁₀+ 1 +.873₁₀- 0 +.970₁₀- 0+.300₁₀+ 1 +.300₁₀+ 1 +.300₁₀+ 1 +.871₁₀- 0 +.956₁₀- 0+.400₁₀+ 1 +.300₁₀+ 1 +.300₁₀+ 1 +.869₁₀- 0 +.942₁₀- 0+.500₁₀+ 1 +.300₁₀+ 1 +.300₁₀+ 1 +.866₁₀- 0 +.928₁₀- 0+.600₁₀+ 1 +.300₁₀+ 1 +.300₁₀+ 1 +.863₁₀- 0 +.914₁₀- 0+.700₁₀+ 1 +.300₁₀+ 1 +.300₁₀+ 1 +.860₁₀- 0 +.900₁₀- 0+.800₁₀+ 1 +.300₁₀+ 1 +.300₁₀+ 1 +.856₁₀- 0 +.887₁₀- 0+.900₁₀+ 1 +.300₁₀+ 1 +.300₁₀+ 1 +.851₁₀- 0 +.874₁₀- 0+.100₁₀+ 2 +.300₁₀+ 1 +.300₁₀+ 1 +.847₁₀- 0 +.861₁₀- 0+.110₁₀+ 2 +.300₁₀+ 1 +.300₁₀+ 1 +.841₁₀- 0 +.848₁₀- 0

VERBETERING

+.120₁₀+ 2 +.300₁₀+ 1 +.300₁₀+ 1 +.836₁₀- 0 +.835₁₀- 0

VERBETERING

+.130₁₀+ 2 +.300₁₀+ 1 +.300₁₀+ 1 +.830₁₀- 0 +.823₁₀- 0

VERBETERING

+.140₁₀+ 2 +.300₁₀+ 1 +.300₁₀+ 1 +.824₁₀- 0 +.811₁₀- 0

VERBETERING

+.150₁₀+ 2 +.300₁₀+ 1 +.300₁₀+ 1 +.818₁₀- 0 +.799₁₀- 0

VERBETERING

+.160₁₀+ 2 +.300₁₀+ 1 +.300₁₀+ 1 +.811₁₀- 0 +.787₁₀- 0

VERBETERING

+.170₁₀+ 2 +.300₁₀+ 1 +.300₁₀+ 1 +.804₁₀- 0 +.775₁₀- 0

VERBETERING

+.180₁₀+ 2 +.300₁₀+ 1 +.300₁₀+ 1 +.797₁₀- 0 +.764₁₀- 0

VERBETERING

+.190₁₀+ 2 +.300₁₀+ 1 +.300₁₀+ 1 +.790₁₀- 0 +.752₁₀- 0

VERBETERING

+.200₁₀+ 2 +.300₁₀+ 1 +.300₁₀+ 1 +.782₁₀- 0 +.741₁₀- 0

VERBETERING

+.210₁₀+ 2 +.300₁₀+ 1 +.300₁₀+ 1 +.775₁₀- 0 +.730₁₀- 0

VERBETERING

+.220₁₀+ 2 +.300₁₀+ 1 +.300₁₀+ 1 +.767₁₀- 0 +.719₁₀- 0

VERBETERING

+.230₁₀+ 2 +.300₁₀+ 1 +.300₁₀+ 1 +.759₁₀- 0 +.709₁₀- 0

VERBETERING

+.240₁₀+ 2 +.300₁₀+ 1 +.300₁₀+ 1 +.751₁₀- 0 +.698₁₀- 0

VERBETERING

	<i>n</i>	<i>m</i>	<i>K</i>	<i>pred</i>	<i>pc</i>
VERBETERING	+.250 ₁₀ + 2	+.300 ₁₀ + 1	+.300 ₁₀ + 1	+.743 ₁₀ - 0	+.688 ₁₀ - 0
VERBETERING	+.260 ₁₀ + 2	+.300 ₁₀ + 1	+.300 ₁₀ + 1	+.735 ₁₀ - 0	+.677 ₁₀ - 0
VERBETERING	+.270 ₁₀ + 2	+.300 ₁₀ + 1	+.300 ₁₀ + 1	+.726 ₁₀ - 0	+.667 ₁₀ - 0
VERBETERING	+.280 ₁₀ + 2	+.300 ₁₀ + 1	+.300 ₁₀ + 1	+.718 ₁₀ - 0	+.657 ₁₀ - 0
VERBETERING	+.290 ₁₀ + 2	+.300 ₁₀ + 1	+.300 ₁₀ + 1	+.709 ₁₀ - 0	+.648 ₁₀ - 0
VERBETERING	+.300 ₁₀ + 2	+.300 ₁₀ + 1	+.300 ₁₀ + 1	+.701 ₁₀ - 0	+.638 ₁₀ - 0
VERBETERING	+.310 ₁₀ + 2	+.300 ₁₀ + 1	+.300 ₁₀ + 1	+.692 ₁₀ - 0	+.629 ₁₀ - 0
VERBETERING	+.320 ₁₀ + 2	+.300 ₁₀ + 1	+.300 ₁₀ + 1	+.683 ₁₀ - 0	+.619 ₁₀ - 0
VERBETERING	+.330 ₁₀ + 2	+.300 ₁₀ + 1	+.300 ₁₀ + 1	+.675 ₁₀ - 0	+.610 ₁₀ - 0
VERBETERING	+.340 ₁₀ + 2	+.300 ₁₀ + 1	+.300 ₁₀ + 1	+.666 ₁₀ - 0	+.601 ₁₀ - 0
VERBETERING	+.350 ₁₀ + 2	+.300 ₁₀ + 1	+.300 ₁₀ + 1	+.657 ₁₀ - 0	+.592 ₁₀ - 0
VERBETERING	+.360 ₁₀ + 2	+.300 ₁₀ + 1	+.300 ₁₀ + 1	+.648 ₁₀ - 0	+.583 ₁₀ - 0
VERBETERING	+.370 ₁₀ + 2	+.300 ₁₀ + 1	+.300 ₁₀ + 1	+.640 ₁₀ - 0	+.575 ₁₀ - 0
VERBETERING	+.380 ₁₀ + 2	+.300 ₁₀ + 1	+.300 ₁₀ + 1	+.631 ₁₀ - 0	+.566 ₁₀ - 0
VERBETERING	+.390 ₁₀ + 2	+.300 ₁₀ + 1	+.300 ₁₀ + 1	+.622 ₁₀ - 0	+.558 ₁₀ - 0
VERBETERING	+.400 ₁₀ + 2	+.300 ₁₀ + 1	+.300 ₁₀ + 1	+.613 ₁₀ - 0	+.549 ₁₀ - 0
VERBETERING	+.410 ₁₀ + 2	+.300 ₁₀ + 1	+.300 ₁₀ + 1	+.605 ₁₀ - 0	+.541 ₁₀ - 0
VERBETERING	+.420 ₁₀ + 2	+.300 ₁₀ + 1	+.300 ₁₀ + 1	+.596 ₁₀ - 0	+.533 ₁₀ - 0
VERBETERING	+.430 ₁₀ + 2	+.300 ₁₀ + 1	+.300 ₁₀ + 1	+.587 ₁₀ - 0	+.525 ₁₀ - 0
VERBETERING	+.440 ₁₀ + 2	+.300 ₁₀ + 1	+.300 ₁₀ + 1	+.579 ₁₀ - 0	+.517 ₁₀ - 0

VERBETERING	+ .450 ₁₀ + 2	+ .300 ₁₀ + 1	+ .300 ₁₀ + 1	+ .570 ₁₀ - 0	+ .510 ₁₀ - 0
VERBETERING	+ .460 ₁₀ + 2	+ .300 ₁₀ + 1	+ .300 ₁₀ + 1	+ .562 ₁₀ - 0	+ .502 ₁₀ - 0
VERBETERING	+ .470 ₁₀ + 2	+ .300 ₁₀ + 1	+ .300 ₁₀ + 1	+ .553 ₁₀ - 0	+ .495 ₁₀ - 0
VERBETERING	+ .480 ₁₀ + 2	+ .300 ₁₀ + 1	+ .300 ₁₀ + 1	+ .545 ₁₀ - 0	+ .487 ₁₀ - 0
VERBETERING	+ .490 ₁₀ + 2	+ .300 ₁₀ + 1	+ .300 ₁₀ + 1	+ .536 ₁₀ - 0	+ .480 ₁₀ - 0
VERBETERING	+ .500 ₁₀ + 2	+ .300 ₁₀ + 1	+ .300 ₁₀ + 1	+ .528 ₁₀ - 0	+ .473 ₁₀ - 0
VERBETERING	+ .510 ₁₀ + 2	+ .300 ₁₀ + 1	+ .300 ₁₀ + 1	+ .520 ₁₀ - 0	+ .466 ₁₀ - 0
VERBETERING	+ .520 ₁₀ + 2	+ .300 ₁₀ + 1	+ .300 ₁₀ + 1	+ .511 ₁₀ - 0	+ .459 ₁₀ - 0
VERBETERING	+ .530 ₁₀ + 2	+ .300 ₁₀ + 1	+ .300 ₁₀ + 1	+ .503 ₁₀ - 0	+ .452 ₁₀ - 0
VERBETERING	+ .540 ₁₀ + 2	+ .300 ₁₀ + 1	+ .300 ₁₀ + 1	+ .495 ₁₀ - 0	+ .445 ₁₀ - 0
VERBETERING	+ .550 ₁₀ + 2	+ .300 ₁₀ + 1	+ .300 ₁₀ + 1	+ .487 ₁₀ - 0	+ .439 ₁₀ - 0
VERBETERING	+ .560 ₁₀ + 2	+ .300 ₁₀ + 1	+ .300 ₁₀ + 1	+ .479 ₁₀ - 0	+ .432 ₁₀ - 0
VERBETERING	+ .570 ₁₀ + 2	+ .300 ₁₀ + 1	+ .300 ₁₀ + 1	+ .471 ₁₀ - 0	+ .426 ₁₀ - 0
VERBETERING	+ .580 ₁₀ + 2	+ .300 ₁₀ + 1	+ .300 ₁₀ + 1	+ .464 ₁₀ - 0	+ .419 ₁₀ - 0
VERBETERING	+ .590 ₁₀ + 2	+ .300 ₁₀ + 1	+ .300 ₁₀ + 1	+ .456 ₁₀ - 0	+ .413 ₁₀ - 0
VERBETERING	+ .600 ₁₀ + 2	+ .300 ₁₀ + 1	+ .300 ₁₀ + 1	+ .448 ₁₀ - 0	+ .407 ₁₀ - 0
VERBETERING	+ .610 ₁₀ + 2	+ .300 ₁₀ + 1	+ .300 ₁₀ + 1	+ .441 ₁₀ - 0	+ .401 ₁₀ - 0
VERBETERING	+ .620 ₁₀ + 2	+ .300 ₁₀ + 1	+ .300 ₁₀ + 1	+ .433 ₁₀ - 0	+ .395 ₁₀ - 0
VERBETERING	+ .630 ₁₀ + 2	+ .300 ₁₀ + 1	+ .300 ₁₀ + 1	+ .426 ₁₀ - 0	+ .389 ₁₀ - 0
VERBETERING	+ .640 ₁₀ + 2	+ .300 ₁₀ + 1	+ .300 ₁₀ + 1	+ .419 ₁₀ - 0	+ .383 ₁₀ - 0

p=p2

	<i>n</i>	<i>m</i>	<i>k</i>	<i>pred</i>	<i>pc</i>
VERBETERING	+ .650 ₁₀ + 2	+ .300 ₁₀ + 1	+ .300 ₁₀ + 1	+ .411 ₁₀ - 0	+ .378 ₁₀ - 0
VERBETERING	+ .660 ₁₀ + 2	+ .300 ₁₀ + 1	+ .300 ₁₀ + 1	+ .404 ₁₀ - 0	+ .372 ₁₀ - 0
VERBETERING	+ .670 ₁₀ + 2	+ .300 ₁₀ + 1	+ .300 ₁₀ + 1	+ .397 ₁₀ - 0	+ .367 ₁₀ - 0
VERBETERING	+ .680 ₁₀ + 2	+ .300 ₁₀ + 1	+ .300 ₁₀ + 1	+ .390 ₁₀ - 0	+ .361 ₁₀ - 0
VERBETERING	+ .690 ₁₀ + 2	+ .300 ₁₀ + 1	+ .300 ₁₀ + 1	+ .384 ₁₀ - 0	+ .356 ₁₀ - 0
VERBETERING	+ .700 ₁₀ + 2	+ .300 ₁₀ + 1	+ .300 ₁₀ + 1	+ .377 ₁₀ - 0	+ .350 ₁₀ - 0
VERBETERING	+ .710 ₁₀ + 2	+ .300 ₁₀ + 1	+ .300 ₁₀ + 1	+ .370 ₁₀ - 0	+ .345 ₁₀ - 0
VERBETERING	+ .720 ₁₀ + 2	+ .300 ₁₀ + 1	+ .300 ₁₀ + 1	+ .363 ₁₀ - 0	+ .340 ₁₀ - 0
VERBETERING	+ .730 ₁₀ + 2	+ .300 ₁₀ + 1	+ .300 ₁₀ + 1	+ .357 ₁₀ - 0	+ .335 ₁₀ - 0
VERBETERING	+ .740 ₁₀ + 2	+ .300 ₁₀ + 1	+ .300 ₁₀ + 1	+ .351 ₁₀ - 0	+ .330 ₁₀ - 0
VERBETERING	+ .750 ₁₀ + 2	+ .300 ₁₀ + 1	+ .300 ₁₀ + 1	+ .344 ₁₀ - 0	+ .325 ₁₀ - 0
VERBETERING	+ .760 ₁₀ + 2	+ .300 ₁₀ + 1	+ .300 ₁₀ + 1	+ .338 ₁₀ - 0	+ .320 ₁₀ - 0
VERBETERING	+ .770 ₁₀ + 2	+ .300 ₁₀ + 1	+ .300 ₁₀ + 1	+ .332 ₁₀ - 0	+ .316 ₁₀ - 0
VERBETERING	+ .780 ₁₀ + 2	+ .300 ₁₀ + 1	+ .300 ₁₀ + 1	+ .326 ₁₀ - 0	+ .311 ₁₀ - 0
VERBETERING	+ .790 ₁₀ + 2	+ .300 ₁₀ + 1	+ .300 ₁₀ + 1	+ .320 ₁₀ - 0	+ .306 ₁₀ - 0
VERBETERING	+ .800 ₁₀ + 2	+ .300 ₁₀ + 1	+ .300 ₁₀ + 1	+ .314 ₁₀ - 0	+ .302 ₁₀ - 0
VERBETERING	+ .810 ₁₀ + 2	+ .300 ₁₀ + 1	+ .300 ₁₀ + 1	+ .308 ₁₀ - 0	+ .297 ₁₀ - 0
VERBETERING	+ .820 ₁₀ + 2	+ .300 ₁₀ + 1	+ .300 ₁₀ + 1	+ .302 ₁₀ - 0	+ .293 ₁₀ - 0
VERBETERING	+ .830 ₁₀ + 2	+ .300 ₁₀ + 1	+ .300 ₁₀ + 1	+ .297 ₁₀ - 0	+ .288 ₁₀ - 0
VERBETERING	+ .840 ₁₀ + 2	+ .300 ₁₀ + 1	+ .300 ₁₀ + 1	+ .291 ₁₀ - 0	+ .284 ₁₀ - 0

+ .157₁₀+ 3 + .300₁₀+ 1 + .300₁₀+ 1 + .994₁₀- 1 + .128₁₀- 0
+ .138₁₀+ 3 + .300₁₀+ 1 + .300₁₀+ 1 + .973₁₀- 1 + .127₁₀- 0
+ .139₁₀+ 3 + .300₁₀+ 1 + .300₁₀+ 1 + .952₁₀- 1 + .125₁₀- 0
+ .200₁₀+ 1 + .400₁₀+ 1 + .300₁₀+ 1 + .817₁₀- 0 + .961₁₀- 0
+ .300₁₀+ 1 + .400₁₀+ 1 + .300₁₀+ 1 + .815₁₀- 0 + .942₁₀- 0
+ .400₁₀+ 1 + .400₁₀+ 1 + .300₁₀+ 1 + .813₁₀- 0 + .923₁₀- 0
+ .500₁₀+ 1 + .400₁₀+ 1 + .300₁₀+ 1 + .809₁₀- 0 + .905₁₀- 0
+ .600₁₀+ 1 + .400₁₀+ 1 + .300₁₀+ 1 + .805₁₀- 0 + .887₁₀- 0
+ .700₁₀+ 1 + .400₁₀+ 1 + .300₁₀+ 1 + .801₁₀- 0 + .870₁₀- 0
+ .800₁₀+ 1 + .400₁₀+ 1 + .300₁₀+ 1 + .796₁₀- 0 + .852₁₀- 0
+ .900₁₀+ 1 + .400₁₀+ 1 + .300₁₀+ 1 + .790₁₀- 0 + .835₁₀- 0
+ .100₁₀+ 2 + .400₁₀+ 1 + .300₁₀+ 1 + .784₁₀- 0 + .819₁₀- 0
+ .110₁₀+ 2 + .400₁₀+ 1 + .300₁₀+ 1 + .778₁₀- 0 + .803₁₀- 0
+ .120₁₀+ 2 + .400₁₀+ 1 + .300₁₀+ 1 + .771₁₀- 0 + .787₁₀- 0
+ .130₁₀+ 2 + .400₁₀+ 1 + .300₁₀+ 1 + .764₁₀- 0 + .771₁₀- 0

VERBETERING

+ .140₁₀+ 2 + .400₁₀+ 1 + .300₁₀+ 1 + .757₁₀- 0 + .756₁₀- 0

VERBETERING

+ .150₁₀+ 2 + .400₁₀+ 1 + .300₁₀+ 1 + .749₁₀- 0 + .741₁₀- 0

VERBETERING

+ .160₁₀+ 2 + .400₁₀+ 1 + .300₁₀+ 1 + .741₁₀- 0 + .726₁₀- 0

VERBETERING

+ .170₁₀+ 2 + .400₁₀+ 1 + .300₁₀+ 1 + .732₁₀- 0 + .712₁₀- 0

VERBETERING

+ .180₁₀+ 2 + .400₁₀+ 1 + .300₁₀+ 1 + .724₁₀- 0 + .698₁₀- 0

VERBETERING

+ .190₁₀+ 2 + .400₁₀+ 1 + .300₁₀+ 1 + .715₁₀- 0 + .684₁₀- 0

VERBETERING

+ .200₁₀+ 2 + .400₁₀+ 1 + .300₁₀+ 1 + .706₁₀- 0 + .671₁₀- 0

VERBETERING

+ .210₁₀+ 2 + .400₁₀+ 1 + .300₁₀+ 1 + .697₁₀- 0 + .657₁₀- 0

VERBETERING

+ .220₁₀+ 2 + .400₁₀+ 1 + .300₁₀+ 1 + .688₁₀- 0 + .644₁₀- 0

VERBETERING

+ .230₁₀+ 2 + .400₁₀+ 1 + .300₁₀+ 1 + .679₁₀- 0 + .632₁₀- 0

VERBETERING

+ .240₁₀+ 2 + .400₁₀+ 1 + .300₁₀+ 1 + .669₁₀- 0 + .619₁₀- 0

VERBETERING

+ .250₁₀+ 2 + .400₁₀+ 1 + .300₁₀+ 1 + .660₁₀- 0 + .607₁₀- 0

VERBETERING

+ .260₁₀+ 2 + .400₁₀+ 1 + .300₁₀+ 1 + .650₁₀- 0 + .595₁₀- 0

VERBETERING

+ .270₁₀+ 2 + .400₁₀+ 1 + .300₁₀+ 1 + .641₁₀- 0 + .583₁₀- 0

VERBETERING

+ .280₁₀+ 2 + .400₁₀+ 1 + .300₁₀+ 1 + .631₁₀- 0 + .572₁₀- 0

VERBETERING	+.290 ₁₀ + 2	+.400 ₁₀ + 1	+.300 ₁₀ + 1	+.621 ₁₀ - 0	+.560 ₁₀ - 0
VERBETERING	+.300 ₁₀ + 2	+.400 ₁₀ + 1	+.300 ₁₀ + 1	+.612 ₁₀ - 0	+.549 ₁₀ - 0
VERBETERING	+.310 ₁₀ + 2	+.400 ₁₀ + 1	+.300 ₁₀ + 1	+.602 ₁₀ - 0	+.538 ₁₀ - 0
VERBETERING	+.320 ₁₀ + 2	+.400 ₁₀ + 1	+.300 ₁₀ + 1	+.592 ₁₀ - 0	+.528 ₁₀ - 0
VERBETERING	+.330 ₁₀ + 2	+.400 ₁₀ + 1	+.300 ₁₀ + 1	+.582 ₁₀ - 0	+.517 ₁₀ - 0
VERBETERING	+.340 ₁₀ + 2	+.400 ₁₀ + 1	+.300 ₁₀ + 1	+.573 ₁₀ - 0	+.507 ₁₀ - 0
VERBETERING	+.350 ₁₀ + 2	+.400 ₁₀ + 1	+.300 ₁₀ + 1	+.563 ₁₀ - 0	+.497 ₁₀ - 0
VERBETERING	+.360 ₁₀ + 2	+.400 ₁₀ + 1	+.300 ₁₀ + 1	+.553 ₁₀ - 0	+.487 ₁₀ - 0
VERBETERING	+.370 ₁₀ + 2	+.400 ₁₀ + 1	+.300 ₁₀ + 1	+.544 ₁₀ - 0	+.478 ₁₀ - 0
VERBETERING	+.380 ₁₀ + 2	+.400 ₁₀ + 1	+.300 ₁₀ + 1	+.534 ₁₀ - 0	+.468 ₁₀ - 0
VERBETERING	+.390 ₁₀ + 2	+.400 ₁₀ + 1	+.300 ₁₀ + 1	+.525 ₁₀ - 0	+.459 ₁₀ - 0
VERBETERING	+.400 ₁₀ + 2	+.400 ₁₀ + 1	+.300 ₁₀ + 1	+.515 ₁₀ - 0	+.450 ₁₀ - 0
VERBETERING	+.410 ₁₀ + 2	+.400 ₁₀ + 1	+.300 ₁₀ + 1	+.506 ₁₀ - 0	+.441 ₁₀ - 0
VERBETERING	+.420 ₁₀ + 2	+.400 ₁₀ + 1	+.300 ₁₀ + 1	+.497 ₁₀ - 0	+.432 ₁₀ - 0
VERBETERING	+.430 ₁₀ + 2	+.400 ₁₀ + 1	+.300 ₁₀ + 1	+.488 ₁₀ - 0	+.424 ₁₀ - 0
VERBETERING	+.440 ₁₀ + 2	+.400 ₁₀ + 1	+.300 ₁₀ + 1	+.479 ₁₀ - 0	+.415 ₁₀ - 0
VERBETERING	+.450 ₁₀ + 2	+.400 ₁₀ + 1	+.300 ₁₀ + 1	+.470 ₁₀ - 0	+.407 ₁₀ - 0
VERBETERING	+.460 ₁₀ + 2	+.400 ₁₀ + 1	+.300 ₁₀ + 1	+.461 ₁₀ - 0	+.399 ₁₀ - 0
VERBETERING	+.470 ₁₀ + 2	+.400 ₁₀ + 1	+.300 ₁₀ + 1	+.452 ₁₀ - 0	+.391 ₁₀ - 0
VERBETERING	+.480 ₁₀ + 2	+.400 ₁₀ + 1	+.300 ₁₀ + 1	+.443 ₁₀ - 0	+.383 ₁₀ - 0

VERBETERING	<i>n</i>	<i>m</i>	<i>K</i>	<i>pred</i>	<i>pc</i>
VERBETERING	+ .490 ₁₀ + 2	+ .400 ₁₀ + 1	+ .300 ₁₀ + 1	+ .434 ₁₀ - 0	+ .376 ₁₀ - 0
VERBETERING	+ .500 ₁₀ + 2	+ .400 ₁₀ + 1	+ .300 ₁₀ + 1	+ .426 ₁₀ - 0	+ .368 ₁₀ - 0
VERBETERING	+ .510 ₁₀ + 2	+ .400 ₁₀ + 1	+ .300 ₁₀ + 1	+ .417 ₁₀ - 0	+ .361 ₁₀ - 0
VERBETERING	+ .520 ₁₀ + 2	+ .400 ₁₀ + 1	+ .300 ₁₀ + 1	+ .409 ₁₀ - 0	+ .354 ₁₀ - 0
VERBETERING	+ .530 ₁₀ + 2	+ .400 ₁₀ + 1	+ .300 ₁₀ + 1	+ .401 ₁₀ - 0	+ .347 ₁₀ - 0
VERBETERING	+ .540 ₁₀ + 2	+ .400 ₁₀ + 1	+ .300 ₁₀ + 1	+ .393 ₁₀ - 0	+ .340 ₁₀ - 0
VERBETERING	+ .550 ₁₀ + 2	+ .400 ₁₀ + 1	+ .300 ₁₀ + 1	+ .385 ₁₀ - 0	+ .333 ₁₀ - 0
VERBETERING	+ .560 ₁₀ + 2	+ .400 ₁₀ + 1	+ .300 ₁₀ + 1	+ .377 ₁₀ - 0	+ .327 ₁₀ - 0
VERBETERING	+ .570 ₁₀ + 2	+ .400 ₁₀ + 1	+ .300 ₁₀ + 1	+ .369 ₁₀ - 0	+ .320 ₁₀ - 0
VERBETERING	+ .580 ₁₀ + 2	+ .400 ₁₀ + 1	+ .300 ₁₀ + 1	+ .361 ₁₀ - 0	+ .314 ₁₀ - 0
VERBETERING	+ .590 ₁₀ + 2	+ .400 ₁₀ + 1	+ .300 ₁₀ + 1	+ .354 ₁₀ - 0	+ .308 ₁₀ - 0
VERBETERING	+ .600 ₁₀ + 2	+ .400 ₁₀ + 1	+ .300 ₁₀ + 1	+ .347 ₁₀ - 0	+ .302 ₁₀ - 0
VERBETERING	+ .610 ₁₀ + 2	+ .400 ₁₀ + 1	+ .300 ₁₀ + 1	+ .339 ₁₀ - 0	+ .296 ₁₀ - 0
VERBETERING	+ .620 ₁₀ + 2	+ .400 ₁₀ + 1	+ .300 ₁₀ + 1	+ .332 ₁₀ - 0	+ .290 ₁₀ - 0
VERBETERING	+ .630 ₁₀ + 2	+ .400 ₁₀ + 1	+ .300 ₁₀ + 1	+ .325 ₁₀ - 0	+ .284 ₁₀ - 0
VERBETERING	+ .640 ₁₀ + 2	+ .400 ₁₀ + 1	+ .300 ₁₀ + 1	+ .318 ₁₀ - 0	+ .279 ₁₀ - 0
VERBETERING	+ .650 ₁₀ + 2	+ .400 ₁₀ + 1	+ .300 ₁₀ + 1	+ .311 ₁₀ - 0	+ .273 ₁₀ - 0
VERBETERING	+ .660 ₁₀ + 2	+ .400 ₁₀ + 1	+ .300 ₁₀ + 1	+ .304 ₁₀ - 0	+ .268 ₁₀ - 0
VERBETERING	+ .670 ₁₀ + 2	+ .400 ₁₀ + 1	+ .300 ₁₀ + 1	+ .298 ₁₀ - 0	+ .262 ₁₀ - 0
VERBETERING	+ .680 ₁₀ + 2	+ .400 ₁₀ + 1	+ .300 ₁₀ + 1	+ .291 ₁₀ - 0	+ .257 ₁₀ - 0

+.121 ₁₀ + 3	+.400 ₁₀ + 1	+.300 ₁₀ + 1	+.812 ₁₀ - 1	+.892 ₁₀ - 1
+.122 ₁₀ + 3	+.400 ₁₀ + 1	+.300 ₁₀ + 1	+.792 ₁₀ - 1	+.875 ₁₀ - 1
+.123 ₁₀ + 3	+.400 ₁₀ + 1	+.300 ₁₀ + 1	+.772 ₁₀ - 1	+.857 ₁₀ - 1
+.124 ₁₀ + 3	+.400 ₁₀ + 1	+.300 ₁₀ + 1	+.752 ₁₀ - 1	+.840 ₁₀ - 1
+.125 ₁₀ + 3	+.400 ₁₀ + 1	+.300 ₁₀ + 1	+.733 ₁₀ - 1	+.824 ₁₀ - 1
+.126 ₁₀ + 3	+.400 ₁₀ + 1	+.300 ₁₀ + 1	+.714 ₁₀ - 1	+.807 ₁₀ - 1
+.127 ₁₀ + 3	+.400 ₁₀ + 1	+.300 ₁₀ + 1	+.696 ₁₀ - 1	+.792 ₁₀ - 1
+.128 ₁₀ + 3	+.400 ₁₀ + 1	+.300 ₁₀ + 1	+.678 ₁₀ - 1	+.776 ₁₀ - 1
+.129 ₁₀ + 3	+.400 ₁₀ + 1	+.300 ₁₀ + 1	+.661 ₁₀ - 1	+.761 ₁₀ - 1
+.130 ₁₀ + 3	+.400 ₁₀ + 1	+.300 ₁₀ + 1	+.644 ₁₀ - 1	+.745 ₁₀ - 1
+.131 ₁₀ + 3	+.400 ₁₀ + 1	+.300 ₁₀ + 1	+.628 ₁₀ - 1	+.731 ₁₀ - 1
+.132 ₁₀ + 3	+.400 ₁₀ + 1	+.300 ₁₀ + 1	+.612 ₁₀ - 1	+.716 ₁₀ - 1
+.133 ₁₀ + 3	+.400 ₁₀ + 1	+.300 ₁₀ + 1	+.596 ₁₀ - 1	+.702 ₁₀ - 1
+.134 ₁₀ + 3	+.400 ₁₀ + 1	+.300 ₁₀ + 1	+.581 ₁₀ - 1	+.688 ₁₀ - 1
+.135 ₁₀ + 3	+.400 ₁₀ + 1	+.300 ₁₀ + 1	+.566 ₁₀ - 1	+.675 ₁₀ - 1
+.136 ₁₀ + 3	+.400 ₁₀ + 1	+.300 ₁₀ + 1	+.551 ₁₀ - 1	+.661 ₁₀ - 1
+.137 ₁₀ + 3	+.400 ₁₀ + 1	+.300 ₁₀ + 1	+.537 ₁₀ - 1	+.648 ₁₀ - 1
+.138 ₁₀ + 3	+.400 ₁₀ + 1	+.300 ₁₀ + 1	+.523 ₁₀ - 1	+.635 ₁₀ - 1
+.139 ₁₀ + 3	+.400 ₁₀ + 1	+.300 ₁₀ + 1	+.510 ₁₀ - 1	+.623 ₁₀ - 1